

**BIOTRANS**  
Programa de Pós-Graduação em  
Biomedicina Translacional  
Mestrado e Doutorado



4 **TESE DE DOUTORADO**

5

6

7

8 **Efeitos dos derivados de amiodarona, análogos de fosfolipídios e SQ109**  
9 **em *Trichomonas vaginalis***

10

11 Doutoranda: **Tatiana Guinancio de Souza**

12

13

14

15

16

17

18

19 Duque de Caxias  
20 2024

21

22

23 Tatiana Guinancio de Souza

24

25 **Efeitos dos derivados de amiodarona, análogos de fosfolipídios e SQ109**  
26 **em *Trichomonas vaginalis***

27

28

29

30

31

32 Tese de Doutorado apresentada ao  
33 Programa de Pós-Graduação em  
34 Biomedicina Translacional –  
35 (UNIGRANRIO, INMETRO e UERJ-ZO)  
36 como requisito básico para o título de  
37 Doutor em Ciências Biomédicas.

38

39

40 Orientadores:

41 Prof<sup>a</sup> Marlene Benchimol

42 Prof. Wanderley de Souza

43

44

45 Duque de Caxias

46 2024

**CATALOGAÇÃO NA FONTE  
UNIGRANRIO – NÚCLEO DE COORDENAÇÃO DE BIBLIOTECAS**

S729

Souza, Tatiana Guinancio de.

e

Efeitos dos derivados de amiodarona, análogos de fosfolipídios e SQ109 em Trichomonas vaginalis / Tatiana Guinancio de Souza. – Duque de Caxias, Rio de Janeiro, 2024.

157 f.: il.

Orientadora: Marlene Benchimol.

Orientador: Wanderley de Souza.

Tese (doutorado) – UNIGRANRIO, Escola de Ciência da Saúde, Programa de Pós-Graduação em Biomedicina Translacional, Rio de Janeiro, 2024.

1. Metronidazol.
  2. Microscopia eletrônica.
  3. Novas drogas.
  4. Tricomoníase.
  5. Ultraestrutura.
- I. Benchimol, Marlene. II. Souza, Wanderley de. III. Título.  
IV. UNIGRANRIO.

CDD:  
610

Rodrigo de Oliveira Brainer CRB-7: 6814

**ATA DE DEFESA DE TESE**

Às 13h30min, do dia 01 de abril de 2024, o Programa de Pós-Graduação em Biomedicina Translacional, realizou sessão de Defesa da Tese versando sobre o projeto intitulado “**Efeitos dos derivados de amiodarona, análogos de fosfolipídios e SQ109 em Trichomonas vaginalis**”, de autoria de Tatiana Guinancio de Souza, aluna do Doutorado Acadêmico, sob orientação da Professora Marlene Benchimol e do Professor Wanderley de Souza. A sessão foi aberta pelo Prof. Fabio Fortes, presidente da Comissão, que nos termos regimentais convocou os demais Membros da Comissão Examinadora: Prof. Sérgio Henrique Seabra, Prof. Rafael Mariante e Prof. Antônio Pereira Neves. Em seguida, passou à palavra a candidata para apresentação de seu trabalho. Após a apresentação, a candidata foi arguida pelos examinadores e suas respostas foram consideradas **SATISFATÓRIAS**.

O presidente declarou a doutoranda Tatiana Guinancio de Souza **APROVADA**, como requisito parcial para obtenção do grau de Doutora em Ciências Biomédicas, de acordo como o Regulamento do Programa de Pós-Graduação em Biomedicina Translacional do convênio tripartite entre UNIGRANRIO, INMETRO e UERJ. Nada mais havendo a tratar, o Presidente encerrou a sessão, em que foi lavrada a presente ata, que será assinada pelos Membros da Comissão Examinadora.

Duque de Caxias, 01 de Abril de 2024.



---

Prof. Dr. Fabio da Silva de Azevedo Fortes Universidade  
do Estado do Rio de Janeiro – UERJ/ZO Presidente da  
banca



---

Prof. Sérgio Henrique Seabra  
Universidade Estadual do Norte Fluminense – UENF

Documento assinado digitalmente



ANTONIO PEREIRA DAS NEVES NETO  
Data: 01/04/2024 17:30:33-0300  
Verifique em <https://validar.itii.gov.br>

---

Prof. Antônio Pereira Neves  
Fundação Oswaldo Cruz – FIOCRUZ-PE



Documento assinado digitalmente  
RAFAEL MARIANTE MEYER  
Data: 01/04/2024 23:39:31-0300  
Verifique em <https://validar.itii.gov.br>

Prof. Rafael Mariante  
Fundação Oswaldo Cruz – FIOCRUZ-IOC



Prof. Dr. Sergian Vianna Cardozo  
Coordenador do PPG em Biomedicina  
Translacional - IOC/FIOCRUZ  
**UNIGRANRIO**

Prof. Sergian Vianna Cardozo Coordenador  
Geral

Programa de Pós-Graduação em Medicina Translacional - BIOTRANS



**BIOTRANS**  
Programa de Pós-Graduação em  
Biomédica Translacional  
Mestrado e Doutorado  
UNIVERSIDADE  
UNIGRANRIO

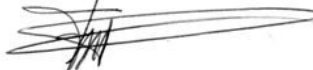
**PROPEP**  
Pró-Reitoria de Pesquisa  
e Pós-Graduação  
UEZO

**(i) Aprovado com Ressalvas e Modificações**

Comentários:

Não se aplica.

Presidente:



47

48

# AGRADECIMENTOS

## 51 Agradecimentos científicos

52 Aos meus queridos orientadores, Prof<sup>a</sup>. Marlene Benchimol e Prof. Wanderley  
53 de Souza, primeiramente gostaria de dizer que me sinto honrada por ter sido  
54 orientada por vocês! Dois pesquisadores com tamanho prestígio, que fazem  
55 parte da lista de cientistas mais influentes do planeta, me faltam palavras para  
56 exprimir tamanha gratidão. Obrigada pela oportunidade de aprendizado, pela  
57 orientação, por toda dedicação, paciência, confiança no meu trabalho, por me  
58 ensinar, pela compreensão e pelos sábios conselhos sempre que procurei  
59 vocês para conversar e, principalmente, pela amizade durante todo processo.  
60 Gostaria de agradecê-los por terem sido compreensíveis em muitos momentos,  
61 principalmente nos momentos em que eu vi meu mundo desabar, onde eu me  
62 via sem forças para continuar e muitas das vezes cogitei em desistir e vocês  
63 sempre com sábios conselhos, me fazendo ver a vida por uma outra  
64 perspectiva. Muito obrigada!

65 Agradeço a todos os integrantes ou ex-integrantes do laboratório LUCHM, em  
66 especial, gostaria de destacar: Júlio Santana, Roberta Veríssimo, Victor Midlej,  
67 Noêmia Rodrigues, Paula Bandeira, Everson Telles, Raphael Verdan, Sharmila  
68 Ortiz, Prof. Ana Gadelha, Otávio Pacheco, Verônica Santos, Carlla Araújo,  
69 Thayane Borges e Tatiana Araújo. Vocês foram cruciais para realização deste  
70 trabalho.

71 Agradeço aos professores e amigos que fiz no programa de pós-graduação  
72 BIOTRANS. Obrigada por todos os ensinamentos e momentos partilhados.  
73 Especialmente ao Prof. Sergian Vianna Cardozo, coordenador geral do  
74 programa, por ter sido sempre muito solícito.

75 Aos co-autores dos artigos científicos, Dr. Gustavo Benaim e Dr. Renato  
76 Granado, muito obrigada por toda contribuição.

77 Agradeço à UFRJ, CENABIO, UEZO, INMETRO, FAPERJ, CNPq e CAPES  
78 que contribuíram para a realização deste trabalho. A FAPERJ, pela bolsa de

79 doutorado cedida e financiamento com os termos de Outorga concedidos à  
80 Marlene Benchimol PROCESSOS E-26/ 202.824/2017 e E-26/200.956/2021.

81

82 **Agradecimentos pessoais**

83 Aos meus pais, Eliana Guinancio e Tércio de Souza, por terem sido minha rede  
84 de apoio. Não foram apenas pais, mas amigos e companheiros mesmo nas  
85 horas em que meus ideais pareciam distantes e inatingíveis. Incontáveis foram  
86 as vezes que meu cansaço e preocupação foram compartilhados e vocês  
87 procuravam sempre amenizar minha ansiedade mantendo-me firme diante dos  
88 obstáculos, me incentivando a prosseguir.

89 Ao meu filho, Tarcísio Guinancio, tão pequeninho, mas que me deu muita força  
90 e coragem para ir atrás dos meus objetivos e foi minha maior motivação para  
91 eu não desistir em meio a tantos momentos difíceis. Essa conquista é nossa,  
92 filho! Eu te amo mais que tudo nessa vida!

93

94

95

96

97

98

99

100

101

102

103

104

105

106

107

108

109  
110  
111  
112  
113  
114  
115  
116  
117  
118  
119  
120  
121  
122  
123  
124  
125  
126  
127  
128  
129  
130  
131  
132  
133  
134  
135 "Em algum lugar, alguma coisa incrível está esperando para ser descoberta."  
136 (Carl Sagan)  
137

**RESUMO**

139 *Trichomonas vaginalis* é um protozoário parasita extracelular do trato  
140 urogenital, agente etiológico da tricomoníase humana, infecção sexualmente  
141 transmissível que acomete cerca de 156 milhões de pessoas no mundo. Esta  
142 patologia é mais evidente no sexo feminino, podendo provocar abortos, partos  
143 prematuros e infertilidade. A doença também pode levar a uma maior  
144 predisposição à infecção pelo vírus HIV, ao câncer cervical e de próstata. O  
145 metronidazol (MTZ) tem sido a droga de escolha no tratamento da tricomoníase  
146 humana. No entanto, este medicamento está relacionado a muitos efeitos  
147 colaterais, não podendo ser utilizado durante a gravidez e tornando-se  
148 inaceitável para vários pacientes. Assim, a busca por um novo fármaco para o  
149 tratamento da tricomoníase torna-se absolutamente necessário. No presente  
150 estudo, utilizamos novos compostos derivados de amiodarona, análogos de  
151 fosfolipídios e o composto SQ109 que foram analisados por diferentes técnicas,  
152 com os objetivos de selecionar compostos promissores e o mecanismo de ação  
153 no parasita. Utilizamos microscopia eletrônica de varredura (MEV) e  
154 transmissão (MET), entre outras, para visualizar as alterações ultraestruturais  
155 induzidas pelos compostos. Observamos que a amiodarona estimulou, ao invés  
156 de inibir, o crescimento do parasita, induziu a agregação celular e acúmulo de  
157 glicogênio no citosol. Os compostos amioder e dronedarona apresentaram  
158 atividade antiparasitária com IC<sub>50</sub> de 3,15 e 11 µM, respectivamente, e levaram  
159 as células a um processo de morte semelhante a apoptose. Além disso, as  
160 células exibiram diversas alterações morfológicas. O composto SQ109 inibiu o  
161 crescimento de *T. vaginalis* com um IC<sub>50</sub> de 3,15 µM. A análise microscópica  
162 mostrou alterações morfológicas, as células tornaram-se arredondadas com  
163 projeções superficiais. Os hidrogenossomos apresentaram aumento  
164 significativo de tamanho. Uma pesquisa de bioinformática foi feita sobre o  
165 composto SQ109 para encontrar seus possíveis alvos e mecanismos de ação.  
166 Os análogos de fosfolipídios inibiram o crescimento de *T. vaginalis* com um IC<sub>50</sub>  
167 de 4,48 e 5,67 µM, respectivamente. As observações por MEV revelaram a  
168 presença de protrusões na superfície após o tratamento. As análises por MET  
169 mostraram a presença de vacúolos com figuras mielínicas e vacuolização no  
170 citoplasma após incubação com os compostos. Além disso, após os  
171 tratamentos com os compostos LDT117 e LDT134, os parasitas apresentaram

172 marcação positiva para TUNEL, indicando indução de morte por um  
173 mecanismo semelhante a apoptose. Nossas observações indicam que alguns  
174 compostos testados se apresentaram promissores contra *T. vaginalis* *in vitro*,  
175 sugerindo sua utilidade potencial como quimioterapia alternativa para  
176 tricomoníase.

177

178 **Palavras-Chave:** Tricomoníase; metronidazol; microscopia eletrônica; novas  
179 drogas; ultraestrutura.

180

181

182

183

184

185

## ABSTRACT

186 *Trichomonas vaginalis* is an extracellular protozoan parasite of the urogenital  
187 tract, the etiological agent of human trichomoniasis, a sexually transmitted  
188 infection that affects approximately 156 million people worldwide. This  
189 pathology is more evident in females and can cause miscarriages, premature  
190 births, and infertility. The disease can also lead to a greater predisposition to  
191 HIV infection and cervical and prostate cancer. Metronidazole (MTZ) has been  
192 the drug of choice in the treatment of human trichomoniasis. However, this  
193 medication is related to many side effects, cannot be used during pregnancy,  
194 and becomes unacceptable for many patients. Therefore, the search for a new  
195 drug for the treatment of trichomoniasis becomes necessary. In the present  
196 study, we used new compounds derived from amiodarone, phospholipids, and  
197 the compound SQ109 that were analyzed using different techniques, with the  
198 objectives of selecting promising compounds and the mechanism of action on  
199 the parasite. We use scanning electron microscopy (SEM) and transmission  
200 electron microscopy (MET), among others, to visualize the ultrastructural  
201 changes induced by the compounds. We observed that amiodarone stimulated,  
202 rather than inhibited, the growth of the parasite, induced cell aggregation and  
203 accumulation of glycogen in the cytosol. The compounds amiader and  
204 dronedarone showed antiparasitic activity with IC<sub>50</sub> of 3.15 and 11 µM,  
205 respectively, and led the cells to a death process like apoptosis. Furthermore,  
206 the cells exhibited several morphological changes. Compound SQ109 inhibited  
207 the growth of *T. vaginalis* with an IC<sub>50</sub> of 3.15 µM. Microscopic analysis showed  
208 morphological changes, the cells became rounded with superficial projections.  
209 The hydrogenosomes showed a significant increase in size. Bioinformatics  
210 research was done on the compound SQ109 to find its possible targets and  
211 mechanisms of action. Phospholipid analogues inhibited the growth of *T.*  
212 *vaginalis* with an IC<sub>50</sub> of 4.48 and 5.67 µM, respectively. SEM observations  
213 revealed the presence of protrusions on the surface after treatment. TEM  
214 analyses showed vacuoles with myelin figures and vacuolation in the cytoplasm  
215 after incubation with the compounds. Furthermore, after treatments with the  
216 compounds LDT117 and LDT134, the parasites showed positive staining for  
217 TUNEL, indicating induction of death by a mechanism like apoptosis. Our  
218 observations indicate that some compounds tested showed promise against *T.*

219 *vaginalis* *in vitro*, suggesting their potential usefulness as alternative  
220 chemotherapy for trichomoniasis.

221

222 **Keywords:** Trichomoniasis; metronidazole; electron microscopy; new drugs;  
223 ultrastructure.

224

225

226

227	<b>LISTA DE ABREVIATURAS</b>
228	
229	<b>APL</b> - Análogo de fosfolipídeo / alquilfosfolipídios
230	<b>ATCC</b> - <i>American Type Culture Collection</i>
231	<b>ATP</b> - Adenosina trifosfato
232	<b>CDC</b> – Centro de Controle de Prevenção em Doenças
233	<b>DAPI</b> - 4', 6-diamidino-2-fenilindol
234	<b>DIC</b> - Contraste Interferencial diferencial
235	<b>DMSO</b> - Dimetilsulfóxido
236	<b>DNA</b> - Ácido Desoxirribonucleico
237	<b>FA</b> – Flagelos anteriores
238	<b>FDA</b> - Diacetato de fluoresceína ( <i>fluorescein diacetate</i> )
239	<b>FDA</b> - Food & Drug Administration
240	<b>FR</b> – Flagelo recorrente
241	<b>IST</b> – Infecções Sexualmente Transmissíveis
242	<b>JC-1</b> - 5,5',6,6'-tetracloro-1,1', 3,3'-tetraetilbenzimidazol-carbocianineiódico
243	<b>MET</b> - Microscopia Eletrônica de Transmissão
244	<b>MEV</b> - Microscopia Eletrônica de Varredura
245	<b>MTZ</b> - Metronidazol
246	<b>MLT</b> – Mitelfosina
247	<b>MVB</b> - Corpos multivesiculares
248	<b>OMS</b> - Organização Mundial de Saúde
249	<b>PBS</b> - <i>Phosphate buffered saline</i>
250	<b>PMS</b> - Metosulfato de fenazina
251	<b>RE</b> – Retículo endoplasmático
252	<b>RPMI</b> - Roswell Park Memorial Institute
253	<b>SFB</b> - Soro Fetal Bovino
254	<b>TYM</b> - <i>Tryptcase - Yeast extract - Maltose</i>
255	<b>VEs</b> - Vesículas extracelulares
256	
257	

258	<b>SUMÁRIO</b>
259	
260	1. Introdução..... 15
261	1.1 <i>Trichomonas vaginalis</i> ..... 15
262	1.2 Epidemiologia ..... 16
263	1.3. Manifestações clínicas..... 17
264	1.4. Diagnóstico ..... 18
265	1.5. Morfologia ..... 19
266	1.6. Ultraestrutura ..... 20
267	1.6.1. Superfície Celular..... 20
268	1.6.2. Organelas..... 21
269	1.6.2.1. Retículo Endoplasmático..... 22
270	1.6.2.2. Complexo de Golgi e filamentos parabasais ..... 22
271	1.6.2.3. Vacúolos e Lisossomos..... 23
272	1.6.2.4. Hidrogenossomos ..... 24
273	1.6.2.5. Núcleo e divisão..... 27
274	1.6.3. Citoesqueleto ..... 28
275	1.6.3.1. Complexo Pelta-Axóstilo ..... 28
276	1.6.3.2. Corpúsculos basais e flagelos..... 29
277	1.6.3.4 Costa..... 29
278	1.7. Interação-parasito hospedeiro e patogenicidade ..... 30
279	1.7.1 Microvesículas e exossomos de <i>T. vaginalis</i> ..... 34
280	1.7.2. Nanotubos de tunelamento ..... 36
281	1.8. Tratamento ..... 37
282	1.8.1. Resistência ao MTZ ..... 40
283	1.9. Novos compostos alternativos ao metronidazol ..... 42
284	1.9.1. Amiodarona, dronedarona e amioder ..... 42

285	1.9.2. SQ109.....	43
286	1.9.3. Análogos de alquilfosfolipídios (APL) .....	44
287	2. Justificativa .....	46
288	3. Objetivos.....	47
289	3.1. Objetivo Geral .....	47
290	3.2. Objetivos específicos .....	47
291	4. Metodologia .....	48
292	4.1. Cultivo <i>in vitro</i> de <i>T. vaginalis</i> .....	48
293	4.2 Compostos .....	48
294	4.2.1 Amiodarona, dronedarona e amioder.....	49
295	4.2.2 SQ109.....	49
296	4.2.3 Análogos de alquilfosfolipídios (APL) .....	49
297	4.2.4 Tabela 4. Compostos utilizados e sua origem.....	50
298	4.3. Curva de crescimento .....	51
299	4.3.1 Cálculo de IC <sub>50</sub> .....	52
300	4.4. Ensaio de viabilidade .....	52
301	4.4.1 Ensaio de viabilidade com diacetato de fluoresceína e 7-AAD.....	52
302	4.4.2. Ensaio de viabilidade com MTS/PSM .....	53
303	4.5. Análise da toxicidade em células de mamíferos.....	53
304	4.6. Microscopia de fluorescência .....	54
305	4.6.1 Imunofluorescência .....	54
306	4.6.2. TUNEL .....	55
307	4.6.3. Potencial de membrana hidrogenossomal .....	56
308	4.7. Microscopia Eletrônica de Varredura (MEV).....	56
309	4.8. Microscopia Eletrônica de Transmissão (MET).....	57
310	4.9. Morfometria.....	58
311	4.10. Citoquímica - Método de Thiéry (Thiéry 1967).....	58

312	4.11. Citometria de Fluxo.....	58
313	4.11.1 Ensaio para avaliação do ciclo celular .....	58
314	4.12. Análise estatística.....	59
315	4.13. Previsão de interações moleculares .....	59
316	4.14. Simulação de ancoramento molecular.....	59
317	5. Resultados.....	60
318	5.1. Seleção dos compostos .....	60
319	5.2. Efeito da amiodarona, amioder e dronedarona em <i>T. vaginalis</i> .....	61
320	5.2.1. Curvas de crescimento.....	61
321	5.3. Observações microscópicas .....	64
322	5.4. Microscopia óptica.....	64
323	5.4.1 Contraste de fase.....	64
324	5.4.2. Imunofluorescência .....	65
325	5.5. Microscopia Eletrônica de Varredura (MEV).....	70
326	5.6. Microscopia Eletrônica de Transmissão (MET).....	72
327	5.7. Resultados com a droga SQ109.....	75
328	5.7.1 Curva de crescimento .....	75
329	5.8. Imunofluorescência.....	76
330	5.8.1. Viabilidade celular usando 7-AAD e FDA.....	77
331	5.8.2 Viabilidade do hidrogenossomo usando JC-1 .....	78
332	5.9. Microscopia Eletrônica de Varredura (MEV).....	80
333	5.10. Microscopia Eletrônica de Transmissão (MET).....	80
334	5.10.1. Morfometria .....	81
335	5.10.2. Técnica de <i>Thiery</i> .....	82
336	5.11. Ancoragem molecular .....	83
337	5.12. Análogos de fosfolipídios (APL).....	86
338	5.12.1 Curvas de crescimento.....	86

339	5.12.2 Ensaio de citotoxicidade.....	89
340	5.13. Imunofluorescência .....	89
341	5.14. Microscopia Eletrônica de Varredura (MEV).....	91
342	5.15. Microscopia Eletrônica de Transmissão (MET).....	93
343	6. Discussão .....	96
344	6.1. Amiodarona, amioder e dronedarona.....	96
345	6.2. SQ109.....	99
346	6.3. APL LDT 117 e LDT134.....	103
347	7. Conclusões .....	106
348	8. Referências Bibliográficas.....	108
349	Anexo 1 .....	135
350	Anexo 2 .....	135
351		
352		
353		
354		

355 1. Introdução

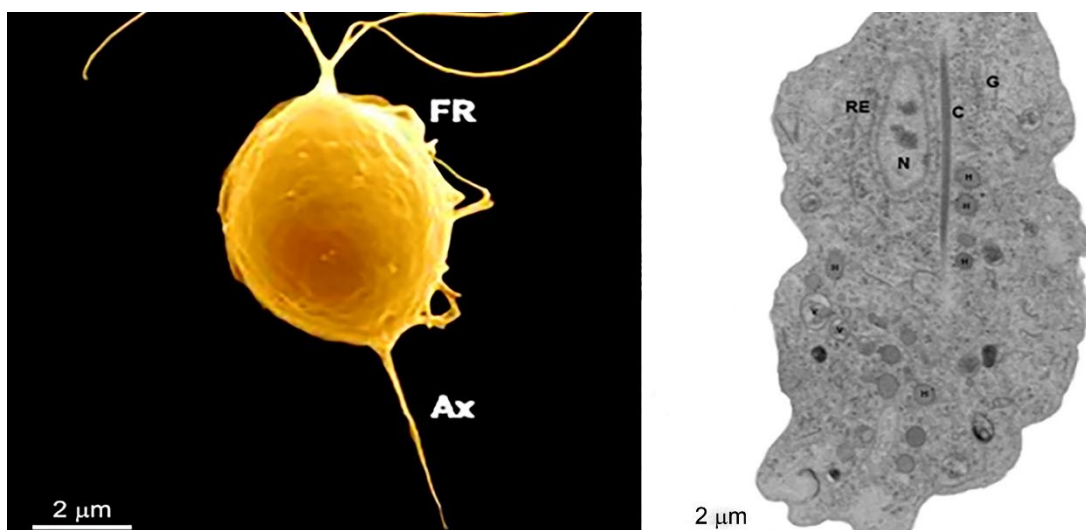
356 1.1 *Trichomonas vaginalis*

357

358 *T. vaginalis* é parasito extracelular (Fig. 1) pertencente ao Filo Parabasalia.  
359 A família Trichomonadidae pode ser encontrada em diferentes hospedeiros  
360 sendo capaz de infectar mamíferos, aves e répteis. Esse parasita vive em  
361 ambientes anaeróbicos ou microaerófilos (CAVALIER-SMITH, 1993).

362 *T. vaginalis* causa a tricomoníase humana, infecção sexualmente  
363 transmissível (IST) não viral, mais comum do planeta (WHO, 2022). *T.*  
364 *vaginalis* foi primeiramente descrita em 1836 em mulheres que apresentavam  
365 várias doenças no trato urogenital sendo, a maioria delas, prostitutas (DONNÉ,  
366 1836). Acreditava-se, então, que se tratava de doença exclusivamente do sexo  
367 feminino. A tricomoníase só foi descrita em homens em 1894.

368



369 370 **Figura 1.** Microscopia eletrônica de varredura (a) e de transmissão (b) de *T. vaginalis*.  
371 FA, flagelo anterior; FR, flagelo recorrente; Ax, axóstilo; H, hidrogenossomos; N,  
372 núcleo; G, Golgi; C, costa; RE, Retículo endoplasmático; V, vacúolos; F, flagelo. (a)  
373 Imagem de M. Benchimol colorizada pelo Photoshop.

374

375

376

377

378 **1.2 Epidemiologia**

379 As ISTs são causadas por diferentes microrganismos como bactérias,  
380 vírus e parasitas, sendo transmitidas principalmente através do contato sexual  
381 vaginal, oral ou anal (WAGENLEHNER *et al.*, 2016). A Organização Mundial da  
382 Saúde, em 2020, estimou 376 milhões de novos casos globais de ISTs entre  
383 indivíduos em idade reprodutiva, entre elas, a tricomoníase, que é a IST  
384 curável mais prevalente no mundo, responsável por quase metade desses  
385 casos (156 milhões) (WHO, 2022) (**Tabela 1**). Ainda assim, esses dados  
386 epidemiológicos podem ser subestimados devido ao alto número de pacientes  
387 assintomáticos, à baixa sensibilidade dos métodos diagnósticos usados em  
388 muitas regiões e ao fato de que a infecção por *T. vaginalis* não é uma doença  
389 de notificação obrigatória. A tricomoníase foi incluída na lista de infecções  
390 parasitárias negligenciadas (IPN) pelo Centro de Controle e Prevenção de  
391 Doenças (CDC) (IBÁÑEZ-ESCRIBANO e NOGAL-RUIZ, 2024). Segundo a  
392 OMS a prevalência da tricomoníase em mulheres e homens foi de 5,3% e  
393 0,6%, respectivamente, em todo o mundo (WHO, 2022). A prevalência e a  
394 incidência da infecção por *T. vaginalis* variam geograficamente. Uma maior  
395 incidência foi encontrada na África (20,2% das mulheres, 2% dos homens) e  
396 nas Américas (22% das mulheres, 2,2% dos homens). A prevalência na Europa  
397 foi estimada em 5,8% das mulheres e 0,6% dos homens (OMS, 2022;  
398 ROWLEY *et al.*, 2019).

399 De acordo com o CDC dos Estados Unidos, o impacto anual das ISTs  
400 em 2018 no sistema de saúde norte-americano foi de quase 16 bilhões de  
401 dólares em custos médicos. Apesar dos tratamentos atuais disponíveis, o  
402 diagnóstico de *T. vaginalis* pode ser difícil, pois não está igualmente disponível  
403 em todo o mundo, sendo mais problemático em regiões com poucos recursos.  
404 O aumento no número de infecções persistentes tem sinalizado para a  
405 ocorrência de resistência parasitária, preocupando o sistema de saúde (DA  
406 SILVA PINTO *et al.*, 2023).

407

408

409

410 **Tabela 1. Estimativas globais de novos casos de ISTs curáveis**

Gonorreia	87
Tricomoníase	156

411 **Fonte:** OMS, 2022.

412

### 413 1.3. Manifestações clínicas

414 Os sintomas da tricomoníase são mais comuns no sexo feminino do que  
 415 no masculino, variando desde um quadro assintomático à infertilidade (LEWIS,  
 416 2010; MIELCZAREK e BLASZKOWSKA, 2016). Quando sintomática, há  
 417 presença de corrimento amarelo-esverdeado com forte odor, prurido, irritação e  
 418 descamação do epitélio vaginal (FICHTEROVA, 2009). Em casos mais severos,  
 419 pode ocorrer a presença de pontos hemorrágicos na vagina e cérvix,  
 420 conhecido como “cérvix em morango” podendo também haver mudanças no  
 421 pH vaginal, além do aumento da vascularização da vulva, desencadeando a  
 422 hiperplasia do epitélio cervical (SWYGARD *et al.*, 2004). A doença também  
 423 pode levar a maior predisposição a infecção pelo vírus HIV e ao câncer cervical  
 424 (SECOR, 2012; HIRT, 2013).

425 Nos períodos menstrual e gestacional os sintomas se tornam mais  
 426 acentuados devido à presença de ferro da menstruação e às flutuações  
 427 hormonais desse período (RYU *et al.*, 2001). As mulheres grávidas portadoras  
 428 da tricomoníase apresentam maior chance de distúrbios durante a gravidez,  
 429 como parto prematuro e ruptura prematura de membranas placentárias (aborto  
 430 espontâneo) (HIRT, 2013). Além disso, recém-nascidos podem apresentar  
 431 baixo peso ao nascer (KISSINGER, 2015; SMITH *et al.*, 2017; MUDAU *et al.*  
 432 2018), morbidade e mortalidade neonatal (KISSINGER *et al.* 2015). A  
 433 tricomoníase, inclusive, pode ser transmitida a recém-nascidos durante o parto  
 434 (KISSINGER 2015; AKBARI e MATINI 2017).

435 Em homens a infecção é geralmente assintomática, o que dificulta seu  
 436 diagnóstico, tornando-os carreadores de *T. vaginalis*. Entretanto, em casos  
 437 mais severos, podem ocorrer inflamações na uretra e próstata (SECOR, 2012),

438 causando irritação uretral, secreção ou leve queimação após urinar ou ejacular,  
439 além de inchaço da próstata (REIN, 2020). Esse parasita é capaz de fagocitar  
440 espermatozoides sendo, provavelmente, um dos motivos da infertilidade em  
441 homens (BENCHIMOL *et al.*, 2008). Há relatos na literatura da relação entre o  
442 câncer de próstata e infecção por *T. vaginalis*, (SUITCLIFFE *et al.*, 2006). *T.*  
443 *vaginalis* estaria relacionada à prostatite crônica podendo culminar em câncer  
444 de próstata agressivo, conforme observado a partir do aumento dos níveis de  
445 antígeno específico (SUITCLIFFE *et al.*, 2006).

446

#### 447 **1.4. Diagnóstico**

448 O diagnóstico é feito através da sintomatologia clínica e do exame  
449 ginecológico de rotina, por meios de “swabs” vaginais. A observação direta ao  
450 microscópio óptico traz dificuldades uma vez que apresenta uma mistura de  
451 muco vaginal e bactérias. Outro método é o cultivo da amostra, onde se  
452 observa a presença do organismo após 1 a 2 dias em um meio de cultura  
453 apropriado (HOBBS e SEÑA, 2013). Apesar da montagem úmida ser um  
454 método barato e rápido, seu uso é limitado. Ainda que a especificidade deste  
455 método seja de 100%, sua sensibilidade é baixa, variando de 44 a 68% em  
456 comparação com o método de cultivo da amostra (VAN GERWEN *et al.*, 2023).  
457 Além disso, a exigência de um microscópio e de um microscopista experiente  
458 representa um desafio para o diagnóstico da tricomoníase em ambientes com  
459 poucos recursos (VAN GERWEN *et al.*, 2023). Embora o método de cultivo da  
460 amostra seja mais preciso, sua demora e a necessidade do meio de cultura  
461 específico torna esse exame pouco utilizado (HOBBS e SEÑA, 2013).

462 As opções para o diagnóstico de *T. vaginalis* cresceram bastante na  
463 última década. Métodos mais rápidos como múltiplos testes de amplificação de  
464 ácidos nucleicos (NAATs - *Nucleic Acid Amplification Test*) no local de  
465 atendimento são altamente sensíveis e se mostraram eficazes, mas  
466 apresentam um custo elevado (VAN GERWEN *et al.*, 2023). Apesar de já  
467 existirem testes de amplificação de ácido nucléico (NAATs) e testes de  
468 diagnóstico específicos para homens e mulheres (MUZNY *et al.*, 2019), a maior

469 parte das infecções assintomáticas por *T. vaginalis* continuam não identificadas  
470 e não tratadas (MIELCZAREK e BLASZKOWSKA, 2016).

471 O ensaio Xpert® TV (Cepheid, Sunnyvale, CA) foi o primeiro teste de  
472 amplificação de NAATs aprovado pela FDA para uso em urina feminina,  
473 esfregaço endocervical e espécimes vaginais coletados por pacientes e  
474 médicos, bem como para urina masculina (SCHWEBKE *et al.*, 2018). A  
475 sensibilidade e especificidade diagnóstica para o ensaio Xpert® TV variam de  
476 99,5–100% e 99,4–99,9% para amostras genitais femininas e 97,2–99,9% para  
477 amostras de urina masculina (SCHWEBKE *et al.*, 2018). Após coleta, o material  
478 é colocado na plataforma de teste, o ensaio Xpert® TV fornece os resultados  
479 em 60–90 minutos, possibilitando o diagnóstico e gerenciamento de ponto de  
480 atendimento (POC) (SCHWEBKE *et al.*, 2018).

481 O OSOM® *Trichomonas* Rapid Test (Sekisui, Framingham, MA) é um  
482 ensaio imunocromatográfico de detecção de antígeno qualitativo com um  
483 tempo entre 10-15 minutos (NATHAN *et al.*, 2015). Este foi validado para o  
484 diagnóstico de *T. vaginalis* em mulheres a partir de espécimes vaginais, tendo  
485 uma sensibilidade de 83-92% e especificidade de 99% (NATHAN *et al.*, 2015;  
486 SHEELE *et al.*, 2019). Este teste não teve um bom desempenho na  
487 identificação de infecção por *T. vaginalis* na urina masculina, quando  
488 comparado com o Aptima® TV Assay (SHEELE *et al.*, 2019), no entanto,  
489 atualmente é recomendado somente para mulheres (WORKOWSKI, 2015). Por  
490 não depender de nenhum equipamento altamente específico e ser de baixo  
491 custo, o teste OSOM® é interessante no cenário de campanhas de teste de  
492 ISTs em locais com poucos recursos (GARRETT *et al.*, 2018).

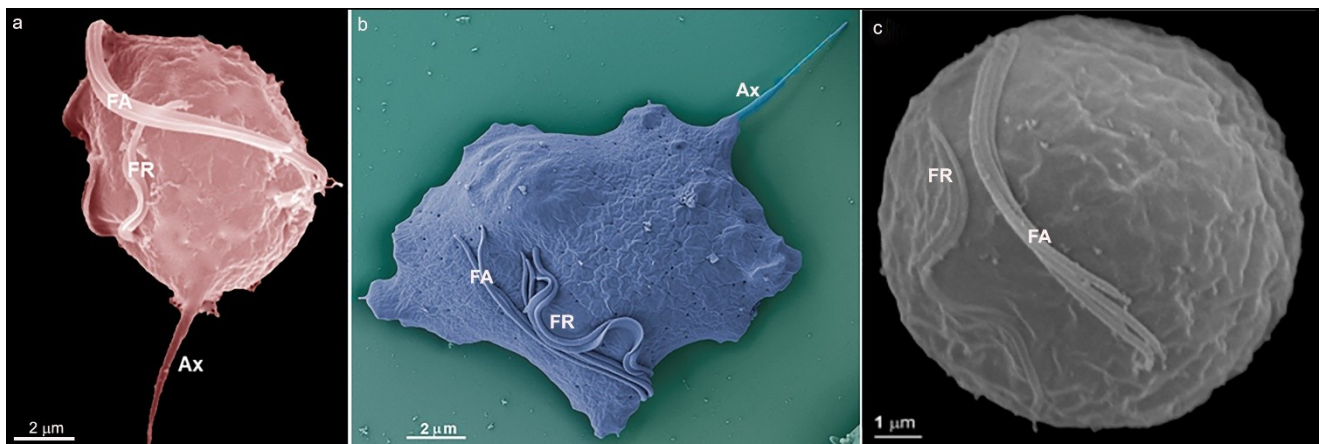
493 Para prevenir a tricomoníase é necessário usar preservativo em todas as  
494 relações sexuais (vaginais, orais ou anais). É a forma mais eficaz de evitar uma  
495 infecção sexualmente transmissível (MINISTÉRIO DA SAÚDE, 2023).

## 496 1.5. Morfologia

497 As *Trichomonas* são protozoários eucariotos, unicelulares que  
498 apresentam aspecto piriforme quando em cultura axênica (GRANGER *et al.*,  
499 2000). Quando em condições normais, o parasito apresenta os cinco flagelos  
500 externalizados, sendo estes relacionados à movimentação da célula. Quando

501 em contato com a célula hospedeira o parasito geralmente adquire forma  
502 ameboide, aumentando sua superfície de contato com a célula (PEREIRA-  
503 NEVES e BENCHIMOL, 2007). Quando se encontra em condições de estresse,  
504 que podem ser por privação de nutrientes, variações de temperatura ou  
505 durante tratamento com drogas, as *Trichomonas* apresentam forma  
506 arredondada, com seus flagelos total ou parcialmente internalizados e são  
507 denominadas formas endoflagelares ou pseudocistos (Fig. 2). Quando a  
508 situação se torna novamente favorável essa forma é reversível, os flagelos são  
509 externalizados e o parasita volta a ser piriforme (GRANGER *et al.*, 2000;  
510 PEREIRA-NEVES *et al.*, 2003).

511



512  
513 **Figura 2.** Microscopia eletrônica de varredura de *T. vaginalis* de suas diferentes  
514 morfologias. (a) Piriforme, (b) ameboide, (c) pseudocisto ou forma endoflagelar. FA,  
515 flagelos anteriores; FR, flagelo recorrente; Ax, axóstilo. (b e c, M. Benchimol).

516

## 517 1.6. Ultraestrutura

518 *T. vaginalis* possui organelas comuns aos eucariotos superiores e  
519 algumas estruturas peculiares (Fig. 3), que serão abordadas em seguida.

520

### 521 1.6.1. Superfície Celular

522

523 A superfície celular inclui a membrana plasmática e o glicocálice.  
524 Diferentes carboidratos, como o ácido siálico, manose, galactose, N-  
525 acetilglicosamina e N-acetyl-galactosamina foram encontrados na superfície das

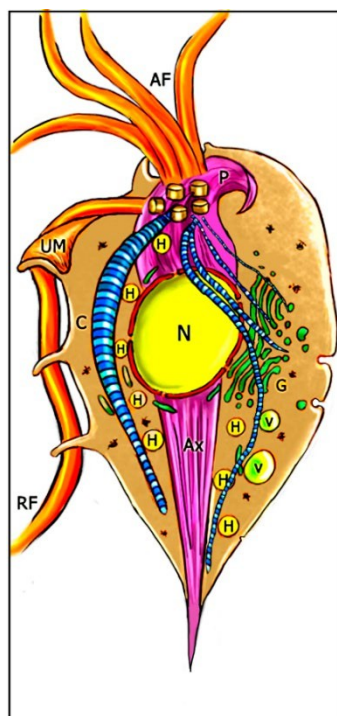
526 tricomonas, assim como nas membranas de compartimentos intracelulares  
527 (BENCHIMOL *et al.*, 1981, BENCHIMOL *et al.*, 1982; BENCHIMOL e  
528 BERNARDINO, 2002). Inicialmente, através de técnicas como microscopia  
529 eletrônica de transmissão convencional e por métodos citoquímicos, a  
530 organização da membrana plasmática nos tricomonadídeos foi descrita  
531 (SIMPSON e WHITE, 1964; HONIGBERG *et al.*, 1971). Entretanto, somente  
532 após técnicas de congelamento celular e crio-fratura é que foi possível observar  
533 informações detalhadas da ultraestrutura da membrana plasmática do parasita  
534 e as especializações com arranjos de proteínas intramembranares que ocorrem  
535 nas membranas que cobrem os flagelos sob a forma de rosetas nos flagelos  
536 anteriores e collar no flagelo recorrente (BENCHIMOL *et al.*, 1981;  
537 BENCHIMOL *et al.*, 1982).

538

539

#### 540       **1.6.2. Organelas**

541



542

543 **Figura 3.** Esquema de *T. vaginalis* indicando suas estruturas internas. AF, flagelos  
544 anteriores; RF, flagelo recorrente; UM, membrana ondulante; C, costa; P, pelta; Ax,  
545 axóstilo; N, núcleo; H, hidrogenossomos; G, complexo de Golgi; V, vacúolos (M.  
546 Benchimol).

547

548           **1.6.2.1. Retículo Endoplasmático**

549

550           O retículo endoplasmático (RE) em tricomonadídeos, assim como as  
551           células de eucariotos superiores, é normalmente encontrado próximo ao  
552           núcleo, constituindo a membrana externa do envoltório nuclear (BENCHIMOL e  
553           De SOUZA, 1985; QUEIROZ *et al.*, 1991). Esta organela também pode ser  
554           visualizada como perfis dispersos em outros locais do citoplasma, como por  
555           exemplo, próximos aos hidrogenossomos. Estudos demonstraram que o RE  
556           pode estar relacionado à formação da vesícula periférica dessas organelas  
557           (BENCHIMOL e DE SOUZA, 1985; BENCHIMOL *et al.*, 1996B; BENCHIMOL *et*  
558           *al.*, 2000; BENCHIMOL, 2008). Estudos citoquímicos realizados em  
559           *Tritrichomonas foetus*, um tricomonadíneo que infecta o gado, demonstraram a  
560           presença de cálcio no RE, sugerindo que essa organela possa atuar como  
561           reservatório deste íon (BENCHIMOL *et al.*, 1982c; DE SOUZA e BENCHIMOL,  
562           1985). Estudos mostraram que sob tratamento de drogas, o RE pode envolver  
563           organelas afetadas, como os hidrogenossomos por exemplo, em um típico  
564           processo de autofagia (BENCHIMOL *et al.*, 1996b).

565

566           **1.6.2.2. Complexo de Golgi e filamentos parabasais**

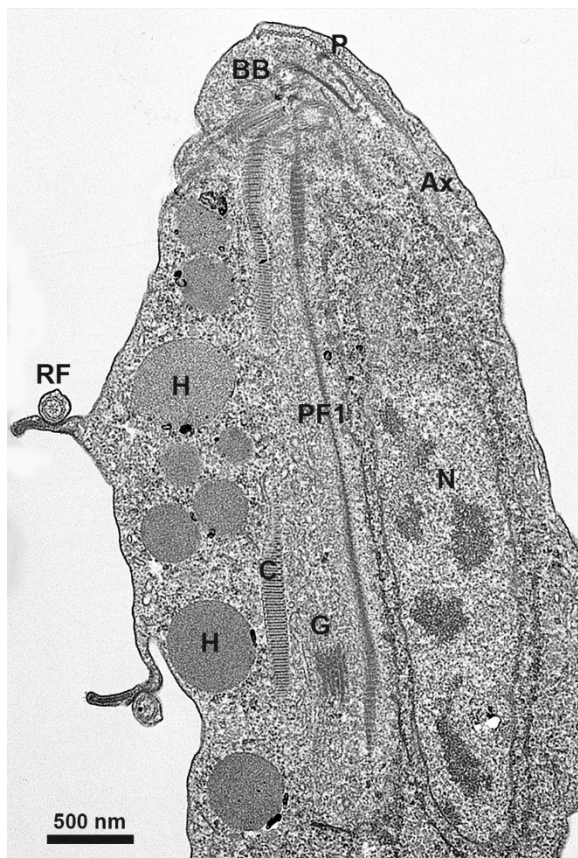
567

568           Diferentemente de outros parasitas as *Trichomonas* possuem o  
569           complexo de Golgi bem desenvolvido. (BENCHIMOL, 2004). Ao contrário do  
570           que ocorre em eucariotos superiores, durante o processo de divisão celular o  
571           complexo de Golgi em *Trichomonas* não se fragmenta (BENCHIMOL *et al.*,  
572           2001). A divisão dessa organela ocorre por golgicina, onde o Golgi se alonga  
573           e se divide em dois sendo essas duas unidades distribuídas para as duas-  
574           células filhas (BENCHIMOL *et al.*, 2001).

575           Os filamentos parabasais se encontram associados ao complexo de  
576           Golgi, formando o aparelho parabasal (HONIGBERG e BRUGEROLLE, 1990).  
577           Dois filamentos parabasais foram descritos em *T. foetus* (HONIBERG *et al.*,  
578           1971) enquanto em *T. vaginalis* seriam 4 (BENCHIMOL *et al.*, 2024, no prelo).  
579           Estas estruturas são cilíndricas, constituídas por proteínas e apresentam  
580           periodicidade (VISCOGLIOSI e BRUGEROLLE, 1994a). Em *T. vaginalis* estão  
581           localizados próximos a face cis (dois filamentos) e trans (outros dois filamentos

582 parabasais) do complexo de Golgi. Estudos sugerem que os filamentos  
583 parabasais estão relacionados com a sustentação e migração do complexo de  
584 Golgi durante a mitose (BENCHIMOL *et al.*, 2001).

585



586

587

588 **Figura 4.** Microscopia eletrônica de transmissão de *T. vaginalis* indicando suas  
589 estruturas internas. BB, corpúsculo basal; P, pelta; RF, flagelo recorrente; Ax, axóstilo;  
590 H, hidrogenossomos; PF1, filamento parabasal 1; N, núcleo; C, costa; G, Golgi. (M.  
591 Benchimol).

592

### 593 1.6.2.3. Vacúolos e Lisossomos

594

595 O citoplasma das tricomonas contém uma grande variedade de  
596 vacúolos/vesículas de diversos tamanhos que fazem parte do processo  
597 endocítico da célula. Esse processo pode ser observado com o uso de  
598 diferentes marcadores, como a peroxidase e várias proteínas conjugadas a  
599 ouro como albumina, transferrina e lectinas (BENCHIMOL *et al.*, 1986, 1990;  
600 AFFONSO *et al.*, 1994; 1997). A digestão intracelular de materiais oriundos do  
601 meio externo, como leveduras (PEREIRA-NEVES e BENCHIMOL, 2007) e

602 bactérias (BENCHIMOL e DE SOUZA, 1995) acontece nos lisossomos. Esta  
603 organela em tricomonadídeos encontram-se predominantemente na região  
604 posterior da célula, apesar de não existir uma região preferencial para a  
605 atividade endocítica do parasita (AFFONSO *et al.*, 1994, 1997; BENCHIMOL e  
606 DE SOUZA, 1995).

607

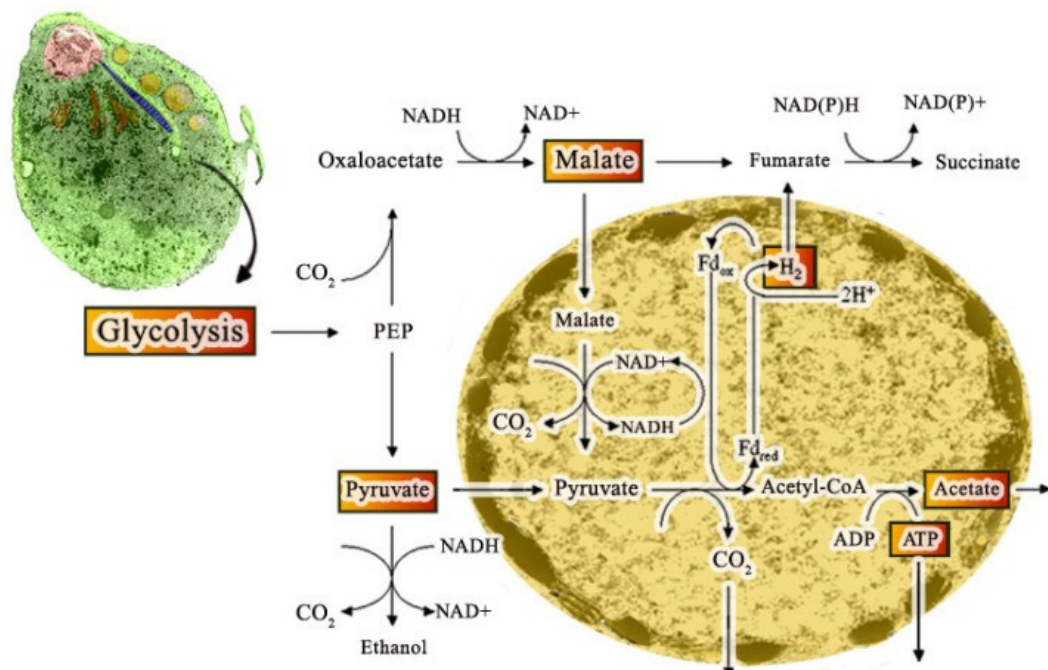
#### 608 1.6.2.4. Hidrogenossomos

609

610 Os tricomonadídeos não apresentam mitocôndrias, mas possuem uma  
611 organela incomum e importantíssima: os hydrogenossomos. O nome desta  
612 organela foi proposto por Lindmark e Müller (1973) devido sua função de  
613 produzir hidrogênio molecular e ATP, em um processo no qual o piruvato ou o  
614 malato são oxidados, resultando na produção de ATP, crucial para o  
615 metabolismo energético celular (MÜLLER, 1993; TACHEZY *et al.*, 2022).

616

617



618

619

**Figura 5.** Esquema do ciclo metabólico que ocorre no hidrogenossomo. Após a glicólise no citosol, o piruvato entra no hidrogenossomo. O malato também é utilizado após sua descarboxilação em piruvato. Dentro do hidrogenossomo, o piruvato é descarboxilado oxidativamente em acetil coenzima A e CO<sub>2</sub>, catalisado por uma proteína ferro-enxofre, PFOR. A ferredoxina reduzida é reoxidada pela hidrogenase

625 em uma reação que reduz prótons a hidrogênio molecular. Como resultado, ATP e  
626 acetato são produzidos (BENCHIMOL, 2008).

627

628

629 Os hidrogenossomos em *T. vaginalis* são esféricos e medem cerca de  
630 400-500 nm de diâmetro. Além disso, possuem dupla membrana, que se  
631 encontram justapostas (BENCHIMOL *et al.*, 1996; BENCHIMOL *et al.*, 2022).  
632 Apresentam também, vesículas periféricas, de diversos tamanhos que variam  
633 de acordo com a quantidade de cátions de magnésio, fosfato e cálcio a serem  
634 estocados, sendo assim, importante no processo de regulação intracelular de  
635 cálcio (RIBEIRO *et al.*, 2001; BENCHIMOL *et al.*, 2022). Estudos realizados  
636 através de técnicas por microanálise de raios-X, identificaram a presença de  
637 íons no interior da vesícula, como íons de cálcio, zinco e magnésio (RIBEIRO  
638 *et al.*, 2001; BENCHIMOL *et al.*, 2022), além do fósforo, que estaria sob a  
639 forma de pirofosfatos (CHAPMAN *et al.*, 1985). Ribeiro *et al.* (2001) também  
640 demonstraram a presença de cobalto e alumínio nesta vesícula (BENCHIMOL  
641 *et al.*, 2022).

642 Os hidrogenossomos encontram-se preferencialmente associados aos  
643 grânulos de glicogênio e estruturas do citoesqueleto como por exemplo, a costa  
644 e o axóstilo (BENCHIMOL *et al.*, 2000). Estudos na literatura mostram que há  
645 uma relação entre os hidrogenossomos e o retículo endoplasmático, o que  
646 sugere um fornecimento de lipídios para o crescimento dos hidrogenossomos  
647 (BENCHIMOL *et al.*, 1996; BENCHIMOL *et al.*, 2000; BENCHIMOL *et al.*,  
648 2022).

649 A origem dos hidrogenossomos ainda é motivo de grande debate.  
650 Algumas similaridades entre os hidrogenossomos e as mitocôndrias foram  
651 descritas, tanto bioquimicamente como estruturalmente, indicando um grau de  
652 proximidade evolutiva entre as duas organelas. Diversas hipóteses foram  
653 levantadas a fim de explicar a origem dos hidrogenossomos. Atualmente,  
654 acredita-se na hipótese que os hidrogenossomos e mitocôndrias evoluíram de  
655 um ancestral comum a partir da mesma organela progenitora (EMBLEY, 2006;  
656 TACHEZY *et al.*, 2022).

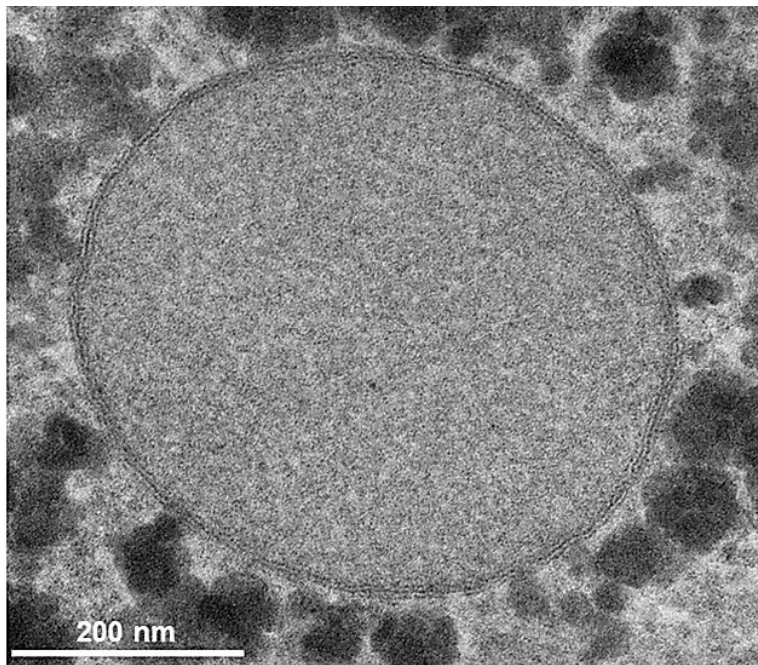
657 Os hidrogenossomos apresentam algumas características similares com  
658 as mitocôndrias, por exemplo: (1) o mecanismo de divisão, que ocorre por

659 partição ou segmentação; (2) participam na produção de ATP pelo  
660 metabolismo do piruvato; (3) possuem dupla membrana (BENCHIMOL *et al.*,  
661 1982); (4) apresentam enzimas translocases na sua membrana interna (5)  
662 possuem cardiolipina, fosfolipídio presente em membranas bacterianas e  
663 membrana interna das mitocôndrias (ROSA *et al.*, 2006); (6) participam do  
664 sequestro de íons de cálcio (RIBEIRO *et al.*, 2001). Porém, as mitocôndrias e  
665 os hidrogenossomos também se diferenciam em alguns aspectos, como por  
666 exemplo: os hidrogenossomos não possuem: (1) DNA nem ribossomos  
667 (CERKASOVÁ *et al.*, 1976), (2) citocromos, (3) enzimas do ciclo de Krebs e  
668 (4) nem F0-F1 ATPase (LLOYD *et al.*, 1979). Além do mais, os  
669 hidrogenossomos apresentam enzimas que as mitocôndrias não possuem,  
670 como a hidrogenase (BUI e JOHNSON, 1996) e a piruvato-ferredoxina oxido-  
671 redutase (HRDÝ e MÜLLER, 1995; TACHEZY *et al.*, 2022).

672 A translocase da membrana externa (TOM) localizada na membrana  
673 externa mitocondrial, que desempenha um papel fundamental na importação  
674 de proteínas e na biogênese da organela, é altamente divergente nos  
675 hidrogenossomos de *Trichomonas*. Apesar da distância evolutiva, o complexo  
676 TOM (TvTOM) em *T. vaginalis* tem uma estrutura conservada de poros triplos,  
677 mas com uma forma única semelhante a um crânio, sugerindo que o TOM na  
678 mitocôndria inicial poderia ter formado três poros (MAKKI *et al.*, 2019 e  
679 TACHEZY *et al.*, 2022).

680 Os hidrogenossomos têm sido importantes para estudos de tratamento  
681 com drogas (BENCHIMOL *et al.*, 2022). O fato dos hidrogenossomos estarem  
682 presentes em organismos unicelulares e em alguns fungos e ausentes em  
683 células de mamíferos, tem despertado o interesse desta organela como alvo  
684 potencial para novos medicamentos no tratamento da tricomoníase  
685 (BENCHIMOL, 2008; BENCHIMOL *et al.*, 2022). Muitos estudos têm mostrado  
686 que o tratamento de tricomonas com drogas como, metronidazol beta-  
687 Lapachona, colchicina, Taxol, nocodazol, griseofulvina, citocalasinas,  
688 hidroxiuréia, zinco, peróxido de hidrogênio, SQ109 entre outras, provocam  
689 alterações severas nos hidrogenossomos, o que resultaria na morte dos  
690 parasitos (BENCHIMOL *et al.*, 1993; BENCHIMOL *et al.*, 1996a; BENCHIMOL,  
691 1999; BENCHIMOL, 2001; RIBEIRO *et al.*, 2001; MARIANTE *et al.*, 2003;

692 HRDÝ *et al.*, 2005; BENCHIMOL, 2008; BENCHIMOL *et al.*, 2022; DE SOUZA  
693 *et al.*, 2023).



694  
695 **Figura 6.** Microscopia eletrônica de transmissão de um hidrogenossomo de *T.*  
696 *vaginalis*. Nota-se a dupla membrana e o formato esférico da organela.  
697

#### 698           **1.6.2.5. Núcleo e divisão**

699

700       Os tricomonadídeos apresentam um único núcleo localizado na parte  
701 anterior da célula (Fig. 3). O envoltório nuclear, assim como em eucariotos  
702 superiores, é constituído por duas membranas onde a parte externa é o RE  
703 enquanto a membrana interna está voltada para a matriz nuclear (BENCHIMOL  
704 *et al.*, 1982A; BENCHIMOL, 2004).

705       A divisão celular nos tricomonadíneos é por mitose fechada, com fuso  
706 extranuclear. Não ocorre a fragmentação do envoltório nuclear, sendo  
707 denominada de pleuromitose (BRUGEROLLE *et al.*, 2000). Durante a fase pré-  
708 mitótica, todas as estruturas do citoesqueleto como a costa, complexo pelta-  
709 axóstilo, corpúsculos basais, flagelos e filamentos parabasais se duplicam. Na  
710 prófase, a célula fica um pouco maior, porém ainda piriforme. Durante a  
711 metáfase, os corpúsculos basais migram para polos opostos, em seguida  
712 ocorre a migração das outras estruturas do citoesqueleto. Antes de entrar em  
713 anáfase, os axóstilos migram para os polos opostos da célula, auxiliados pelo

714 batimento dos flagelos anteriores (RIBEIRO *et al.*, 2000; 2002a; 2002b).  
715 Estudos mostraram que durante a mitose, o axóstilo desempenha um papel  
716 fundamental: participando das mudanças na forma da célula, contorção da  
717 região anterior da célula e cariocinese (BENCHIMOL, 2004). Durante a  
718 anáfase, a célula adquire uma forma mais alongada e ocorre a cariocinese. A  
719 telófase é caracterizada pela citocinese, os núcleos migram e ficam distantes,  
720 formando-se duas células filhas (BENCHIMOL, 2004). Estudos indicam que os  
721 movimentos dos flagelos sugerem auxiliar a citocinese (RIBEIRO *et al.*, 2000;  
722 2002a; 2002). A mitose é finalizada quando as duas pequenas células-filhas se  
723 separam em suas extremidades posteriores e recuperam o movimento celular  
724 normal (BENCHIMOL, 2004). O mecanismo de segregação dos cromossomos  
725 das tricomonas ainda não foi elucidado.

726 Estudos sobre sequenciamento do genoma de *T. vaginalis*  
727 demonstraram que apresenta 160-Mb, sendo capaz de codificar em média  
728 60.000 proteínas, muito maior do que o de muitos outros protozoários, como  
729 giardias, tripanosomas, plasmódios e amebas (CARLTON *et al.*, 2007).

730

### 731 **1.6.3. Citoesqueleto**

732

733 O citoesqueleto dos tricomonadíneos é formado por diversas estruturas  
734 proteicas muitas das quais ainda não foram bem elucidadas. Entre as principais  
735 citamos o complexo pelta-axóstilo, os flagelos (*T. vaginalis* possui quatro  
736 flagelos anteriores e um recorrente), a costa, os filamentos parabasais, os  
737 corpúsculos basais e seus filamentos associados, de onde surgem os flagelos  
738 e as demais estruturas relacionadas a movimentação do parasito  
739 (HONIGBERG *et al.*, 1971; RIBEIRO *et al.*, 2000). Também apresentam  
740 diversas estruturas pouco conhecidas como os filamentos sigmóides, o  
741 filamento X e as estruturas associadas aos corpúsculos basais, entre outras,  
742 que ainda têm suas funções desconhecidas (BENCHIMOL, 2004).

743

#### 744 **1.6.3.1. Complexo Pelta-Axóstilo**

745

746 O axóstilo é constituído por microtúbulos longitudinais de uma  
747 extremidade a outra da célula (BENCHIMOL *et al.*, 2000) (Fig. 3). Ele

748 desempenha um papel importante como uma estrutura axial e durante a divisão  
749 celular, participa do processo de cariocinese promovendo a constrição do  
750 núcleo (RIBEIRO *et al.*, 2001). A pelta é uma estrutura também formada por  
751 microtúbulos encontrada na região anterior da célula e apresenta continuidade  
752 com o axóstilo. A pelta apresenta como principal função sustentar o canal  
753 periflagelar, local em que os flagelos emergem (RIBEIRO *et al.*, 2000) (Fig. 3).

754

#### 755 **1.6.3.2. Corpúsculos basais e flagelos**

756

757 *T. vaginalis* apresenta cinco corpúsculos basais, quatro deles originam  
758 os flagelos anteriores e um deles o flagelo recorrente. O corpúsculo basal  
759 apresenta nove triplletes de microtúbulos, mas não possui um par central, como  
760 nos flagelos. Estudos indicaram a presença de diferentes fibras que estão  
761 associadas a esta estrutura (VISCOGLIOSI e BRUGEROLLE, 1994b).

762 Os flagelos em tricomonas, bem como de eucariotos, apresentam um  
763 arranjo de microtúbulos 9+2 (sendo nove pares de microtúbulos periféricos e  
764 um par central). Através de estudos por técnicas como criofratura e *freeze-*  
765 *etching* em *T. foetus* foi demonstrado que a membrana dos flagelos anteriores  
766 possui 9 a 12 partículas intramembranosas formando rosetas (BENCHIMOL *et*  
767 *al.*, 1981). Estudos indicaram que todos os flagelos participam do movimento  
768 da célula (MONTEIRO-LEAL *et al.*, 1995). Além disso, também foi observado  
769 que os flagelos anteriores possuem batimentos ciliares diferentemente dos  
770 encontrados no flagelo recorrente (MONTEIRO-LEAL *et al.*, 1995).

771

#### 772 **1.6.3.4 Costa**

773

774 A costa é uma estrutura proteica com periodicidade que está associada  
775 à membrana ondulante do parasita, diminuindo a pressão mecânica causada  
776 pelo intenso batimento do flagelo recorrente (BENCHIMOL, 2004). Constituída  
777 por proteínas básicas, apresenta bandas claras e escuras de diferentes  
778 espessuras (BENCHIMOL *et al.*, 1982). A costa é classificada de acordo com  
779 seu padrão periódico, *T. vaginalis* possui um padrão de estriação da costa tipo  
780 B, semelhante a "espinhas de peixe", diferente do padrão de estriação da costa  
781 de *T. foetus*, denominada como costa tipo A, quando as bandas estão

782 organizadas paralelamente (HONIBERG *et al.*, 1971). Estudos utilizando  
783 técnicas de fracionamento celular, proteômica, microscopia eletrônica de alta  
784 resolução e espectrometria de massa mostraram que a costa de *T. foetus*  
785 apresenta uma organização estrutural bastante complexa com diferentes  
786 padrões de estrias regulares e uma região central amorfa. Além disso, estes  
787 estudos também mostraram que esta estrutura é composta por proteínas  
788 únicas (DE ANDRADE ROSA *et al.*, 2017). Recentemente foi caracterizada  
789 pela primeira vez, uma proteína pertencente à costa de *T. foetus*, um  
790 protozoário patogênico que afeta gado e felinos. Esta proteína foi denominada  
791 como costain 1 (BANDEIRA e DE SOUZA 2022). Posteriormente, em um  
792 trabalho do mesmo grupo foi possível, a partir da recente técnica de  
793 microscopia de expansão (ExM), visualizá-la de modo específico na costa do  
794 parasito. Além disso, com o uso dessa técnica foi possível observar pela  
795 primeira vez por imunofluorescência, os microtúbulos individualizados de  
796 ambas as espécies de *T. foetus* e *T. vaginalis* (BANDEIRA *et al.*, 2023).

797

## 798 **1.7. Interação-parasito hospedeiro e patogenicidade**

799 Pouco se conhece sobre os mecanismos das interações parasito-  
800 hospedeiro, apesar da alta incidência de tricomonas em diversas espécies. As  
801 tricomonas não penetram no epitélio, portanto, são considerados parasitos não-  
802 invasivos, extracelulares (RASMUSSEN *et al.*, 1986; GONZÁLES-ROBLES *et*  
803 *al.* 1995). Como já bem descrito na literatura o parasito quando se adere às  
804 células epiteliais forma interdigitações e assume uma mudança drástica em sua  
805 morfologia, passando à forma ameboide (PEREIRA-NEVES e BENCHIMOL,  
806 2007) (Fig. 6), sendo este sugerido como um sinal de virulência (ARROYO *et*  
807 *al.*, 1993). Isso poderia estar relacionado a uma maior superfície de adesão  
808 entre as duas células, estando as duas membranas conectadas de maneira tão  
809 íntima que parecem estar em continuidade em alguns pontos (FURTADO E  
810 BENCHIMOL, 1998). No entanto, trabalho recente de injeção com marcadores  
811 fluorescentes não encontraram comunicação entre as células (ORTIZ *et al.*,  
812 2023).

813

814

815

816

817

818

819

820

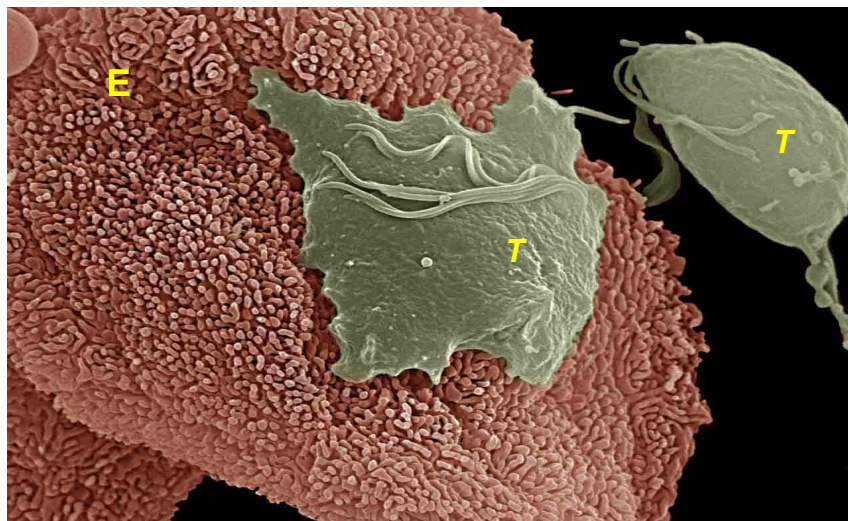
821

822

823

824

825



826 **Figura 7.** *T. vaginalis* aderida à célula epitelial vaginal apresentando morfologia  
827 amebóide (foto de Pereira-Neves e Benchimol). **E**, epitélio; **T**, *T. vaginalis*.

828

829

830 Para que ocorra o estabelecimento da tricomoníase, o parasito  
831 inicialmente deve ultrapassar a barreira do muco para poder interagir com o  
832 epitélio vaginal (ALDERETE e GARZA, 1988). Isso parece estar relacionado ao  
833 movimento dos flagelos e a ação de enzimas proteolíticas, denominadas  
834 mucinases, que vão digerir o muco que reveste o epitélio vaginal, até que os  
835 parasitos consigam acesso às células epiteliais vaginais (LEHKER e  
836 SWEENEY, 1999).

837 Muitos pesquisadores alegam que os danos provocados pelos parasitos  
838 ocorrem através de um processo direto e dependente do contato com a célula  
839 hospedeira, sendo este um pré-requisito crucial para a citotoxicidade  
840 (GONZÁLES-ROBLES et al., 1995; BURGESS et al., 1990; SINGH et al., 2004).  
841 No entanto, alguns estudos divergem e acreditam que proteases, entre outros  
842 produtos metabólicos, são liberados pelos parasitos no ambiente vaginal e que  
843 através destes, ocorram os efeitos citotóxicos nas células hospedeiras, não  
844 havendo necessidade do contato direto do parasito com as células vaginais  
845 (GARBER e LEMCHUK-FAVEL, 1989; PINDAK et al., 1993). Entretanto, foi  
846 possível demonstrar após a realização de experimentos de interação, utilizando  
847 uma membrana permeável entre os parasitos e células hospedeiras, que o  
848 contato é necessário para que ocorra o efeito citotóxico (GILBERT et al., 2000).

849 Foi sugerido que a adesão de *T. vaginalis* às células epiteliais ocorreria  
850 através de adesinas (APs) que são proteínas de superfície, cuja síntese é  
851 regulada pelo ferro, e pela atividade de proteinases. Essas proteínas  
852 denominadas AP65, AP51, AP33 e AP23, seriam capazes de reconhecer  
853 proteínas específicas do hospedeiro através de uma interação do tipo ligante  
854 receptor (ARROYO e ALDERETE, 1992; ARROYO *et al.*, 1993).

855 No entanto, o fato das adesinas serem consideradas ligantes exclusivos  
856 do processo de adesão às células epiteliais vaginais recebeu críticas por outros  
857 pesquisadores (RADA *et al.*, 2019). Estudos mostraram que genes dessas  
858 adesinas apresentaram homologia com enzimas hidrogenossomais como por  
859 exemplo, enzima málica e ambas as sub-unidades da enzima succinil CoA  
860 sintetase. Sendo assim, foi sugerido que essas proteínas poderiam apresentar  
861 funções múltiplas como ocorre em outros microrganismos (RADA *et al.*, 2019).  
862 Além disso, estudos demonstraram que as adesinas de tricomonas também  
863 são capazes de se ligar a diversos tipos celulares, como por exemplo,  
864 eritrócitos de diferentes espécies, *Mycoplasma hominis* e linhagens celulares  
865 como células Vero, CHO e HeLa (ADDIS *et al.*, 2000). Essas observações  
866 suscitaram suspeitas que a especificidade da adesão desse parasito ao epitélio  
867 vaginal poderia não ocorrer por estas adesinas.

868 Estudos em *T. foetus* demonstraram a ação mediadora de laminina e  
869 fibronectina no processo de interação. Experimentos utilizando partículas de  
870 poliestireno revestidas com diferentes tipos de proteínas em linhagem celular  
871 MDCK, demonstraram que a adesão do parasito foi intensificada pela laminina  
872 (SILVA FILHO e DE SOUZA, 1988). Há também estudos indicando que a  
873 adesão poderia ser mediada por glicoconjungados. Experimentos de inibição  
874 com açúcares competidores apresentaram uma diminuição significativa da  
875 adesão de *T. foetus* e *T. vaginalis* (BONILHA *et al.*, 1995).

876 Outra classe de moléculas que estaria diretamente relacionada com o  
877 mecanismo de adesão são as cisteíno-proteases (ARROYO e ALDERETE,  
878 1989). Uma cisteíno-protease de 30 kDa (CP-30) foi achada intermediando  
879 processos citotóxicos de *T. foetus* em células epiteliais vaginais bovinas  
880 (SINGH *et al.*, 1999) e de *T. vaginalis* em células HeLa e epiteliais vaginais  
881 humanas (MENDONZA-LOPES *et al.*, 2000). Esta cisteíno-protease teria  
882 relação com o mecanismo de apoptose tanto das células vaginais bovinas

883 (SINGH *et al.*, 2004) como das células do endométrio bovino (SINGH *et al.*,  
884 2005), agindo estrategicamente na modulação deste evento celular. Por estar  
885 relacionada com a degradação de proteínas da matriz extracelular, como a  
886 laminina e a fibronectina, a CP-30 intensificaria o mecanismo de citotoxicidade  
887 do parasito, sendo comprovada a sua ligação com as proteínas de matriz  
888 (SILVA-FILHO e DE SOUZA, 1988; BENCHIMOL *et al.*, 1990; CROUCH e  
889 ALDERETE, 1999). Por esse motivo, as tricomonas assumiriam um caráter  
890 mais infectivo e invasivo, pois a presença do parasito às camadas epiteliais  
891 profundas provocaria a esfoliação das camadas mais superficiais.

892 Dependendo da virulência da cepa, também pode ocorrer a ruptura do  
893 epitélio e de suas junções, atingindo a lâmina basal e causando múltiplas  
894 infecções (KRIEGER *et al.*, 1985; GAULT *et al.*, 1995; MADEIRO e  
895 BENCHIMOL, 2004). Neste local há uma baixa tensão de oxigênio o que  
896 propiciaria uma infecção bem-sucedida visto que o parasito é microaerófilo.  
897 Embora experimentos *in vitro* tenham mostrado a importância das cisteíno-  
898 proteases na adesão, seu papel também se mostrou relevante na modulação  
899 da resposta imune (FELLEISEN, 1999). Foi demonstrado que algumas  
900 cisteíno-proteases de *T. foetus* são capazes de clivar as imunoglobulinas IgG1  
901 e IgG2 bovinas, que podem matar o parasito *in vitro* (CORBEIL, 1994; DE  
902 AZEVEDO E DE SOUZA, 1992; 1996). Pesquisadores sugerem que estas  
903 cisteíno-proteases são capazes de agir contra a resposta imune do hospedeiro,  
904 internalizando seus anticorpos após sua ligação, mecanismo este conhecido  
905 como mimetismo molecular (GRANGER E WARDWOOD, 1996).

906 Trabalhos anteriores mostraram que *T. vaginalis* não causa efeitos  
907 citotóxicos em células vaginais bovinas (SINGH *et al.*, 2004) e o inverso  
908 também não ocorria com *T. foetus* em relação às células vaginais humanas  
909 (LOCKWOOD *et al.*, 1984; GILBERT *et al.*, 2000). Experimentos nos quais  
910 foram adicionados 20 extratos purificados de CP30 de *T. foetus* em células  
911 vaginais humanas, não detectou indução de apoptose, o mesmo também  
912 ocorreu com *T. vaginalis* em células vaginais bovinas (SINGH *et al.*, 2004).  
913 Esses autores sugeriram que ocorreria uma interação espécie-específica entre  
914 os parasitos e seus respectivos hospedeiros, onde *T. vaginalis* não seria capaz  
915 de infectar células epiteliais do trato reprodutivo bovino. No entanto, estudos  
916 posteriores utilizando videomicroscopia, microscopia eletrônica de varredura e

917 de transmissão, ensaios colorimétricos e citoquímica mostraram o efeito  
918 citopático de *T. vaginalis* em células epiteliais bovinas (MIDDLEJ E  
919 BENCHIMOL, 2009).

920 *T. vaginalis* foi capaz de atacar células bovinas formando grupos ao  
921 redor dela, acarretando danos à membrana plasmática da célula hospedeira e,  
922 consequentemente, morte celular. Após as lesões e lise na membrana  
923 observou-se que fragmentos de células necróticas foram fagocitados por *T.*  
924 *vaginalis*, mas células vivas ou intactas não foram ingeridas (MIDDLEJ E  
925 BENCHIMOL, 2009).

926 Estudos recentes relacionados aos mecanismos moleculares de  
927 interação de *T. vaginalis* aos tecidos da mucosa do hospedeiro sugerem que a  
928 aderência às células é complexa e multifacetada (tabela 2), com muitos fatores  
929 a serem identificados (HIRT et al., 2011; HIRT, 2013; FICHOLOVA et al., 2016;  
930 MERCER e JOHNSON, 2018).

931  
932

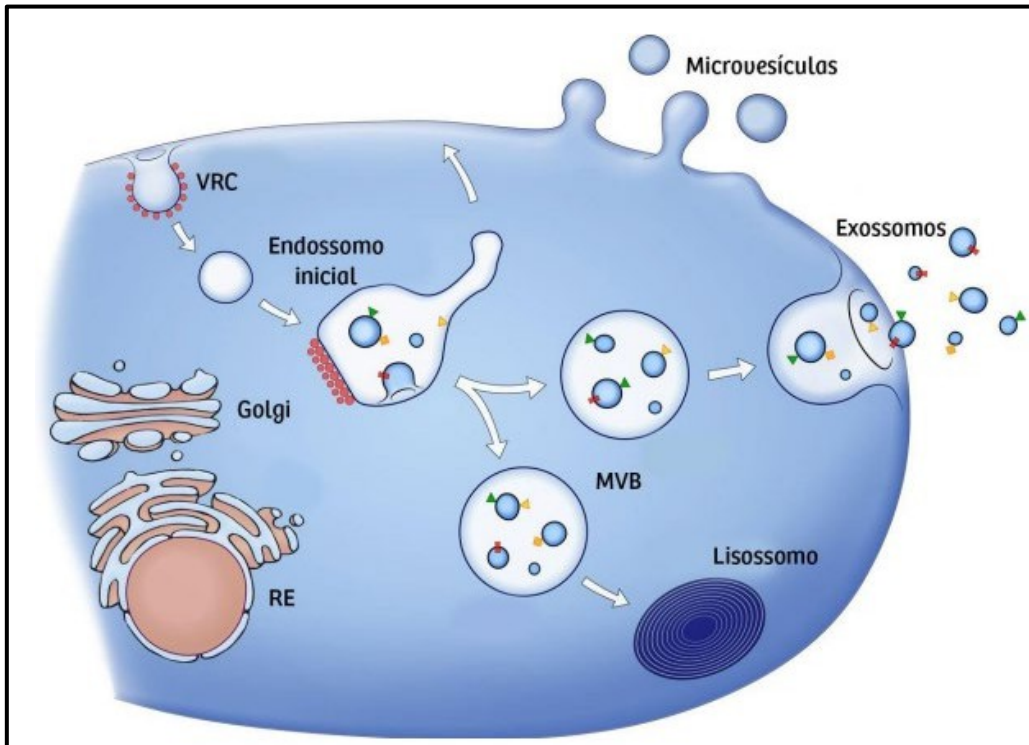
### 933 1.7.1 Microvesículas e exossomos de *T. vaginalis*

934

935 O termo “vesículas extracelulares” (VEs) foi estabelecido pela *International*  
936 *Society for Extracellular Vesicles* como estruturas secretadas de forma natural  
937 pelas células, sendo delimitadas por uma bicamada lipídica contendo proteínas  
938 e ácidos nucléicos (SALAS et al., 2023). VEs referem-se a todas as  
939 subpopulações de VEs e sua utilização deve ser coletiva e universal (THÉRY et  
940 al., 2018). A liberação de VEs foi descrita em diversos organismos como  
941 Archaea, proteobactérias, plantas, fungos, protozoários e animais, onde foi  
942 descrita a capacidade de liberação de uma ampla variedade de vesículas,  
943 como, por exemplo, exossomos, microvesículas e corpos apoptóticos,  
944 apresentando variações de tamanho entre si (BOSE et al., 2020). Dentre os  
945 diversos subtipos de VEs existentes há três categorias principais conforme seu  
946 modo de biogênese, tamanho e função: (1) exossomos, (2) microvesículas  
947 (MVs) e (3) corpos apoptóticos. Os exossomos têm origem na invaginação da  
948 membrana plasmática e formação de corpos multivesiculares (MVB); seu  
949 tamanho varia de 40 a 100 nm. As microvesículas (MVs), também  
950 denominadas de micropartículas ou ectossomos, são provenientes do

951 brotamento e extrusão da membrana plasmática, com tamanhos entre 50 e  
952 1000 nm e estrutura assimétrica (Fig. 8). Os corpos apoptóticos, com tamanhos  
953 de até 1000 nm, são oriundos de células apoptóticas (KALRA *et al.*, 2012; DE  
954 SOUZA e BARRIAS, 2020; SALAS *et al.*, 2023).

955



956

957

958 **Figura 8.** Representação esquemática da liberação de microvesículas e exossomos.  
959 Microvesículas são liberadas por evaginação da membrana plasmática, enquanto os  
960 exossomos são representados por pequenas vesículas de tamanhos variados que são  
961 formadas a partir da fusão de corpos multivesiculares, (MVBs) com a membrana  
962 plasmática. RE, retículo endoplasmático; VRC, vesícula revestida por clatrina  
963 (Adaptado de RAPOSO e STOORVOGEL, 2013).

964

965

966 O estudo das VEs é de suma importância, principalmente pelas funções  
967 com as quais estão relacionadas (NIEVAS *et al.*, 2018). São capazes de  
968 modularem eventos de curta e longa distâncias, permitindo que as células se  
969 comuniquem. Participam e regulam processos fisiológicos, como coagulação  
970 sanguínea, diferenciação celular e inflamação, bem como processos  
971 patológicos causados por câncer, doenças neurológicas, cardiovasculares e  
972 infecciosas (KAO e PAPOUTSAKIS, 2019; RAPOSO E STOORVOGEL, 2013;  
973 SALAS *et al.*, 2023). As VEs também são importantes para a comunicação

entre patógenos e células hospedeiras (DRUREY E MAIZELS, 2021; NIEVAS *et al.*, 2020; SABATKE *et al.*, 2021; TORRECILHAS *et al.*, 2020). Estudos de VEs em *T. vaginalis* demonstraram que tanto exossomos quanto MVs são eficazes em distribuir seu conteúdo para as células hospedeiras, modulando a resposta imune dessas células. Além disso, a formação de VEs aumenta na presença de células hospedeiras e modulariam a adesão do parasita (NIEVES *et al.*, 2018; NIEVES *et al.*, 2020; RADA *et al.*, 2022; RAI E JOHNSON, 2019; SALAS *et al.*, 2023). Foi descrito que os exossomos de *T. vaginalis* contêm RNA, proteínas exossômicas conservadas e proteínas específicas de parasitas (TWU *et al.*, 2013). Foi reportado que a carga de RNA presente nas vesículas de *T. vaginalis* seria internalizada rapidamente por células humanas através de endocitose dependente de *lipid rafts*. Essa carga é majoritariamente constituída por pequenos RNAs reguladores (ARTUYANTS *et al.*, 2020). Também foi demonstrado que os exossomos de cepas muito aderentes têm potencial de aumentar os níveis de aderência em cepas pouco aderentes (OLMOS-ORTIZ *et al.*, 2017). Um estudo recente com diferentes cepas de *T. vaginalis* mostrou que esses parasitas formam conexões celulares membranosas semelhantes a citonemas para se comunicarem (SALAS *et al.*, 2023). Além do mais, foi visto que a formação de citonemas de uma cepa de parasita menos aderente é afetada na presença de uma cepa mais aderente. Evidenciou-se que uma cepa de *T. vaginalis* pouco aderente passa a aderir mais fortemente às células da próstata na presença de uma cepa aderente (SALAS *et al.*, 2023), corroborando achados anteriores (OLMOS-ORTIZ *et al.*, 2017). Um outro estudo caracterizou morfologicamente vesículas secretadas por *T. vaginalis* e foi possível observar possíveis danos causados durante a interação deste parasita com células epiteliais vaginais *in vitro* (ANDRADE, 2022).

Adicionalmente, foi demonstrado que a carga molecular de VEs produzidas por *Lactobacillus gasseri* e *Gardnerella vaginalis* modulariam a interação entre *T. vaginalis* e células hospedeiras. (ARTUYANTS *et al.*, 2023). Mais estudos são necessários para se compreender melhor o papel das VEs e suas implicações no processo de infecção desse parasita.

1006

### 1007 1.7.2. Nanotubos de tunelamento

1008  
1009 Os nanotubos de tunelamento (TNTs) são projeções citoplasmáticas  
1010 transitórias compostas por filamentos de actina, estendidos entre as células na  
1011 forma de canais nanotubulares abertos, apresentando 50–200 nm de diâmetro  
1012 (RUSTOM *et al.*, 2004). Vários tipos de células exibem finas saliências de  
1013 membrana, que receberam diferentes nomes, como citonemas, extensões de  
1014 membrana tunelamento de saliências semelhantes a nanotubos (TNT), pontes  
1015 celulares, filopódios especializados e filopódios de sinalização (Revisado em  
1016 Yamashita *et al.*, 2018). Foi sugerido que essas saliências realizariam algum  
1017 papel em um novo mecanismo de comunicação intercelular direta.

1018 Em *Trypanossoma brucei* foi demonstrado que os nanotubos  
1019 membranosos são formados na região posterior da membrana flagelar, e,  
1020 posteriormente, se diferenciam em VEs livres (Szembruch *et al.*, 2016). Em *T. foetus* um estudo utilizando microscopia de varredura de íons de hélio de alta  
1021 resolução, bem como microscopia eletrônica de transmissão e células coradas  
1022 negativamente demonstrou a presença de saliências finas (nanotubos), com  
1023 diferentes tamanhos (27 nm a 81 nm de espessura) e vários comprimentos (de  
1024 73 nm a 2 µm) com o aspecto de estruturas bulbosas que brotam da superfície  
1025 celular que não haviam sido descritas antes nesse parasita (Benchimol *et al.*,  
1026 2021). Em *T. vaginalis* foram encontradas estruturas finas semelhantes a  
1027 nanotubos de tunelamento, com uma possível presença de material em vias de  
1028 transporte, sugerindo mais um mecanismo que o parasito, provavelmente,  
1029 utilizaria para ter sucesso como agente infectivo. Foi observado que os  
1030 parasitas projetam seus flagelos em direção às células epiteliais e parecem  
1031 demonstrar uma forte adesão à estas células hospedeiras (ANDRADE, 2022).  
1032  
1033

1034 **1.8. Tratamento**

1035 O tratamento atual da tricomoníase humana consiste no uso do  
1036 metronidazol 1-(2-hidroiyethyl) -2-methyl-5-nitroimidazol (MTZ), um composto  
1037 bastante utilizado no tratamento de várias infecções provocadas por bactérias  
1038 anaeróbicas como *Helicobacter*, *Bacteroides* e *Clostridium* e parasitas  
1039 anaeróbicos ou aerotolerantes como *Trichomonas*, *Entamoeba* e *Giardia*

1040 (EDWARDS, 1993). Na década de 1960, o metronidazol foi aprovado pelo FDA  
1041 (*Food and Drug Administration*, EUA) para o tratamento da tricomoníase  
1042 humana, demonstrando uma alta taxa de cura, chegando próxima a 100%  
1043 (COSAR e JULOU, 1959). Quatro décadas depois, o uso do tinidazol foi aceito  
1044 (FUNG E DOAN, 2005) e recentemente a FDA aprovou o uso do secnidazol  
1045 nos Estados Unidos (MUZNY E VAN GERWEN, 2022; IBÁÑEZ-ESCRIBANO e  
1046 NOGAL-RUIZ, 2024).

1047 O MTZ, por ser uma molécula pequena, entra na célula por difusão  
1048 passiva. O composto entra sob a forma inativa e através de reduções  
1049 anaeróbicas, torna-se um composto ativo. Em protozoários como as  
1050 *Trichomonas*, o metronidazol é reduzido nos hidrogenossomos pela ação da  
1051 enzima piruvato-ferredoxina oxidoredutase (Fig. 9), ocorre assim a formação de  
1052 radicais nitro-citotóxicos levando à formação de radicais livres que oxidam a  
1053 molécula de DNA do parasito levando o mesmo à morte (CHAPMAN *et al.*,  
1054 1985).

1055 Embora eficaz, o MTZ causa muitos efeitos colaterais, como náuseas,  
1056 vômitos, tonturas, insônia, humor depressivo, alterações diversas no paladar,  
1057 tremores, diarreia, dor de cabeça etc. (ROSA *et al.*, 2011). Em casos mais  
1058 severos podem ocorrer pancreatite, leucopenia e neuropatias (LOSSICK,  
1059 1990). Estudos também mostraram que este composto é mutagênico em  
1060 bactérias e carcinogênico em camundongos (CONNOR *et al.*, 1977;  
1061 LINDMARK e MULLER, 1976). A FDA, inclusive, alerta para o potencial  
1062 carcinogênico do metronidazol em ratos e camundongos, sendo seu uso  
1063 veterinário restrito em alguns países (EUA e Europa) devido sua associação à  
1064 carcinogênese (HERNÁNDEZ CERUELOS, 2019).

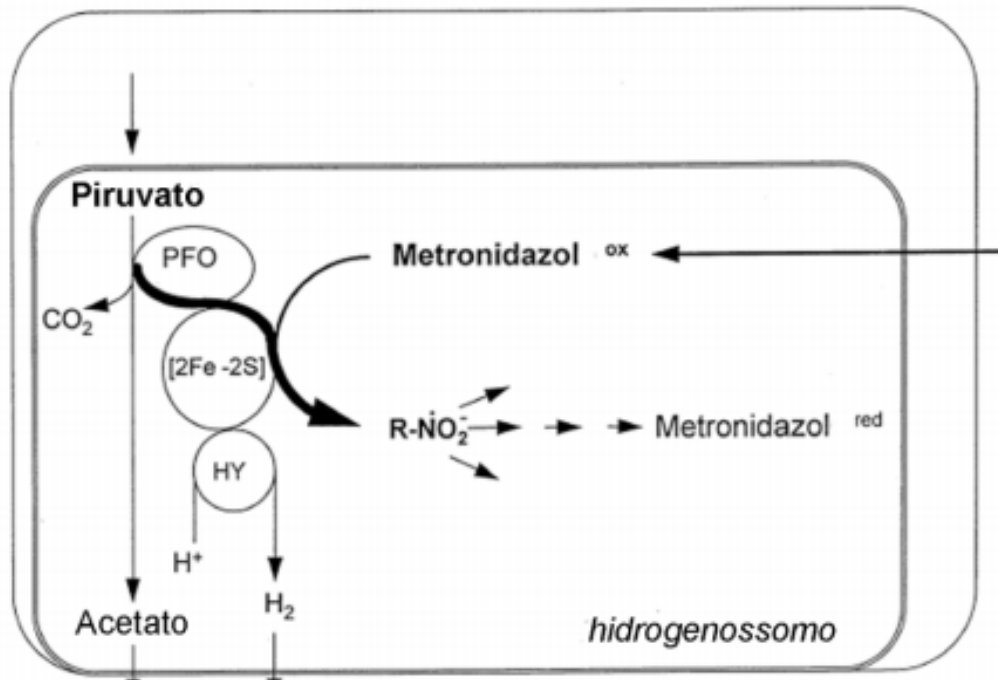
1065 A segurança do uso do metronidazol durante a gravidez ainda é  
1066 bastante controversa e não está bem elucidada (RIBEIRO *et al.*, 2013). Sendo  
1067 justamente esse o período em que a infecção se torna mais acentuada devido  
1068 às flutuações hormonais (ROCHA *et al.*, 2014). O uso de medicamentos  
1069 durante a gravidez e lactação é um desafio para os profissionais de saúde, pois  
1070 culmina em riscos não somente para a mulher, mas também para o  
1071 embrião/feto (Ribeiro *et al.*, 2013).

1072 A FDA classifica os medicamentos de acordo com os riscos associados  
1073 durante a gravidez (SAHIN *et al.*, 2016). Esta classificação baseia-se

1074 majoritariamente nos efeitos observados no primeiro trimestre de gravidez,  
1075 visto que durante esse período ocorrem os mais importantes processos  
1076 embriológicos, apresentando maior risco ao embrião/feto. (IRVINE *et al.*, 2010;  
1077 MITCHELL *et al.*, 2011). O metronidazol está classificado na categoria B de  
1078 risco para gravidez, o que indica que não há evidência de danos ao feto,  
1079 todavia, não existem estudos adequados em mulheres grávidas (IRVINE *et al.*,  
1080 2010). Este composto atravessa a barreira placentária, penetra na circulação  
1081 fetal e líquido amniótico (THOMPSON *et al.*, 2016), além disso, é amplamente  
1082 distribuído atingindo todos os tecidos e fluidos corporais (VICENTE e PÉREZ-  
1083 TRALLERO, 2010).

1084 Estudos feitos em ratos sugerem que o MTZ estaria associado a embrio-  
1085 letalidade (MUDRY *et al.*, 2001). Além disso, o uso do MTZ vaginal na gravidez  
1086 estaria associado à hidrocefalia congênita (KAZY *et al.*, 2005). Um estudo  
1087 randomizado relacionado ao uso de medicamentos durante a gravidez, sugeriu  
1088 que a terapia com o MTZ aumentaria a chance de partos prematuros  
1089 (SHENNAN *et al.* 2006), e estaria relacionado ao aumento de abortos  
1090 espontâneos (MUANDA *et al.*, 2017). Um outro estudo realizado em ratas  
1091 prenhas, avaliou o efeito do MTZ no desenvolvimento placentário e fetal (DA  
1092 SILVA *et al.*, 2019). Não houve indício de má-formação nos neonatos. No  
1093 entanto, observou-se redução significativa no número e peso dos neonatos no  
1094 grupo tratado com metronidazol, quando comparado ao grupo controle (DA  
1095 SILVA *et al.*, 2019).

1096 Esses estudos nos trazem um alerta sobre possíveis danos do  
1097 metronidazol ao embrião/feto. Mais pesquisas são necessárias para melhor  
1098 esclarecer os riscos da exposição ao metronidazol.



1099

1100 **Figura 9.** Esquema mostrando a ativação do MTZ no hidrogenossomo através da  
1101 redução do radical nitro pela enzima PFOR. A ferredoxina é reduzida pela PFOR e  
1102 transfere elétrons para o MTZ resultando em sua ativação (adaptado de KULDA,  
1103 1999).

1104

### 1105 1.8.1. Resistência ao MTZ

1106

1107 O tratamento atual da tricomoníase é baseado no uso dos 5'-  
1108 nitroimidazóis. Além da toxicidade do tratamento, algumas cepas tornaram-se  
1109 resistentes a esses compostos (PAULISH-MILLER *et al.*, 2014; GHOSH *et al.*,  
1110 2018; SAITO-NAKANO *et al.*, 2023). A resistência ao metronidazol foi descrita  
1111 pela primeira vez em 1959 (WATT E JENNISON, 1960) e apresenta uma  
1112 variação de 4% nos EUA (KIRCALDY *et al.*, 2012) chegando a 17% em Papua  
1113 Nova Guiné (UPCROFT *et al.*, 2009). Como já relatado anteriormente os  
1114 medicamentos do grupo dos 5-nitroimidazóis, sendo o metronidazol o mais  
1115 prescrito, são os únicos aprovados pelo FDA para o tratamento da  
1116 tricomoníase (DE BRUM *et al.*, 2017; LEITSCH, 2019; SAITO-NAKANO *et al.*,  
1117 2023). Devido ao aparecimento de cepas resistentes ao MTZ, doses  
1118 crescentes e por um maior período são frequentemente administradas,  
1119 causando mais problemas ao paciente podendo levar à interrupção do  
1120 tratamento (LEWIS *et al.*, 1997). No entanto, em alguns casos, mesmo altas

1121 doses são ineficazes não deixando possibilidade de tratamento alternativo  
1122 (SAITO-NAKANO *et al.*, 2023).

1123 Foram propostas vias aeróbicas e anaeróbicas de resistência ao MTZ . A  
1124 resistência clínica (aeróbica) em *T. vaginalis* não ocorre através do mesmo  
1125 mecanismo que a induzida em laboratório (anaeróbica) (WRIGHT *et al.*, 2010).  
1126 A resistência anaeróbica estaria associada à regulação negativa de enzimas  
1127 hidrogenossomais envolvidas na ativação do metronidazol, como a piruvato-  
1128 ferredoxina oxidoredutase (PFOR) e a ferredoxina, bem como à redução do  
1129 tamanho dos hidrogenossomos (WRIGHT *et al.*, 2010; LAND *et al.*, 2001;  
1130 UPCROFT, 2001). Em contrapartida, cepas de *T. vaginalis* resistentes  
1131 clinicamente ao metronidazol mostraram que os hidrogenossomos  
1132 apresentavam tamanhos semelhantes ao de um isolado sensível ao  
1133 metronidazol (WRIGHT *et al.*, 2010).

1134 A resistência aeróbica, geralmente observada apenas na presença de  
1135 oxigênio, diminui a toxicidade do MTZ revertendo-o à sua forma inativa através  
1136 da reoxidação dos ânions nitrorradicais antes do composto causar danos ao  
1137 parasita (RASOLOSON *et al.*, 2002; TACHEZY *et al.*, 2022). Isolados de *T.*  
1138 *vaginalis* clinicamente resistentes apresentam níveis elevados de oxigênio  
1139 intracelular e têm atividade de eliminação de oxigênio reduzida tornando o MTZ  
1140 ineficaz (YARLETT *et al.*, 1986; TACHEZY *et al.*, 2022 ). Embora as vias de  
1141 resistência aeróbica e anaeróbica sejam distintas, a proteína ferredoxina, que  
1142 reduz o oxigênio molecular a peróxido de hidrogênio, parece estar envolvida  
1143 em ambos processos (LEITSCH *et al.*, 2014). Além disso, a diminuição da  
1144 atividade da enzima flavina redutase que reduz o oxigênio citosólico estaria  
1145 relacionada à resistência ao metronidazol em *T. vaginalis* (LEITSCH *et al.*,  
1146 2014; TACHEZY *et al.*, 2022).

1147 Como relatado, a resistência de *T. vaginalis* aos medicamentos está  
1148 aumentando (DE BRUM *et al.*, 2017. Portanto, devido à alta toxicidade e  
1149 resistência do MTZ, a busca de um novo fármaco alternativo para o tratamento  
1150 da tricomoníase humana se faz necessário.

1151 Vários compostos foram testados contra protozoários parasitas, entre  
1152 eles, a miltefosina (ROCHA *et al.*, 2014), metil jasmonato (VILELA *et al.*, 2010),  
1153 inibidores de Δ(24(25))-esterol metil transferase, 3-(bifenil-4-il)-3-  
1154 hidroxiquinuclidina (BPQ OH) (ROCHA *et al.*, 2014), lactacistina (PEREIRA-

1155 NEVES, *et al.*, 2015), complexos de zinco-clotrimazol (MIDDLEJ *et al.*, 2019),  
1156 amiodarona, amioder, dronedarona (DE SOUZA *et al.*, 2022),  
1157 tiosemicarbazonas 49, 51 e 63 (IBÁÑEZ-ESCRIBANO *et al.*, 2022) entre  
1158 outros. Os autores observaram efeitos na curva de crescimento e nas  
1159 organelas celulares do parasitas (revisado por BENCHIMOL *et al.*, 2022). Além  
1160 dos nitroimidazóis, outros artigos descreveram compostos promissores à base  
1161 de plantas com atividade anti-tricomonal *in vitro* e *in vivo* (HASHEMI *et al.*,  
1162 2021). O composto SQ109, que completou a Fase IIb/III para o tratamento da  
1163 tuberculose, também foi testado contra *T. vaginalis* na presente tese e seus  
1164 resultados já publicados (DE SOUZA *et al.*, 2023). Outros estudos forneceram  
1165 uma visão geral das opções de tratamento sistêmico e tópico clinicamente  
1166 avaliados para tricomoníase humana. Além disso, o atual conhecimento sobre  
1167 compostos fitoterápicos, semissintéticos e sintéticos avaliados quanto à  
1168 eficácia como anti-*Trichomonas* foram apresentados (KÜNG *et al.*, 2019).

1169

1170

## 1171 **1.9. Novos compostos alternativos ao metronidazol**

1172 Nossa proposta é utilizar, no presente estudo, três grupos de compostos,  
1173 que são, **(1)** a amiodarona e seus derivados, como a dronedarona e amioder;  
1174 **(2)** SQ109 [N-adamantan-2-yl-N'-(*(E*)-3,7-dimethyl-octa-2,6-dienyl) -ethane-1,2-  
1175 diamine], um medicamento em desenvolvimento para tratamento da  
1176 tuberculose e **(3)** análogos de alquilfosfolipídios (APs).

1177

### 1178 **1.9.1. Amiodarona, dronedarona e amioder**

1179

1180 A amiodarona é um medicamento antiarrítmico aprovado nos EUA em  
1181 1985, usado para tratar cardiomiopatias (OATES *et al.*, 1987). Além disso, este  
1182 agente e seus derivados apresentam efeitos antiparasitários (BENAIM *et al.*,  
1183 2006). A amiodarona e a dronedarona são benzofuranos lipofílicos catiônicos  
1184 usados no tratamento de arritmias cardíacas. Estudos anteriores mostraram  
1185 atividade contra o protozoário *Trypanosoma cruzi*, agente etiológico da doença  
1186 de Chagas, e *Leishmania mexicana* (SERRANO MARTÍN *et al.*, 2009a). Foi

1187 reportado que esses compostos atuam perturbando a homeostase do cálcio  
1188 ( $\text{Ca}^{+2}$ ) intracelular desses parasitas (ADESSE *et al.*, 2011; BENAÍM *et al.*,  
1189 2006; VEIGA-SANTOS *et al.*, 2012) resultando em um aumento na  
1190 concentração intracelular de  $\text{Ca}^{+2}$  (BENAÍM *et al.*, 2020). A amiodarona  
1191 também interfere na biossíntese do ergosterol nestes parasitas (BENAÍM *et al.*,  
1192 2006; SERRANO-MARTÍN *et al.*, 2009b; BENAÍM *et al.*, 2020). Tendo em vista  
1193 que a amiodarona também exibiu atividade contra *L. mexicana*, estudos prévios  
1194 demonstraram que a dronedarona também poderia ser ativa contra esse  
1195 organismo. Isso seria de interesse terapêutico já que a dronedarona provoca  
1196 menos efeitos colaterais em humanos do que a amiodarona (BENAÍM *et al.*,  
1197 2014). Estudos realizados com a dronedarona mostraram que este composto é  
1198 capaz de inibir efetivamente o crescimento de promastigotas de *L.*  
1199 *mexicana* em cultura e, mais importante, tem excelente atividade contra  
1200 amastigotas dentro de macrófagos infectados (forma clinicamente relevante),  
1201 sem afetar a célula hospedeira. Esse composto também foi capaz de inibir a  
1202 oxidoesqualeno ciclase, uma enzima-chave na biossíntese do ergosterol,  
1203 conhecida por ser vital para a sobrevivência do parasita (BENAÍM *et al.*, 2014).

1204 Amioder é um derivado do benzofurano, baseado na estrutura  
1205 da amiodarona (HEJCHMAN *et al.*, 2012). Estudos indicaram um efeito  
1206 significativo sobre o *T. cruzi* (PINTO MARTINEZ *et al.*, 2018). Pesquisas  
1207 relataram um efeito importante de amioder sobre *Leishmania donovani*,  
1208 mostrando que inibe o crescimento de promastigotas e de amastigotas  
1209 presentes dentro de macrófagos. Importante ressaltar que esse composto é  
1210 mais potente em *Leishmania* do que em *T. cruzi* (MARTINEZ-SOTILLO *et al.*,  
1211 2019). Também foi demonstrado que esse composto perturbou a homeostase  
1212 do  $\text{Ca}^{+2}$  intracelular em *L. donovani*. O amioder foi capaz de colapsar o  
1213 potencial de membrana da mitocôndria e, simultaneamente, induzir a  
1214 alcalinização do acidocalcissomos de *L. donovani*, levando à morte do parasita  
1215 (MARTINEZ-SOTILLO *et al.*, 2019).

1216

### 1217 1.9.2. SQ109

1218

1219 SQ109 é um candidato a medicamento antituberculose, tendo já  
1220 concluído a Fase IIb/III clínica (BAEK *et al.*, 2022). SQ109 apresentou atividade

1221 *in vitro* contra o parasita *T. cruzi* (VEIGA-SANTOS *et al.*, 2015). Esse composto  
1222 inibiu a proliferação de amastigotas intracelulares bem como as formas  
1223 epimastigotas. Além disso, o SQ109 provocou grandes alterações estruturais  
1224 nas três formas do ciclo de vida desse parasita (VEIGA-SANTOS *et al.*, 2015;  
1225 BENAÍM *et al.*, 2020). SQ109 também foi capaz de inibir o crescimento da  
1226 forma amastigota de *L. mexicana* com um bom índice de seletividade. Também  
1227 foi ativo contra promastigotas onde perturbou a homeostase do Ca<sup>2+</sup> (GARCÍA  
1228 *et al.*, 2016). SQ109 também se mostrou eficaz na inibição da proliferação de *L.*  
1229 *donovani*, parasita responsável pela leishmaniose visceral, exibindo um efeito  
1230 tóxico sobre as formas amastigotas. Além disso, foi demonstrado pela primeira  
1231 vez que o composto SQ109, além de levar ao colapso do parasita, induziu um  
1232 dano muito rápido nos acidocalcissomos (GIL *et al.*, 2020), organelas  
1233 essenciais para o parasita e envolvidas em muitas funções importantes,  
1234 incluindo a homeostase de Ca<sup>2+</sup>. Ambos os efeitos da droga nessas organelas  
1235 geraram um aumento significativo na concentração de Ca<sup>2+</sup> intracelular,  
1236 causando a morte do parasita (Gil *et al.*, 2020).

1237

### 1238           **1.9.3. Análogos de alquilfosfolipídios (APL)**

1239

1240           Um importante alvo é a biossíntese de fosfolipídios, dado o importante  
1241 papel desempenhado por essas moléculas na estrutura e funções no  
1242 metabolismo celular (DE SOUZA *et al.*, 2018). Os APL integram uma classe de  
1243 compostos farmacêuticos que demonstram excelente biocompatibilidade e  
1244 anfifilicidade, tornando-os adequados para uso como medicamentos com  
1245 ampla atividade biológica. Os análogos de alquilfosfolipídios foram inicialmente  
1246 desenvolvidos como agentes antitumorais. Apresentam estruturas anfifílicas  
1247 semelhantes às dos fosfolipídios naturais e são incorporados preferencialmente  
1248 nas membranas das células tumorais (GAJATE E MOLLINEDO, 2002).  
1249 Posteriormente foram testados e apresentaram atividades antiparasitárias,  
1250 induzindo a morte celular por meio de apoptose e/ou autofagia nesses  
1251 parasitas (DE SOUZA *et al.*, 2018). Inclusive, a miltefósina que é uma  
1252 alquilfosfocolina, foi introduzida na clínica para tratar a leishmaniose visceral,  
1253 tendo sido, pela primeira vez, aprovada para este uso na Índia (JHA *et al.*  
1254 1999). Os APL podem ser de origem natural ou sintética (VAN HOOGEVEST e

1255 WENDEL, 2014) e subdivididos em duas classes: alquilglicerofosfocolinas,  
1256 provenientes da edelfosina (ET-18-OCH<sub>3</sub>), e alquifosfocolinas, oriundas da  
1257 miltefosina (hexadecilfosfocolina). As duas classes estão relacionadas com a  
1258 inibição da síntese de fosfatidilcolina (URBINA, 2006). Os APL não têm como  
1259 alvo a molécula de DNA, diferentemente da maioria dos compostos utilizados  
1260 atualmente. Estão relacionados com processos que envolvem a síntese e  
1261 organização de membranas celulares, se acumulando e interferindo em  
1262 importantes vias de sinalização do metabolismo lipídico. Provoca efeitos nos  
1263 sistemas de transporte celular, na indução de apoptose e na interferência de  
1264 diversas enzimas-chave, a maioria das quais, envolvidas com o metabolismo  
1265 lipídico ou mecanismos de sinalização (DE SOUZA *et al.*, 2018). Nas últimas  
1266 décadas houve um aumento pela procura de fosfolípidos sintéticos,  
1267 principalmente para o desenvolvimento de medicamentos. Consequentemente,  
1268 novas rotas sintéticas foram desenvolvidas para produzir fosfolipídios e  
1269 testadas durante muitos anos. Um exemplo disso é a lisofosfatidilcolina, que foi  
1270 sintetizada no final de 1960, cujo objetivo principal foi identificar potenciais  
1271 compostos imunomoduladores (DE SOUZA *et al.*, 2018). No presente estudo  
1272 os análogos de alquifosfolipídios foram testados em *T. vaginalis*.  
1273

1274 **2. Justificativa**

1275 O metronidazol constitui a terapia utilizada atualmente para o tratamento  
1276 da tricomoníase. Embora relativamente eficaz, provoca muitas reações  
1277 adversas, não sendo recomendado durante a gravidez. O MTZ possui elevado  
1278 potencial cancerígeno e mutagênico e pode induzir a seleção de cepas  
1279 resistentes. O estudo de terapias mais eficientes e seguras para o paciente são  
1280 de extrema importância. Em estudos anteriores os derivados de amiodarona,  
1281 os análogos de fosfolipídios e o composto SQ109 apresentaram atividades  
1282 biológicas relevantes em outros protozoários. Desse modo, nos propusemos a  
1283 testar estes compostos em *T. vaginalis*. O projeto visa avaliar o efeito de  
1284 compostos que possam agir contra *T. vaginalis* investigando seus efeitos e a  
1285 possibilidade de uso como medicamento alternativo futuro em substituição ao  
1286 metronidazol no tratamento da tricomoníase.

1287

1288

1289

1290

1291 **3. Objetivos**

1292 **3.1. Objetivo Geral**

1293

1294 Buscar um novo composto para o tratamento da tricomoníase.

1295

1296 **3.2. Objetivos específicos**

1297

- 1298 • Verificar o efeito antiproliferativo e citotóxico dos derivados de  
1299 amiodaronas, análogos de fosfolipídios e SQ109 em *T. vaginalis*.

1300

- 1301 • Comparar os efeitos dos referidos compostos com o metronidazol.

1302

- 1303 • Avaliar se ocorre efeito citotóxico dos compostos sobre células de  
1304 mamíferos,

1305

- 1306 • Avaliar as alterações morfológicas e ultraestruturais de *T. vaginalis* após  
1307 o tratamento com os compostos por microscopia eletrônica de varredura  
1308 e de transmissão.

1309

- 1310 • Analisar os possíveis mecanismos de morte celular do parasito após os  
1311 tratamentos utilizando marcadores específicos em microscopia de  
1312 fluorescência.

1313

- 1314 • Diferenciar entre os compostos estudados, quais os mais efetivos e  
1315 promissores para testes posteriores em animais e possível uso futuro  
1316 em pesquisa aplicada.

1317

1318

1319

1320

1321     **4. Metodologia**

1322         **4.1. Cultivo *in vitro* de *T. vaginalis***

1323

1324         *T. vaginalis* da cepa JT, isolada no Hospital Universitário da  
1325 Universidade Federal do Rio de Janeiro, foi cultivada em meio TYM  
1326 (DIAMOND, 1957) com 10% de soro fetal bovino inativado a 37° C por 24 h,  
1327 correspondendo a fase logarítmica de crescimento celular. O meio TYM tem  
1328 como componentes a triptona, extrato de levedura, maltose, L-cisteína, ácido  
1329 ascórbico, fosfato de potássio monobásico e dibásico, pH 6,2 (Tabela 3).

1330

1331         **Tabela 3. Componentes do meio TYM, utilizado no cultivo de *T. vaginalis*. Os**  
1332 **componentes abaixo citados foram dissolvidos em água Milli-q para um total de**  
1333 **450 mL, pH 6,2.**

Meio TYM		
Triptone	10g	Sigma, St. Louis, Estados Unidos
Extrato de levedura	5g	BD, Le Pont de Claix, França
Maltose	2,5g	Vetec, Duque de Caxias, Brasil
Cisteína	0,5g	Sigma, St. Louis, Estados Unidos
Ácido ascórbico	0,1g	Sigma, St. Louis, Estados Unidos
Fosfato de potássio monobásico	0,4g	Vetec, Duque de Caxias, Brasil
Fosfato de potássio dibásico	0,4g	Vetec, Duque de Caxias, Brasil

1334

1335

1336         **4.2 Compostos**

1337

1338         Todos os compostos utilizados neste estudo foram solubilizados em  
1339 dimetilsulfóxido (DMSO) (Sigma, St. Louis, MO, EUA) na concentração estoque  
1340 de 5 ou 10 mM e mantidos a - 20° C. As concentrações finais utilizadas nos  
1341 ensaios abaixo descritos foram de 1, 5, 10 e 20 µM.

1342

1343           **4.2.1 Amiodarona, dronedarona e amioder**

1344

1345           A figura 10 a-c mostra a estrutura da amiodarona, dronedarona e  
1346           amioder, respectivamente. A amiodarona foi adquirida na Sigma, St. Louis, MO,  
1347           EUA. Dronedarona foi extraída e cristalizada de comprimidos comerciais  
1348           (Multaq) (Benaim *et al.* 2012). O composto amioder (7-acetil-5-Bromo-6-hidroxi-  
1349           3-bromometil2-benzofurancarboxilato de metila) foi gentilmente cedido pelo Dr.  
1350           Elžbieta Hejchman, do Departamento de Química orgânica (Faculdade de  
1351           Farmácia, Universidade Médica de Varsóvia).

1352

1353           **4.2.2 SQ109**

1354

1355           A figura 10-d mostra a estrutura química de SQ109 [N-adamantan-2-il-  
1356           N'-((E)-3,7-dimetil-octa-2,6-dienil) -etano-1,2 diamina]. Este composto foi  
1357           gentilmente fornecido pelo Prof. Dr. Antonios Kolocouris do Departamento de  
1358           Farmácia da Universidade de Atenas, Grécia, e pelo Prof. Eric Oldfield do  
1359           Departamento de Química da Universidade de Illinois em Urbana-Champaign,  
1360           EUA).

1361

1362           **4.2.3 Análogos de alquilfosfolipídios (APL)**

1363

1364           A figura 10 e-f mostra a estrutura química dos APL LDT117 e LDT134.  
1365           Os análogos de fosfolipídios foram sintetizados e gentilmente cedidos pelo  
1366           grupo do Dr. Luiz Romeiro (Núcleo de Medicina Tropical - Campus Universitário  
1367           Darcy Ribeiro - Universidade de Brasília-UnB).

1368

1369

1370

1371

1372

1373

1374

1375           **4.2.4 Tabela 4. Compostos utilizados e sua origem**

1376

1377

<b>Compostos</b>	<b>Concentração utilizada</b>	<b>Origem</b>
<b>Amiodarona</b>	1,5, 10 e 20 µM	(Sigma, St. Louis, MO, EUA)
<b>Amioder</b>	1,5, 10 e 20 µM	<b>Dr. Elżbieta Hejchman</b> Departamento de Química orgânica - Faculdade de Farmácia, Universidade Médica de Varsóvia
<b>Dronedarona</b>	1,5, 10 e 20 µM	<b>Dr. Gustavo Benaim</b> Instituto de Biologia Experimental, Facultad de Ciências, Universidade Central da Venezuela, Caracas, Venezuela
<b>SQ109</b>	1,5, 10 e 20 µM	<b>Dr. Antonios Kolocouris</b> Departamento de Farmácia da Universidade de Atenas, Grécia <b>Dr. Eric Oldfield</b> Departamento de Química da Universidade de Illinois em Urbana- Champaign, EUA
<b>LDT117</b>	1,5, 10 e 20 µM	<b>Dr. Luiz Romeiro</b> Núcleo de Medicina Tropical – Campus Universitário Darcy Ribeiro - Universidade de Brasília- UnB
<b>LDT134</b>	1,5, 10 e 20 µM	<b>Dr. Luiz Romeiro</b> Núcleo de Medicina Tropical – Campus Universitário Darcy Ribeiro - Universidade de Brasília- UnB

1378

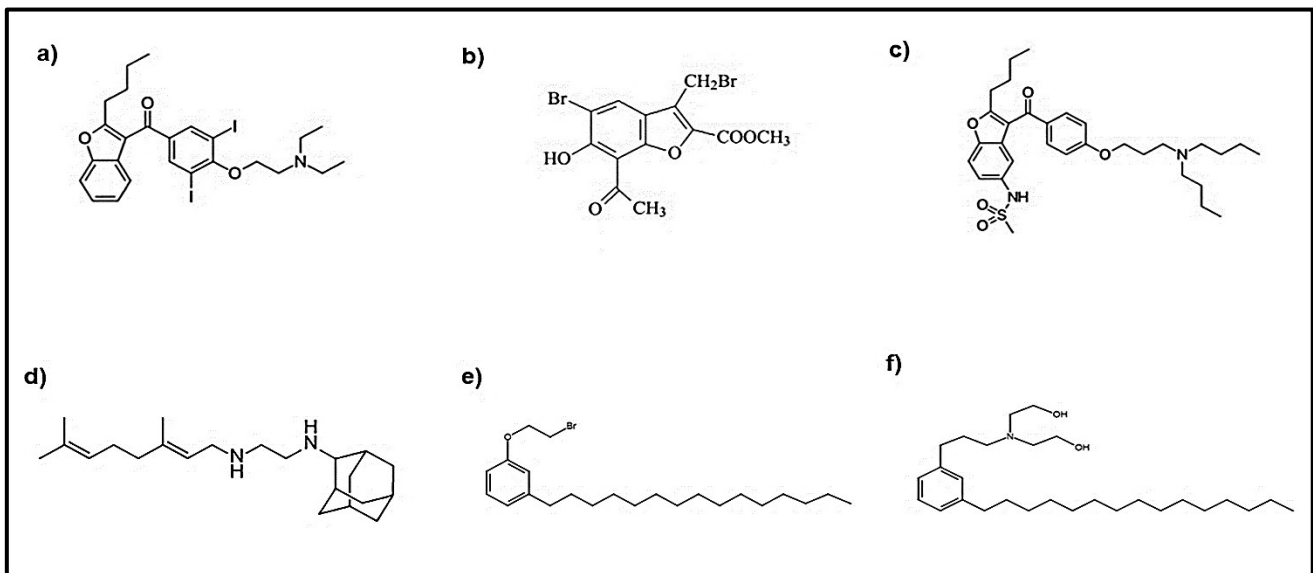
1379

1380

1381

1382

1383



1384

1385 **Figura 10.** Estrutura molecular amiodarona (a), amioder (b), dronedarona (c), SQ109  
1386 (d), LDT117 (e) e LDT134 (f).

1387

1388 **4.3. Curva de crescimento**

1389 Os trofozoítos ( $10^5$  céls/mL) foram cultivados em tubos *eppendorfs* de 5  
1390 mL contendo meio TYM suplementado com 10% de soro fetal bovino. Os  
1391 compostos foram adicionados às culturas nas concentrações de 1, 5, 10 e 20  
1392  $\mu\text{M}$ . É importante ressaltar que nenhuma concentração de DMSO foi superior a  
1393 1%. O metronidazol foi utilizado como controle positivo na concentração de 2 e  
1394 10  $\mu\text{M}$  (Rocha *et al.*, 2014). As culturas-controle e as tratadas foram mantidas  
1395 em estufa úmida a 37°C por 24, 48 e 72 h. Após esses intervalos de tempo, o  
1396 número total de células foi contado em câmara de *Neubauer* ou por citometria  
1397 de fluxo. As curvas de crescimento do parasito foram elaboradas a partir da  
1398 seguinte fórmula:  $(A \div 4) \times B \times C$  onde **A** = N° de células contadas e somadas  
1399 nos quatro quadrantes da Câmara de Neubauer; **B** =  $10^4$  (Fator da Câmara de  
1400 Neubauer); **C** = Fator de diluição utilizada ou não. Os experimentos foram  
1401 realizados em triplicatas independentes e os resultados foram analisados com  
1402 o programa analítico *GraphPad Prism 9.0®* (EUA).

1403

1404

1405

1406           **4.3.1 Cálculo de IC<sub>50</sub>**

1407

1408           Para determinar a concentração do composto que inibiu o crescimento  
1409           do parasita em 50% (IC<sub>50</sub>), a porcentagem de inibição do crescimento foi  
1410           plotada em função da concentração da droga, e os valores foram ajustados em  
1411           uma curva não linear. As análises de regressão foram realizadas utilizando o  
1412           Sigma Plot 8.0. Os dados foram plotados usando o GraphPad Prism 9.0®  
1413           (EUA).

1414

$$I = I_{\max} \times \frac{C}{IC_{50} + C}$$

1415

1416

1417           Onde  $I$  corresponde a porcentagem (%) de inibição,  $I_{\max}$  = 100% de  
1418           inibição,  $C$  a concentração de inibição e IC<sub>50</sub> à concentração responsável por  
1419           inibir 50% do crescimento.

1420

1421           **4.4. Ensaio de viabilidade**

1422           **4.4.1 Ensaio de viabilidade com diacetato de fluoresceína e 7-AAD**

1423

1424           A viabilidade das células foi avaliada usando diacetato de fluoresceína  
1425           (FAD) (Sigma, EUA) e 7-aminoactinomicina (7-AAD) (Sigma, EUA). O diacetato  
1426           de fluoresceína (FAD) reage com o óxido nítrico (NO) e forma um benzotriazol  
1427           fluorescente. Essa fluorescência (verde) é um indicador de células viáveis, pois  
1428           esse reagente só tem a capacidade de permear a membrana plasmática das  
1429           células que estão vivas. Já o 7-AAD, possui alta afinidade pelo DNA, mas só  
1430           consegue permear a membrana de células inviáveis, se tornando assim um o  
1431           indicador de células mortas ou com a viabilidade comprometida. Parasitas  
1432           controle e tratados com SQ109 na concentração de 10 µM por 48 h foram  
1433           incubados com 10 µg/mL de FDA e 0,25 µg/mL de 7-AAD a 37°C por 5 min  
1434           para análise por microscopia de fluorescência. Células viáveis foram vistas na

1435 cor verde com FDA, enquanto as células mortas apresentaram fluorescência  
1436 com uma cor laranja com 7-AAD. As imagens foram adquiridas utilizando um  
1437 microscópio de fluorescência (Axiphot II –Zeiss, Alemanha).

1438

1439 **4.4.2. Ensaio de viabilidade com MTS/PSM**

1440

1441 Para avaliação dos efeitos dos compostos em relação à toxicidade nas  
1442 células de mamífero foi utilizado o ensaio de redução do sal tetrazólio  
1443 MTS/PMS (Promega, *Technical Bulletin*, EUA). O MTS é análogo ao MTT,  
1444 sendo um sal tetrazólio de segunda geração. Ao ser adicionado no meio de  
1445 cultura com as células metabolicamente viáveis, o MTS necessita de um  
1446 segundo reagente, o PMS (5-metil- fenazinio metil sulfato) que através de  
1447 cofatores, como NADH e NADPH, serão reduzidos, transferindo elétrons ao sal  
1448 tetrazólio (MTS) produzindo o formazan. Quando o formazan é reduzido na  
1449 célula, seja enzimaticamente, seja por reação direta com NADH ou NADPH, o  
1450 sal de tetrazólio, MTS, muda de cor e forma um precipitado solúvel. Desse  
1451 modo, o corante formazan produzido pode ser quantificado medindo a  
1452 absorbância a 490-500 nm. A quantidade de MTS, marcador da viabilidade  
1453 celular incorporada pela população de células, é diretamente proporcional ao  
1454 número de células viáveis na cultura (Cory *et al.*, 1991). Para realização do  
1455 ensaio, 100  $\mu$ l de solução salina tamponada com fosfato (PBS) suplementado  
1456 com 10 mM de glicose foi adicionado em cada poço. Em seguida, foi preparada  
1457 a solução de PMS/MTS (50  $\mu$ l da solução estoque do PMS em 1 mL da solução  
1458 estoque do MTS) adicionando 20  $\mu$ l dessa solução em cada poço  
1459 (concentração final de MTS a 40  $\mu$ g (333  $\mu$ g/mL) e PMS a 0,92  $\mu$ g (25  $\mu$ M) por  
1460 poço). O ensaio foi incubado a 37°C por 4 horas na ausência de luz. Em  
1461 seguida, foi realizada a leitura no leitor de placas a 490 nm (*Molecular Devices*  
1462 *Microplate Reader ou Spectra Max Molecular Devices M2*, EUA) onde o  
1463 comprimento de onda emitido pelo substrato das células foi avaliado. Os dados  
1464 foram expressos em absorbância e foram plotados usando o *GraphPad Prism*  
1465 9.0® (EUA).

1466

1467 **4.5. Análise da toxicidade em células de mamíferos**

1468

1469 As células epiteliais de rim de macaco Rhesus (*Macaca mulatta*), LLC-  
1470 MK2 (ATCC CCL,7 Rockville, MD/EUA) foram cultivadas em placas de 96  
1471 poços ( $2 \times 10^4$  céls/mL), em meio RPMI suplementado com 10 % de soro fetal  
1472 bovino (SFB), e mantidas em estufa de CO<sub>2</sub> a 37°C, em um volume final de 200  
1473 µL por poço. Os compostos LDT's (análogos de fosfolipídios) foram  
1474 adicionados 24 h após o plaqueamento das células LLCMK2, nas  
1475 concentrações de 5, 10, 50 e 100 µM. As culturas foram mantidas por mais 48  
1476 h a 37 °C em uma atmosfera de 5% de CO<sub>2</sub>, contabilizando 72 h totais de  
1477 plaqueamento das células e 48 h de incubação com os compostos. Em  
1478 seguida, todo o meio RPMI foi retirado e a células foram lavadas com PBS  
1479 suplementado com 10 mM de glicose, pH 7.2 e os poços foram preenchidos  
1480 com 100 µL dessa mesma solução. O controle negativo foi realizado utilizando  
1481 três poços de células não tratadas fixadas com 4% de formaldeído nascente, a  
1482 partir do paraformaldeído (Vetec, Brasil). Para avaliação da citotoxicidade foi  
1483 utilizado o teste de viabilidade celular MTS/PMS (*Promega, Technical Bulletin,*  
1484 EUA) como descrito acima no item 4.5.2.

1485

#### 1486 **4.6. Microscopia de fluorescência**

1487

1488 As células foram lavadas em PBS (morno) pH 7.4 e fixadas em  
1489 formaldeído a 4% (Merck, Alemanha) em tampão fosfato pH 7.2 por 5 min e  
1490 colocadas em lamínulas previamente revestidas com poli-L-lisina, por 10 min.  
1491 Em seguida, foram lavadas com PBS pH 7.4 e foram incubadas por 5 min com  
1492 4',6-diamidino-2-fenilindole (DAPI, Molecular Probes, EUA) diluído a 1:5000 em  
1493 PBS. As lamínulas foram lavadas e montadas com *Prolong Gold Antifade*  
1494 *Mountant* (Thermo Fisher Scientifc, EUA) e observadas em microscópio de  
1495 fluorescência (Axiphot II ou Elyra PS.1 Zeiss, Alemanha). As imagens foram  
1496 adquiridas usando um C5985- 10 câmeras CCD em tempo real (Hamamatsu,  
1497 Japão) ou Elyra PS.1 (objetiva 100×e laser 405 nm). No mínimo 200 células  
1498 foram analisadas.

1499

##### 1500 **4.6.1 Imunofluorescência**

1501           Parasitas controle e tratados foram lavados com PBS morno (pH 7,2) e  
1502           aderidos em lamínulas previamente revestidas com poli-L-lisina (Sigma-Aldrich,  
1503           EUA), por 10 min a 37°C. As células foram fixadas por 1 h com formaldeído a  
1504           4%, em seguida, as células foram lavadas em PBS pH 7,4 e permeabilizadas  
1505           com Nonidet NP-40 3% diluído em PBS por 40 min (Sigma, St. Louis, USA) e  
1506           incubadas com tampão de bloqueio contendo NH<sub>4</sub>Cl 50 mM e 3% de albumina  
1507           de soro bovino (PBS/BSA; Sigma-Aldrich, Brasil), pH 8,0, por 1 h. Após esta  
1508           etapa, as amostras foram lavadas com PBS (pH 8,0) e incubadas na presença  
1509           do anticorpo primário policlonal anti-acetil-alfa tubulina (Thermo Fisher; EUA)  
1510           na diluição de 1:1000 em PBS/BSA. Após a incubação, as amostras foram  
1511           lavadas com PBS/BSA (pH 8,0) e incubadas durante 1 h com o anticorpo  
1512           secundário Alexa Fluor 647 Anticorpo IgG anti-mouse (LifeTechnologies, EUA),  
1513           diluídos em 1:100 em PBS/BSA. Em seguida, as amostras foram lavadas 3  
1514           vezes e incubadas com o marcador nuclear Hoechst (Molecular Probes, EUA),  
1515           diluído em 1:2000 em PBS, por 30 min. Por fim, as lamínulas foram lavadas,  
1516           montadas com *Prolong Gold Antifade Mountant* (Thermo Fisher Scientific, EUA)  
1517           e observadas em microscópio de fluorescência (Axiphot II e Elyra Zeiss,  
1518           Alemanha).

1519

#### 1520           **4.6.2. TUNEL**

1521

1522           Para analisar se houve fragmentação do DNA o método do TUNEL  
1523           (*Terminal deoxynucleotidyltransferasemediated dUTP Nick-end labeling*) foi  
1524           utilizado usando o teste “*In Situ Cell Death Detection Kit*” (Roche Diagnostics,  
1525           Meylan, França). Os parasitos foram incubados com os compostos por 12 h e  
1526           24 h, fixados à temperatura ambiente em formaldeído a 2% em tampão fosfato  
1527           0,1M (pH 7,2) e, posteriormente, lavados em PBS. Logo após, as células foram  
1528           permeabilizadas com 3% de Nonidet-40 (Sigma, St. Louis, USA) por 40  
1529           minutos. Em seguida, as amostras foram imersas em cloreto de amônio 50  
1530           mM e 3% de albumina bovina (BSA) em PBS por 30 minutos. A marcação foi  
1531           realizada de acordo com as instruções do fabricante. Controles positivos foram  
1532           tratados com DNase I (Sigma, St.Louis, MO, EUA) por 10 minutos à  
1533           temperatura ambiente, enquanto os controles negativos foram marcados com o  
1534           fluorocromo que não possui o terminal da enzima transferase. As amostras

1535 foram observadas em um microscópio de fluorescência (Axiphot II – Zeiss,  
1536 Alemanha). As imagens foram adquiridas usando uma câmera CCD em tempo  
1537 real C5985- 10 (Hamamatsu, Japão).

1538

#### 1539       **4.6.3. Potencial de membrana hidrogenossomal**

1540

1541       Parasitas controle e tratados com SQ109 foram incubados com 5 µg/mL  
1542       do reagente JC-1 (Invitrogen, EUA) a 37°C por 15 min, um marcador que  
1543       fluoresce em verde ou vermelho de acordo com o potencial de membrana de  
1544       organelas como mitocôndrias e hidrogenossomos. O marcador JC-1 ao entrar  
1545       seletivamente em uma dessas organelas de acordo com a magnitude do  
1546       potencial de sua membrana, altera seu estado oligomérico, e fica fluorescente.  
1547       A razão da intensidade de fluorescência vermelha: verde do JC-1 depende do  
1548       potencial de membrana hidrogenossomal (Vilela *et al.*, 2010). O CCCP (cianeto  
1549       de carbonila3-clorofenilhidrazona), um desregulador do potencial de membrana  
1550       mitocondrial, foi usado como controle positivo para confirmar a resposta do JC-  
1551       1. Uma alíquota de 1 µL de uma solução CCCP 50 mM foi adicionada às  
1552       células a 37°C por 5 min em um volume final de 1 mL. As lamínulas foram  
1553       montadas e as imagens foram adquiridas utilizando um microscópio de  
1554       fluorescência (Axiphot II – Zeiss, Alemanha).

1555

#### 1556       **4.7. Microscopia Eletrônica de Varredura (MEV)**

1557       Para avaliar a morfologia dos trofozoítos, antes e depois do tratamento  
1558       com os compostos, *T. vaginalis* ( $10^5$  céls/mL) foram cultivadas em microtubos  
1559       eppendorfs de 5 mL contendo meio TYM suplementado com 10% SFB. Os  
1560       compostos foram adicionados às culturas nos tempos de 12h ou 24h de cultivo  
1561       dos parasitos nas concentrações de 1 µM, 5 µM, e 10µM. Após 24h ou 48h da  
1562       adição dos compostos os microtubos com os parasitas-controle e tratados  
1563       foram vigorosamente agitados e, em seguida, centrifugados (Centrífuga  
1564       Eppendorf, Alemanha, rotor: 5427) por 5 min a 150 x g. As células foram  
1565       aderidas em lamínulas revestidas com poli-L-lisina 0,1% (Sigma, EUA) por 15  
1566       min e fixadas por 2 h em uma solução contendo glutaraldeído (*Electron*

1567 *Microscopy Sciences*, EUA) 2,5% em tampão cacodilato 0,1M, pH 7,2. Em  
1568 seguida, as amostras foram lavadas em PBS pH 7,2 e pós-fixadas em tetróxido  
1569 de ósmio 1% em tampão cacodilato 0,1 M por 1h, na ausência de luz. Após  
1570 esse procedimento, as amostras foram lavadas em PBS pH 7,2 por 3 vezes e  
1571 desidratadas em soluções progressivas de etanol (*Merck*, Alemanha) (15%,  
1572 20%, 30%, 50%, 70%, 80%, 90%, 100% e super-seca por duas vezes) por 15  
1573 min cada série. Posteriormente, foram secas pelo método de ponto crítico (*Bal-*  
1574 *Tec* CPD 030, Alemanha) ou (*Leica* CPD 300, Alemanha), utilizando CO<sub>2</sub>  
1575 líquido. Em seguida, foram montadas em suportes metálicos para MEV (*stubs*)  
1576 e recobertas com ouro (10 nm) ou 4 nm de platina em metalizador FL-9496  
1577 (*Balzers Union*, Suíça). O material foi observado no microscópio eletrônico de  
1578 varredura Quanta 250 (FEI Company, The Netherlands) operando em 20 kV ou  
1579 Auriga 40 (Zeiss, Alemanha), operando em 2 kV.

1580 **4.8. Microscopia Eletrônica de Transmissão (MET)**

1581 Para avaliar possíveis alterações ultraestruturais, as culturas-controle e  
1582 tratadas (10<sup>5</sup> céls/mL) foram cultivadas em microtubos *eppendorfs* de 5 mL  
1583 contendo meio TYM suplementado com 10% de soro fetal bovino. Os  
1584 compostos foram adicionados às culturas nos tempos de 12 h ou 24 h nas  
1585 concentrações de 1 µM, 5 µM e 10 µM. Após 24 h ou 48 h de adição dos  
1586 compostos, as culturas foram lavadas em PBS, pH 7.2 e, posteriormente,  
1587 fixadas por 2 horas em uma solução contendo glutaraldeído (*Electron*  
1588 *Microscopy 1249 Sciences*, EUA) 2.5%, em tampão cacodilato 0,1M, pH 7.2.  
1589 Logo após, foram centrifugadas a 1.000 g, por 5 min, todo o sobrenadante foi  
1590 retirado e as células foram lavadas em PBS novamente e pós-fixadas em  
1591 solução contendo tetróxido de ósmio 1% contendo ferrocianeto de potássio  
1592 0,8%, em tampão cacodilato 0,1 M por 1 hora, na ausência de luz. Após a pós-  
1593 fixação, as amostras foram lavadas 3 vezes com PBS pH 7.2 e desidratadas  
1594 em soluções progressivas de acetona (*Merck*, Alemanha) (50%, 70%, 90%,  
1595 100% e realizadas 3 trocas com acetona super-seca), deixando as amostras  
1596 por 15 min em cada etapa. Em seguida, as células foram infiltradas em resina  
1597 epóxi (*PolyBed 812*, *Electron 1258 Microscopy Sciences*, EUA). A infiltração foi  
1598 feita gradualmente em acetona:epon 2:1 por 6 h, 1:1 e 1:2 por 8 h e resina pura

1599 por 12 h. Posteriormente, o material foi colocado em moldes e polimerizado na  
1600 estufa a 60°C, por 72 h. Depois de polimerizados, os blocos foram trimados e  
1601 seccionados com uma faca de diamante (Drukker, Holanda, ou Diatome, Suíça)  
1602 no ultramicrótomo Leica (Alemanha) ULTRACUT UCT7. Cortes ultrafinos de 70  
1603 nm foram coletados em grades de cobre de 300 *mesh* e contrastados com  
1604 acetato de uranila 5% por 40 minutos e em citrato de chumbo por 5 minutos e  
1605 visualizados ao microscópio eletrônico de transmissão Hitachi HT 7800  
1606 (Japão).

1607 **4.9. Morfometria**

1608 Para análises morfométricas imagens de cortes ultrafinos de 20 células  
1609 aleatórias foram adquiridas com o mesmo aumento observadas no microscópio  
1610 eletrônico de transmissão Hitachi HT 7800 (Japão). O software ImageJ  
1611 ([//imagej.nih.gov/ij/](http://imagej.nih.gov/ij/)) foi utilizado para delinear e medir a área de superfície e o  
1612 volume de toda a célula e de cada hidrogenossomo observado.

1613 **4.10. Citoquímica - Método de Thiéry (Thiéry 1967)**

1614 Os parasitas foram fixados e processados conforme descrito acima para  
1615 MET (item 4.9). Posteriormente, cortes dourados (90 nm) foram coletados em  
1616 grades de ouro e incubados por 20 min em solução de 1% de ácido periódico.  
1617 Subsequentemente, foram lavados em água destilada e incubados com  
1618 tiosemicarbazida a 1% em ácido acético 10% por 24 horas. Sucessivas  
1619 lavagens foram realizadas em ácido acético 10%, 5% e 2% por 10 minutos  
1620 cada. Em seguida, foram incubados com proteinato de prata 1% por 30 min,  
1621 protegidos da luz. Posteriormente, lavagens sucessivas em água destilada  
1622 foram realizadas por 10 minutos cada, e cortes não contrastados foram  
1623 observados no microscópio eletrônico de transmissão Hitachi HT 7800 (Japão).

1624 **4.11. Citometria de Fluxo**

1625 **4.11.1 Ensaio para avaliação do ciclo celular**  
1626

1627 A amiodarona foi adicionada às culturas na concentração de 10 µM e  
1628 deixada por 24 h. Após a incubação, os parasitas foram coletados, lavados  
1629 com PBS, pH 7.2 e centrifugados (Centrífuga *Eppendorf*, Alemanha, R: 5427)  
1630 por 5 min a 238 g. Posteriormente, foram fixados em formaldeído a 0,25% em  
1631 PBS por 5 min, lavados e ressuspensos em etanol 70% a 4°C por 30 min. Em  
1632 seguida, as células foram lavadas e ressuspensas em 600 µl de PBS com 25  
1633 µg/mL de PI (iodeto de propídio) e 100 µg/mL de RNase A e incubadas por 30  
1634 minutos em temperatura ambiente. A análise foi realizada em um citômetro de  
1635 fluxo BD Accuri C6 (Becton Dickinson Bioscience BDB, San Jose, CA, EUA)  
1636 filtro FL2 585/40 nm. Os dados obtidos foram analisados usando o BD Software  
1637 Accuri C6 (DE SOUZA *et al.*, 2022).

1638 **4.12. Análise estatística**

1639 As análises estatísticas foram realizadas usando o *GraphPad Prism* 9  
1640 (EUA). O teste t de *Student* foi usado para cálculos de significância. As fases  
1641 do ciclo celular, morfometria e estereologia dos hidrogenossomos foram  
1642 analisadas e os valores foram considerados estatisticamente significativos  
1643 quando  $p \leq 0,05$  e  $\leq 0,01$ .

1644

1645 **4.13. Previsão de interações moleculares**

1646 Para a fase de investigação e predição da interação molecular, estudos  
1647 de simulação de ancoramento molecular envolvendo a proteína ferredoxina de  
1648 *T. vaginalis* (TvFd), código PBD: 1L5P 2,20 Å (Crossnoe *et al.*, 2002), e  
1649 compostos MTZ e SQ109 foram realizados.

1650 **4.14. Simulação de ancoramento molecular**

1651 Para a etapa de *docking molecular* foi utilizado o programa PYRX v.0.8  
1652 que reúne um grande conjunto de outros programas para a realização dos  
1653 processos de encaixe (AutoDock 4 e AutoDock Vina), geração de arquivos de  
1654 entrada (AutoDock Tools), linguagem de programação/script (Python), interface  
1655 gráfica (wxPython) e outras como Open Babel e matplotlib (Dallakyan e Olson,

1656 2015). Inicialmente foi realizado um processo de *redocking*, um ancoramento  
1657 entre as proteínas TvFd usada como modelo e seu ligante natural, o complexo  
1658 [2Fe-2S], para identificar as energias das interações e as coordenadas da caixa  
1659 e tamanho com base em informações de suas interações com o complexo  
1660 [2Fe-2S] depositado no banco de dados PDB (CROSSNOE *et al.*, 2002). Em  
1661 seguida, a etapa de ancoramento foi realizada entre a TvFd e os compostos  
1662 SQ109 e metronidazol, bem como o complexo [2Fe-2S] (ligante natural), sendo  
1663 o formato SMILES dos compostos convertidos para o formato .pdb, necessário  
1664 para análises de *docking molecular*, com o auxílio do SMILES tradutor online e  
1665 gerador de arquivos de estrutura NCI/CADD  
1666 (<https://cactus.nci.nih.gov/translate/>). A proteína e os compostos (ligantes)  
1667 foram otimizados pelo servidor gratuito APBS & PDB2PQR  
1668 (<http://server.poissonboltzmann.org/>) para protonação correta, simulando um  
1669 ambiente de pH 6,5 (Crossnoe *et al.*, 2002). Na interface PYRX, a *grid box* foi  
1670 construída para cobrir a região dos resíduos do sítio ativo que interagem com o  
1671 ligante natural [2Fe-2S] em coordenadas x = 12, y = 50 e z = 2; tamanho 20 ×  
1672 20 × 20. Além disso, a simulação de docagem foi realizada com uma  
1673 exaustividade igual a 100, gerando 10 poses para cada composto, incluindo o  
1674 ligante natural. Os resíduos do sítio ativo alvo que interagem com os ligantes  
1675 foram identificados pelo programa BIOVIA Discovery Studio 2021 (Jurrus *et al.*,  
1676 2018). UCSF Chimera (desenvolvido pelo *Resource for Biocomputing,*  
1677 *Visualization, and Informatics* da Universidade da Califórnia, São Francisco,  
1678 com suporte do NIH P41-GM103311) e PyMOL (*Molecular Graphics System*,  
1679 versão 2.0 Schrödinger, LLC) foi usado para gerar as imagens e arquivos na  
1680 extensão .pdb.

1681

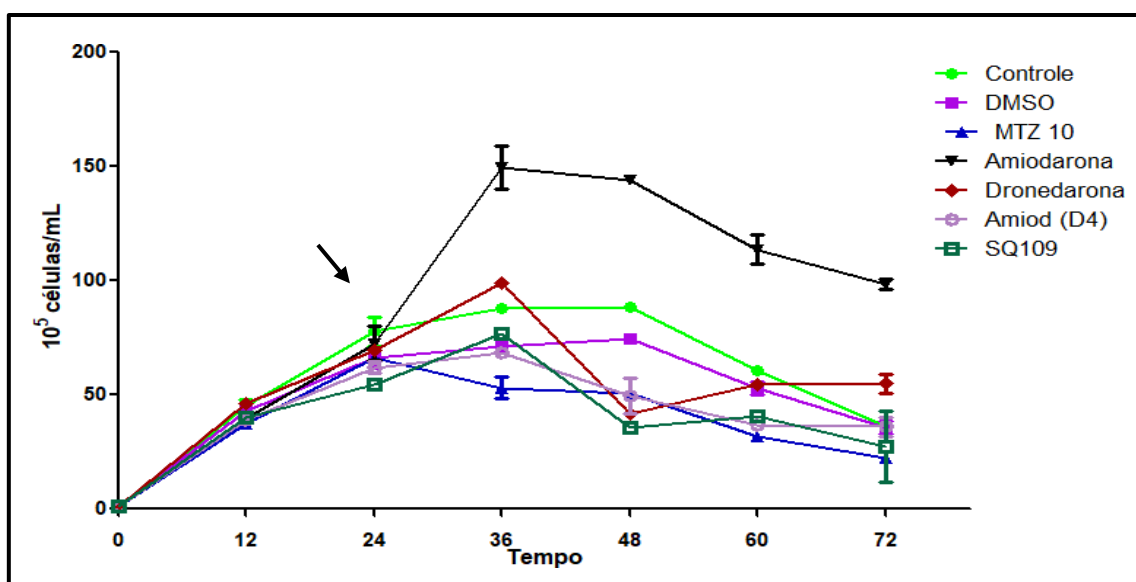
## 1682 **5. Resultados**

### 1683 **5.1. Seleção dos compostos**

1684

1685 Realizamos um *screening* inicial com os diferentes grupos de drogas  
1686 para avaliar inicialmente o potencial anti-parasitário dos compostos que seriam  
1687 testados posteriormente. Nos resultados preliminares, o crescimento das

1688 culturas de *T. vaginalis* foi analisado após o tratamento com os compostos  
 1689 amiodarona, dronedarona, amioder (amioder D4) e SQ109 na concentração de  
 1690 10  $\mu\text{M}$  (Fig. 11), e também após o tratamento com análogos de  
 1691 alquilfosfolipídeos (Fig. 25). O metronidazol (MTZ) na concentração de 10  $\mu\text{M}$   
 1692 foi utilizado como controle positivo. As células controle (sem tratamento) ou  
 1693 incubadas com o veículo diluidor (DMSO) e aquelas tratadas com os diferentes  
 1694 compostos, foram contadas em períodos variáveis entre 24 h e 72 h. As células  
 1695 foram contadas em câmara de Neubauer.



1696 **Figura 11.** *T. vaginalis* cultivadas na presença de diversos compostos na  
 1697 concentração de 10  $\mu\text{M}$ . A seta indica o momento de adição dos compostos às  
 1698 culturas. Dados são expressos como média  $\pm$  SEM (N=3).

1700

## 1701 **5.2. Efeito da amiodarona, amioder e dronedarona em *T.***

### 1702 ***vaginalis***

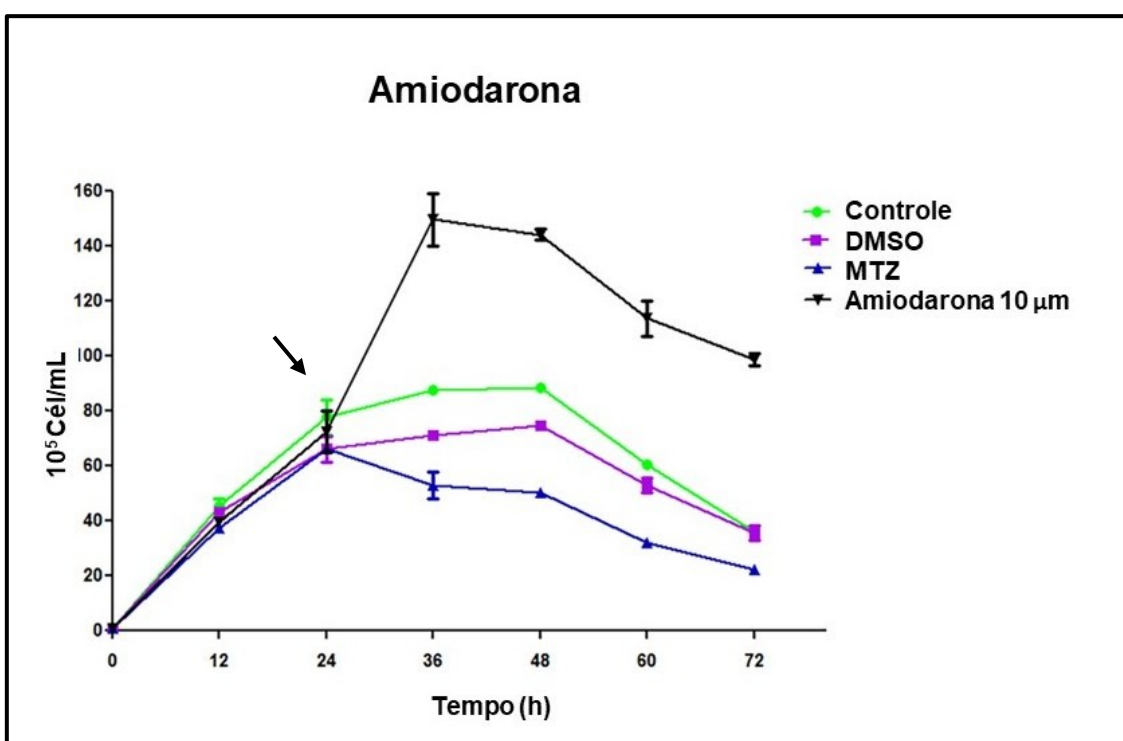
#### 1703 **5.2.1. Curvas de crescimento**

1704

1705 A figura 12 a-c mostra o efeito da amiodarona, amioder e dronedarona no  
 1706 crescimento do parasita. Não observamos inibição do crescimento celular  
 1707 quando amiodarona foi usada (Fig. 12a), mesmo em uma concentração de 10  
 1708  $\mu\text{M}$ . Em contrapartida, houve um aumento no número de células. O MTZ a 2  
 1709  $\mu\text{M}$  por 48 h, usado como controle positivo, mostrou um efeito inibitório com o

1710 valor de IC<sub>50</sub>. No caso da amioder (Fig. 12b), observamos um efeito inibitório  
1711 dose dependente com um IC<sub>50</sub> de 3,5  $\mu$ M. Na concentração de 10  $\mu$ M, a  
1712 inibição foi quase a mesma observada com 2  $\mu$ M de MTZ. Quando a  
1713 dronedarona foi usada (Fig. 12c), um alto efeito inibitório também foi observado  
1714 com um IC<sub>50</sub> de quando usada a concentração de 11  $\mu$ M. É importante ressaltar  
1715 que o DMSO não afetou o crescimento do parasita na concentração usada  
1716 para diluir os compostos, reforçando que nenhuma concentração de DMSO foi  
1717 superior a 1%.

1718 a



1720

1721

1722

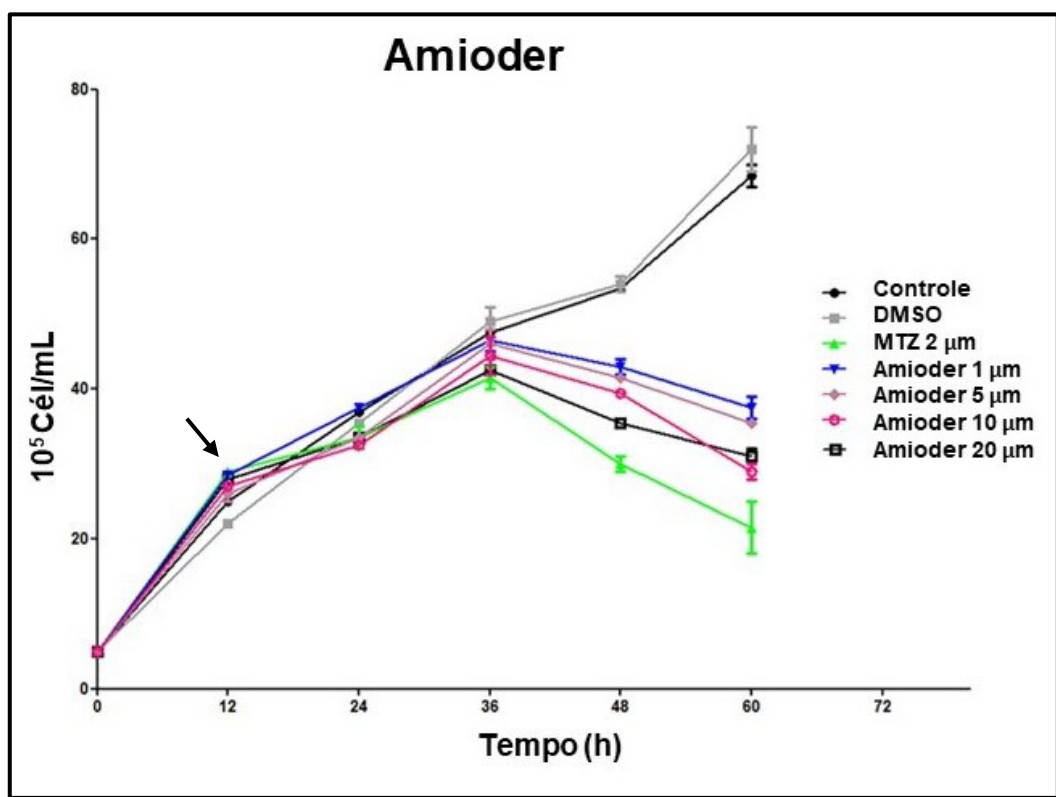
1723

1724

1725

1726

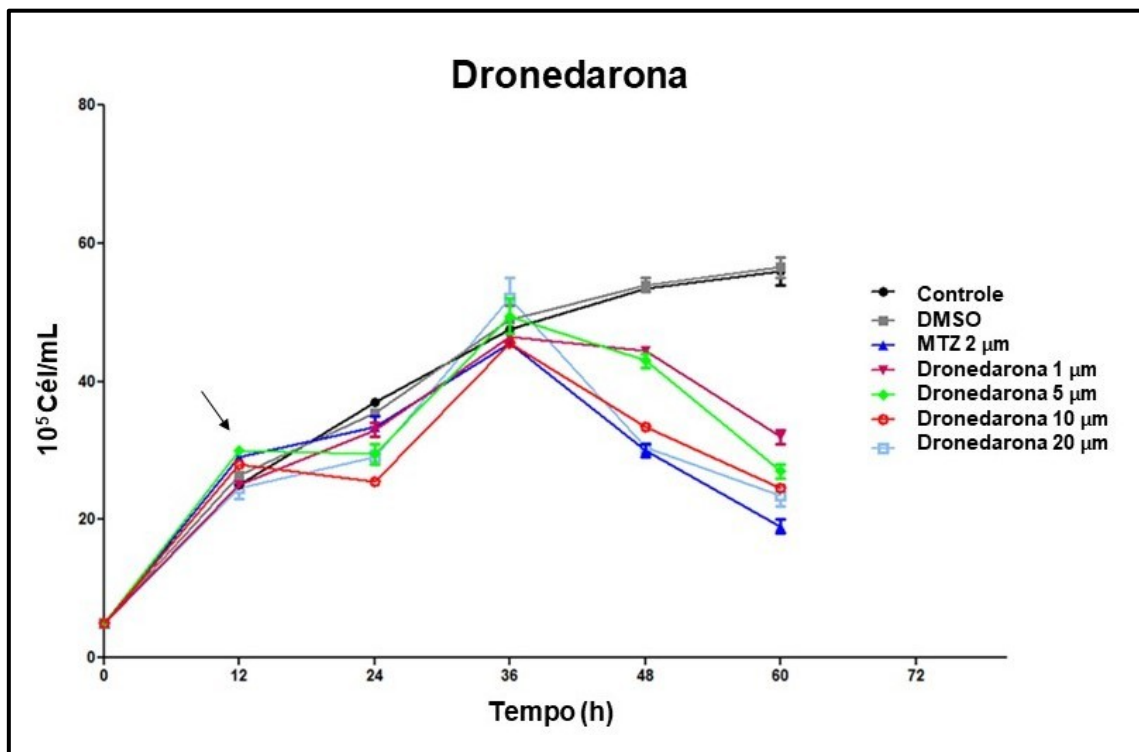
1727 b



1728

1729

1730 c



1731

1732 **Figura 12.** (a) *T. vaginalis* controle e tratadas com DMSO 0,1%, 10 µM de amiodarona  
1733 e 10 µM metronidazol (MTZ). (b) *T. vaginalis* controle e tratadas com DMSO 0,1% e 1,  
1734 5, 10 e 20 µM de amiodarona e 2 µM de metronidazol (MTZ). (c) *T. vaginalis* controle e  
1735 tratadas com DMSO 0,1%, e 1, 5, 10 e 20 µM de dronedarona e 2 µM de metronidazol  
1736 (MTZ). As setas indicam o horário de adição dos compostos (12 ou 24 h). Os dados  
1737 são expressos como média ± SEM (N=3).

1738

### 1739 **5.3. Observações microscópicas**

1740 Foram analisadas imagens de microscopia óptica de contraste de fase  
1741 (Fig. 13), microscopia de fluorescência (Figs. 14, 17-18), microscopia eletrônica  
1742 de varredura (Figs. 18-19) e microscopia eletrônica de transmissão (Figs. 21 -  
1743 24). Observamos células gigantes provavelmente, resultantes de citocinese  
1744 interrompida, e a formação de grandes agregados celulares (Figs. 13-14). Com  
1745 a finalidade de buscar possíveis sinais de morte celular por apoptose,  
1746 realizamos o teste do TUNEL. Observamos reação positiva de fragmentação  
1747 do DNA, indicativo de morte celular por apoptose (Figs. 18c' – d'). Por  
1748 microscopia eletrônica de varredura, confirmamos a presença de agregados  
1749 celulares e alterações morfológicas dos parasitas sob efeito dos compostos  
1750 (Figs. 19-20). Por microscopia eletrônica de transmissão, os parasitas exibiram  
1751 grande agregação de grânulos de glicogênio, principalmente em torno dos  
1752 hidrogenossomos. Estes se encontraram próximos à periferia da célula e em  
1753 maior número. Vale ressaltar a presença de grandes vacúolos (Figs. 21-24).

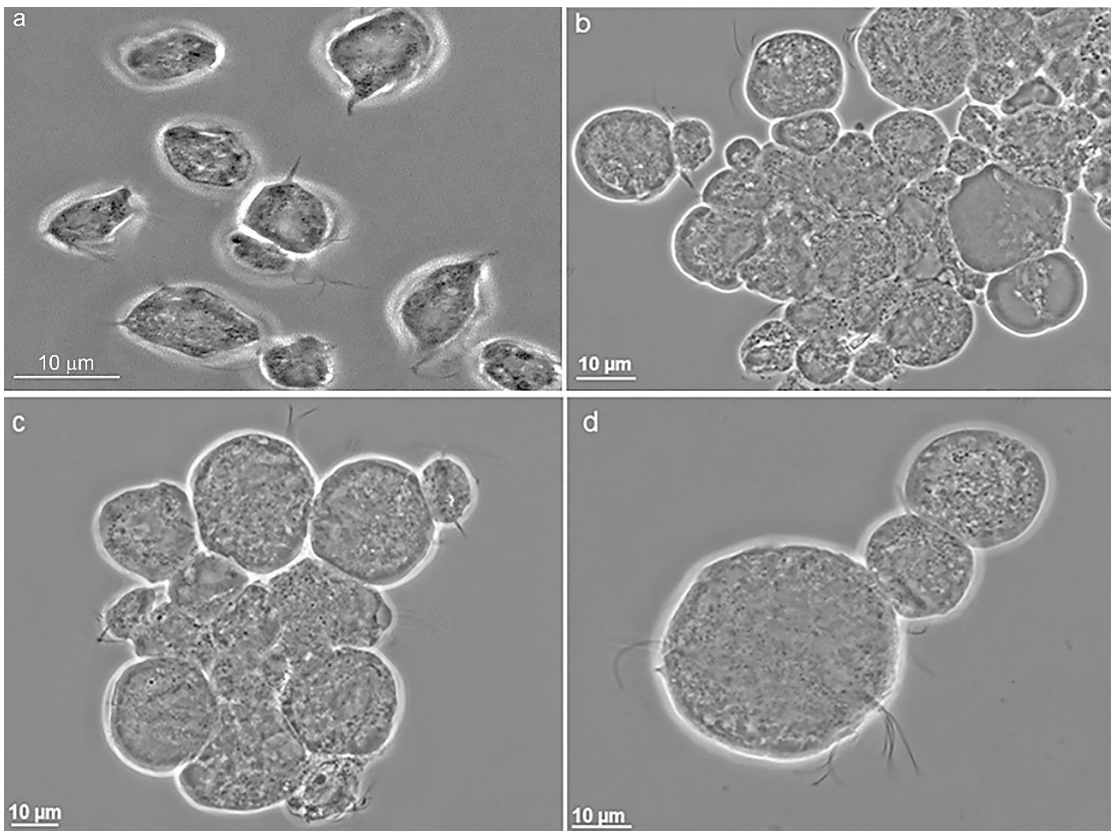
1754

### 1755 **5.4. Microscopia óptica**

#### 1756 **5.4.1 Contraste de fase**

1757

1758 Para verificar as possíveis alterações morfológicas provocadas pelo  
1759 composto amiodarona, imagens de contraste de fase foram analisadas onde  
1760 observamos aumento do número de células, como indicado na Fig. 13. As  
1761 culturas que não foram tratadas (controle) mostraram células livres (Fig. 13a),  
1762 enquanto as culturas tratadas com amiodarona (Fig. 13b-d) exibiram agregados  
1763 celulares de tamanhos variáveis após 24 h.



1764

1765 **Figura 13.** Contraste de fase de *T. vaginalis* controle **(a)**, apresentando morfologia  
1766 normal. Células tratadas com amiodarona 10  $\mu\text{M}$  por 24 horas **(b-d)**. Notam-se células  
1767 arredondadas e agregadas.

1768

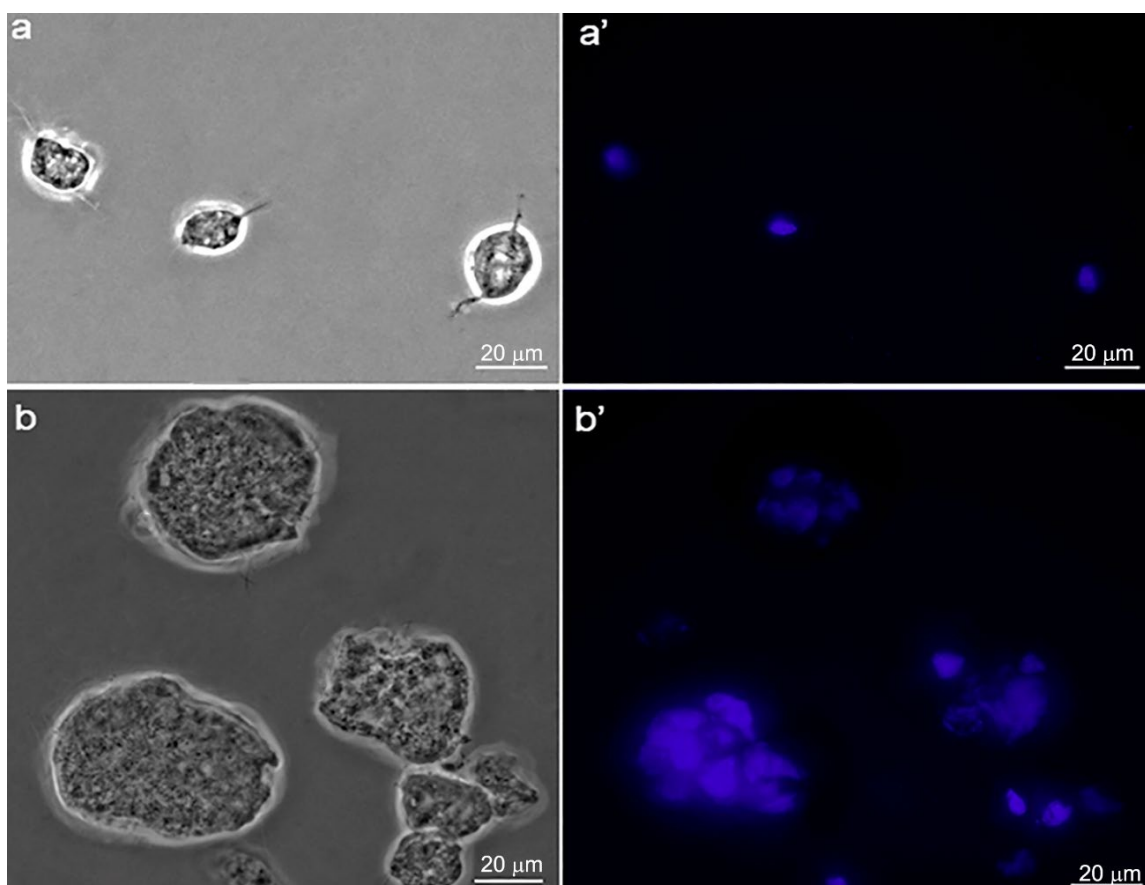
#### 1769           **5.4.2. Imunofluorescência**

1770

1771         A análise por microscopia de fluorescência de células marcadas com  
1772 DAPI para identificar os núcleos, mostraram um aumento significativo no  
1773 número de células tratadas exibindo vários núcleos (dois ou mais) quando  
1774 comparadas às células controle (Fig. 14 a-b). A figura 15 indica o número de  
1775 células contadas contendo dois ou quatro núcleos. O número de células  
1776 multinucleadas foi significativamente maior nas células tratadas por 12 ou 24 h  
1777 com amiodarona. A figura 16 mostra uma análise do ciclo celular do parasita  
1778 controle e de células tratadas com amiodarona, usando citometria de fluxo.  
1779 Enquanto a maioria das células controle encontra-se na fase G1, um número  
1780 maior de células na fase G2 foi observado nas células tratadas. (Fig. 16a-b).  
1781 Com a marcação de tubulina acetilada, estruturas citoesqueléticas duplicadas  
1782 de células tratadas com amiodarona (Fig. 17a-b) e células com dois núcleos  
1783 (Fig. 17c) foram observadas.

1784 O ensaio TUNEL (terminal deoxynucleotidyltransferasemediated dUTP  
1785 *Nick-end labeling*) foi utilizado para verificar se os compostos amioder e  
1786 donedarona, que inibiram o crescimento celular de *T. vaginalis*, induziam a  
1787 morte celular por um mecanismo semelhante ao de apoptose. Os controles  
1788 positivos foram tratados com DNase I, enquanto os controles negativos foram  
1789 marcados com o kit fluorocromo, que não possui a enzima terminal transferase.  
1790 A figura 17a mostra células controle, onde nenhuma marcação foi observada. A  
1791 figura 17b exibe um controle positivo de células tratadas com DNase, onde foi  
1792 observada marcação positiva. Além disso, *T. vaginalis* tratadas com 10 µM de  
1793 amioder (Fig. 18c) ou dronedarona (Fig. 18d) por 24 h também apresentaram  
1794 marcação, indicando a indução de morte por um mecanismo semelhante à  
1795 apoptose.

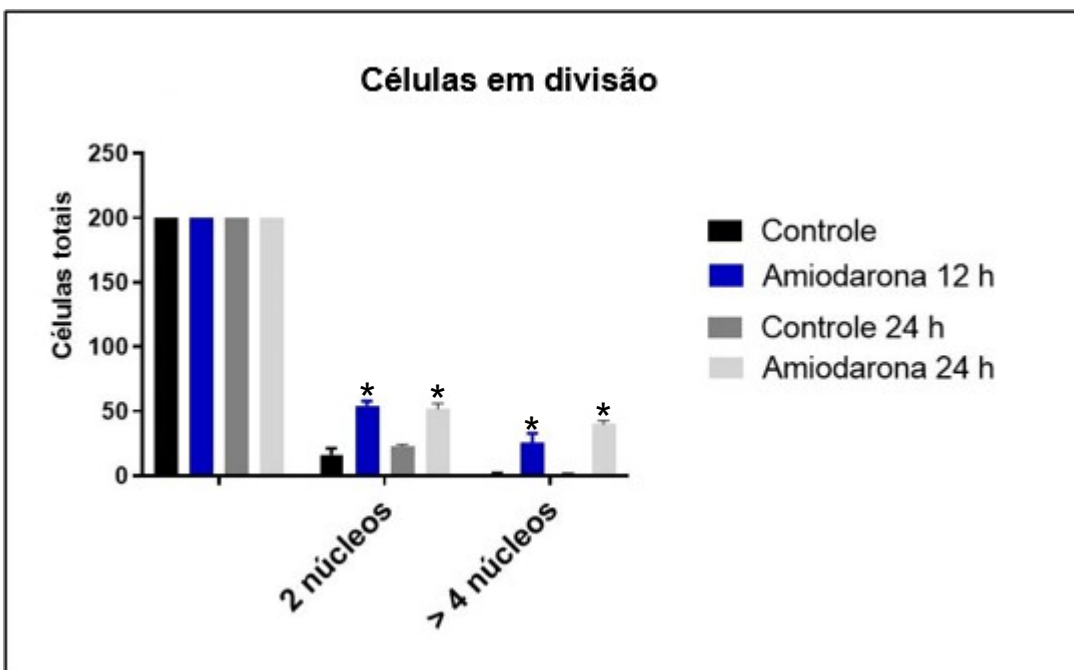
1796



1797

1798 **Figura 14.** Microscopia de Fluorescência de *T. vaginalis*. Controle (a)  
1799 e após 24 horas de tratamento com 10 µM de amiodarona (b). Nota-se que células controle são  
1800 piriformes enquanto as tratadas são muito maiores e multinucleadas.

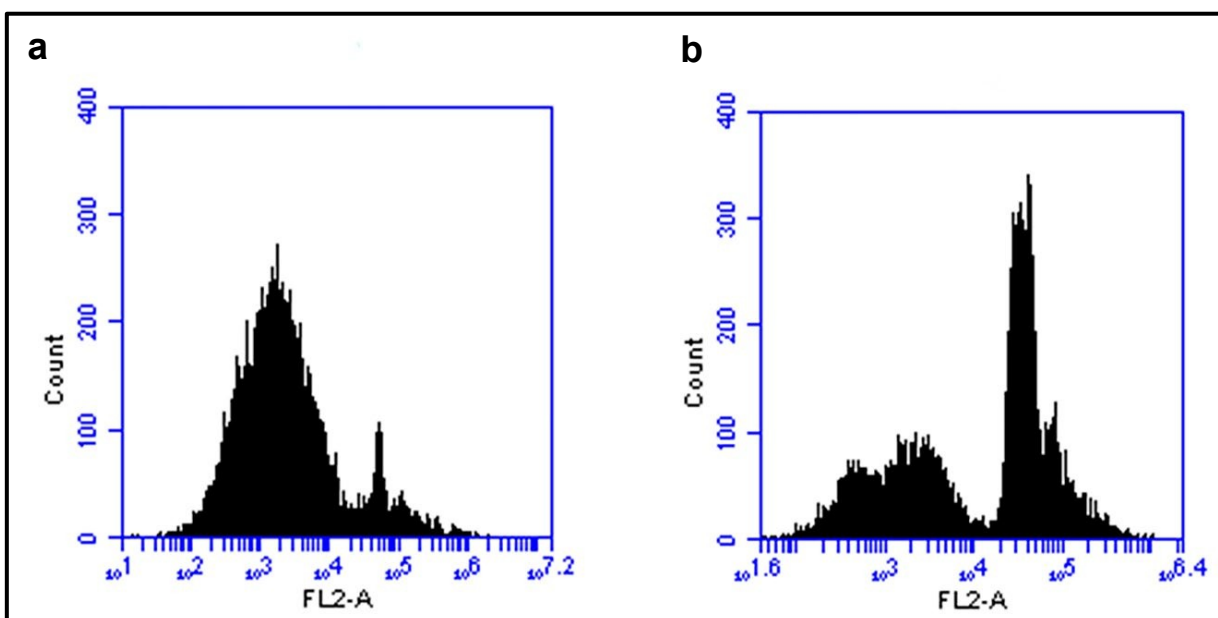
1801



1802

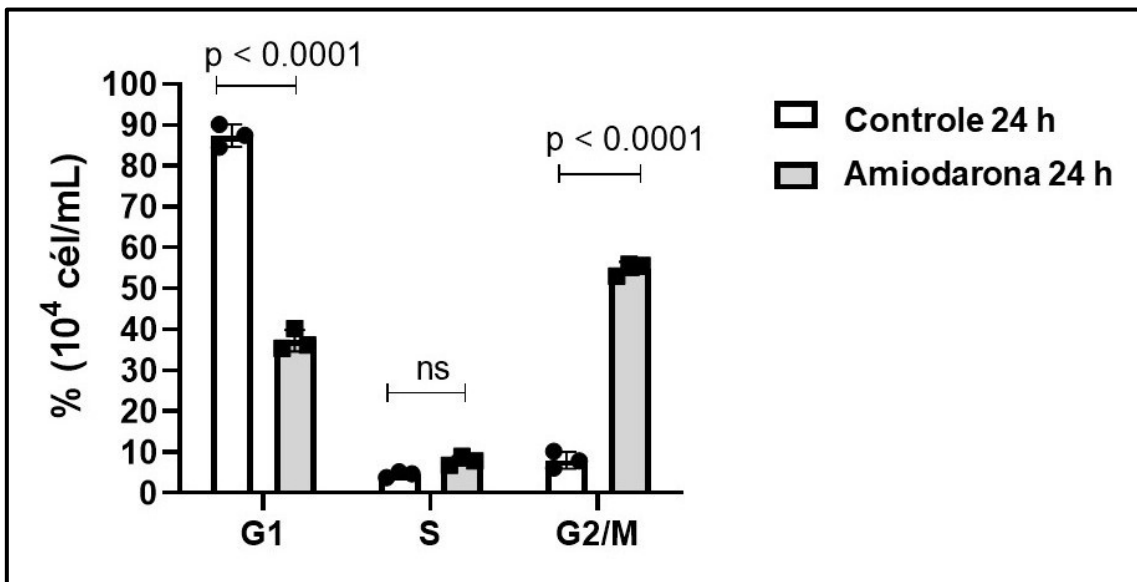
1803 **Figura 15.** Contagem de parasitas polinucleados tratados com amiodarona a 10  $\mu$ M  
 1804 por 12 h e 24 h. Observa-se um grande número de células multinucleadas. Os valores  
 1805 foram considerados estatisticamente significativos quando comparados com seus  
 1806 respectivos controles (12 e 24 h) (\* $p \leq 0,05$ ), N=200.

1807

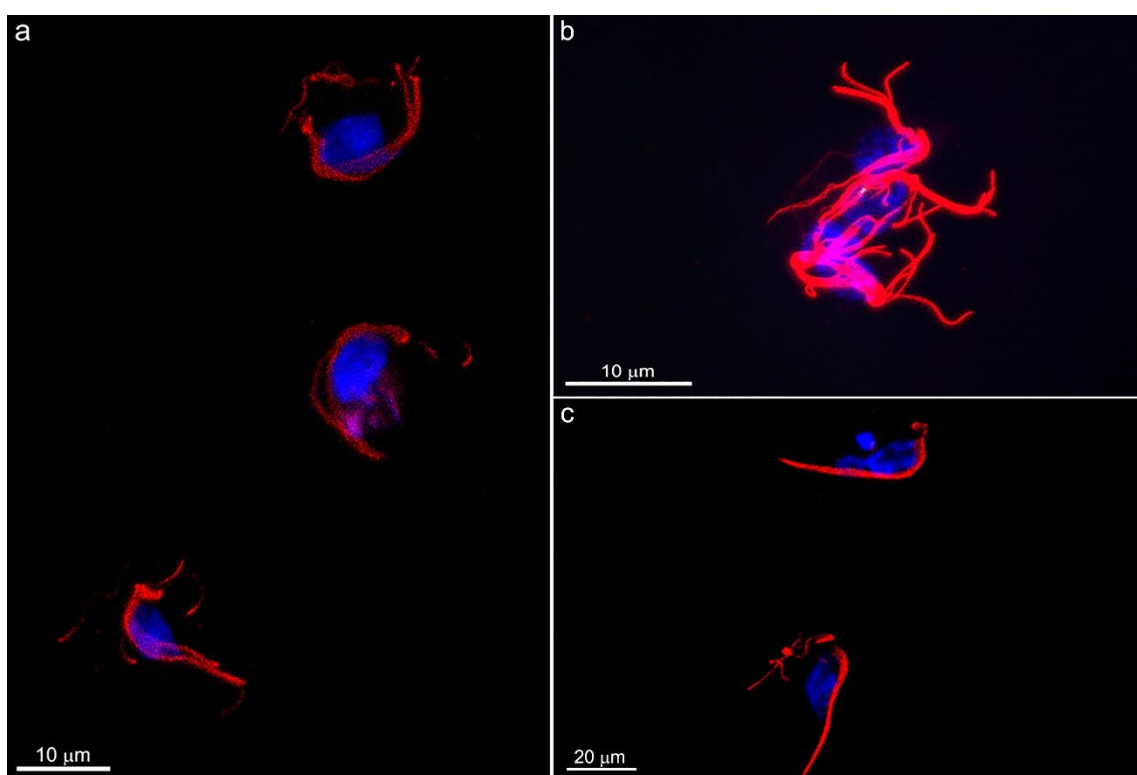


1808

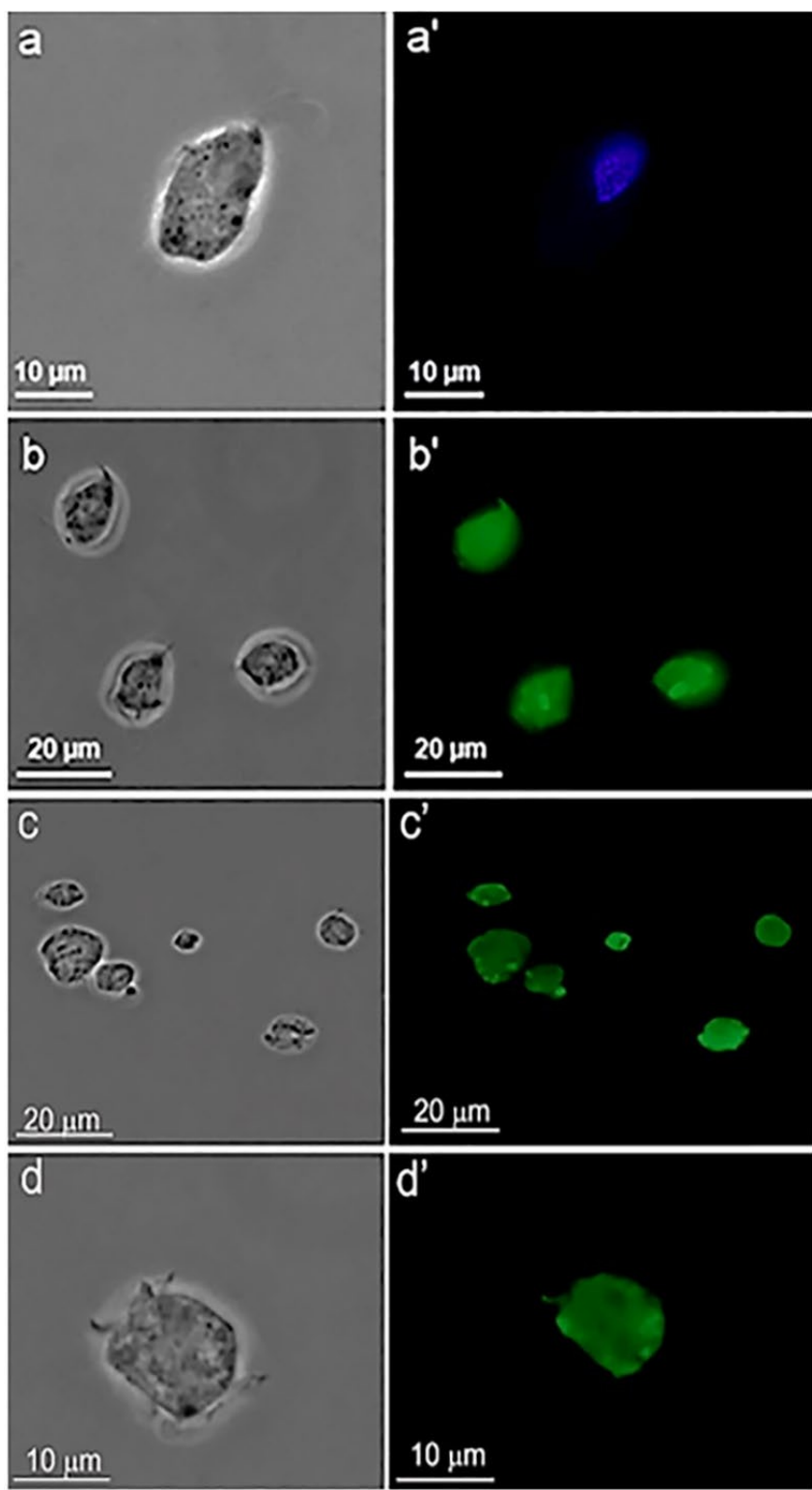
1809



1811 **Figura 16.** Ciclo celular de *T. vaginalis* tratadas com 10  $\mu\text{M}$  de amiodarona por 24  
1812 horas. Nota-se que as células tratadas (**b**) apresentaram uma diminuição em G1  
1813 quando comparadas com as células controle (**a**).  
1814



1816 **Figura 17.** *T. vaginalis* controle (**a**) e tratadas com 10  $\mu\text{M}$  amiodarona por 24 horas (**b**-  
1817 **c**) após incubação com anticorpo contra tubulina acetilada e observadas por  
1818 microscopia de fluorescência confocal. Nota-se que os parasitas tratados estão em  
1819 processo de divisão celular, apresentando estruturas celulares duplicadas (**b**) e  
1820 múltiplos núcleos (**c**).  
1821



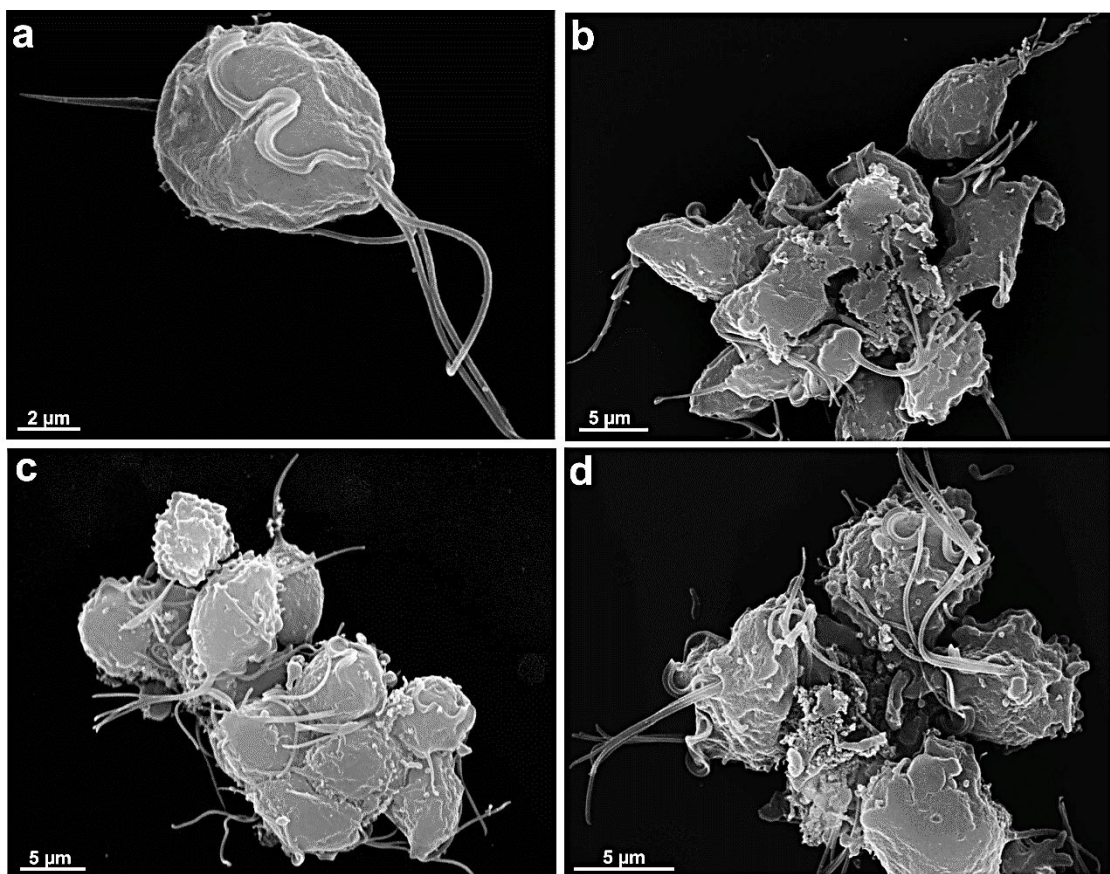
1821

1822 **Figura 18.** Teste TUNEL — marcação de DNA fragmentado. Células controle (a-a').  
1823 Controle positivo tratado com DNase I (b – b'). Microscopia de Fluorescência de *T.*  
1824 *vaginalis* após o tratamento com 10  $\mu$ M de amioder (c – c') e 10  $\mu$ M de dronedarona (d  
1825 – d') por 24 h. Resultados positivos para fragmentação de DNA.

1826

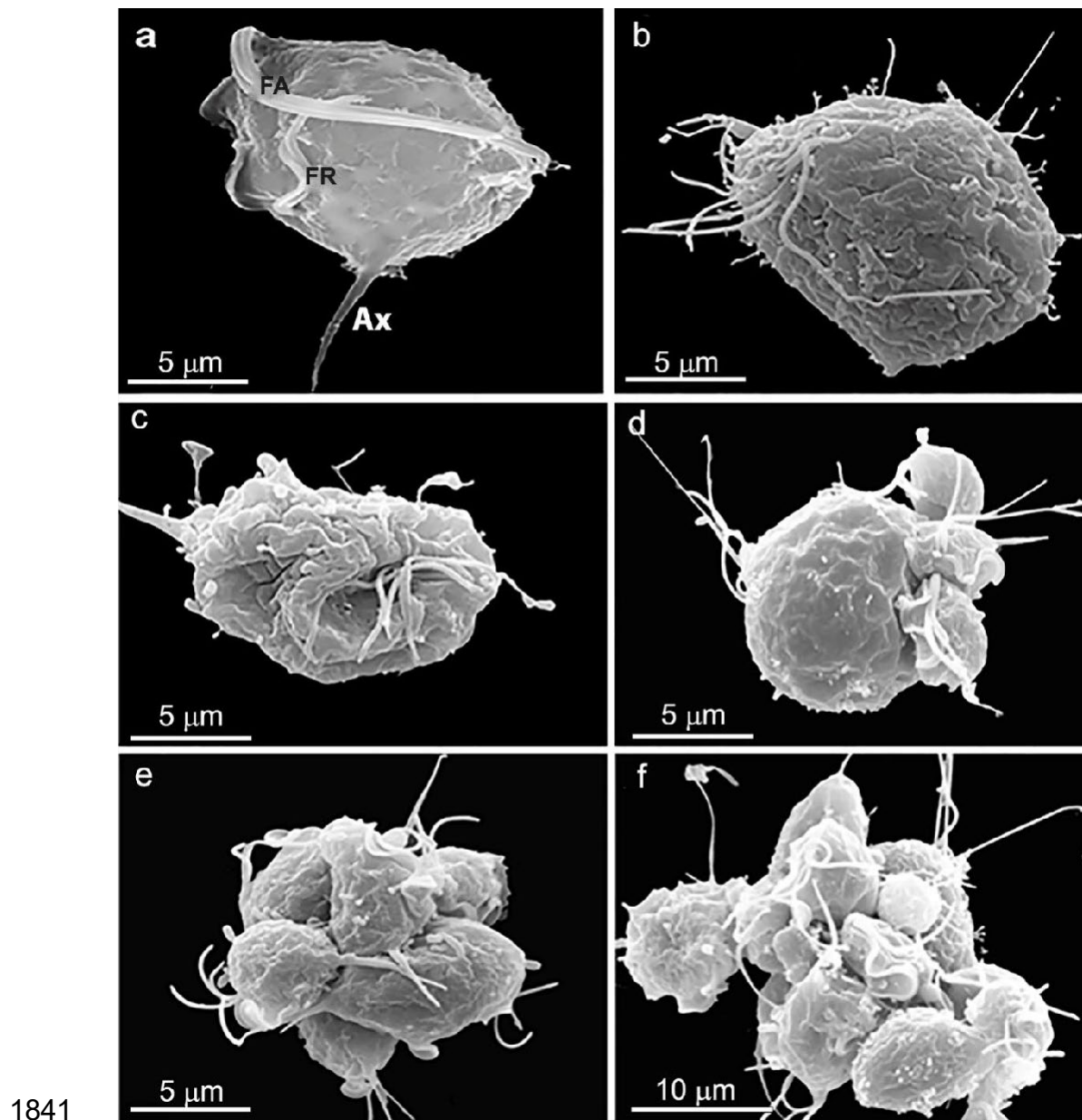
1827 **5.5. Microscopia Eletrônica de Varredura (MEV)**

1828 Para verificar os possíveis efeitos provocados pelos compostos na  
1829 morfologia dos parasitos, foram feitos processamentos para microscopia  
1830 eletrônica de varredura. A figura 19a mostra *T. vaginalis* exibindo uma  
1831 morfologia normal, piriforme, com quatro fagelos anteriores e um flagelo  
1832 recorrente. Parasitas incubados na presença de amiodarona formaram  
1833 agregados celulares de vários tamanhos, alcançando até 80 µm (Fig. 19b-d).  
1834 Parasitas incubados na presença de amioder ou dronedarona apresentaram  
1835 células arredondadas e deformadas (Fig. 20b-d). Agregados celulares foram  
1836 observados com dronedarona (Fig. 20 e-f).



1837

1838 **Figura 19.** MEV de *T. vaginalis* controle (a) e tratadas com 10 µM de amiodarona por  
1839 12 h (b-d). Alterações morfológicas, células enrugadas e agregadas são observadas  
1840 (b -d).

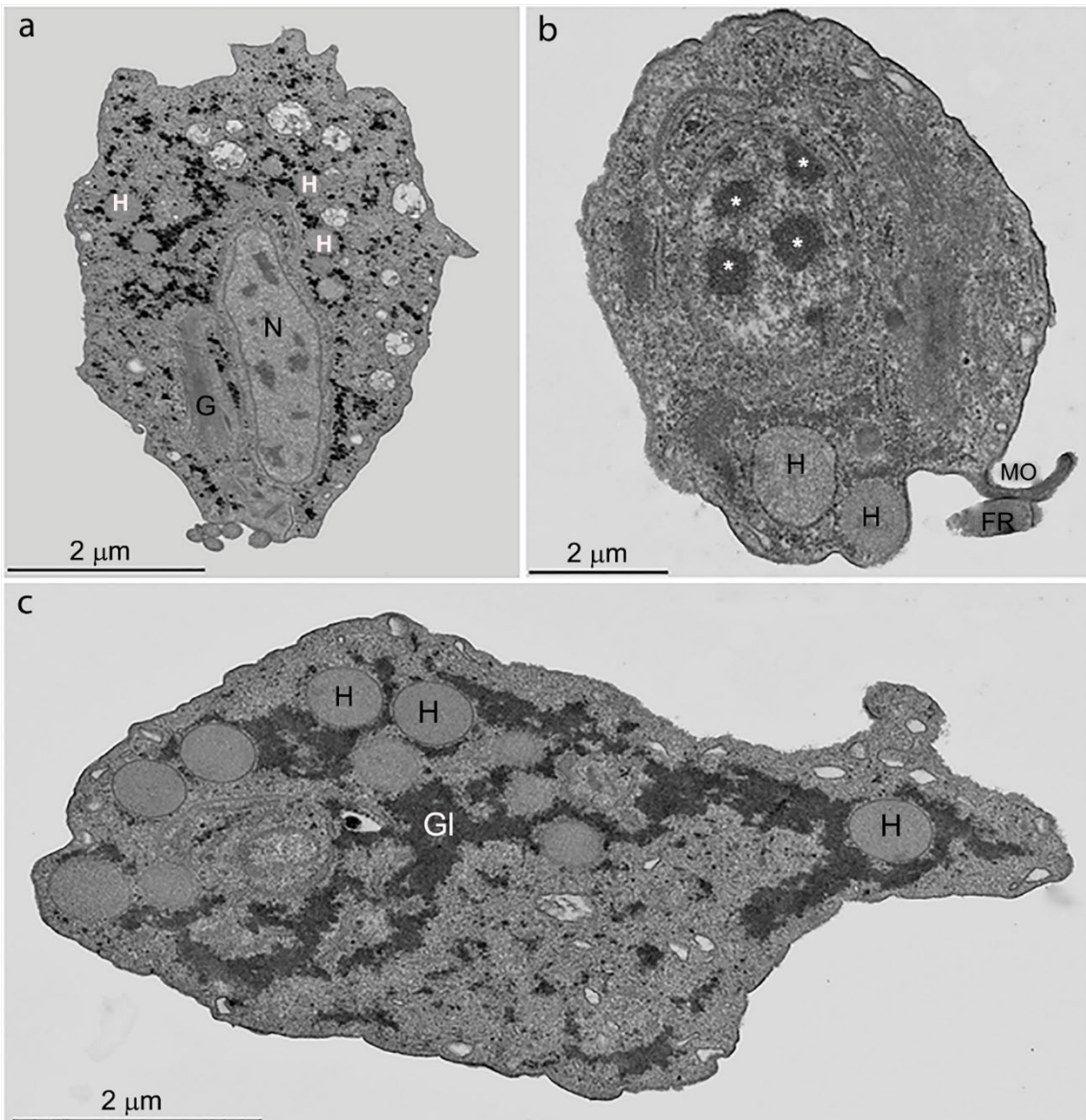


1851     **5.6. Microscopia Eletrônica de Transmissão (MET)**

1852

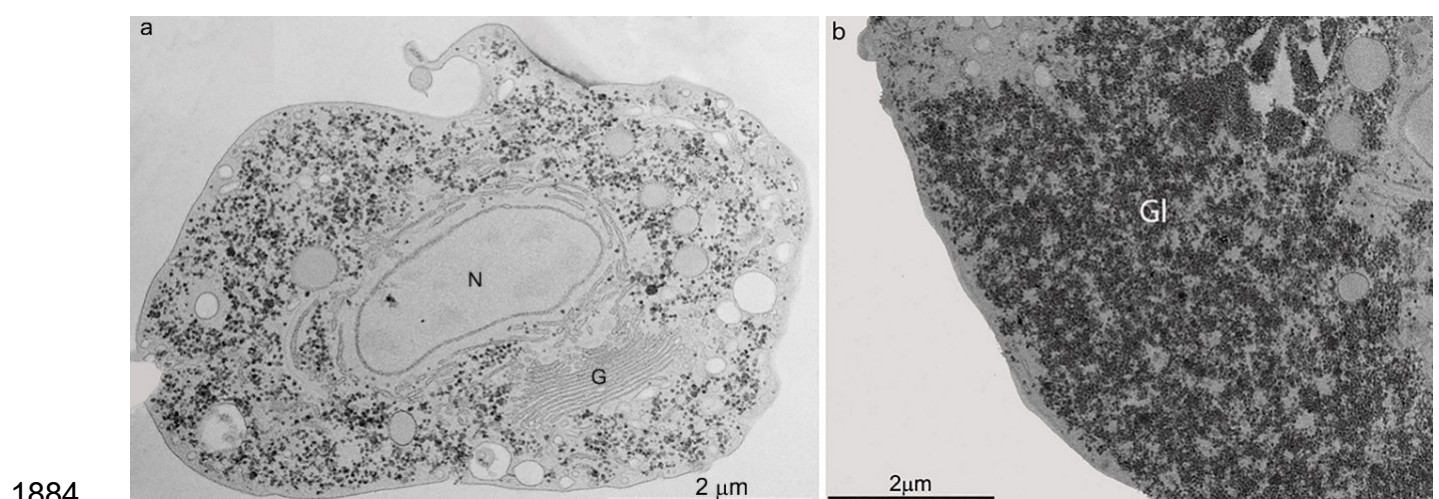
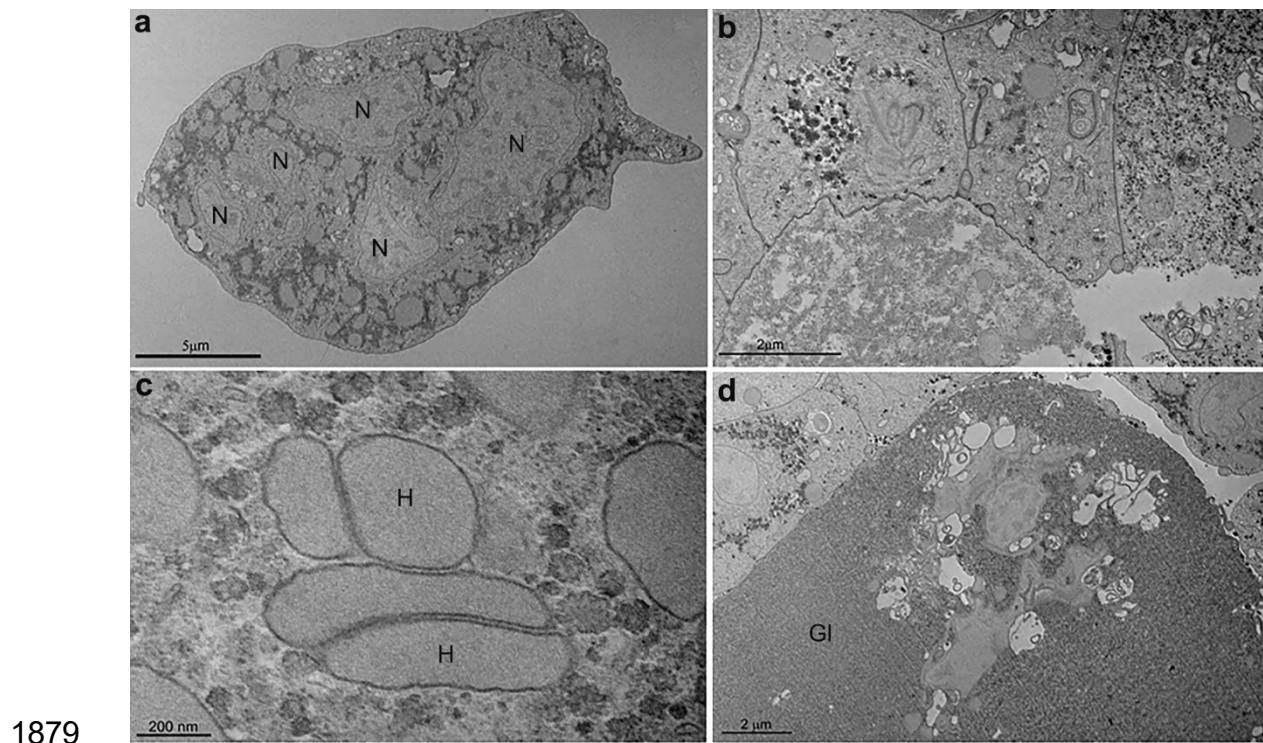
1853         Para verificar os possíveis efeitos provocados pelos compostos na  
1854         ultraestrutura dos parasitos, foram realizados processamentos para  
1855         microscopia eletrônica de transmissão. A figura 21a mostra uma imagem de  
1856         MET de uma célula controle, onde as estruturas de *T. vaginalis* são  
1857         observadas, como o núcleo, complexo de Golgi, hidrogenossomos, vacúolos e  
1858         grânulos de glicogênio distribuídos por toda a célula.

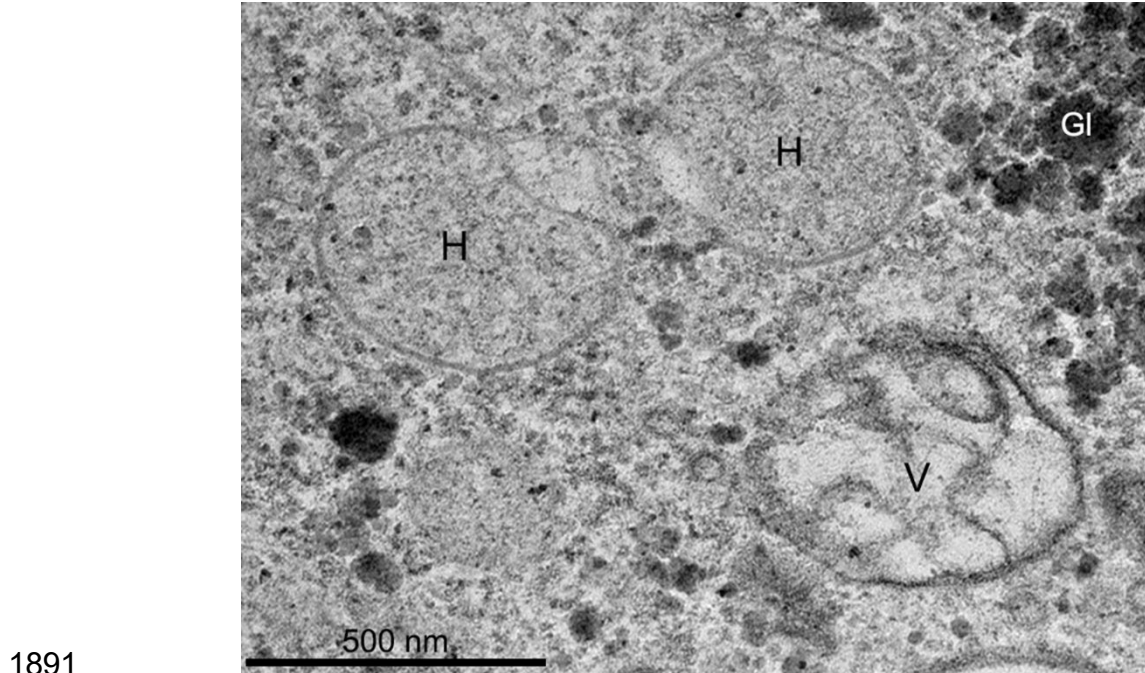
1859         Células tratadas com amiodarona mostraram hidrogenossomos  
1860         localizados principalmente na periferia da célula (Fig. 21b e c), uma maior  
1861         quantidade de agregados de grânulos de glicogênio e cromatina nuclear  
1862         distribuída como estruturas densas (Fig. 21b e c) em vez da distribuição mais  
1863         difusa observada em células não tratadas (Fig. 21a). Depois do tratamento com  
1864         amiodarona por 24 horas, células multinucleadas (Fig. 22a) e aderidas entre si  
1865         formaram uma organização semelhante a um tecido sem fusão celular (Fig.  
1866         22b). Os hidrogenossomos apresentaram formato alongado (Fig. 22c). Além  
1867         disso, as células exibiram grandes massas de grânulos de glicogênio (Fig.  
1868         22d), identificados pelo método citoquímico de Thiéry que revela carboidratos  
1869         (Fig. 23a e b). Após o tratamento com dronedarona a análise por MET mostrou  
1870         as células com os hidrogenossomos exibindo uma matriz esvaziada, quando  
1871         comparados com células não tratadas (Fig. 24).

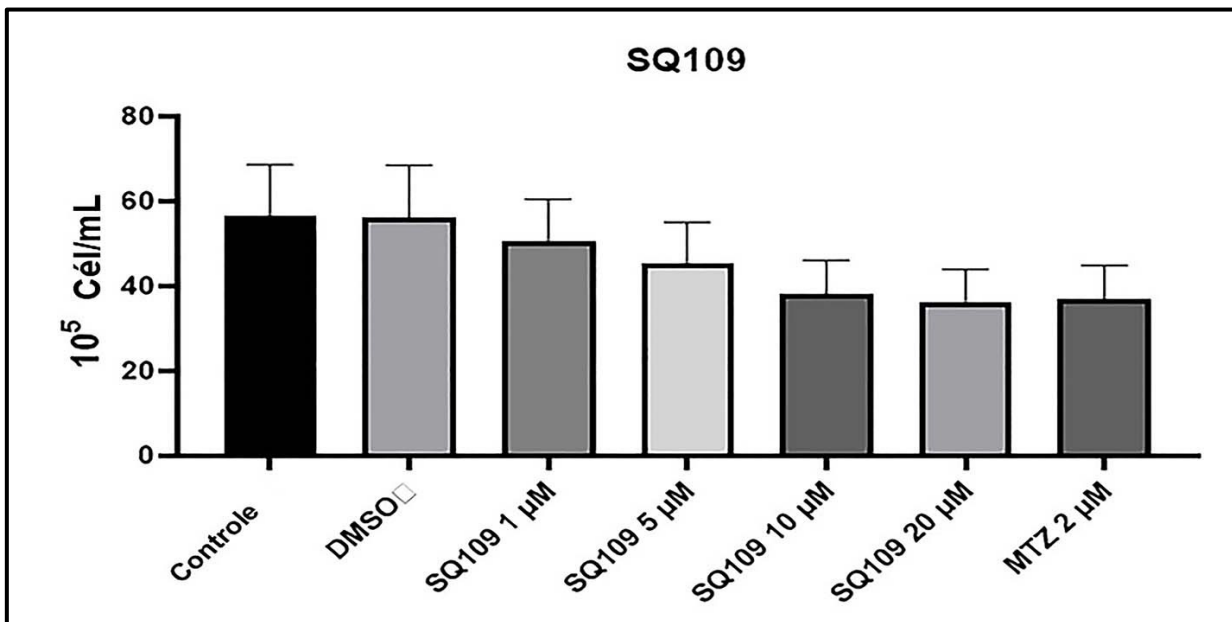


1872

1873 **Figura 21.** MET de *T. vaginalis* controle **(a)** e após tratamento com 10  $\mu$ M de  
 1874 amiodarona 12 h **(b-d).** **(a)** Controle exibindo organelas sem alterações com  
 1875 hidrogenossomos (H) arredondados com matriz de densidade normal. **(b-c)** Células  
 1876 tratadas apresentando grandes massas de cromatina condensada (asteriscos); e **(b)**  
 1877 **(c)** acúmulo de grânulos de glicogênio (GI). **G**, Golgi; **MO**, membrana ondulante; **FR**,  
 1878 Flagelo recorrente; **N**, núcleo.







**Figura 25.** *T. vaginalis* controle e tratadas com DMSO 0,1%, 1, 5, 10, 20  $\mu$ M de SQ109 e 2  $\mu$ M de metronidazol (MTZ). Dados são expressos como média  $\pm$  SEM (N=3).

1907

1908

1909

1910

## 1911 5.8. Imunofluorescência

1912

1913

A observação por microscopia de fluorescência com DAPI indicou que o

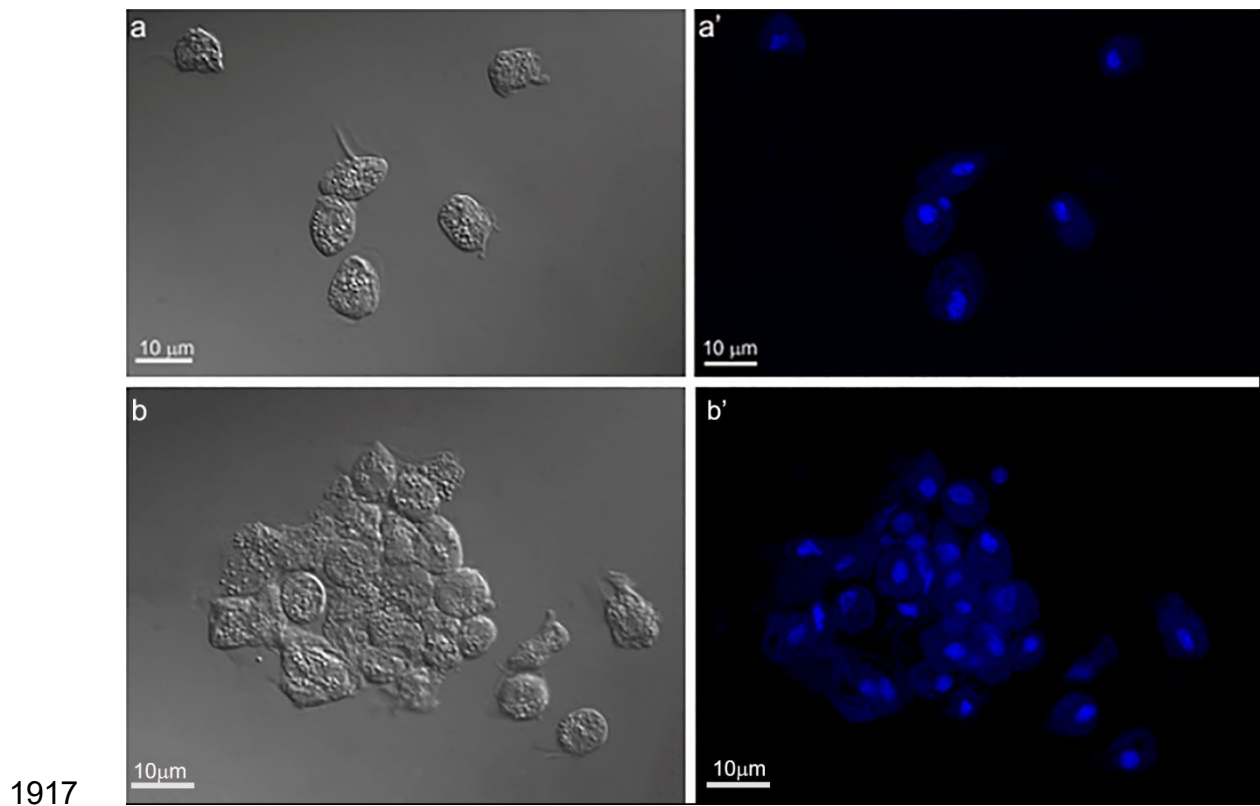
1914

composto SQ109 induziu a formação de agregados celulares. Observamos que

1915

as células agregadas exibiram núcleos individuais (Fig. 26b').

1916

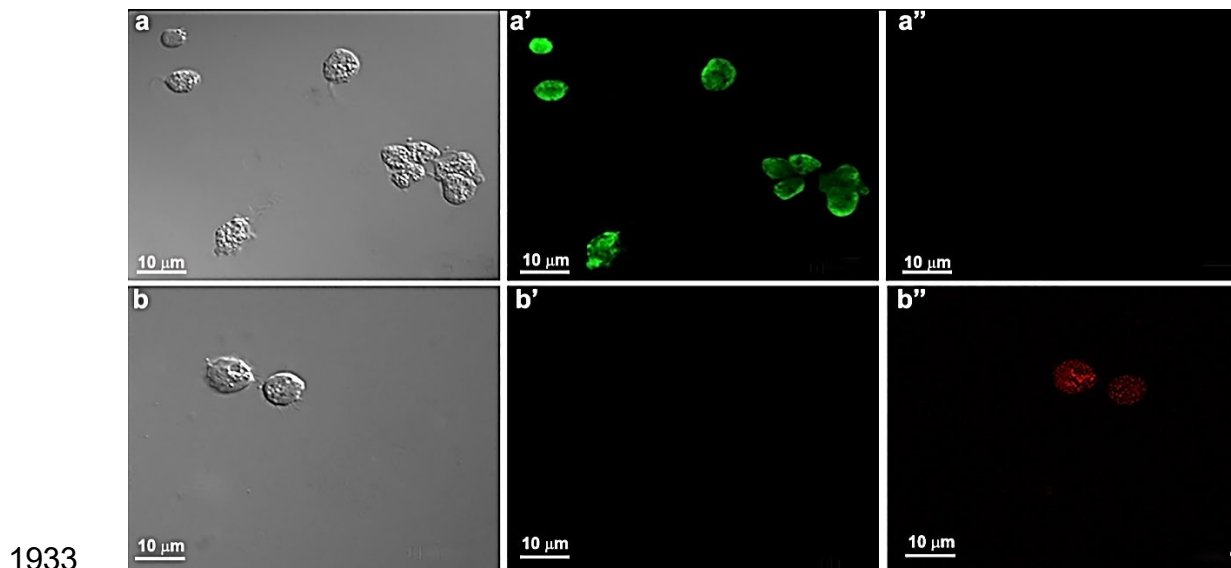


**Figura 26.** *T. vaginalis* observadas por microscopia de fluorescência confocal, com DIC (a-b) e DAPI (a'-b'). Células controle (a-a') e tratadas com 10  $\mu$ M de SQ109 por 24 h (b-b') onde se observam agregados celulares.

1921

### 1922 **5.8.1. Viabilidade celular usando 7-AAD e FDA**

1923 Para verificar se o tratamento com SQ109 reduziria a viabilidade celular,  
 1924 7-AAD e FDA foram usados simultaneamente. Células com membranas  
 1925 celulares intactas, são consideradas viáveis, absorvem o corante FDA e  
 1926 apresentam fluorescência verde. Em contrapartida, células com membrana não  
 1927 funcional ou comprometida incorporam o corante 7-AAD e apresentam  
 1928 fluorescência vermelha e são consideradas inviáveis. Como observado na  
 1929 figura 27 as células sem tratamento apresentaram apenas fluorescência verde,  
 1930 não apresentando marcação com 7-AAD. Em contraste, *T. vaginalis* tratadas  
 1931 com o composto SQ109 apresentou marcação para 7-AAD em fluorescência  
 1932 vermelha.



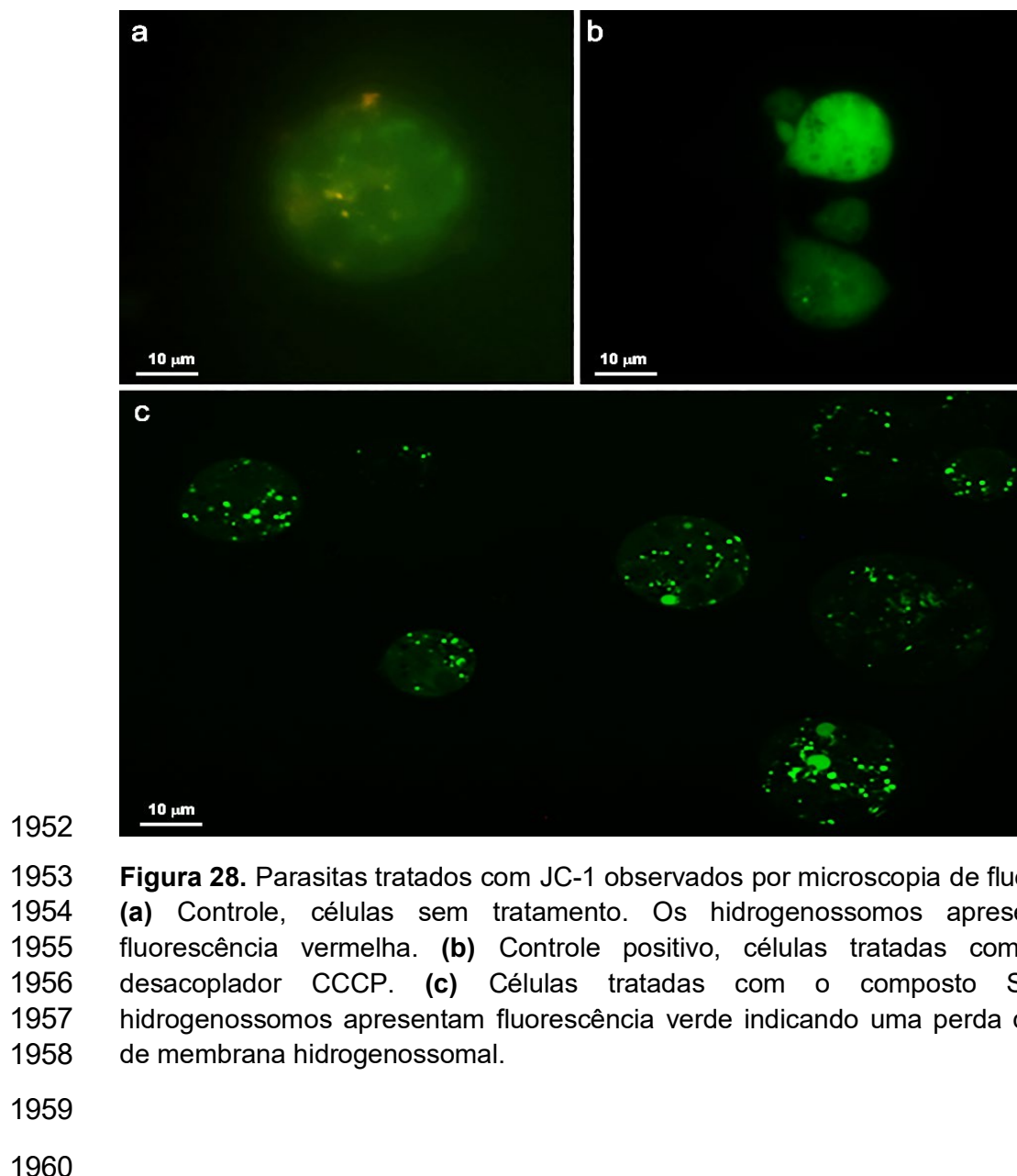
**Figura 27.** Comparação de *T. vaginalis* controle e tratadas com SQ109 por 24 h incubadas com 7-AAD e FDA. DIC (**a-b**). Microscopia de fluorescência usando FDA (**a'-b'**) e 7-AAD (**a''-b''**). Os parasitas controle (**a**) são positivos para FDA (**a'**), mas não para 7-AAD (**a''**). Em contraste, os parasitas tratados com SQ109 (**b**) são negativos para FDA (**b'**) e positivos para 7-AAD (**b''**).

1939

#### 1940           **5.8.2 Viabilidade do hidrogenossomo usando JC-1**

1941

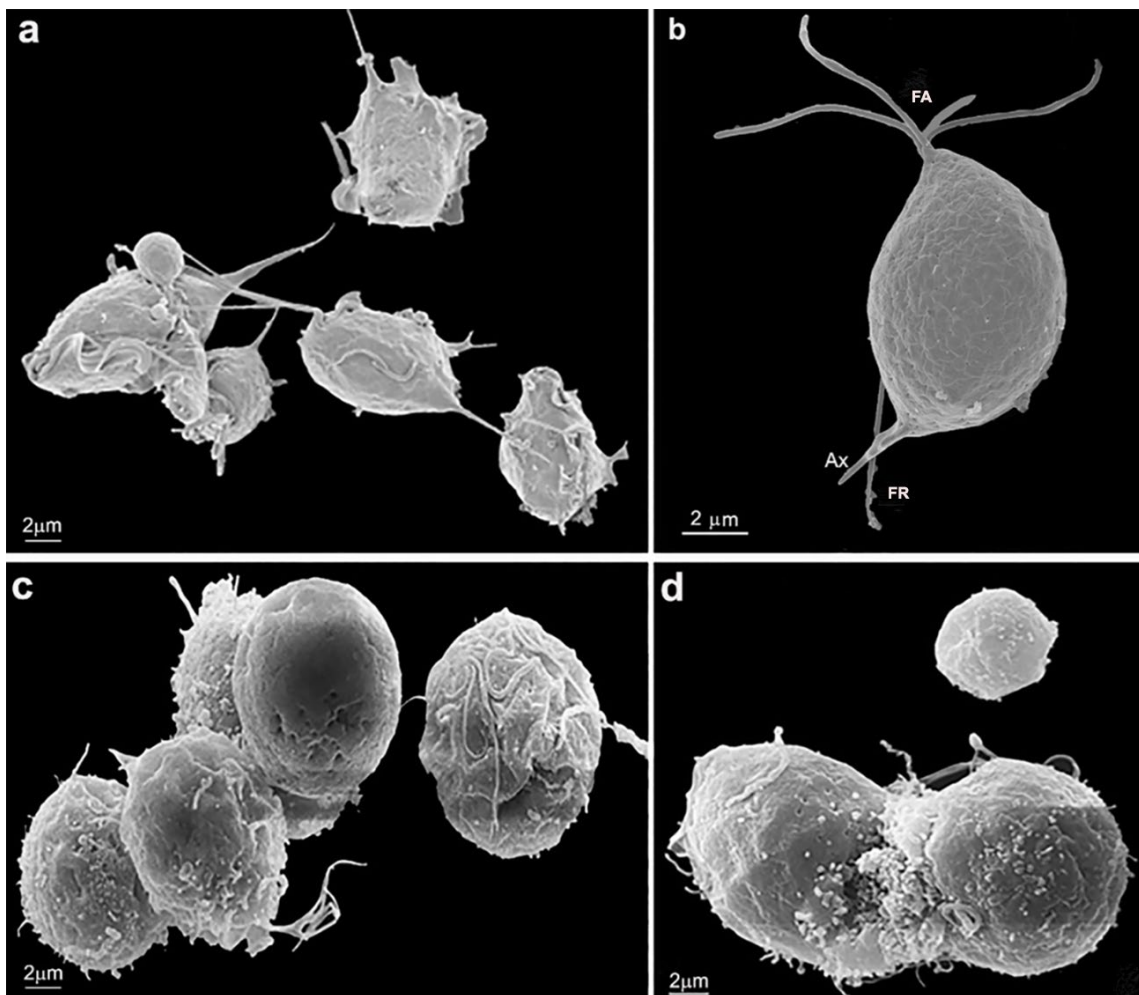
1942 Testes de viabilidade utilizando o corante fluorescente JC-1 foram realizados  
 1943 em *T. vaginalis* controle e tratadas com SQ109 (Fig. 28) para verificar  
 1944 possíveis alterações induzidas por SQ109 nos hidrogenossomos. No presente  
 1945 estudo observamos que os hidrogenossomos funcionais encontram-se  
 1946 marcados em vermelho. Em contraste, foram observados hidrogenossomos em  
 1947 verde após o tratamento com SQ109 (Fig. 28c), indicando uma perda do  
 1948 potencial de membrana hidrogenossomal. Ao utilizar o CCCP (cianeto de  
 1949 carbonila 3-clorofenilhidrazona), que é um desregulador do potencial da  
 1950 membrana mitocondrial, como controle positivo confirmamos a resposta do  
 1951 corante JC-1 (Fig. 28b).



**Figura 28.** Parasitas tratados com JC-1 observados por microscopia de fluorescência.  
(a) Controle, células sem tratamento. Os hidrogenossomos apresentam leve fluorescência vermelha. (b) Controle positivo, células tratadas com o agente desacoplador CCCP. (c) Células tratadas com o composto SQ109. Os hidrogenossomos apresentam fluorescência verde indicando uma perda do potencial de membrana hidrogenossomal.

1961 **5.9. Microscopia Eletrônica de Varredura (MEV)**

1962 Após o tratamento de *T. vaginalis* com SQ109 e observação por  
1963 microscopia eletrônica de varredura as células apresentaram-se arredondadas,  
1964 em contraste com os parasitas controle piriformes (Fig. 29) e alterações na  
1965 superfície celular.



1966 **Figura 29.** MEV de *T. vaginalis* controle (a-b) e tratadas com 10  $\mu\text{M}$  de SQ109 por  
1967 24h (c-d). Notam-se células arredondadas e alterações morfológicas. **FA**, flagelos  
1968 anteriores; **FR**, flagelo recorrente; **Ax**, axóstilo.  
1969

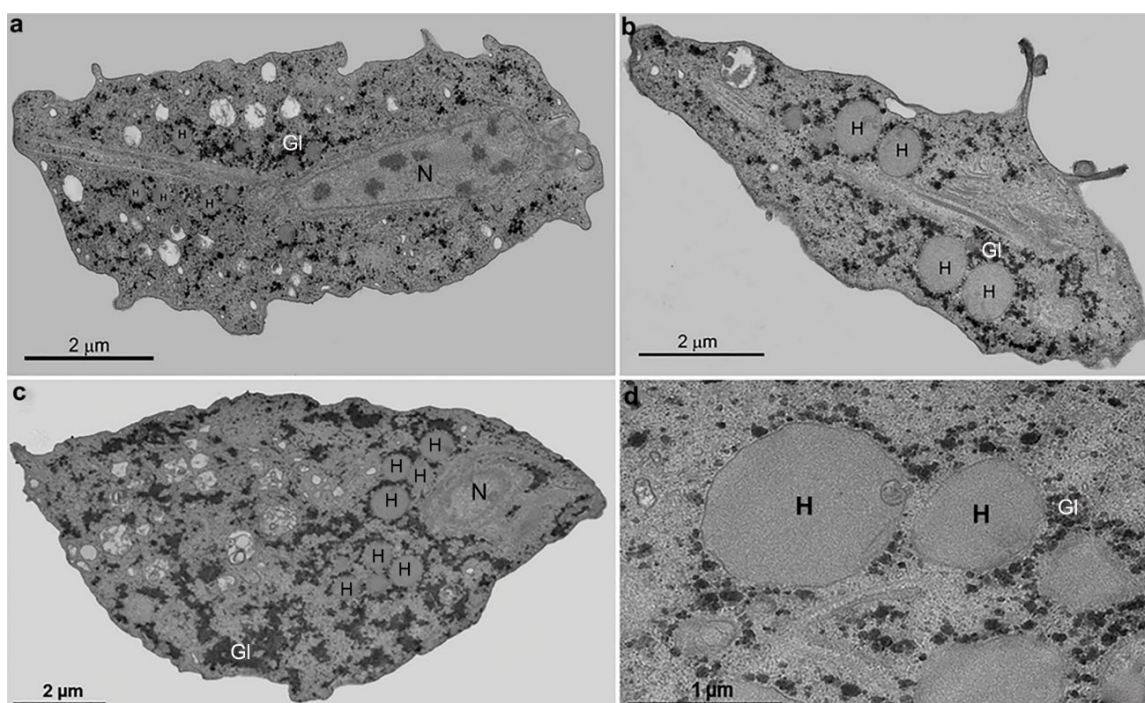
1970

1971 **5.10. Microscopia Eletrônica de Transmissão (MET)**

1972 A análise de microscopia eletrônica de transmissão (MET) revelou um  
1973 aumento significativo no número e tamanho dos hidrogenossomos em células  
1974 tratadas com o composto SQ109 a 10  $\mu\text{M}$  por 24 h (Figs. 30 e 32). Para

1975 comprovar esta observação, realizamos uma análise morfométrica (Fig. 31)  
1976 usando uma amostra estatisticamente significativa onde pelo menos vinte  
1977 células foram examinadas de cada ponto experimental, ou seja, células  
1978 controle e tratadas com o composto SQ109. A média do diâmetro dos  
1979 hidrogenosomas de células controle e tratadas foi de 400 nm e 700 nm,  
1980 respectivamente, indicando um aumento significativo no tamanho da organela.  
1981 Além disso, a área ocupada na célula pelos hidrogenossomos, apresentou  
1982 valores médios de 0,5 e 1,5  $\mu\text{m}^2$  para células controle e tratadas,  
1983 respectivamente. Em relação ao volume ocupado pelo hidrogenossomos,  
1984 obtivemos valores médios de 2,6  $\mu\text{m}^3$  (células controle) e 4,4  $\mu\text{m}^3$  (células  
1985 tratadas) (Fig. 31 a- c). Esses resultados apontam na direção a uma resposta  
1986 celular significativa afetando os hidrogenossomos sob o tratamento com o  
1987 composto SQ109.

1988



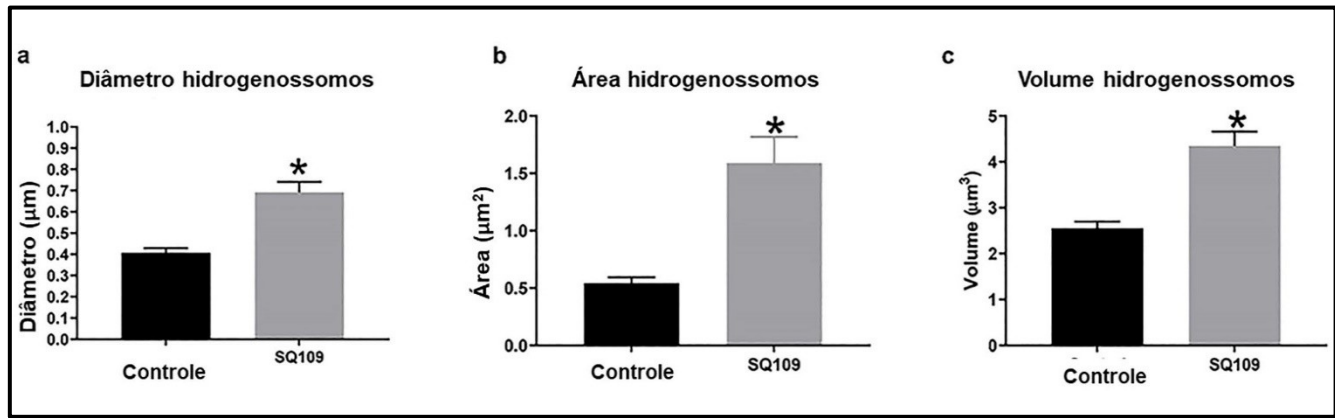
1990 **Figura 30.** MET de *T. vaginalis* tratadas com 10  $\mu\text{M}$  SQ109 por 24 h. (a) Célula  
1991 controle e tratadas (b- d) com 10  $\mu\text{M}$  de SQ109, quando notam-se aumento do  
1992 número de hidrogenossomos, alterações morfológicas e acúmulo de grânulos de  
1993 glicogênio (GI), N, nucleo H, hidrogenossomo.

1994

#### 1995 5.10.1. Morfometria

1996

1997



1998

1999 Figue 31. Análise morfométrica dos hidrogenossomos após tratamento com o  
2000 composto SQ109 a 10  $\mu\text{M}$  (a-c). Foi encontrado aumento significativo no diâmetro  
2001 médio dos hidrogenossomos, da área superficial média e do volume médio que  
2002 ocupam nas células tratadas quando comparados com as células sem tratamento  
(controle).

2003

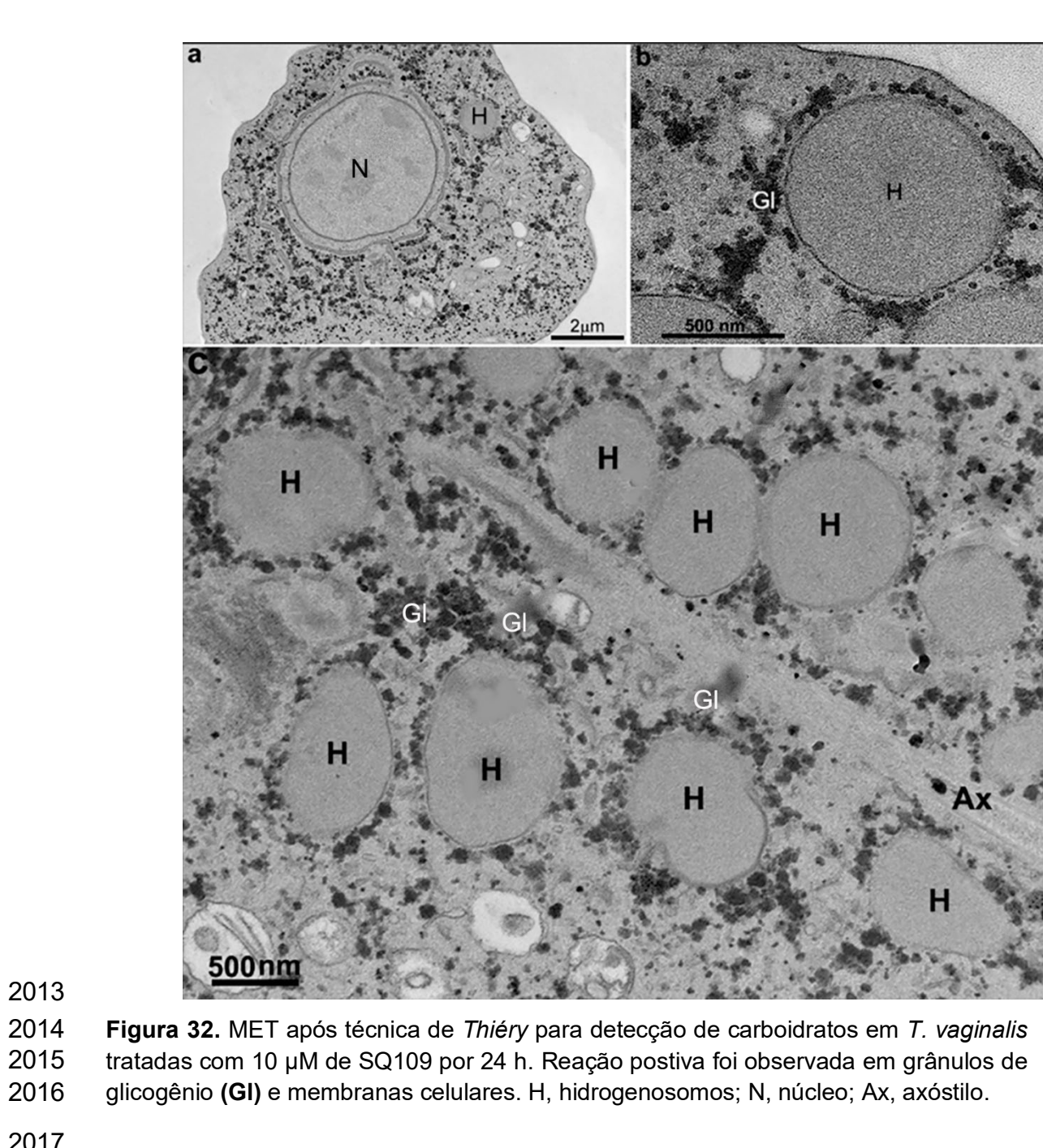
2004

#### 2005 5.10.2. Técnica de *Thiery*

2006

2007 A microscopia eletrônica de transmissão mostrou que a superfície do  
2008 hidrogenossomo estava coberta por pequenas partículas densas (Fig. 32 b-c).  
2009 Esses partículas foram identificadas como grânulos de glicogênio concentrados  
2010 em torno dos hidrogenossomos bem como alterações no tamanho dessa  
2011 organela e na sua membrana envoltora (Fig. 32 b-c).

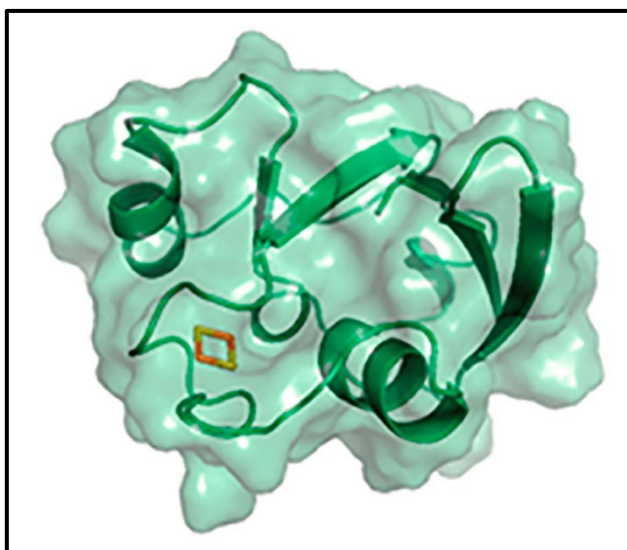
2012



## 2018 **5.11. Ancoragem molecular**

2019 A partir das análises bioinformáticas preliminares que preveem a  
 2020 proteína ferredoxina de *T. vaginalis* (TvFd) como um alvo potencial para SQ109  
 2021 e metronidazol, realizamos análises adicionais usando moléculas de simulação  
 2022 de acoplamento. Foi realizado um processo de *redocking* entre o cristal da  
 2023 proteína e seu ligante natural, o complexo [2Fe-2S], para determinar os  
 2024 resíduos de interação e assim identificar a posição e tamanho da caixa, bem

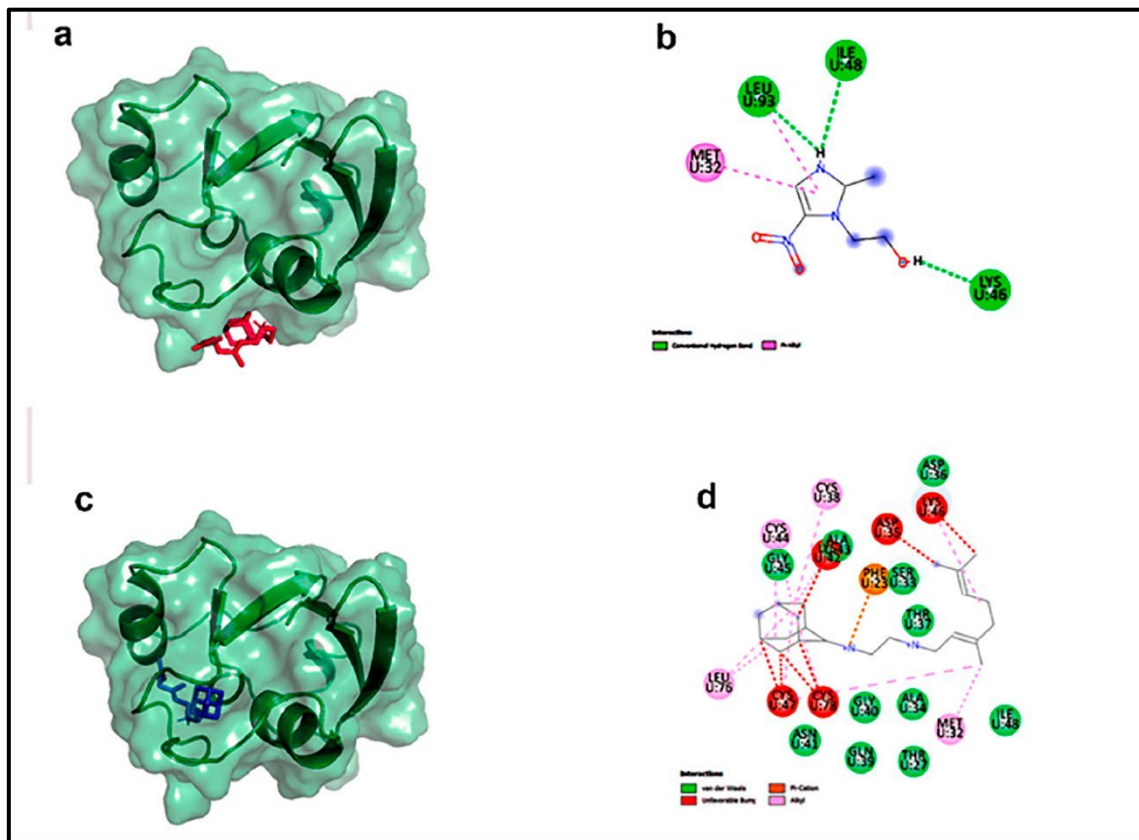
2025 como verificar a energia de afinidade entre as moléculas e, finalmente,  
2026 comparar esses resultados com os da simulação de ancoramento entre TvFd e  
2027 os compostos SQ109 e MTZ. A figura 33 mostra a estrutura do TvFd e seu  
2028 ligante natural acoplado. Os resíduos de interação entre TvFd e os compostos  
2029 MTZ e SQ109 são demonstrados na Fig. 34. Para melhor visualização e  
2030 interpretação dos resultados, apresentamos a Tabela 5. Nesta tabela, podemos  
2031 observar o valor da energia de interação energia entre os resíduos (em sua  
2032 melhor posição) e os resíduos da proteína TvFd com a qual os ligantes  
2033 interagem.



2034  
2035 **Figura 33.** TvFd (verde) com seu ligante natural [2Fe–2S] (amarelo e laranja)  
2036 posicionado no sítio ativo da cadeia A da proteína, código PBD 1L5P, 2,20 Å (Imagem  
2037 gerada e colorida por PYMOL).

2038

2039



2040

2041 **Figura 34.** Resíduos de interação entre TvfD e os compostos MTZ **a** – interações com  
 2042 Met32, Lys46, Ile48 e Leu93 **(b)**; e SQ109 **(c)** – interações com Phe23, Thr27, Met32,  
 2043 Ser33, Ala34, Asp35, Asp36, Thr37, Cys38, Gln39, Gly39, Gly40, Asn41, Lys42,  
 2044 Ala43, Cys44, Gly45, Lys46, Cys47, Ile48, Leu76, Cys78 **(d)**. Imagens geradas por  
 2045 PYMOL e DISCOVERY STUDIO 2021.

2046

2047

2048

2049

2050

2051

2052

2053

2054

2055

2056

2057

2058

2059      **Tabela 5. Valores das energias de interação entre os resíduos (na sua melhor**  
2060      **posição) e os resíduos da proteína TvFd com os quais os ligantes interagem.**

	[2Fe2S]	Metronidazol	SQ109
Energy (kcal/mol)	-2,0	-3,8	-4,6
Phe23	X		X
Thr27			X
Met32		X	X
Ser33			X
Ala34			X
Asp35			X
Asp36	X		X
Thr37	X		X
Cys38	X		X
Gln39	X		X
Gly40			X
Asn41	X		X
Lys42	X		X
Ala43			X
Cys44	X		X
Gly45			X
Lys46	X	X	X
Cys47	X		X
Ile48		X	X
Phe66	X		
Leu76	X		X
Cys78	X		X
Leu93		X	

2076

2077      **5.12. Análogos de fosfolipídios (APL)**

2078

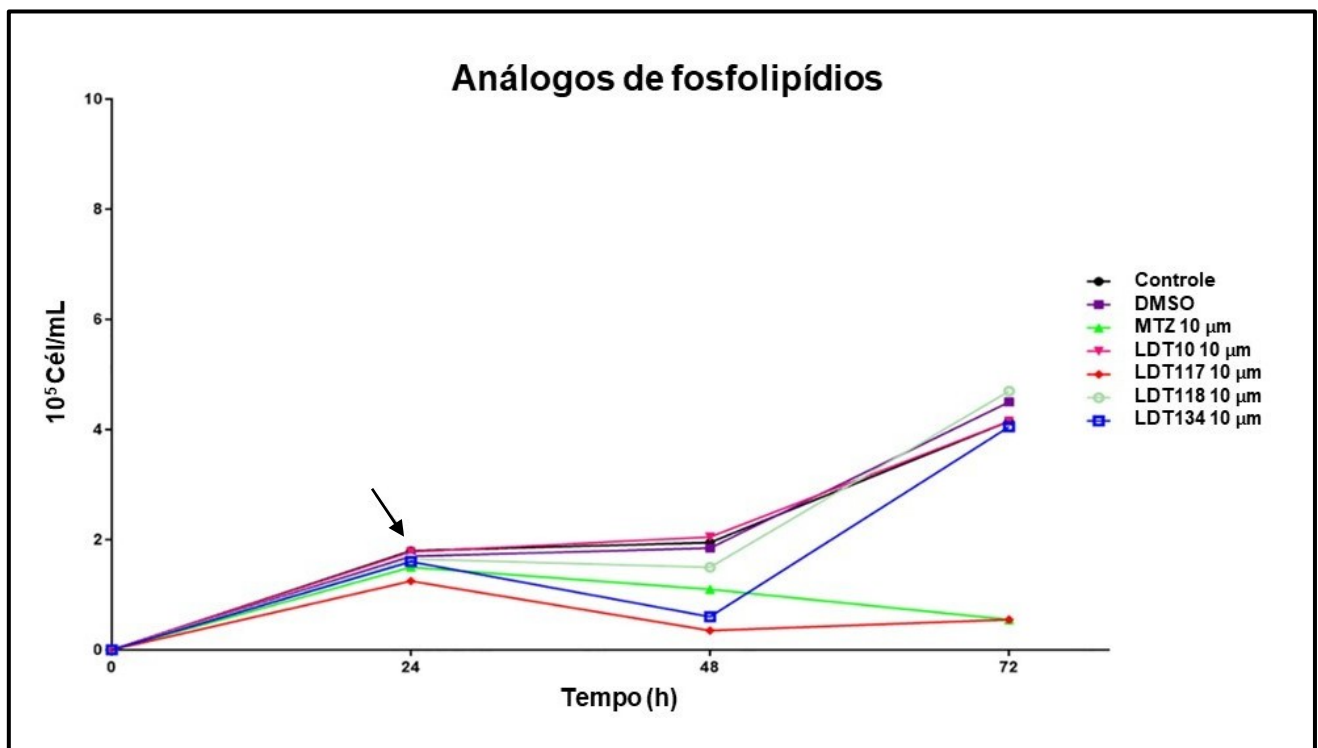
2079      **5.12.1 Curvas de crescimento**

2080

2081      Foi realizado um ensaio piloto com todos os análogos de fosfolipídios,  
2082      LDT10, LDT117, LDT118 e LDT34, nas concentrações de 10 µM por 24h e 48h  
2083      de tratamento (Fig. 35a). Verificamos que os compostos LDT117 e LDT134  
2084      apresentaram maior eficácia na inibição da proliferação do parasito (Fig. 35b-  
2085      c), com um IC<sub>50</sub> de 4,48 µM e 5,67 µM em 48h respectivamente.

2086

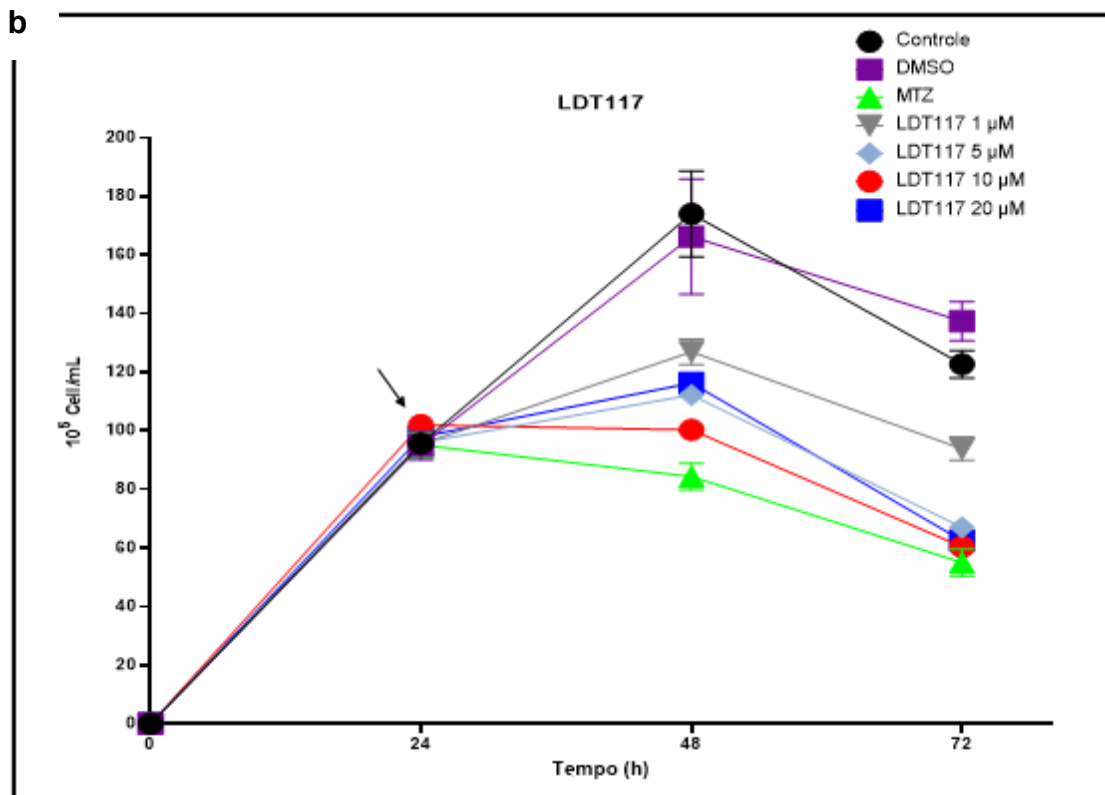
a



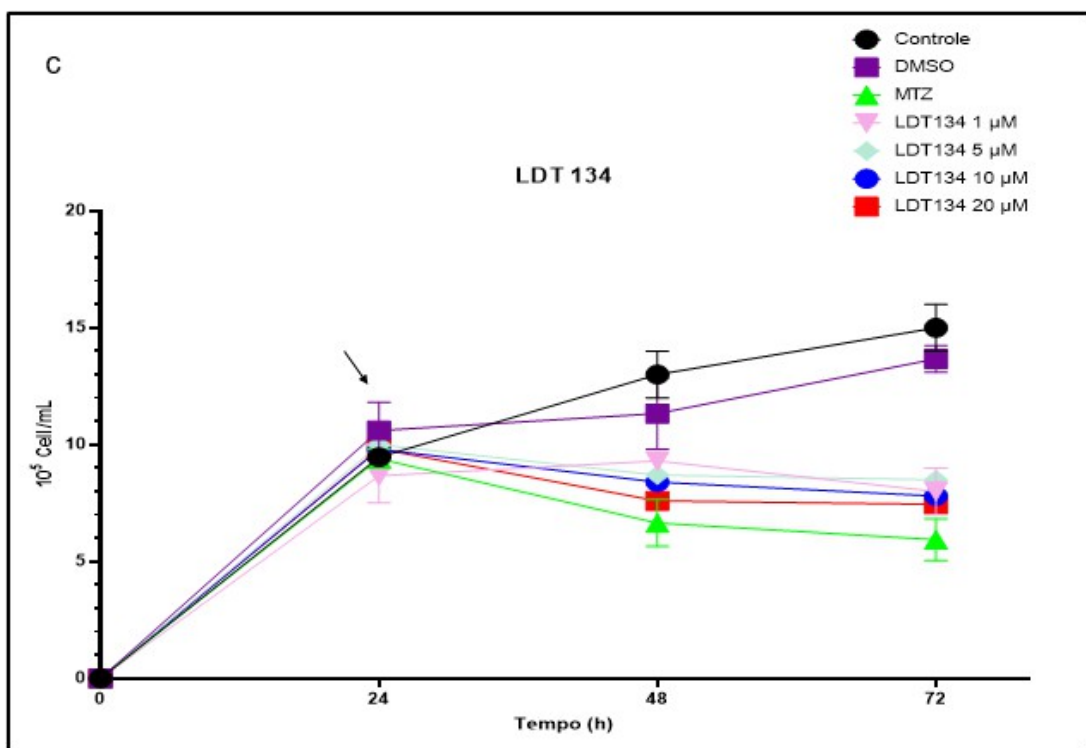
2087

2088 **Figura 35.** (a) Screening inicial para avaliar o crescimento de *T. vaginalis* controle e  
 2089 com a adição dos compostos. As culturas controle (controle e DMSO 0,1%) cresceram  
 2090 durante todo o tempo de experimento. As culturas tratadas com os compostos  
 2091 apresentaram uma diminuição significativa no crescimento dos parasitas na  
 2092 concentração a 10  $\mu$ M dos compostos durante o tratamento. Nota-se que com 24 h de  
 2093 tratamento com o composto LDT117 a cultura apresenta diminuição na proliferação  
 2094 enquanto a cultura tratada com o composto LDT134 houve um aumento na  
 2095 proliferação.

2096



2097



2098

2099 **Figura 35. (b - c)** *T. vaginalis* controle, tratadas com DMSO 0,1%, com 1, 5, 10 e 20  
2100  $\mu$ M de LDT117 e LDT134 e 2  $\mu$ M de metronidazol (MTZ). As setas indicam o  
2101 momento da adição do composto (24 e 48 h). As culturas tratadas com LDT117 e  
2102 LDT134 apresentaram uma diminuição significativa no crescimento. O número dos

2103 parasitas foi determinado usando o microscópio óptico e um hemocitômetro. Dados  
2104 são expressos como média  $\pm$  SEM (N=3).

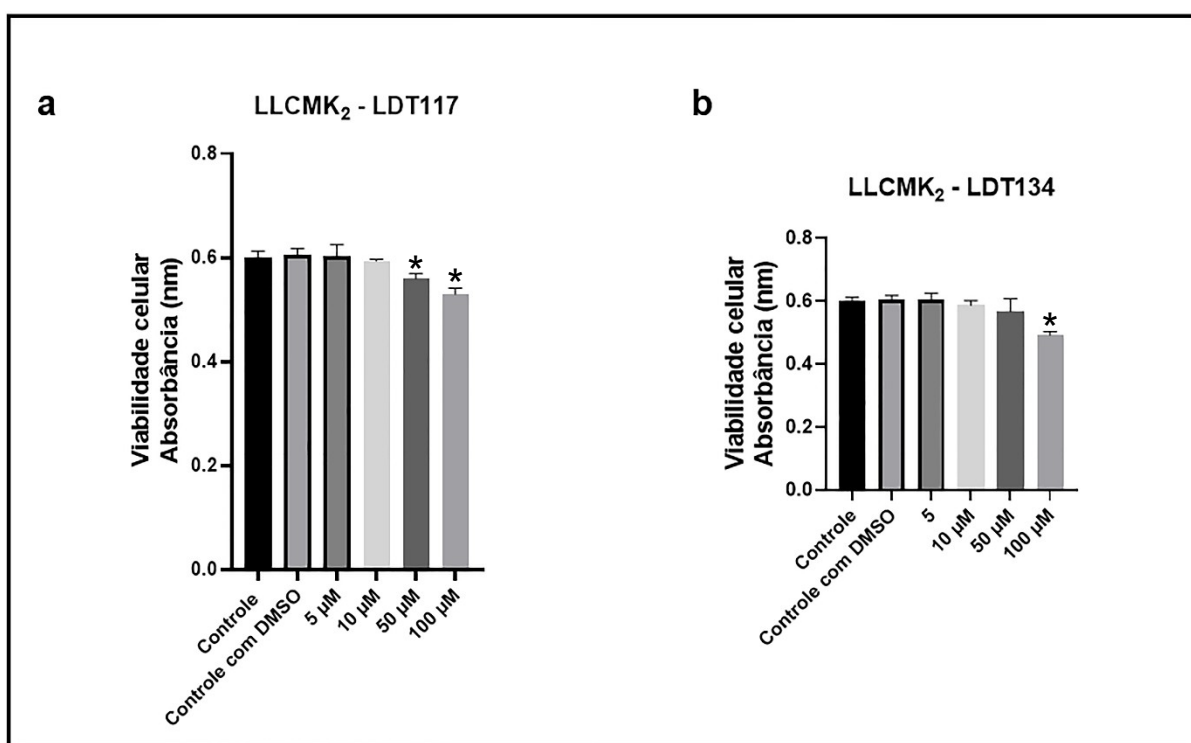
2105

### 2106 5.12.2 Ensaio de citotoxicidade

2107

2108 Avaliamos a citotoxicidade dos compostos em células de linhagem de  
2109 mamífero LLCMK<sub>2</sub> tratando com os compostos APL LDT117 e LDT134 por 48  
2110 horas. Observamos reduções significativas nas concentrações de 50 e 100  $\mu$ M  
2111 (LDT117) e 100  $\mu$ M (LDT134), no entanto, não observamos em concentrações  
2112 menores (Fig. 36a-b).

2113



2114

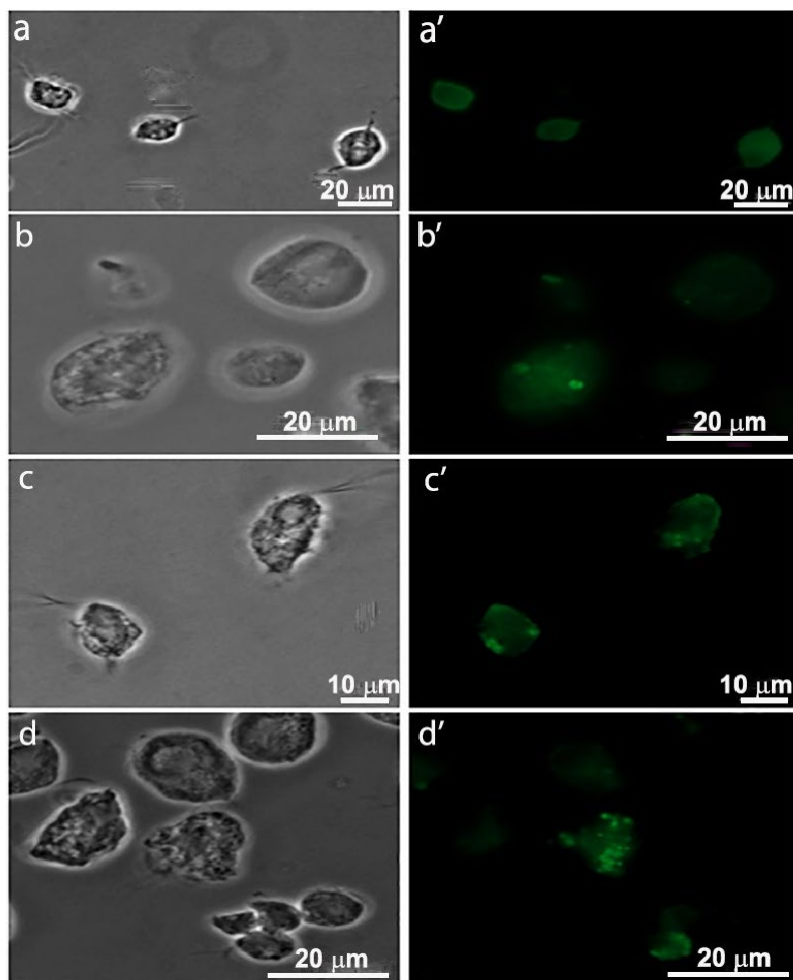
2115 **Figura 36.** Vabilidade celular de células de mamífero LLC-MK2 tratadas com os  
2116 compostos LDT117 (a) e LDT134 (b) por 48h. Absorbância: 490-500 nm. Os valores  
2117 foram considerados estatisticamente significativos quando comparados ao controle (\* $p$   
2118  $\leq 0,05$ ), N=3.

2119

### 2120 5.13. Imunofluorescência

O ensaio do TUNEL (terminal deoxynucleotidyltransferase-mediated dUTP Nick-end labeling) foi utilizado para verificar se os compostos LDT117 e LDT134, que inibiram o crescimento celular de *T. vaginalis*, induziam a morte celular por um mecanismo semelhante ao de apoptose. Os controles positivos foram tratados com DNase I, enquanto para os controles negativos foram marcados com o fluorocromo que não possui a enzima terminal transferase. A figura 37-a' indica células controle, onde nenhuma marcação foi observada. A figura 37b-b' mostra um controle positivo de células tratadas com DNase, onde foi observada marcação positiva. Além disso, *T. vaginalis* tratadas com 10 µM de LDT117 (Fig. 37c-c') ou LDT134 (Fig. 37d-d') por 24 h também apresentaram marcação quando se utilizou a técnica do TUNEL, sugerindo a indução de morte por um mecanismo semelhante a apoptose.

2133



2134

2135 **Figura 37.** Ensaio do TUNEL — marcação de DNA fragmentado. Células controle (a–  
2136 a'). Controle positivo tratado com DNase I (b – b'). Microscopia de Fluorescência de *T.*

2137 *vaginalis* após o tratamento com 10 µM de LDT117 (**c – c'**) e 10 µM de LDT134 (**d –**  
2138 **d'**) por 24 h. Nota-se resultado positivo para fragmentação do DNA (**b' -d'**).

2139

## 2140 **5.14. Microscopia Eletrônica de Varredura (MEV)**

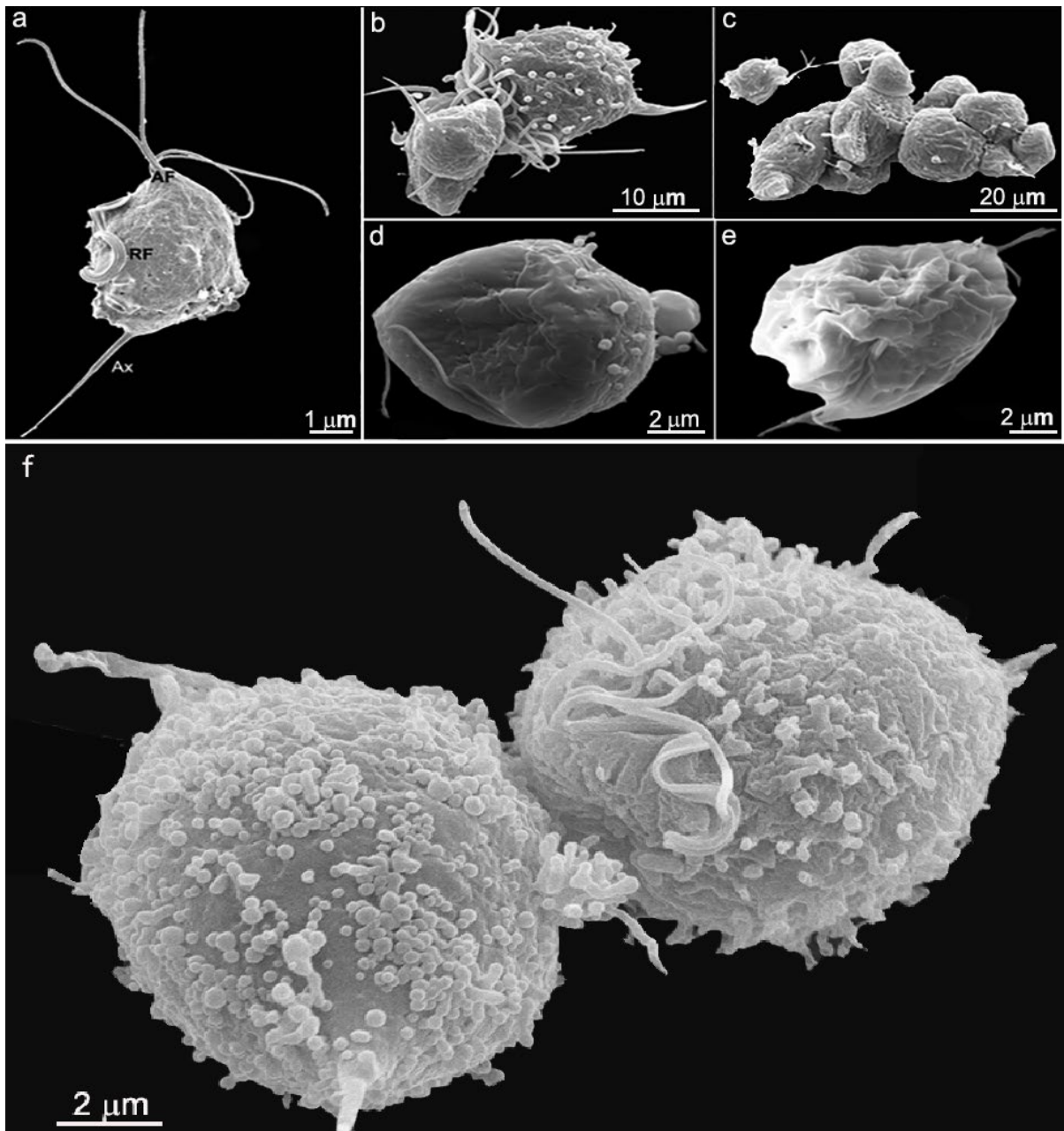
2141 Para verificar os possíveis efeitos provocados pelos compostos LDT117  
2142 e LDT134 na ultraestrutura dos parasitos utilizamos a microscopia eletrônica de  
2143 varredura. A figura 38a mostra a forma geral das células livres não tratadas,  
2144 com as *T. vaginalis* em morfologia habitual, piroforme, com quatro flagelos  
2145 anteriores e um flagelo recorrente. Parasitas incubados com o composto  
2146 LDT117 apresentaram-se agregados. Notamos a presença de vesículas  
2147 semelhantes a *blebs* de membrana e células arredondadas e disformes (Fig.  
2148 38b-f).

2149 Os parasitas incubados na presença do composto LDT134  
2150 apresentaram células arredondadas e deformadas (Fig. 39a-f), protusões  
2151 celulares e drásticas alterações na superfície celular (Fig. 39b-f).

2152

2153

2154



2155

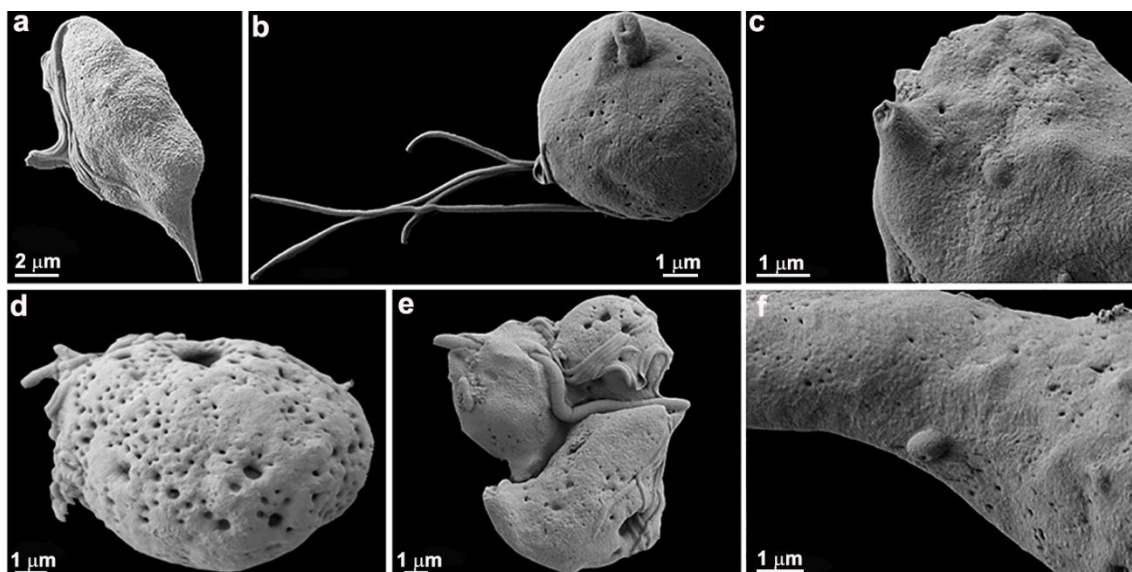
**Figura 38.** MEV de *T. vaginalis*. Controle (a) e expostos ao composto LDT117 na concentração de 10  $\mu$ M por 24h (b-f). Notam-se células com vesículas semelhantes a blebs de membrana (b e f), agregados celulares (c), células disformes (d-e) e início da formação de pseudocistos (f).

2156

2157

2158

2159



2160

2161 **Figura 39.** MEV de *T. vaginalis* controle (a) e expostos ao composto LDT134 na  
 2162 concentração de 10  $\mu$ M por 24h (b-f) Observam-se as protusões na superfície celular,  
 2163 células disformes e alterações membranares (b-f).

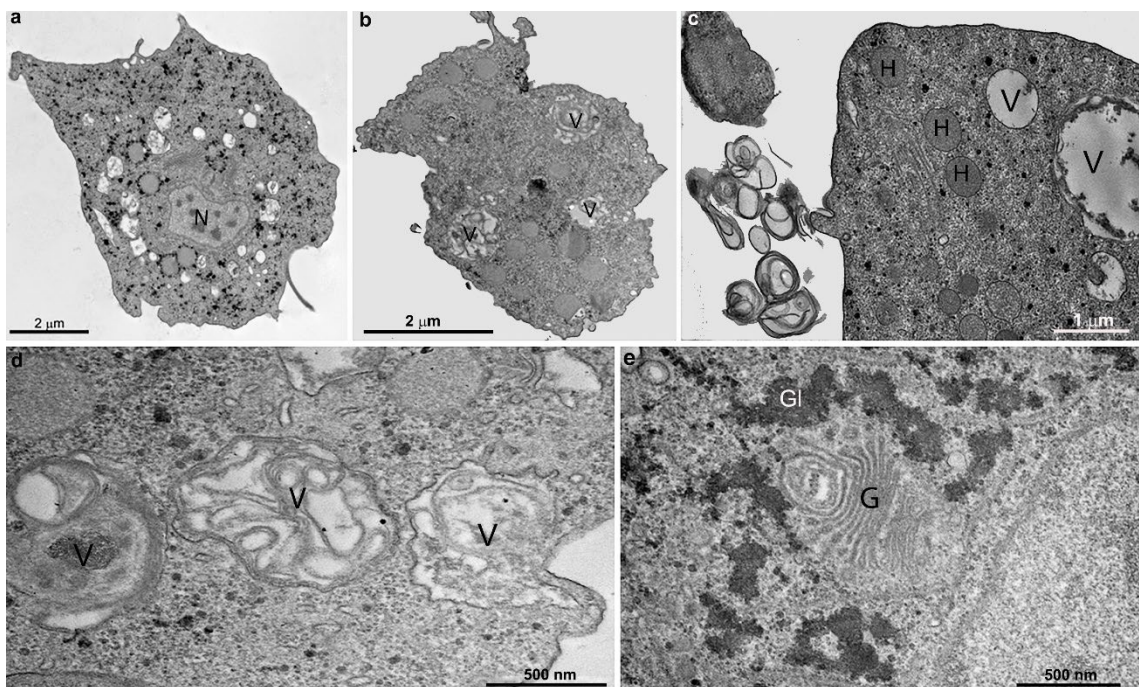
2164

2165

## 2166 5.15. Microscopia Eletrônica de Transmissão (MET)

2167 Para verificar os possíveis efeitos provocados pelos compostos na  
 2168 ultraestrutura dos parasitos, foram realizados processamentos para  
 2169 microscopia eletrônica de transmissão. A figura 40a mostra uma imagem de  
 2170 MET de uma célula controle, onde *T. vaginalis* apresenta morfologia típica.  
 2171 Células tratadas com LDT117 apresentaram alterações, com membranas  
 2172 enrugadas (Fig. 40b), projeções da membrana plasmática e formação de perfis  
 2173 de membrana sugestivos de serem eliminados pela célula. Além disso,  
 2174 encontramos estruturas semelhantes a figuras mielínicas (Fig. 40c), vacúolos  
 2175 aumentados (Fig. 40d) e alterações nas cisternas do Golgi. Após o tratamento  
 2176 com LDT134 a análise por MET mostrou as células com vesículas semelhantes  
 2177 a blebs de membrana (Fig. 41b), vacuolização citoplasmática e presença de  
 2178 figuras mielínicas (Fig. 41c-d). Na figura 42 observamos alterações da  
 2179 superfície celular apresentando membranas enrugadas (Fig. 42a-d), retração  
 2180 citoplasmática (Fig. 42b), projeções membranares (Fig. 42 b-c) e vacúolos  
 2181 aumentados (Fig. 42e).

2182

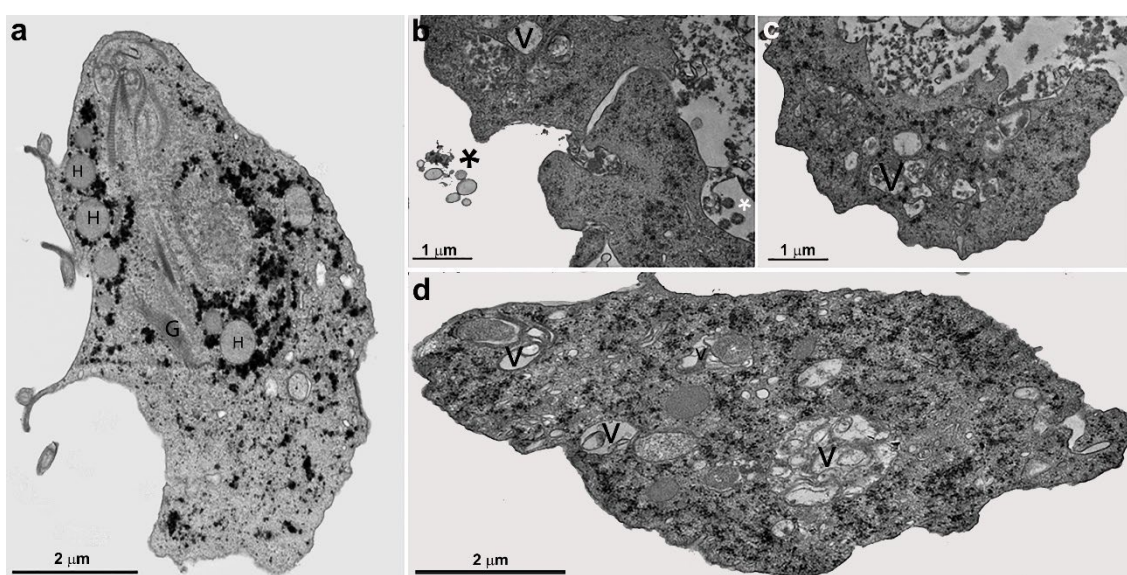


2183

2184 **Figura 40.** MET de *T. vaginalis* tratadas com 10  $\mu\text{M}$  de LDT117 por 24 h. (a)  
 2185 Controle e tratadas (b-c-d-e) com 10  $\mu\text{M}$  de LDT117. Notam-se alterações da  
 2186 superfície celular (membrana plasmática enrugada, seta) (b). Intensa formação de  
 2187 perfis de membrana sugestivos de extrusão pela célula (setas) (c), grandes vacúolos  
 2188 (d) e alterações nas cisternas do Golgi (e). N, núcleo; H, hidrogenossomos; V,  
 2189 vácuolos; G, Golgi; GI, grânulos de glicogênio.

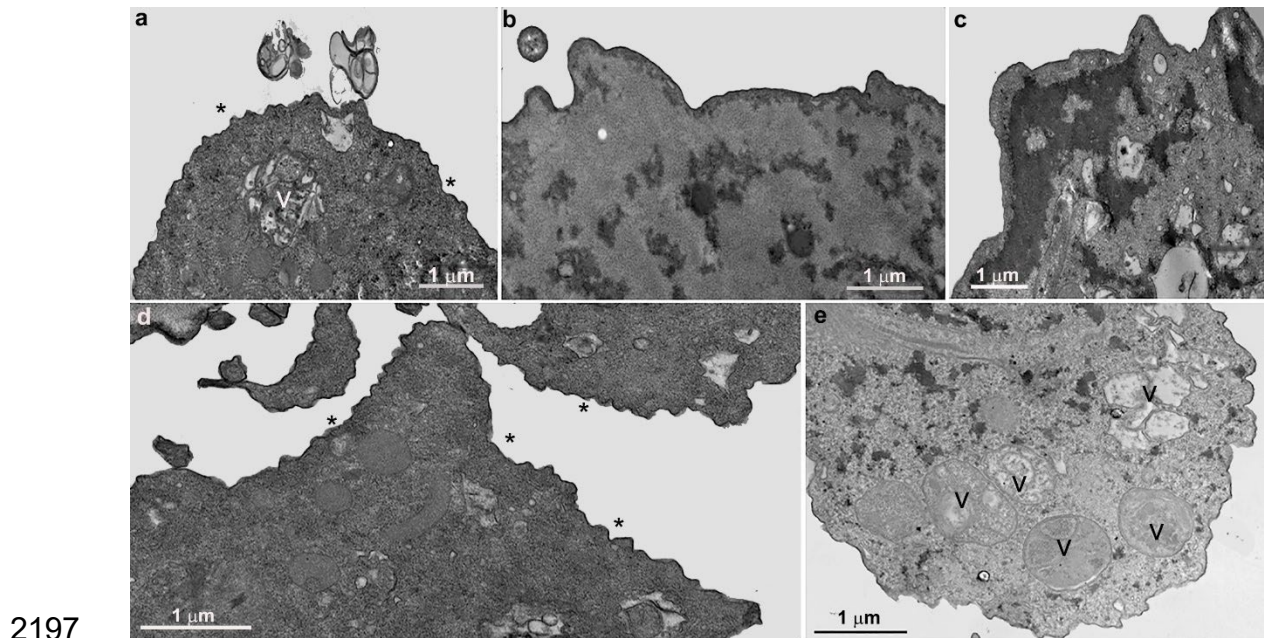
2190

2191



2192

2193 **Figura 41.** MET de *T. vaginalis* controle (a) e tratadas com 10  $\mu\text{M}$  de LDT134 por 24 h  
 2194 (b-c-d-e). Nota-se a presença de vesículas semelhantes a blebs de membrana  
 2195 (asterisco) (b), vacuolização citoplasmática e presença de figuras mielínicas (b-c-d).  
 2196 N, núcleo; H, hidrogenossomos; V, vácuolos; G, Golgi.



2198 **Figura 42.** MET de *T. vaginalis* tratadas com 10  $\mu\text{M}$  de LDT134 por 24 h. Controle (a)  
2199 e tratadas (b-c-d-e) com 10  $\mu\text{M}$  de LDT134. Observamos alterações de superfície  
2200 celular, membrana plasmática enrugada (asteriscos em d) (a-d), retração  
2201 citoplasmática (b), projeções membranares (b-c) e vácuolos (V) aumentados (e).

2202

2203

2204      **6. Discussão**

2205      **6.1. Amiodarona, amioder e dronedarona**

2206

2207      O metronidazol é o principal medicamento atualmente utilizado no  
2208 tratamento da tricomoníase e de outras infecções parasitárias causadas por  
2209 microrganismos anaeróbios. Embora eficaz, apresenta vários problemas, como  
2210 apontado na introdução. Portanto, vários grupos empreenderam estudos para  
2211 identificar novos compostos ativos e menos tóxicos e novos alvos celulares de  
2212 medicamentos contra tricomonas e outros parasitas. Os exemplos incluem (a)  
2213 azasteróis que inibem a esterol metiltransferase envolvida na via de biossíntese  
2214 de esterol (ROSA *et al.*, 2011), (b) hidroxiquinuclidina, que inibe a esqualeno  
2215 sintase (ROCHA *et al.*, 2014), (c) amiodarona e seus derivados (amioder e  
2216 dronedarona) que induzem um grande aumento na concentração de  $\text{Ca}^{2+}$   
2217 intracelular (BENAIM *et al.* 2021). Estudos em outros protozoários,  
2218 especialmente em *T. cruzi* e *Leishmania*, indicam que esses compostos  
2219 perturbam a homeostase intracelular de  $\text{Ca}^{2+}$  e podem matar os parasitas com  
2220 pouca interferência nas células hospedeiras. Sabe-se que o  $\text{Ca}^{2+}$  desempenha  
2221 um papel fundamental em importantes processos de sinalização em células  
2222 eucarióticas, sendo que a regulação de  $\text{Ca}^{2+}$  em parasitas difere do que  
2223 acontece nas células de mamíferos (BENAIM *et al.*, 2020). Nesse contexto, a  
2224 amiodarona, comumente utilizada como medicamento antiarritmico em  
2225 humanos, induziu efeitos sobre *T. cruzi* (ADESSE *et al.*, 2011; BENAIM *et al.*,  
2226 2006, 2021; SASS *et al.*, 2019; VEIGA-SANTOS *et al.*, 2012) e *Leishmania*  
2227 (BENAIM *et al.*, 2014; MARTINEZ-SOTILLO *et al.*, 2019; SERRANO-MARTÍN  
2228 *et al.*, 2009a, b), principalmente devido à interrupção da homeostase do cálcio,  
2229 além de inibir a atividade da oxidosqualeno ciclase, uma enzima chave na via  
2230 de síntese do ergosterol que é essencial para a sobrevivência dos  
2231 tripanossomatídeos (BENAIM *et al.*, 2021). Outros compostos relacionados  
2232 com a amiodarona, tais como a dronedarona e amioder, também apresentaram  
2233 atividade sobre *T. cruzi* e *L. mexicana*, pelos mesmos mecanismos, mas,  
2234 curiosamente, a dronedarona foi mais potente na leishmaniose do que a  
2235 amiodarona, pois foi capaz de colapsar o potencial da membrana mitocondrial

2236 e induzir uma alcalinização dos acidocalcisosmos mais rapidamente quando  
2237 comparada com a amiodarona (BENAIM *et al.*, 2021).

2238 Nossas observações mostraram que a amiodarona na concentração de  
2239 10 µM, anteriormente usada em *T. cruzi* e que inibiu significativamente o  
2240 crescimento desse parasita (ADESSE *et al.*, 2011; BENAIM *et al.*, 2006, 2012;  
2241 SASS *et al.*, 2019; VEIGA-SANTOS *et al.*, 2012) e *Leishmania* (BENAIM *et al.*,  
2242 2014; MARTINEZ-SOTILLO *et al.*, 2019; SERRANO-MARTÍN *et al.*, 2009a, b),  
2243 não apresentou efeito no crescimento de *T. vaginalis*. Em contraste, estimulou  
2244 o crescimento e adesão do parasita, formando grandes agregados celulares.  
2245 De fato, a microscopia de imunofluorescência de células marcadas com DAPI  
2246 mostrou grandes células multinucleadas de *T. vaginalis* tratadas com  
2247 amiodarona. A imunomarcação para tubulina também revelou a presença de  
2248 múltiplas estruturas do citoesqueleto. A análise por citometria de fluxo revelou  
2249 muitas células na fase G2/M do ciclo celular. Assim, estas observações  
2250 indicaram que a amiodarona estimulou a divisão celular, mas com bloqueio da  
2251 citocinese, levando ao aparecimento de células multinucleadas. Este composto  
2252 também induziu intensa agregação celular com o aparecimento de grandes  
2253 massas contendo células aderidas entre si, até mesmo parecendo uma  
2254 estrutura semelhante a um tecido. Outro significativo efeito da amiodarona foi o  
2255 aumento do citoplasma e estruturas densas, identificadas como partículas de  
2256 glicogênio usando o método citoquímico de Thiéry, seguido de incubação com  
2257 tiosemicarbazida e proteinato de prata, classicamente utilizada para identificar  
2258 carboidratos (Thiéry 1967), indicando a interferência da droga no metabolismo  
2259 celular. A análise por microscopia eletrônica também indicou alterações na  
2260 estrutura dos hidrogenossomos. Estes incluem localização periférica e exibição  
2261 em forma alongada em comparação com a forma arredondada encontrada em  
2262 células não tratadas. É importante ressaltar que as *Trichomonas* não  
2263 apresentam mitocôndrias. Estudos anteriores mostraram que a amiodarona e  
2264 seus derivados têm como alvo as mitocôndrias, levando ao colapso do  
2265 potencial eletroquímico da membrana do parasita, não afetando a célula  
2266 hospedeira e induzindo uma rápida liberação de Ca<sup>2+</sup> para o citoplasma  
2267 (BENAIM *et al.* 2006). Em outros parasitas, a amiodarona também afeta os  
2268 acidocalcisosmos, provocando a sua alcalinização, simultaneamente à liberação

de  $\text{Ca}^{2+}$  (BENAIM *et al.*, 2020). *T. vaginalis* é uma célula amitocondrial onde os hidrogenossomos são responsáveis pelo metabolismo energético e acumulam  $\text{Ca}^{2+}$ , especialmente em sua vesícula periférica (BENCHIMOL 2008). Não encontramos nenhuma informação sobre a regulação intracelular de  $\text{Ca}^{2+}$  em *T. vaginalis*. No entanto, nem as mitocôndrias nem os acidocalcisosomas, característicos dos tripanosomatídeos e envolvidos na homeostase do  $\text{Ca}^{2+}$  e na bioenergética dos cinetoplastídeos, estão presentes em *Trichomonas* (DO CAMPO e MORENO 2003). O hidrogenossomo tem sido considerado um alvo importante para medicamentos (LAND *et al.* 2001; WRIGHT *et al.* 2010; ROSA *et al.*, 2011; BENCHIMOL *et al.*, 2022; DE SOUZA *et al.*, 2023). Nossa presente observação sugere que em *T. vaginalis*, a amiodarona pode ter múltiplos efeitos. Nossos resultados mostram que o amioder e a dronedarona inibiram o crescimento do parasito em dose-dependente com  $\text{IC}_{50}$  de 3,15 e 11  $\mu\text{M}$ , respectivamente (DE SOUZA *et al.*, 2022). Esses valores, especialmente para amioder, são relativamente baixos e apontam para este grupo químico como potencial interesse na quimioterapia contra a tricomoníase. É importante ressaltar que o  $\text{IC}_{50}$  do metronidazol, medicamento atualmente utilizado, encontra-se na faixa de 2  $\mu\text{M}$ . Amioder é um derivado do benzofurano baseado na estrutura da amiodarona. Estudos recentes mostraram que este composto pode apresentar efeito contra epimastigotas e amastigotas que se multiplicam nas células hospedeiras (PINTO MARTINEZ *et al.*, 2018). Nessas células testadas, amioder apresentou mecanismo de ação semelhante ao da amiodarona causando, além do aumento de  $\text{Ca}^{2+}$  e do colapso do potencial eletroquímico da membrana mitocondrial, a alcalinização dos acidocalcisosomas do parasita. Um efeito semelhante foi encontrado para amioder em *L. donovani* (MARTINEZ-SOTILLO *et al.*, 2019). Dronedarona foi sintetizada para atenuar os efeitos colaterais de amiodarona. Experimentos *in vitro* contra *T. cruzi* mostraram que a dronedarona parece ser mais eficaz do que a amiodar (BENAIM *et al.*, 2012; BENAIM e PANIZ-MONDOLF 2012). No *T. cruzi*, a dronedarona provocou efeito nas mitocôndrias e nos acidocalcisosomas, no entanto, esse efeito foi mais rápido do que com amiodarona, e como vantagem ter um  $\text{IC}_{50}$  menor (0,75  $\mu\text{M}$ ) quando comparado à amiodarona ( $\text{IC}_{50}$  2,7  $\mu\text{M}$ ) em amastigotas dentro de células hospedeiras de mamíferos (BENAIM *et al.*, 2012; BENAIM e PANIZ-MONDOLF 2012). Tanto a amiodarona quanto a

2303 dronedarona foram eficazes contra *L. mexicana*, agente causador da  
2304 leishmaniose cutânea, demonstrando um IC<sub>50</sub> muito baixo em amastigotas  
2305 dentro de macrófagos (SERRANO-MARTÍN *et al.*, 2009a, b), especialmente no  
2306 caso da dronedarona onde foi relatado um IC<sub>50</sub> de 0,65 nM (BENAIM *et al.*,  
2307 2014). No presente estudo, além dos efeitos antiproliferativos de amioder e  
2308 dronedarona, esses compostos também causaram alterações morfológicas em  
2309 *T. vaginalis*, como deformações e células agregadas e alterações nos  
2310 hidrogenossomos. Análises realizadas por microscopia de fluorescência  
2311 apresentaram marcação positiva para o ensaio TUNEL, indicando morte celular  
2312 por apoptose quando as células foram tratadas com amioder e dronedarona  
2313 (DE SOUZA *et al.*, 2022). Juntas, essas observações indicam que os  
2314 compostos utilizados neste trabalho podem ser considerados promissores para  
2315 o desenvolvimento de novos medicamentos, o que justifica futuramente os  
2316 testes de infecção *in vivo* em modelos animais, visando estratégias alternativas  
2317 de quimioterapia para doenças causadas por protozoários anaeróbios, como a  
2318 *T. vaginalis*.

2319

## 2320           **6.2. SQ109**

2321

2322           Nossos resultados indicam que o SQ109 inibe o crescimento de *T.*  
2323 *vaginalis* em baixa concentração e induz a alterações morfológicas que levam o  
2324 parasita à morte. Essas mudanças incluem um aumento do volume dos  
2325 hidrogenossomos, como mostrado pelas análises morfométricas e a inibição do  
2326 potencial de membrana hidrogenossomal, conforme avaliado pelo corante JC-  
2327 1. Estes dados sugerem que o hidrogenossomo é um alvo potencial para  
2328 SQ109 em *T. vaginalis* (DE SOUZA *et al.*, 2023). Além disso, a análise de  
2329 *docking molecular* indicou a ferredoxina, que realiza o transporte de elétrons,  
2330 resultando na produção de moléculas de hidrogênio (revisão em KULDA,  
2331 1999), como um alvo potencial para SQ109 e com maior afinidade pela  
2332 ferredoxina do que o metronidazol (DE SOUZA *et al.*, 2023). É importante  
2333 salientar que o DMSO não afetou o crescimento do parasita na concentração  
2334 usada para diluir os compostos (DE SOUZA *et al.*, 2023). Estudos anteriores  
2335 mostraram maior atividade contra *T. cruzi*, com IC<sub>50</sub> de 0,5 e 4,6 µM

2336 observados para amastigotas e epimastigotas, respectivamente (VEIGA-  
2337 SANTOS *et al.*, 2015). No caso de amastigotas intracelulares de *Leishmania*  
2338 *donovani*, foi encontrado um IC<sub>50</sub> de 11 nM (GIL *et al.*, 2020). Estudos sobre  
2339 *Mycobacterium tuberculosis* mostraram atividade inibitória com IC<sub>50</sub> de 26 µM  
2340 (PROTOPOPOVA *et al.*, 2005). Além disso, o teste citotóxico que detecta a  
2341 hemólise de glóbulos vermelhos aponta para um EC<sub>50</sub> superior a 80 µM  
2342 (VEIGA-SANTOS *et al.*, 2015) e CC<sub>50</sub> de 2,5 µM usando células LLCMK2  
2343 (VEIGA-SANTOS *et al.*, 2015). Esses valores apontam para um potencial  
2344 significativo para usar o composto SQ109 como agente quimioterápico. Além  
2345 disso, é importante salientar que o SQ109 é um medicamento candidato  
2346 antituberculoso que tem está em Fase Clínica IIb/III (BAEK *et al.*, 2022).

2347 O JC-1 é uma sonda fluorescente lipofílica e catiônica para determinar o  
2348 potencial de membrana mitocondrial (REERS *et al.*, 1991). Trabalhos  
2349 anteriores relataram que células com mitocôndrias saudáveis tratadas com o  
2350 JC-1 aparecem em vermelho, enquanto uma fluorescência verde é vista nas  
2351 mitocôndrias incapacitadas (REERS *et al.*, 1991). Como os hidrogenossomos  
2352 compartilham várias semelhanças com as mitocôndrias, o JC-1 mostrou um  
2353 padrão de marcação nos hidrogenossomos semelhantes aos observados por  
2354 outros autores em mitocôndrias (VILELA *et al.*, 2010). No presente estudo, os  
2355 hidrogenossomos funcionais se apresentaram marcados em vermelho. Em  
2356 contraste, foram observados hidrogenossomos maiores e marcados em verde  
2357 após o tratamento com SQ109, indicando uma perda do potencial de  
2358 membrana do hidrogenossomo. O CCCP (cianeto de carbonila 3-  
2359 clorofenilhidrazona), um desregulador do potencial da membrana mitocondrial,  
2360 foi usado como controle positivo para confirmar o resultado apresentado pelo  
2361 JC-1. Mais estudos bioquímicos são necessários para obter algumas  
2362 informações sobre esse efeito.

2363 A microscopia eletrônica de varredura mostrou que *T. vaginalis* tratadas  
2364 com SQ109 apresentava uma forma arredondada, em contraste com os  
2365 característicos parasitas controle em forma de pera (*T. vaginalis*). Além disso,  
2366 os parasitas tratados com medicamentos apresentaram alterações na  
2367 superfície celular que se apresentava com muito mais saliências. A análise por  
2368 microscopia eletrônica de transmissão (MET) revelou um aumento significativo

no número e tamanho dos hidrogenossomos nas células tratadas com SQ109. Para verificar esta observação, realizamos análises morfométricas utilizando uma amostra estatisticamente significativa onde pelo menos vinte células foram examinadas em células controle e tratadas com o composto. Como resultado, o diâmetro médio dos hidrogenossomos das células controle foi de 400 nm enquanto nas tratadas o diâmetro médio encontrado foi quase o dobro, de 700 nm, indicando um aumento significativo no tamanho da organela. Além disso, em relação à área ocupada na célula pelos hidrogenossomos, observamos valores médios de 0,5 e 1,5  $\mu\text{m}^2$  para células controle e tratadas, respectivamente. No que diz respeito ao volume ocupado pelos hidrogenossomos, obtivemos valores médios de 2,6  $\mu\text{m}^3$  (células controle) e 4,4  $\mu\text{m}^3$  (células tratadas). Porém, em estudos anteriores de *T. vaginalis* tratados com metronidazol, a principal alteração observada foi a redução no tamanho dos hidrogenossomos (LAND *et al.*, 2001; WRIGHT *et al.*, 2010). A redução do tamanho dos hidrogenossomos, teria relação com a resistência anaeróbica e estaria associada à regulação negativa de enzimas hidrogenossomais envolvidas na ativação do metronidazol, como a piruvato-ferredoxina oxidoredutase (PFOR) e a ferredoxina (WRIGHT *et al.*, 2010; LAND *et al.*, 2001; UPCROFT, 2001), sendo que estes dados sugerem que a expressão genética alterada de múltiplas proteínas hidrogenossomais resultaria na modificação da organela. No entanto, cepas de *T. vaginalis* resistentes clinicamente ao metronidazol mostraram que os hidrogenossomos apresentavam tamanhos semelhantes ao de um isolado sensível ao metronidazol (WRIGHT *et al.*, 2010). Os hidrogenosomos se dividem por fissão, de modo semelhante às bactérias (BENCHIMOL *et al.*, 1996). Podemos especular que a organela afetada pelo composto poderia apresentar interrupção no seu mecanismo de organela-cinese e assim seu volume dobraria de tamanho. Alternativamente, a organela aumentaria seu volume como um mecanismo compensatório para tentar exercer suas funções comprometidas pelo efeito da droga. Juntas, estas observações apontam para uma resposta significativa das organelas ao composto SQ109. A microscopia eletrônica de transmissão mostrou que a superfície do hidrogenossomo apresentava-se pequenas partículas densas na sua proximidade. Essas partículas foram identificadas como partículas de  $\beta$ -glicogênio, pois sua

2403 densidade aumentou quando as seções foram incubadas sequencialmente na  
2404 presença de ácido periódico, tiosemicarbazida e proteinato de prata  
2405 (BENCHIMOL e BERNARDINO, 2002). Embora as alterações morfológicas  
2406 induzidas pelo SQ109 sejam muito claras em *T. vaginalis*, elas não indicam o  
2407 seu mecanismo de ação. Estudos realizados com *Mycobacteria tuberculosis*  
2408 fornecem evidências de que ele tem como alvo a proteína de membrana Large  
2409 3 (MmpL3) e dissipar o gradiente eletroquímico de prótons transmembrana  
2410 necessário para a biossíntese da parede celular e a atividade bacteriana  
2411 (ZHANG et al., 2019). Também interfere nos transportadores lipídicos e na  
2412 extrusão de medicamentos das bactérias (ZHANG et al., 2019). Em  
2413 tripanossomatídeos, o SQ109 interfere na captação de Ca<sup>2+</sup> pelos  
2414 acidocalcisosomos (VEIGA-SANTOS et al., 2015) e colapsa o potencial  
2415 eletroquímico mitocondrial nesses parasitas (GARCÍA-GARCÍA et al., 2016;  
2416 GIL et al., 2020; VEIGA-SANTOS et al., 2015). Esses dois efeitos sobre essas  
2417 organelas, que estão envolvidas na bioenergética e na homeostase do Ca<sup>2+</sup>  
2418 nos tripanossomatídeos, são acompanhados por um grande aumento da  
2419 concentração intracelular de Ca<sup>2+</sup>, postulada como uma das principais causas  
2420 de morte parasitária (BENAIM et al., 2020).

2421 Dadas as análises bioinformáticas preliminares prevendo a proteína  
2422 ferredoxina de *T. vaginalis* (TvFd) como um alvo potencial para SQ109 e  
2423 metronidazol, decidimos realizar análises adicionais usando simulação de  
2424 acoplamento molecular. Foi realizado um processo de *redocking* entre o a  
2425 proteína cristalizada e seu ligante natural, o complexo [2Fe–2S], para  
2426 determinar os resíduos de interação e assim identificar a posição e o tamanho  
2427 da caixa da grade, bem como verificar a energia de afinidade entre as  
2428 moléculas e finalmente comparar estes resultados com os da simulação de  
2429 acoplamento entre TvFd e os compostos SQ109 e MTZ. Os resultados de  
2430 *redocking* mostraram que a menor energia de interação do TvFd e [2Fe–2S] foi  
2431 – 2,0 kcal/mol e sabe-se que interage com Phe23, Asp36, Thr37, Cys38,  
2432 Gln39, Asn41, Lys42, Cys44, Lys46, Cys47, Phe66, Cys78, Leu76  
2433 (CROSSNOE et al., 2002). Em seguida, foi realizada a simulação de  
2434 acoplamento entre o cristal TvFd e os compostos MTZ e SQ109, realizado com  
2435 os mesmos parâmetros usados para o ligante natural. A energia de interação  
2436 do MTZ com TvFd foi de -3,8 kcal/mol (em sua melhor posição). Os resíduos

que participaram da interação foram Met32 Lys46 Ile48 e Leu93. Já a energia de interação do composto SQ109 com TvFd foi -4,6 kcal/mol (em sua melhor pose) e os aminoácidos foram Phe23, Thr27, Met32, Ser33, Ala34, Asp35, Asp36, Thr37, Cys38, Gln39, Gly40, Asn41, Lys42, Ala43, Cys44, Gly45, Lys46, Cys47, Ile48, Leu76, Cys78. Estes resultados indicaram que os compostos MTZ e SQ109 apresentam maior afinidade para os resíduos no sítio ativo do TvFd, onde o complexo [2Fe-2S] liga-se naturalmente. O MTZ, mesmo com a determinação da grid box, não permanece no mesmo local que o complexo [2Fe2S], não competindo pelos mesmos resíduos, tendo apenas um aminoácido em comum (Lys46). Por outro lado, o composto SQ109 apresenta maior afinidade por TvFd do que os outros dois ligantes, interagindo com a proteína com um maior número de aminoácidos, competindo por 11 dos 13 aminoácidos com o qual o complexo [2Fe-2S] interage. Como os dois compostos não competiram pelos mesmos resíduos, é possível que a associação de ambos possa ter efeitos aditivos, necessitando assim de mais estudos. Nossas observações identificam o SQ109 como um composto promissor contra *T. vaginalis* *in vitro*. Dessa forma, sugere-se futuramente os testes de infecção *in vivo* em modelos animais e sua utilidade potencial como quimioterapia alternativa para tricomoníase.

2456

### 2457           **6.3. APL LDT 117 e LDT134**

2458

2459       Um alvo importante dos compostos APL LDT 117 e LDT134 seria a  
2460       biossíntese de fosfolipídios, dado o papel desempenhado por essas moléculas  
2461       na estrutura e funções do metabolismo celular, tornando-os adequados como  
2462       alvo para medicamentos com ampla atividade biológica (DE SOUZA *et al.*,  
2463       2018). Os análogos de alquilfosfolipídios (APL) foram inicialmente  
2464       desenvolvidos como agentes antitumorais (GAJATE E MOLLINEDO, 2002).  
2465       Inclusive, a miltefosina (MLT) que é uma alquilfosfocolina, foi introduzida na  
2466       clínica para tratar a leishmaniose visceral tendo sido, pela primeira vez,  
2467       aprovada para este uso na Índia (JHA *et al.* 1999). Atualmente, a miltefosina é  
2468       utilizada em pacientes por via oral e desde então tem sido uma molécula  
2469       protótipo para o desenvolvimento de novos análogos de fosfolipídeos. Foi

2470 demonstrado que os análogos de fosfolipídios apresentaram atividades  
2471 antiparasitárias, induzindo a morte celular por meio de apoptose e/ou autofagia  
2472 em parasitas como *Leishmania*, *T. cruzi* e *T. vaginalis* (GODINHO *et al.*, 2013;  
2473 ROCHA *et al.*, 2014; DE SOUZA *et al.*, 2018; BARRIAS *et al.*, 2019; CHAZAPI  
2474 *et al.*, 2021; MAGOULAS *et al.*, 2021). Em tripanosomatídeos após tratamentos  
2475 com APL, foi descrito que esses compostos induziram alterações na membrana  
2476 plasmática, mitocôndrias, complexo de Golgi, estrutura flagelar e apresentaram  
2477 vacúolos autofágicos e lipídicos (GODINHO *et al.*, 2013; BARRIAS *et al.*, 2019;  
2478 MAGOULAS *et al.*, 2021). Além do mais, foi observado um aumento de  
2479 espécies reativas de oxigênio (ROS) bem como alterações no potencial de  
2480 membrana (GODINHO *et al.*, 2013; BARRIAS *et al.*, 2019; MAGOULAS *et al.*,  
2481 2021). Um estudo conduzido por Godinho e colaboradores (2013) de uma  
2482 molécula híbrida alquilfosfocolina-dinitroanilina mostrou que TC95 foi eficaz  
2483 contra promastigotas e amastigotas intracelulares de *L.*  
2484 *amazonensis*. Ensaios. Ensaios antiproliferativos indicaram que o TC95 é um  
2485 potente inibidor de promastigotas e amastigotas intracelulares com valores de  
2486 IC<sub>50</sub> de 2,6 e 1,2 µM, respectivamente. Estudos usando miltefosina (MLT)  
2487 (ROCHA *et al.*, 2014), azasteróis (ROSA *et al.*, 2011), e hidroxiquinuclidina  
2488 (ROCHA *et al.*, 2014) em *T. vaginalis*, também demonstraram diversas  
2489 alterações nesses parasitas, como células enrugadas e arredondadas,  
2490 formação de pseudocistos; figuras semelhantes a mielina, formação de *blebs*  
2491 na membrana, vacuolização intensa e condensação da cromatina, todas  
2492 indicativas de morte celular por apoptose. Além do mais, células tratadas com o  
2493 IC<sub>50</sub> de MLT reduziram significativamente o número de parasitas viáveis  
2494 (revisado por BENCHIMOL *et al.*, 2022).

2495 Nossos resultados indicaram que os alquifosfolipídios LDT117 e LDT134  
2496 apresentaram atividade antiparasitária com IC<sub>50</sub> de 4,48 e 5,67 µM  
2497 respectivamente, não sendo citotóxico para as células epiteliais LLCMK-2,  
2498 tornando os compostos importantes por não afetar células humanas  
2499 futuramente. Observações por MEV e MET demonstraram que *T. vaginalis*  
2500 tratadas com LDT117 e LDT134 apresentaram alterações morfológicas tais  
2501 como células agregadas, arredondadas e disformes. Além disso, vesículas  
2502 semelhantes a *blebs* de membrana, protrusões celulares, intensa vacuolização,

vacúolos autofágicos, figuras mielínicas e drásticas alterações nas membranas foram observadas. É importante salientar que muitas dessas alterações já foram demonstradas em *T. vaginalis* tratadas com peróxido de hidrogênio (MARIANTE *et al.*, 2003), taxol (MADEIRO DA COSTA e BENCHIMOL, 2004), nocodazol (MADEIRO DA COSTA e BENCHIMOL, 2004), griseofulvina (MARIANTE *et al.*, 2006), jasmonato de metila (VILELA *et al.*, 2010), complexos zinco-clotrimazol (MIDLEJ *et al.*, 2019), tiossemicarbazonas (IBÁÑEZ-ESCRIBANO *et al.*, 2022), amiodarona, amioder e dronedarona (DE SOUZA *et al.*, 2022) e SQ109 (DE SOUZA *et al.*, 2023) entre outros. É importante notar que os fenômenos descritos acima, como formação de *blebs* na membrana, vacuolização e autofagia, são características típicas de morte celular e foram descritos anteriormente em tricomonas (MARIANTE *et al.*, 2006; BENCHIMOL *et al.*, 2008; BENCHIMOL *et al.*, 2022). Além disso, a presença de vacúolos autofágicos sugere que as células tentaram uma estratégia de sobrevivência, provavelmente reciclagem da membrana plasmática, sob condições de estresse (EDINGER E THOMPSON, 2004; HERNÁNDEZ-GARCÍA *et al.*, 2019; MAIA *et al.*, 2007). No entanto, no presente estudo nenhuma alteração foi observada nas formas endoflagelares (pseudocistos). Essas formas de tricomonas com os flagelos internalizados aparecem em condições ambientais desfavoráveis como falta de nutrientes ou estresse por drogas (PEREIRA-NEVES *et al.*, 2003). Análises realizadas por microscopia de fluorescência apresentaram marcação positiva para o ensaio do TUNEL após o tratamento com LDT117 e LDT134, indicando a morte celular desses parasitas por apoptose. Juntos estes resultados sugerem que os alquilfosfolipídios podem ser compostos importantes no desenvolvimento de novas abordagens quimioterapêuticas contra *T. vaginalis*, sendo necessário futuramente realizar testes de infecção *in vivo* em modelos animais.

2530  
2531  
2532  
2533

2534      **7. Conclusões**

- 2535      • A amiodarona, droga antiarrítmica, estimulou o crescimento do parasita,  
2536        induziu a agregação celular e o acúmulo de glicogênio.
- 2537
- 2538      • Após o tratamento com amiodarona o ciclo celular do parasita foi  
2539        alterado, mais especificamente na fase G2/M e células multinucleadas  
2540        foram observadas indicando que a citocinese pode estar bloqueada  
2541        nesses parasitas.
- 2542
- 2543      • Os compostos amioder e dronedarona inibiram o crescimento do  
2544        parasita com IC<sub>50</sub> de 3,15 e 11 µM, respectivamente.
- 2545
- 2546      • As células tratadas com os compostos amiodarona, amioder e  
2547        dronedarona exibiram alterações morfológicas, incluindo um efeito na  
2548        estrutura dos hidrogenossomos.
- 2549
- 2550      • Após tratamento com amioder e dronedarona, observou-se morte dos  
2551        parasitas em um processo semelhante a apoptose.
- 2552
- 2553      • SQ109, candidato a medicamento antituberculár, inibiu o crescimento de  
2554        *T.vaginalis* com um IC<sub>50</sub> de 3,15 µM.
- 2555      .
- 2556
- 2557      • SQ109 induziu alterações morfológicas tais como aumento do volume de  
2558        hidrogenossomos, conforme mostrado por análises morfométricas.
- 2559
- 2560
- 2561      • SQ109 inibiu o potencial de membrana dos hidrogenossomos, conforme  
2562        avaliado por JC-1.
- 2563
- 2564

- 2565 • A análise de acoplamento molecular aponta para a ferredoxina, como  
2566 um alvo potencial para o SQ109, e com maior afinidade à ferredoxina do  
2567 que o apresentado pelo metronidazol.
- 2568
- 2569
- 2570 • LDT117 e LDT134 apresentaram atividade antiparasitária com IC<sub>50</sub> de  
2571 4,48 e 5,67 µM, respectivamente.
- 2572
- 2573 • LDT117 e LDT134 não foi citotóxico para as células epiteliais LLCMK-2,  
2574 sugerindo a seletividade da droga e utilidade ao não afetar células de  
2575 mamíferos.
- 2576 .
- 2577
- 2578 • Observações por MEV revelaram alterações na superfície celular com a  
2579 presença de *blebs* de membrana e protusões após o tratamento com os  
2580 compostos LDT117 e LDT134.
- 2581
- 2582 • A análise por MET mostrou a presença de vacúolos autofágicos, figuras  
2583 mielínicas e vacuolização no citoplasma após incubação com os  
2584 compostos LDT117 e LDT134.
- 2585
- 2586 • Após o tratamento com LDT117 e LDT134 observou-se morte dos  
2587 parasitas por um processo semelhante a apoptose
- 2588
- 2589
- 2590 • Os compostos utilizados no presente estudo mostraram-se promissores  
2591 e poderiam servir como quimioterapia alternativa para o tratamento da  
2592 tricomoníase. Dessa forma, sugere-se futuramente a necessidade de  
2593 estudos *in vivo* em modelos animais, com foco nos efeitos  
2594 quimioterápicos.
- 2595

## 2596 8. Referências Bibliográficas

- 2597 ADESSE, D., AZZAM, EM., MEIRELLES, MDE, N., URBINA, JA., GARZONI,  
2598 LR. Amiodarone inhibits *Trypanosoma cruzi* infection and promotes cardiac cell  
2599 recovery with gap junction and cytoskeleton reassembly in vitro. **Antimicrobial**  
2600 **Agents and Chemotherapy**, 55,203-10, 2011. doi: 10.1128/AAC.01129-10.
- 2601 ADDIS, M.F., RAPPELLI, P., FIORI, P.L. Host and tissue specificity of  
2602 *Trichomonas vaginalis* is not mediated by its known adhesion proteins.  
2603 **Infection and Immunity**, 68, 4358- 4360, 2000. doi: 10.1128/IAI.68.7.4358-  
2604 4360.2000.
- 2605 AFFONSO, A.L., BENCHIMOL, M., RIBEIRO, K.C., LINS, U., DE SOUZA, W.  
2606 Further studies on the endocytic activity of *Tritrichomonas foetus*. **Parasitology**  
2607 **Research**, 80, 403-413,1994. doi: 10.1007/BF00932378.
- 2608 AFFONSO, A.L., DE ALMEIDA, J.C., BENCHIMOL, M. Partial characterization  
2609 of cytoplasmic compartments involved in the endocytic process of  
2610 *Tritrichomonas foetus*. **European Journal of Cell Biology**, 72, 247-256, 1997.
- 2611 AKBARI, Z., MATINI, M. The study of trichomoniasis in pregnant women  
2612 attending Hamadan City Health Centers in 2015. **Clinical Microbiology and**  
2613 **Infection**, 4, 41-533, 2017. <https://doi.org/10.5812/ajcmi.41533>.
- 2614 ALDERETE, J.F., GARZA, J. E. Identification and properties of *Trichomonas*  
2615 *vaginalis* proteins involved in cytoadherence. **Infection and Immunity**, 56, 28-  
2616 33, 1998. doi: 10.1128/iai.56.1.28-33.1988.
- 2617 ANDRADE, J. Microvesículas e Nanotubos de Tunelamento em *Trichomonas*  
2618 *vaginalis* em cultivo axênico e durante interação com células vaginais.  
2619 Dissertação (Mestre em Ciências Biomédicas). Programa de pós-graduação  
2620 em Biomedicina Translacional (UNIGRANRIO, INMETRO e UETO) p.73.2022.
- 2621 ARAUJO-SILVA, C.A., DE SOUZA, W., MARTINS-DUARTE, E.S., VOMMAREO,  
2622 R.C. HDAC inhibitors Tubastatin A and SAHA affect parasite cell division and  
2623 are potential anti-*Toxoplasma gondii* chemotherapeutics. **International Journal**  
2624 **for Parasitology: Drugs and Drug Resistance**, 15, 25-35, 2020. doi:  
2625 10.1016/j.ijpddr.2020.12.003.
- 2626 ARROYO, R., ALDERETE. J.F. *Trichomonas vaginalis* surface proteinase  
2627 activity is necessary for parasite adherence to epithelial cells. **Infection and**  
2628 **Immunity**, 57, 2991-2997, 1989. doi: 10.1128/iai.57.10.2991-2997.
- 2629

- 2633 ARROYO, R., ALDERETE, J.F. Molecular bases of host epithelial cell  
2634 recognition by *Trichomonas vaginalis*. **Molecular Microbiology**, 6, 853-862,  
2635 1992. doi: 10.1111/j.1365-2958.1992.tb01536.x.
- 2636 ARROYO, R., GONZÁLEZ-ROBLES, A., MARTÍNEZ-PALOMO, A.,  
2637 ALDERETE, J.F. Signalling of *Trichomonas vaginalis* for amoeboid  
2638 transformation and adhesion synthesis follows cytoadherence. **Molecular**  
2639 **Microbiology**, 7, 299-309, 1993. doi: 10.1111/j.1365-2958.1993.tb01121.x.
- 2640 ARTUYANTS, A., CAMPOS, TL., RAI, AK., JOHNSON, PJ., DAUROS-  
2641 SINGORENKO, P., PHILLIPS, A., SIMOES-BARBOSA, A. Extracellular  
2642 vesicles produced by the protozoan parasite *Trichomonas vaginalis* contain a  
2643 preferential cargo of tRNA-derived small RNAs. **International Journal for**  
2644 **Parasitology**, 50, 1145-1155, 2020. doi: 10.1016/j.ijpara.2020.07.003.
- 2645 ARTUYANTS, A., HONG, J., DAUROS-SINGORENKO, P., PHILLIPS, A.,  
2646 SIMOES-BARBOSA, A. *Lactobacillus gasseri* and *Gardnerella vaginalis*  
2647 produce extracellular vesicles that contribute to the function of the vaginal  
2648 microbiome and modulate host-*Trichomonas vaginalis* interactions. **Molecular**  
2649 **Microbiology**, 2023. doi: 10.1111/mmi.15130.
- 2650 BAEK, K.H., PHAN, T.N., MALWAL, S.R., LEE, H., LI, Z.-H., MORENO, S.N.J.,  
2651 OLDFIELD, E., NO, J. H. In vivo efficacy of SQ109 against *Leishmania*  
2652 *donovani*, *Trypanosoma* spp. and *Toxoplasma gondii* and in vitro activity of  
2653 SQ109 metabolites. **Biomedicines** 10, 670, 2022.  
2654 <https://doi.org/10.3390/biomedicines10030670>.
- 2655 BANDEIRA, PT., DE SOUZA, W. Costain 1 (ARM19800.1) - The first identified  
2656 protein of the costa of the pathogenic protozoan *Tritrichomonas foetus*.  
2657 **Experimental Parasitology**, 232, 108-177, 2022. doi:  
2658 10.1016/j.exppara.2021.108177.
- 2659 BANDEIRA, PT., ORTIZ, SFDN., BENCHIMOL, M., DE SOUZA, W. Expansion  
2660 microscopy of trichomonads. **Experimental Parasitology**, 255, 108-629, 2023.  
2661 doi: 10.1016/j.exppara.2023.108629.
- 2662 BARRIAS, E., REIGNAULT, LC., CALOGEROPOULOU, T., DE SOUZA, W. In  
2663 vitro activities of adamantylidene-substituted alkylphosphocholine TCAN26  
2664 against *Trypanosoma cruzi*: Antiproliferative and ultrastructural effects.  
2665 **Experimental Parasitology**, 206, 107730, 2019. doi:  
2666 10.1016/j.exppara.2019.107730.
- 2667 BENAIME, G., CASANOVA, P., HERNANDEZ-RODRIGUEZ, V., MUJICA-  
2668 GONZALEZ, S., PARRA-GIMENEZ, N., PLAZA-ROJAS, L., CONCEPCION,  
2669 JL., LIU, YL., OLDFIELD, E., PANIZ-MONDOLFI, A., SUAREZ, AI.  
2670 Dronedarone, an amiodarone analog with improved anti-*Leishmania mexicana*

- 2671 efficacy. **Antimicrobial Agents and Chemotherapy**, 58, 2295-303, 2014. doi:  
2672 10.1128/AAC.01240-13.
- 2673
- 2674 BENAÍM, G., J. SANDERS, Y. GARCIA-MARCHAN, C. COLINA, R. LIRA, A.  
2675 CALDERA, G. PAYARES, C. SANOJA, J. BURGOS, A. LEÓN-ROSELL, J.  
2676 CONCEPCIÓN, A., SCHIJMAN, M., LEVIN, E., OLDFIELD, J. URBINA.  
2677 Amiodarone has intrinsic anti-*Trypanosoma cruzi* activity and acts  
2678 synergistically with posaconazole. **Journal of Medicinal Chemistry**, 49, 892–  
2679 899, 2006. doi: 10.1021/jm050691f.
- 2680
- 2681 BENAÍM, G., PANIZ-MONDOLFI, AE. The emerging role of amiodarone and  
2682 dronedarone in Chagas disease. **Nature Reviews Cardiology**, 9:605–609,  
2683 2012. <https://doi.org/10.1038/nrcardio.2012.108>.
- 2684
- 2685 BENAÍM, G., PANIZ-MONDOLFI, A.E., SORDILLO, EM., MARTINEZ-  
2686 SOTILLO, N. Disruption of intracellular calcium homeostasis as a therapeutic  
2687 target against *Trypanosoma cruzi*. **Frontiers in Cellular and Infection**  
2688 **Microbiology**, 10, 46, 2020. doi: 10.3389/fcimb.2020.00046.
- 2689 BENAÍM, G., PANIZ-MONDOLFI, A.E., SORDILO, EM. The rationale for use of  
2690 amiodarone and its derivatives for treatment of Chagas' disease and  
2691 leishmaniasis. **Current Pharmaceutical Design**, 27, 1825–1833, 2021. doi:  
2692 10.2174/1381612826666200928161403.
- 2693 BENCHIMOL, M. Hydrogenosome autophagy in *Tritrichomonas foetus*: an  
2694 ultrastructural and cytochemical study. **Biology of the Cell**, 91, 165-174, 1999.  
2695 doi: 10.1016/s0248-4900(99)80039-2.
- 2696 BENCHIMOL, M. Hydrogenosome morphological variation induced by  
2697 fibronectin and other drugs in *Tritrichomonas foetus* and *Trichomonas vaginalis*.  
2698 **Parasitology Research**, 87, 215-222, 2001. doi: 10.1007/s004360000329.
- 2699 BENCHIMOL, M. Trichomonads under Microscopy. **Microscopy and**  
2700 **Microanalysis**, 10, 528-550, 2004. doi: 10.1017/S1431927604040905.
- 2701 BENCHIMOL, M. The hydrogenosomes as a drug target. **Current**  
2702 **Pharmaceutical Design**, 14, 872-881, 2008. doi:  
2703 10.2174/138161208784041114. PMID: 18473836.
- 2704 BENCHIMOL, M., ALMEIDA, J.C., DE SOUZA, W. Further studies on the  
2705 organization of the hydrogenosome in *Tritrichomonas foetus*. **Tissue and Cell**,  
2706 28, 287-299, 1996a. doi: 10.1016/s0040-8166(96)80016-4.
- 2707 BENCHIMOL, M., ALMEIDA, J. C., LINS, U., GONÇALVES, N. R., DE SOUZA,  
2708 W. Electron microscopic study of the effect of zinc on *Tritrichomonas foetus*.

- 2709    **Antimicrobial Agents and Chemotherapy**, 37, 2722-1726, 1993. doi:  
2710    10.1128/AAC.37.12.2722.
- 2711    BENCHIMOL, M., BATISTA, C., DE SOUZA, W. Fibronectin-and laminin-  
2712    mediated endocytic activity in the parasitic protozoa *Trichomonas vaginalis* and  
2713    *Tritrichomonas foetus*. **Journal of Submicroscopic Cytology and Pathology**,  
2714    22, 39-45, 1990.
- 2715    BENCHIMOL, M., BERNARDINO, M. Ultrastructural localization of  
2716    glycoconjugates in *Tritrichomonas foetus*. **Parasitology Research**, 88, 134–  
2717    143, 2002. <https://doi.org/10.1007/s004360100466>.
- 2718    BENCHIMOL, M., DA CUNHA E SILVA, N.L., ELIAS, C.A., DE SOUZA, W.  
2719    *Tritrichomonas foetus*: ultrastructure and cytochemistry of endocytosis.  
2720    **Experimental Parasitology**, 62, 405-415, 1986. doi: 10.1016/0014-  
2721    4894(86)90049-4.
- 2722    BENCHIMOL, M., DE SOUZA, W. Carbohydrate involvement in the association  
2723    of a prokaryotic cell with *Trichomonas vaginalis* and *Tritrichomonas foetus*.  
2724    **Parasitology Research**, 81, 459-464, 1995. doi: 10.1007/BF00931786.
- 2725    BENCHIMOL. M., DINIZ, J. A. P., RIBEIRO, K. The fine structure of the  
2726    axostyle and its associations with organelles in trichomonads. **Tissue and Cell**,  
2727    32, 178-18, 2000. doi: 10.1054/tice.2000.0102.
- 2728    BENCHIMOL, M., ELIAS, C.A., DE SOUZA, W. Specializations in the flagellar  
2729    membrane to *Tritrichomonas foetus*. **Journal of Parasitology**, 67, 174-178,  
2730    1981.
- 2731    BENCHIMOL, M., ELIAS, C.A., DE SOUZA, W. *Tritrichomonas foetus*:  
2732    ultrastructural localization of calcium in the plasma membrane and in the  
2733    hydrogenosome. **Experimental Parasitology**, 54, 277-284, 1982. doi:  
2734    10.1016/0014-4894(82)90036-4.
- 2735    BENCHIMOL, M., ELIAS, C.A., DE SOUZA, W. *Tritrichomonas foetus*: fine  
2736    structure of freeze-fracture membranes. **The Journal of Protozoology**, 29,  
2737    348-353, 1982a. doi: 10.1111/j.1550-7408.1982.tb05413.x.
- 2738    BENCHIMOL, M., ELIAS, C.A., DE SOUZA, W. *Tritrichomonas foetus*:  
2739    ultrastructural localization of basic proteins and carbohydrates. **Experimental  
2740    Parasitology**, 54, 135-144, 1982b. doi: 10.1016/0014-4894(82)90036-4.
- 2741    BENCHIMOL, M., GADELHA, AP., DE SOUZA, W. Unusual cell structures and  
2742    organelles in *Giardia intestinalis* and *Trichomonas vaginalis* are potential drug  
2743    targets. **Microorganisms**, 2, 10-2176, 2022. doi:  
2744    10.3390/microorganisms10112176

- 2745 BENCHIMOL, M., KACHAR, B., DE SOUZA, W. Surface domains in the  
2746 pathogenic protozoan *Tritrichomonas foetus*. **The Journal of Protozoology**,  
2747 39, 480-484, 1992. doi: 10.1111/j.1550-7408.1992.tb04835. x.
- 2748 BENCHIMOL, M., DINIZ, J.A., RIBEIRO, K. The fine structure of the axostyle  
2749 and its associations with organelles in Trichomonads. **Tissue and Cell**, 32,  
2750 178-187, 2000. doi: 10.1054/tice.2000.0102.
- 2751 BENCHIMOL, M., JOHNSON, P.J., DE SOUZA, W. Morphogenesis of the  
2752 hydrogenosome: an ultrastructural study. **Biology of the Cell**, 87, 197-205,  
2753 1996b.
- 2754 BENCHIMOL, M., RIBEIRO, K.C., MARIANTE, R.M., ALDERETE, J.F.  
2755 Structure and division of the Golgi complex in *Trichomonas vaginalis* and  
2756 *Tritrichomonas foetus*. **European Journal of Cell Biology**, 80, 593-607, 2001.  
2757 doi: 10.1078/0171-9335-00191.
- 2758 BENCHIMOL, M., PEREIRA NETO, A., MIRANDA-MAGALHAES, A., DE  
2759 SOUZA, W. *Tritrichomonas foetus*: new structures by high-resolution scanning  
2760 helium ion microscopy. **Intech Biocell**, 2, 23, 2021. doi:  
2761 10.32604/biocell.2021.014599.
- 2762 BERGSTROM, J.D., DUFRESNE, C., BILLS, G.F., NALLIN-OMSTEAD, M.,  
2763 BYRNE, K. Discovery, synthesis and mechanism of action of the zaragozic  
2764 acids: potent inhibitors of squalene synthase. **Annual Review of Microbiology**,  
2765 49, 607–639, 1995. doi: 10.1146/annurev.mi.49.100195.003135.
- 2766 BONILHA, V.L., CIAVAGLIA, M.C., DE SOUZA, W., COSTA E SILVA FILHO, F.  
2767 The involvement of terminal carbohydrates of the mammalian cell surface in the  
2768 cytoadhesion of trichomonads. **Parasitology Research**, 81, 21-126, 1995. doi:  
2769 10.1007/BF00931616.
- 2770 BOSE, S., AGGARWAL, S., SINGH, D.V., ACHARYA, N. Extracellular vesicles:  
2771 An emerging platform in gram-positive bacteria. **Microbial Cell**, 5, 312-322,  
2772 2020. doi: 10.15698/mic2020.12.737.
- 2773 BRADIC, M., WARRING, SD., TOOLEY, GE., SCHEID, P., SECOR, WE.,  
2774 LAND, KM., HUANG, PJ., CHEN, TW., LEE, CC., TANG, P., SULLIVAN, SA.,  
2775 CARLTON, JM. Genetic indicators of drug resistance in the highly repetitive  
2776 genome of *Trichomonas vaginalis*. **Genome Biology and Evolution**, 1, 1658-  
2777 1672, 2017. doi: 10.1093/gbe/evx110.
- 2778 BRUGEROLLE, G., BRICHEUS, G., COFFE, G. Centrin protein and genes in  
2779 *Trichomonas vaginalis* and close relatives. **Journal of Eukaryotic  
2780 Microbiology**, 47, 129-138, 2000. doi: 10.1111/j.1550-7408.2000.tb00022. x.

- 2781 BUI, E.T., e JOHNSON, P.J. Identification and characterization of [Fe]-  
2782 hydrogenases in the hydrogenosome of *Trichomonas vaginalis*. **Molecular and**  
2783 **Biochemical Parasitology**, 76, 305-310, 1996. doi: 10.1016/0166-  
2784 6851(96)02567-4.
- 2785 BURGESS, D.E., KOBLOCK, K.F., DAUGHERTY, T., ROBERTSON, N.P.  
2786 Cytotoxic and hemolytic effects of *Tritrichomonas foetus* on mammalian cells.  
2787 **Infection and Immunity**, 58, 3627-3632, 1990. doi: 10.1128/iai.58.11.3627-  
2788 3632.
- 2789 CARLTON, J. M., HIRT, R. P., SILVA, J. C., DELCHER, A. L., SCHATZ, M.,  
2790 ZHAO, Q., WORTMAN, J.R., BIDWELL, S.L., ALSMARK, U.C., BESTEIRO, S.,  
2791 SICHERITZ-PONTEN, T., NOEL, C.J., DACKS, J.B., FOSTER, P.G.,  
2792 SIMILION, C., VAN DE PEER, Y., MIRANDA-SAAVEDRA, D., BARTON, G.J.,  
2793 WESTROP, G.D., MULLER, S., DESSI, D., FIORI, M.T., HAYES, R.D.,  
2794 MUKHERJEE, M., OKMURA, C.Y., SCHNEIDER, R., SMITH, A.J.,  
2795 VANACOVA, S., VILALVAZO, M., HAAS, B.J., PERTEA, M., FELDBLYUM,  
2796 T.V., UTTERBACK, T.R., SHU, C.L., OSOEGAWA, K., DE JONG, P.J., HRDY,  
2797 I., HORVATHOVA, L., ZUBACOVA, Z., DOLEZAL, P., MALIK, S.B.,  
2798 LOGSDON, J.M., HENZE, K., GUPTA, A., WANG, C.C., DUNNE, R.L.,  
2799 UPCROFT, J.A., UPCROFT, P., WHITE, O., SALZBERG, S.L., TANG, P.,  
2800 CHIU, C.H., LEE, Y.S., EMBLEY, T.M., COOMBS, G.H., MOTTRAM, J.C.,  
2801 TACHEZY, J., FRASER-LIGGETT, C.M., JONSHON, P.J. Draft genome  
2802 sequence of the sexually transmitted pathogen *Trichomonas vaginalis*.  
2803 **Science**, 315, 207-212, 2007. doi: 10.1126/science.
- 2804 CAVALIER-SMITH, T. Kingdom protozoa and its 18 Phyla. **Microbiology**  
2805 **Review**, 57, 953-994, 1993. doi: 10.1128/mr.57.4.953-994.1993.
- 2806 CAMPO, V.A. Comparative effects of histone deacetylases inhibitors and  
2807 resveratrol on *Trypanosoma cruzi* replication, differentiation, infectivity and gene  
2808 expression. **International Journal for Parasitology: Drugs and Drug**  
2809 **Resistance**, 7, 23–33, 2017. doi: 10.1016/j.ijpddr.2016.12.003.
- 2810 CENTERS FOR DISEASE CONTROL AND PREVENTION. Fourth report on  
2811 human exposure to environmental chemicals, updated tables, (March 2021).  
2812 **Department of Health and Human Services, Centers for Disease Control**  
2813 **and Prevention**. <https://www.cdc.gov/exposurereport/>.
- 2814 CERKASOVÁ, A., CERKASOY, J., KULDA, J., REISCHIG, J. Circular DNA  
2815 and cardiolipin in hydrogenosomes, microbody-like organelles of trichomonads.  
2816 **Folia Parasitologica**, 23, 33-37, 1976.
- 2817 CHAIYAWAT, P., PRUWSAKORN, D., PHANPH AISARN, A., TEEYAKASEM,  
2818 P., KLANGJORHOR, J., SETTAKORN, J. Expression patterns of class I histone  
2819 deacetylases in osteosarcoma: a novel prognostic marker with potential

- 2820 therapeutic implications. **Modern Pathology**, 31, 264–274, 2017.  
2821 doi:10.1038/modpathol.2017.125.
- 2822 CHAPMAN, A., CAMMACK, R., LINSTEAD, D., LLOYD, D. The generation of  
2823 metronidazole radicals in hydrogenosomes isolated from *Trichomonas*  
2824 *vaginalis*. **Journal of General Microbiology**, 131, 2141–2144, 1985.  
2825 https://doi.org/10.1099/00221287-131-9-2141.
- 2826 COSAR, C. e JULOU, L. Activity of 1-(2-hydroxyethyl)-2-methyl-5-nitroimidazole  
2827 (8823 RP) against experimental *Trichomonas vaginalis* infection. **Annales**  
2828 **de'l'Institut Pasteur**, 96, 238–241, 1959.
- 2829 CONNOR, T. H., STOECKEL, M., EVRARD, J., LEGATOR, M. S. The  
2830 contribution of metronidazole and two metabolites to the mutagenic activity  
2831 detected in the urine in treated humans and mice. **Cancer Research**, 37, 629–  
2832 640, 1977.
- 2833 CORBEIL, L.B. Vaccination strategies against *Tritrichomonas foetus*.  
2834 **Parasitology Today**, 10, 103-106, 1994. doi: 10.1016/0169-4758(94)90009-4.
- 2835 CORY, AH., OWEN, TC., BARLTROP, JA., CORY, JG. Use of an aqueous  
2836 soluble tetrazolium/formazan assay for cell growth assays in culture. **Cancer**  
2837 **Communications**, 3,207-12, 1991. doi: 10.3727/095535491820873191.
- 2838 CHAZAPI, E., MAGOULAS, GE., PROUSIS, KC., CALOGEROPOULOU, T.  
2839 Phospholipid Analogues as Chemotherapeutic Agents Against  
2840 Trypanosomatids. **Current Pharmaceutical Design**, 27,1790-1806, 2021. doi:  
2841 10.2174/1381612826666201210115340.
- 2842 CROSSNOE, C.R., GERMANAS, J.P., LEMAGUERES, P., MUSTATA, G.,  
2843 KRAUSE, K.L. The crystal structure of *Trichomonas vaginalis* ferredoxin  
2844 provides insight into metronidazole activation. **Journal of Molecular Biology**,  
2845 318, 503–518, 2002. https://doi.org/10.1016/S0022-2836(02)00051-7.
- 2846 CROUCH, M.L., ALDERETE, J.F. *Trichomonas vaginalis* interactions with  
2847 fibronectin and laminin. **Microbiology**, 145, 2835-2843, 1999.  
2848 https://doi.org/10.1099/00221287-145-10-2835.
- 2849 DA SILVA PINTO, GV., BOLPET, E., MARTIN, LF., MOÇO, NP., RAMOS,  
2850 BRA., SILVA, MC., DUARTE, MTC., DA ROCHA, TRISTÃO, A., DA SILVA,  
2851 MG., MARCONI, C. Factors associated with *Trichomonas vaginalis* infection in  
2852 reproductive-aged women attending cervical screening in southeast of Brazil.  
2853 **The Journal of Infectious Diseases**, 27,102-794, 2023. doi:  
2854 10.1016/j.jid.2023.102794.
- 2855 DE ANDRADE ROSA, I., CARUSO, M. B., DE OLIVEIRA SANTOS, E.,  
2856 GONZAGA, L., ZINGALI, R. B., DE VASCONCELOS, A. T. R., BENCHIMOL,

- 2857 M. The costa of trichomonads: A complex macromolecular cytoskeleton  
2858 structure made of uncommon proteins. **Biology of the Cell**, 109, 238–253,  
2859 2017. doi:10.1111/boc.201600050.
- 2860 DE AZEVEDO, N.L., DE SOUZA, W. (1992). A cytochemical study of the  
2861 interaction between *Tritrichomonas foetus* and mouse macrophages.  
2862 **Parasitology Research**, 78, 545-552, 1992. doi: 10.1007/BF00936450.
- 2863 DE AZEVEDO, N.L., DE SOUZA, W. An ultrastructural and cytochemical of  
2864 *Tritrichomonas foetus*-eosinophil interaction. **Journal of Submicroscopic**  
2865 **Cytology and Pathology**, 28, 243-249, 1996.
- 2866 DE BRUM VIEIRA, P., TASCA, T., SECOR, WE. Challenges and persistent  
2867 questions in the treatment of trichomoniasis. **Current Topics in Medicinal**  
2868 **Chemistry**, 17, 1249-1265, 2017. doi: 10.2174/1568026616666160930150429.
- 2869 DE SOUZA, W., BARRIAS, E. S. Membrane-bound extracellular vesicles  
2870 secreted by parasitic protozoa: cellular structures involved in the communication  
2871 between cells. **Parasitology Research**, 119, 7, 2020. doi: 10.1007/s00436-  
2872 020-06691-7.
- 2873 DE SOUZA, TG., BENAIME, G., DE SOUZA, W., BENCHIMOL, M. Effects of  
2874 amiodarone, amioder, and dronedarone on *Trichomonas vaginalis*.  
2875 **Parasitology Research**, 121, 1761-1773, 2022. doi: 10.1007/s00436-022-  
2876 07521-8.
- 2877 DE SOUZA, W.; GODINHO, J., BARRIAS, E., ROUSSAKI, M., RODRIGUES, J.  
2878 C.F., CALOGEROPOULOU, T. Effects of phospholipid analogues on  
2879 trypanosomatids. **Molecular Biology of Kinetoplastid Parasites**, 13. 2018.  
2880 doi.org/10.21775/9781910190715.13.
- 2881 DE SOUZA, TG., GRANADO, R., BENAIME, G., DE SOUZA, W., BENCHIMOL,  
2882 M. Effects of SQ109 on *Trichomonas vaginalis*. **Experimental Parasitology**,  
2883 250,108549, 2023. doi: 10.1016/j.exppara.2023.108549.
- 2884 DOCAMPO, R., MORENO, SN. Calcium regulation in protozoan parasites.  
2885 **Current Opinion in Microbiology**, 6,359–364, 2003.  
2886 [https://doi.org/10.1016/s1369-5274\(03\)0009](https://doi.org/10.1016/s1369-5274(03)0009).
- 2887 DONNÉ, A. Animacules observés dans les maitères purulentes et le produit des  
2888 sécrétions des organes génitaux de l'homme et de la femme. **Comptes rendus**  
2889 **de l'Académie des Sciences**, 3, 385-386, 1836.
- 2890 DRUREY, C., MAIZELS, RM. Helminth extracellular vesicles: Interactions with  
2891 the host immune system. **Molecular Immunology**, 137, 124-133, 2021. doi:  
2892 10.1016/j.molimm.2021.06.017.

- 2893 EDINGER, AL., THOMPSON, CB. Death by design: apoptosis, necrosis, and  
2894 autophagy. **Current Opinion in Cell Biology**, 6, 663-9, 2004. doi:  
2895 10.1016/j.ceb.2004.09.011.
- 2896 EDWARDS, D. I. Nitroimidazole drugs—action and resistance mechanisms. I.  
2897 Mechanisms of action. **Journal of Antimicrobial Chemotherapy**, 31, 9–20,  
2898 1993. doi: 10.1093/jac/31.1.9.
- 2899 EMBLEY, T.M. Multiple secondary origins of the anaerobic lifestyle in  
2900 eukaryotes. *Philos. Trans. R. Soc. Lond. B. International Journal of*  
2901 **Biological Sciences**, 361, 1055-1067, 2006. doi: 10.1098/rstb.2006.1844.
- 2902 ENGEL, J.A., JONES, A.J., AVERY, V.M., SUMANADASA S.D.M., NG, S.S.,  
2903 FAIRLIE, D.P., ADAMS, T.S., ANDREWS, K.T. Profiling the anti-protozoal  
2904 activity of anti-cancer HDAC inhibitors against *Plasmodium* and *Trypanosoma*  
2905 parasites. **International Journal for Parasitology: Drugs and Drug**  
2906 **Resistance**, 5, 117–126, 2015. doi: 10.1016/j.ijpddr.2015.05.004.
- 2907 FELLEISEN, R.S. Host-parasite interaction in bovine infection with *Trichomonas*  
2908 *foetus*. **Microbes and Infection**, 1, 807-816, 1999. doi: 10.1016/s1286-  
2909 4579(99)80083-5.
- 2910 FICHOROVA, R.N. Impact of *T. vaginalis* infection on innate immune responses  
2911 and reproductive outcome. **Journal of Reproductive Immunology**, 83, 185–  
2912 189, 2009. <https://doi.org/10.1016/j.jri.2009.08.007>.
- 2913 FUNG, HB., DOAN, TL. Tinidazole: a nitroimidazole antiprotozoal agent.  
2914 **Clinical Therapeutics**, 27, 1859-84, 2005. doi: 10.1016/j.clinthera.2005.12.012.
- 2915 FURTADO, M.B., BENCHIMOL, M. (1998). Observation of membrane fusion on  
2916 the interaction of *Trichomonas vaginalis* with human vaginal epithelial cells.  
2917 **Parasitology Research**, 84, 213-220, 1998. doi: 10.1007/s004360050385.  
2918 PMID: 9521011.
- 2919 GAJATE, C., MOLLINEDO, F. Biological activities, mechanisms of action and  
2920 biomedical prospect of the antitumor ether phospholipid ET-18-OCH (3)  
2921 (edelfosine), a proapoptotic agent in tumor cells. **Current Drug Metabolism**,  
2922 3, 491-525, 2002. doi: 10.2174/1389200023337225.
- 2923 García-García, V., OLDFIELD, E., BENAÍM, G. Inhibition of *Leishmania*  
2924 *mexicana* growth by the tuberculosis drug SQ109. **Antimicrobial Agents and**  
2925 **Chemotherapy**, 23, 60, 6386-9, 2016. doi: 10.1128/AAC.00945-16.
- 2926 GARBER, G.E., LEMCHUK-FAVEL, L.T. Characterization and purification of  
2927 extracellular proteases of *Trichomonas vaginalis*. **Canadian Journal of**  
2928 **Microbiology**, 35, 903-909, 1989. doi: 10.1139/m89-150.

- 2929 GARRETT, N. J., OSMAN, F., MAHARAJ, B., NAICKER, N., GIBBS, A.,  
2930 NORMAN, E., SAMSUNDER, N., NGOBESE, H., MITCHEV, N., SINGH, R.,  
2931 ABDOOL KARIM, S. S., KHARSANY, A. B. M., MLISANA, K., ROMPALO, A.,  
2932 MINDEL, A. Beyond syndromic management: opportunities for diagnosis-based  
2933 treatment of sexually transmitted infections in low-and middle-income countries.  
2934 **PloS One**, 13, e0196209, 2018. DOI: 10.1371/journal.pone.0196209
- 2935 GAULT, R. A., KVASNICKA, W.G., HANKS, D., HANKS, M., HALL, M.R.  
2936 Specific antibodies in serum and vaginal mucus of heifers inoculated with a  
2937 vaccine containing *Tritrichomonas foetus*. **American Journal of Veterinary**  
2938 **Research**, 56, 454-459, 1995.
- 2939 GHOSH, AP., AYCOCK, C., SCHWEBKE, JR. In vitro study of the susceptibility  
2940 of clinical isolates of *Trichomonas vaginalis* to metronidazole and secnidazole.  
2941 **Antimicrobial Agents and Chemotherapy**, 62, e02329-17, 2018. doi:  
2942 10.1128/AAC.02329-17.
- 2943 GIL, Z., MARTINEZ-SOTILLO, N., PINTO-MARTINEZ, A., MEJIAS, F.,  
2944 MARTINEZ, J.C., GALINDO, I., OLDFIELD, E., BENAIM, G. SQ109 inhibits  
2945 proliferation of *Leishmania donovani* by disruption of intracellular  
2946 Ca<sup>2+</sup> homeostasis, collapsing the mitochondrial electrochemical potential ( $\Delta\Psi_m$ )  
2947 and affecting acidocalcisomes. **Parasitology Research**, 119, 649-657, 2020.  
2948 doi: 10.1007/s00436-019-06560-y.
- 2949 GILBERT, R.O., ELIA, G., BEACH, D.H., KLAESSIG, S., SING, B.N.  
2950 Cytopathogenic effects of *Trichomonas vaginalis* on human vaginal epithelial  
2951 cells cultured *in vitro*. **Infection and Immunity**, 68, 4200-4206, 2000. doi:  
2952 10.1128/IAI.68.7.4200-4206.2000.
- 2953 GODINHO, JLP., GEORGIKOPOULOU, K., CALOGEROPOULOU, T., DE  
2954 SOUZA, W., RODRIGUES, JCF. A novel alkyl phosphocholine-dinitroaniline  
2955 hybrid molecule exhibits biological activity in vitro against *Leishmania*  
2956 *amazonensis*. **Experimental Parasitology**, 135, 153-65, 2013. doi:  
2957 10.1016/j.exppara.2013.06.015.
- 2958 GONZÁLEZ-ROBLES, A., LÁZARO-HALLER, A., ESPINOSA-CANTELLANO,  
2959 M., ANAYAVELÁZQUEZ, F., MARTÍNEZ-PALOMO, A. *Trichomonas vaginalis*:  
2960 ultrastructural bases of the cytopathic effect. **Eukaryotic Microbiology**, 42,  
2961 641-651, 1995. doi: 10.1111/j.1550-7408.1995.tb05921.x.
- 2962 GRANGER, B.L., WARWOOD, S.J. Rapid internalization and degradation of  
2963 surface-bound antibodies by *Trichomonas foetus*. **Journal of Parasitology**, 82,  
2964 539-549, 1996.
- 2965 GRANGER, B. L., WARWOOD, S. J., BENCHIMOL, M., DE SOUZA, W.  
2966 Transient invagination of flagella by *Tritrichomonas foetus*. **Parasitology**  
2967 **Research**, 86, 699-709, 2000. doi: 10.1007/pl00008555.

- 2968 HASHEMI, N., OMMI, D., KHEYRI, P., KHAMESIPOUR, F., SETZER, W.N.,  
2969 BENCHIMOL, M. A review study on the anti-trichomonas activities of medicinal  
2970 plants. **International Journal for Parasitology: Drugs and Drug Resistance**,  
2971 15, 92–104, 2021. <https://doi.org/10.1016/j.ijpddr.2021.01.002>.
- 2972 HEJCHMAN, E., OSTROWSKA, K., MACIEJEWSKA, D., KOSSAKOWSKI, J.,  
2973 COURCHESNE, JE. Synthesis and antifungal activity of derivatives of 2- and 3-  
2974 benzofurancarboxylic acids. **Journal of Pharmacology and Experimental**  
2975 **Therapeutics**, 343:380–388, 2012. <https://doi.org/10.1124/jpet.112.196980>.
- 2976 HERNÁNDEZ CERUELOS, A., ROMERO-QUEZADA, LC., RUVALCABA  
2977 LEDEZMA, JC., LÓPEZ CONTRERAS, L. Therapeutic uses of metronidazole  
2978 and its side effects: an update. **European Review for Medical and**  
2979 **Pharmacological Sciences**, 23,397-401,2019. doi:  
2980 10.26355/eurrev\_201901\_16788.
- 2981 HIRT, R.P. *Trichomonas vaginalis* virulence factors: an integrative overview.  
2982 **Sexually Transmitted Infections**, 89, 439–443, 2013. doi: 10.1136/setrans-  
2983 2013-051105.
- 2984 HIRT, R. P., DE MIGUEL, N., NAKJANG, S., DESSI, D., LIU, Y. C., DIAZ, N.,  
2985 RAPPELLI, P., ACOSTA-SERRANO, A., FIORI, P. L., MOTTRAM, J. C.  
2986 *Trichomonas vaginalis* pathobiology: new insights from the genome sequence.  
2987 **Advances in Parasitology**, 77, 87-140, 2011. doi: 10.1016/B978-0-12-391429-  
2988 3.00006-X.
- 2989 HOBBS, M. M., SEÑA, A. C. Modern diagnosis of *Trichomonas vaginalis*  
2990 infection. **Sexually Transmitted Infections**, 89,6,434-438, 2013. doi:  
2991 10.1136/setrans-2013-051057.
- 2992 HONIGBERG, B.M., MATTERN, C.F., DANIEL, W.A. Fine structure of the  
2993 mastigont system in *Tritrichomonas foetus*. **Journal of Protozoology**, 18, 183-  
2994 198, 1971. doi: 10.1111/j.1550-7408.1971.tb03306.x.
- 2995 HONIGBERG, B.M., BRUGEROLLE, G. Structure. In: Honigberg B.M. (Ed.),  
2996 **Trichomonads Parasitic in Humans**, 5-35, 1990.
- 2997 HRDÝ, I., CAMMACK, R., STOPKA, P., KULDA, J., TACHEZY, J. Alternative  
2998 pathway of metronidazole activation in *Trichomonas vaginalis* hydrogenosomes.  
2999 **Antimicrobial Agents and Chemotherapy**, 49, 5033-5036, 2005. doi:  
3000 10.1128/AAC.49.12.5033-5036.2005.
- 3001 HRDÝ, I., MÜLLER, M. Primary structure and eubacterial relationships of the  
3002 pyruvate:ferredoxin oxidoreductase of the amitochondriate eukaryote  
3003 *Trichomonas vaginalis*. **Journal of Molecular Evolution**, 41, 388-396, 1995.
- 3004

- 3005 IBÁÑEZ-ESCRIBANO, A., NOGAL-RUIZ, J.J. The past, present, and future in  
3006 the Diagnosis of a Neglected Sexually Transmitted Infection: Trichomoniasis.  
3007 **Pathogens**, 13, 126, 2024. <https://doi.org/10.3390/pathogens13020126>.
- 3008 IRVINE, L., FLYNN, RWV., LIBBY, G., CROMBIE, IK., EVANS, JM. Drugs  
3009 dispensed in primary care during pregnancy: a record-linkage analysis in  
3010 Tayside, Scotland. **Drug Safety**, 33, 593–604, 2010. doi: 10.2165/11532330-  
3011 000000000-00000.
- 3012 JHA, TK., SUNDAR, S., THAKUR, CP., BACHMANN, P., KARBWANG, J.,  
3013 FISCHER, C., VOSS, A., BERMAN, J. Miltefosine, an oral agent, for the  
3014 treatment of Indian visceral leishmaniasis. **The New England Journal of  
3015 Medicine**, 1999 9,341,1795-800, 1999. doi: 10.1056/NEJM199912093412403.
- 3016 JULIO, A., URBINA. Mechanisms of action of lysophospholipid analogues  
3017 against trypanosomatid parasites, **Transactions of The Royal Society of  
3018 Tropical Medicine and Hygiene**, 100, S9–S16, 2006.  
3019 <https://doi.org/10.1016/j.trstmh.2006.03.010>.
- 3020 KALRA, H., SIMPSON, RJ., JI H., AIKAWA, E., ALTEVOGT, P., ASKENASE,  
3021 P., BOND, VC., BORRÀS, FE., BREAKFIELD, X., BUDNIK, V., BUZAS, E.,  
3022 CAMUSSI, G., CLAYTON, A., COCUCCI, E., FALCON-PEREZ, JM.,  
3023 GABRIELSSON, S., GHO, YS., GUPTA, D., HARSHA, HC., HENDRIX, A.,  
3024 HILL, AF., INAL, JM., JENSTER, G., KRÄMER-ALBERS, EM., LIM, SK.,  
3025 LLORENTE, A., LÖTVALL, J., MARCILLA, A., MINCHEVA-NILSSON, L.,  
3026 NAZARENKO, I., NIEUWLAND, R., NOLTE-'T HOEN, EN., PANDEY, A.,  
3027 PATEL, T., PIPER, MG., PLUCHINO, S., PRASAD, TS., RAJENDRAN, L.,  
3028 RAPOSO, G., RECORD, M., REID, GE., SÁNCHEZ-MADRID, F.,  
3029 SCHIFFELERS, RM., SILJANDER, P., STENSALLE, A., STOORVOGEL, W.,  
3030 TAYLOR, D., THERY, C., VALADI, H., VAN BALKOM, BW., VÁZQUEZ, J.,  
3031 VIDAL, M., WAUBEN, MH., YÁÑEZ-MÓ, M., ZOELLER, M., MATHIVANAN, S.  
3032 Vesiclepedia: a compendium for extracellular vesicles with continuous  
3033 community annotation. **PLOS Biology**, 10: e1001450, 2012. doi:  
3034 10.1371/journal.pbio.1001450.
- 3035 KAO, CY., PAPOUTSAKIS, ET. Extracellular vesicles: exosomes,  
3036 microparticles, their parts, and their targets to enable their biomanufacturing  
3037 and clinical applications. **Current Opinion in Biotechnology**, 60:89-98, 2019.  
3038 doi: 10.1016/j.copbio.2019.01.005.
- 3039 KAZY, Z., PUHÓ, E., CZEIZEL, AE. Teratogenic potential of vaginal  
3040 metronidazole treatment during pregnancy. **European Journal of Obstetrics &  
3041 Gynecology and Reproductive Biology**, 123,174–178, 2005. doi:  
3042 10.1016/j.ejogrb.2005.03.016.

- 3043 KELLER, S., RIDINGER, J., RUPP, A. K. Body fluid derived exosomes as a  
3044 novel template for clinical diagnostics. **Journal of Translational Medicine**,  
3045 9, 86, 2011. <https://doi.org/10.1186/1479-5876-9-86>
- 3046 KENT, H. L. Epidemiology of vaginitis. **American Journal of Obstetrics and**  
3047 **Gynecology**, 165, 1198-1176, 1991. doi: 10.1016/s0002-9378(12)90722-x.
- 3048 KIRKCALDY, RD., AUGOSTINI, P., ASBEL, LE., BERNSTEIN, KT., KERANI,  
3049 RP., METTENBRINK, CJ., PATHELA, P., SCHWEBKE, JR., SECOR, WE.,  
3050 WORKOWSKI, KA., DAVIS, D., BRAXTON, J., WEINSTOCK, HS. *Trichomonas*  
3051 *vaginalis* antimicrobial drug resistance in 6 US cities, STD Surveillance  
3052 Network, 2009-2010. **Emerging Infectious Diseases**, 18, 939-43, 2012. doi:  
3053 10.3201/eid1806.111590.
- 3054 KISSINGER, P. *Trichomonas vaginalis*: a review of epidemiologic, clinical and  
3055 treatment issues. **BMC Infectious Diseases**, 15, 307, 2015. DOI:  
3056 10.1186/s12879-015-1055-0.
- 3057 KULDA, J. Trichomonads hydrogenosomes and drug resistance. **International**  
3058 **Journal for Parasitology**, 29, 199–212, 1999. [https://doi.org/10.1016/s0020-7519\(98\)00155-6](https://doi.org/10.1016/s0020-7519(98)00155-6).
- 3060 KÜNG, E., FÜRNKRANZ, U., WALOCHNIK, J. Chemotherapeutic options for  
3061 the treatment of human trichomoniasis. **International Journal of Antimicrobial**  
3062 **Agents**, 53, 116–127, 2019. <https://doi.org/10.1016/j.ijantimicag.2018.10.016>.
- 3063 KRIEGER, J.N., RAVDIN, J., REIN, M.F. Contact dependent cytopathogenic  
3064 mechanisms of *Trichomonas vaginalis*. **Infection and Immunity**, 50, 768–770,  
3065 1985. doi: 10.1128/iai.50.3.778-786.1985.
- 3066 KURDISTANI, S.K., GRUNSTEIN, M. Histone acetylation and deacetylation in  
3067 yeast. **Nature Reviews Molecular Cell Biology**, 4, 276–284, 2003. doi:  
3068 10.1038/nrm1075.
- 3069 LAND, KM., CLEMENS, DL., JOHNSON, PJ. Loss of multiple hydrogenosomal  
3070 proteins associated with organelle metabolism and high-level drug resistance in  
3071 trichomonads. **Experimental Parasitology**, 7, 102-10, 2001. doi:  
3072 10.1006/expr.2001.4587.
- 3073 LEE, K.E., KIM, J.H., JUNG, M.K., ARII, T., RYU, J.S., HAN, S.S. Three-  
3074 dimensional structure of the cytoskeleton in *Trichomonas vaginalis* revealed  
3075 new features. **Journal of Electron Microscopy**, 58, 305-313, 2009. doi:  
3076 10.1093/jmicro/dfp019.
- 3077 LEHKER, M.W., SWEENEY, D. Trichomonad invasion of the mucous layer  
3078 requires adhesins, mucinases, and motility. **Sexually Transmitted Infections**,  
3079 75, 231-238, 1999. doi: 10.1136/sti.75.4.231.

- 3080 LEITSCH D. A review on metronidazole: an old warhorse in antimicrobial  
3081 chemotherapy. **Parasitology**, 146,1167-1178, 2019. doi:  
3082 10.1017/S0031182017002025.
- 3083 LEITSCH, D., JANSSEN, B.D., KOLARICH, D., JOHNSON, P.J. & DUCHÈNE,  
3084 M. *Trichomonas vaginalis* flavin reductase 1 and its role in metronidazole  
3085 resistance. **Molecular Microbiology**, 91, 198–208, 2014. doi:  
3086 10.1111/mmi.12455.
- 3087 LEWIS, D. A., HABGOOD, L., WHITE, R., BARKER, K., MURPHY., S. M.  
3088 Managing vaginal trichomoniasis resistant to high-dose metronidazole therapy.  
3089 **International Journal of STD e AIDS**, 8, 780–784, 1997. doi:  
3090 10.1258/0956462971919110.
- 3091 LEWIS D.A. Trichomoniasis. **Medicine** 38, 291–293, 2010.  
3092 <https://doi.org/10.1016/j.mpmed.2010.03.007>.
- 3093 LINDMARK, D. G. e MULLER, M. Antitrichomonad action, mutagenicity, and  
3094 reduction of metronidazole and other nitroimidazoles. **Antimicrobial Agents**  
3095 and **Chemotherapy**, 10, 476–482, 1976. doi: 10.1128/AAC.10.3.476.
- 3096 LOCKWOOD, B. C., NORTH, M. J., COOMBS, G. H. *Trichomonas foetus*, and  
3097 *Trichomonas batrachorum*: comparative proteolytic activity. **Experimental**  
3098 **Parasitology**, 58, 245-253, 1984. doi: 10.1016/0014-4894(84)90041-9.
- 3099 LOSSICK, J. G. Epidemiology of urogenital trichomoniasis. Therapy of  
3100 urogenital trichomoniasis, p. 324–341. In B. M. Honigberg (ed), **Trichomonads**  
3101 **Parasitic in Humans**, Springer-Verlag, New York, N.Y, 1990. doi:  
3102 10.1128/CMR.17.4.783-793.2004.
- 3103 LLOYD, D., POOLE, R. K., CHANCE, B. The reaction of cytochrome oxidase  
3104 with oxygen in the fission yeast *Schizosaccharomyces pombe* 972h-. Studies at  
3105 subzero temperatures and measurement of apparent oxygen affinity.  
3106 **Biochemical Journal**, 184, 555-563, 1979. doi: 10.1042/bj1840555.
- 3107 MADEIRO DA COSTA, R. F., BENCHIMOL, M. The effect of drugs on cell  
3108 structure of *Tritrichomonas foetus*. **Parasitology Research**, 92,159-170, 2004.  
3109 doi: 10.1007/s00436-003-1023-2.
- 3110 MAGOULAS, GE., AFROUDAKIS, P., GEORGIKOPOULOU, K., ROUSSAKI,  
3111 M., BORSARI, C., FOTOPOULOU, T., SANTAREM, N., BARRIAS, E., TEJERA  
3112 NEVADO, P., HACHENBERG, J., BIFELD, E., ELLINGER, B., KUZIKOV, M.,  
3113 FRAGIADAKI, I., SCOUlica, E., CLOS, J., GUL, S., COSTI, MP., DE SOUZA,  
3114 W., PROUSIS, KC., CORDEIRO, DA., SILVA, A., CALOGEROPOULOU, T.  
3115 Design, synthesis and antiparasitic evaluation of click phospholipids.  
3116 **Molecules**, 10, 26, 4204, 2021. doi: 10.3390/molecules26144204.

- 3117 MAIA, C., ATTIAS, M., URBINA, J., GILBERT, I., MAGARACI, F., DE SOUZA,  
3118 W. Azasterols impair Giardia lamblia proliferation and induces encystation.  
3119 **Biochemical and Biophysical Research Communications**, 16, 363, 310-6,  
3120 2007. doi: 10.1016/j.bbrc.2007.08.174.
- 3121 MAKKI, A., RADA, P., ŽÁRSKÝ, V., KEREÏCHE, S., KOVÁČIK, L., NOVOTNÝ,  
3122 M., JORES, T., RAPAPORT, D. & TACHEZY, J. 2019. Triplet-pore structure of  
3123 a highly divergent TOM complex of hydrogenosomes in *Trichomonas vaginalis*.  
3124 **PLoS Biology**, 17, 300-0098, 2019. doi: 10.1371/journal.pbio.3000098.
- 3125 MARIANTE, R. M., GUIMARÃES, C. A., LINDEN, R., BENCHIMOL, M.  
3126 Hydrogen peroxide induces caspase activation and programmed cell death in  
3127 the amitochondrial *Tritrichomonas foetus*. **Histochemistry and Cell Biology**,  
3128 120, 129-41, 2003. doi: 10.1007/s00418-003-0548-x.
- 3129 MARIANTE, RM., VANCINI, RG., BENCHIMOL, M. Cell death in trichomonads:  
3130 new insights. **Histochemistry and Cell Biology**, 125, 545-56, 2006. doi:  
3131 10.1007/s00418-005-0098-5.
- 3132 MARTINEZ-SOTILLO, N., PINTO-MARTÍNEZ, A., HEJCHMAN, E., BENAÍM, G.  
3133 Antiproliferative effect of a benzofuran derivate based on the structure of  
3134 amiodarone on *Leishmania donovani* affecting mitochondria, acidocalcisomes  
3135 and intracellular  $\text{Ca}^{2+}$  homeostasis. **International Journal for Parasitology**,  
3136 70, 112-117, 2019. doi: 10.1016/j.parint.2019.02.006.
- 3137 MERCER, F; JOHNSON, P. J. *Trichomonas vaginalis*: pathogenesis, symbiont  
3138 interactions, and host cell immune responses. **Trends in Parasitology**, 34,  
3139 683-693, 2018. doi: 10.1016/j.pt.2018.05.006.
- 3140 MIELCZAREK E AND BLASZKOWSKA, J. *Trichomonas vaginalis*:  
3141 pathogenicity and potential role in human reproductive failure. **Infection**, 44,  
3142 447–458, 2016. doi: 10.1007/s15010-015-0860-0.
- 3143 MINISTÉRIO DA SAÚDE. Secretaria de vigilância em saúde. Coordenação  
3144 geral de desenvolvimento da epidemiologia em serviços. **Saúde e Vigilância**  
3145 **Sanitária**, 2023. Disponível em: <https://www.gov.br/saude/pt-br/assuntos/noticias/2023/fevereiro/tricomonias-e-a-ist-curavel-mais-comum-no-mundo>
- 3148 MITCHELL, A.A., GILBOA, SM., WERLER, MM., KELLEY, KE., LOUIK, C.,  
3149 HERNÁNDEZ-DÍAZ, S. Medication use during pregnancy, with particular focus  
3150 on prescription drugs: 1976-2008. **American Journal of Obstetrics and**  
3151 **Gynecology**, 205, 51, 2011. doi: 10.1016/j.ajog.2011.02.029.
- 3152 MONTEIRO-LEAL, L. H., FARINA, M., BENCHIMOL, M., KACHAR, B., DE  
3153 SOUZA, W. Coordinated flagellar and ciliary beating in the protozoon

- 3154     *Tritrichomonas foetus*. **The Journal of Eukaryotic Microbiology**., 42, 709-714,  
3155     1995. doi: 10.1111/j.1550-7408.1995.tb01621.x.
- 3156     MIDDLEJ, V., BENCHIMOL, M. *Trichomonas vaginalis* kills and eats - evidence  
3157     for phagocytic activity as a cytopathic effect. **Parasitology**, 137, 65-76, 2010.  
3158     doi: 10.1017/S0031182009991041.
- 3159     MIDDLEJ, V., DE SOUZA, W., BENCHIMOL, M. The peripheral vesicles gather  
3160     multivesicular bodies with different behavior during the *Giardia intestinalis* life  
3161     cycle. **Journal of Structural Biology**, 207,301-311, 2019. doi:  
3162     10.1016/j.jsb.2019.07.002.
- 3163     MUANDA, FT., SHEEHY, O., BÉRARD, A. Use of antibiotics during pregnancy  
3164     and risk of spontaneous abortion. **Canadian Medical Association Journal**,  
3165     189, E625–33, 2017. doi: 10.1503/cmaj.161020.
- 3166     MUDAU, M., PETERS, RP., DE VOS, L., OLIVIER, DH., J. DAVEY, D.,  
3167     MKWANAZI, ES., MCINTYRE, JA., KLAUSNER, JD., MEDINA-MARINO, A.  
3168     High prevalence of asymptomatic sexually transmitted infections among human  
3169     immunodeficiency virus-infected pregnant women in a low-income South  
3170     African community. **International Journal of STD & AIDS**, 29, 324-333, 2018.  
3171     doi: 10.1177/0956462417724908.
- 3172     MUDRY, MD., MARTÍNEZ-FLORES, I., PALERMO, AM., CARBALLO, MA.,  
3173     EGOZCUE, J., GARCÍA-CALDÉS, M. Embryolethality induced by  
3174     metronidazole (MTZ) in *rattus norvegicus*. **Teratogenesis Carcinogenesis and**  
3175     **Mutagenesis**, 21,197–205,2001. doi: 10.1002/tcm.1008.
- 3176     MÜLLER, M. The hydrogenosome. **The Journal of General**  
3177     **Microbiology**,139, 2879-2889, 1993. doi: 10.1099/00221287-139-12-2879.
- 3178     MUZNY, C. A., TAMHANE, A. R., EATON, E. F., HUDAQ, K., BURKHOLDER,  
3179     G. A., SCHWEBKE, J. R. Incidence and predictors of reinfection with  
3180     trichomoniasis based on nucleic acid amplification testing results in HIV-infected  
3181     patients. **International Journal of STD & AIDS**, 30, 344-352, 2019. DOI:  
3182     10.1177/0956462418807115.
- 3183     MUZNY, C. A., VAN GERWEN, OT. Secnidazole for Trichomoniasis in Women  
3184     and Men. **Sexual Medicine Reviews**, 10,255-262, 2022. doi:  
3185     10.1016/j.sxmr.2021.12.004.
- 3186     NATHAN, B., APPIAH, J., SAUNDERS, P., HERON, D., NICHOLS, T., BRUM,  
3187     R., ALEXANDER, S., BARAITSER, P., ISON, C. Microscopy outperformed in a  
3188     comparison of five methods for detecting *Trichomonas vaginalis* in symptomatic  
3189     women. **International Journal of STD & AIDS**, v. 26, n. 4, p. 251-256, 2015.  
3190     DOI: 10.1177/0956462414534833

- 3191 NIEVAS, YR., COCERES, VM., MIDLEJ, V., DE SOUZA, W., BENCHIMOL, M.,  
3192 PEREIRA-NEVES, A., VASHISHT, A.A, WOHLSCHELEGEL, J.A., JOHNSON,  
3193 PJ., DE MIGUEL, N. Membrane-shed vesicles from the parasite *Trichomonas*  
3194 *vaginalis*: characterization and their association with cell interaction. **Cellular**  
3195 and **Molecular Life Sciences**, 75, 2211-2226, 2018. doi: 10.1007/s00018-017-  
3196 2726-3.
- 3197 NIEVAS, YR., LIZARRAGA, A., SALAS, N., CÓCERES, VM., DE MIGUEL, N.  
3198 Extracellular vesicles released by anaerobic protozoan parasites: Current  
3199 situation. **Cellular Microbiology**, 22, e13257, 2022. doi: 10.1111/cmi.13257.
- 3200 Oates, JÁ., Wood, AJJ., Mason, JW. Amiodarone. **The New England Journal**  
3201 of **medicine** 316:455–466, 1987.  
3202 <https://doi.org/10.1056/NEJM198702193160807>.
- 3203 OLMO-S-ORTIZ, LM., BARAJAS-MENDIOLA, M. A., BARRIOS-RODILES, M.,  
3204 CASTELLANO, L. E., ARIAS-NEGRET, S., AVILA, E.E, CUÉLLAR-MATA, P.  
3205 *Trichomonas vaginalis* exosome-like vesicles modify the cytokine profile and  
3206 reduce inflammation in parasite-infected mice. **Parasite Immunology**, 39,  
3207 2017. doi: 10.1111/pim.12426.
- 3208 ORTIZ, SFDN., VERDAN, R., FORTES, FDSA., BENCHIMOL, M. *Trichomonas*  
3209 *vaginalis*: monolayer and cluster formation-ultrastructural aspects using high-  
3210 resolution scanning electron microscopy. **Pathogens**, 23, 12, 1381, 2023. doi:  
3211 10.3390/pathogens12121381.
- 3212 PAULISH-MILLER, T.E., AUGOSTINI, P., SCHUYLER, J.A., SMITH, W.L.,  
3213 MORDECHAI, E., ADELSON, M.E., GYGAX, S.E., SECOR, W.E., HILBERT,  
3214 D.W. *Trichomonas vaginalis* metronidazole resistance is associated with single  
3215 nucleotide polymorphisms in the nitroreductase genes ntr4 Tv and ntr6 Tv.  
3216 Antimicrob. Agents Chemother. 58, 2938–2943, 2014.  
3217 <https://doi.org/10.1128/AAC.02370-13>.
- 3218 PEREIRA-NEVES, A., BENCHIMOL, M. Phagocytosis by *Trichomonas*  
3219 *vaginalis*: new insights. **Biology of the Cell**, 99, 87-101, 2007. doi:  
3220 10.1042/BC20060084.
- 3221 PEREIRA-NEVES, A., RIBEIRO, KC., BENCHIMOL, M. Pseudocysts in  
3222 trichomonads--new insights. **Protist**, 154, 313-29, 2003. doi:  
3223 10.1078/143446103322454095.
- 3224 PEREIRA-NEVES, A., GONZAGA, L., MENNA-BARRETO, R.F, BENCHIMOL,  
3225 M. Characterisation of 20S Proteasome in *Tritrichomonas foetus* and Its Role  
3226 during the Cell Cycle and Transformation into Endoflagellar Form. **PLoS One**,  
3227 10, 129-165, 2015. doi: 10.1371/journal.pone.0129165.

- 3228 PINDAK, F.F., MORA DE PINDAK, M., GARDNER, J.R. Contact independent  
3229 cytotoxicity of *Trichomonas vaginalis*. **Genitourinary Medicine**, 69, 35-40,  
3230 1993. doi: 10.1136/sti.69.1.35.
- 3231 PINTO-MARTINEZ, A., HERNÁNDEZ-RODRÍGUEZ, V., RODRÍGUEZ-DURÁN,  
3232 J., HEJCHMAN, E., BENAÍM, G. Anti-*Trypanosoma cruzi* action of a new  
3233 benzofuran derivative based on amiodarone structure. **Experimental**  
3234 **Parasitology**, 189:8–15, 2018. <https://doi.org/10.1016/j.exppara.2018.04.0107>.
- 3235 PRINCIPE, S., HUI, A. B., BRUCE, J., SINHA, A., LIU, F.F., KISLINGER, T.  
3236 Tumor-derived exosomes and microvesicles in head and neck cancer:  
3237 implications for tumor biology and biomarker discovery. **Proteomics**, 13,1608-  
3238 23, 2013. doi: 10.1002/pmic.201200533.
- 3239 QUEIROZ, R. C. B., SANTOS, L. M. S., BENCHIMOL, M., DE SOUZA, W.  
3240 Cytochemical localization of enzyme markers in *Tritrichomonas foetus*.  
3241 **Parasitology Research**, 77, 561-566, 1991. doi: 10.1007/BF00931013.
- 3242 RADA, P., HRDÝ, I., ZDRHA, A., NARAYANASAMY, RK., SMUTNÁ, T.,  
3243 HORÁČKOVÁ, J., HARANT, K., BENEŠ, V., ONG, SC., TSAI, CY., LUO, HW.,  
3244 CHIU, CH., TANG, P., TACHEZY, J. Double-Stranded RNA viruses are  
3245 released from *Trichomonas vaginalis* inside small extracellular vesicles and  
3246 modulate the exosomal cargo. **Frontiers in Microbiology**, 4; 13:893692, 2022.  
3247 doi: 10.3389/fmicb.2022.893692.
- 3248 RADA, P., KELLEROVÁ, P., VERNER, Z., TACHEZY, J. Investigation of the  
3249 Secretory Pathway in *Trichomonas vaginalis* Argues against a Moonlighting  
3250 Function of Hydrogenosomal Enzymes. **Journal of Eukaryotic Microbiology**,  
3251 66, 899-910, 2019. doi: 10.1111/jeu.12741.
- 3252 RAI, AK., JOHNSON, PJ. *Trichomonas vaginalis* extracellular vesicles are  
3253 internalized by host cells using proteoglycans and caveolin-dependent  
3254 endocytosis. **Proceedings of the National Academy of Sciences**, 22,116,  
3255 21354-21360, 2019. doi: 10.1073/pnas.1912356116.
- 3256 RAPOSO, G., STOORVOGEL, W. Extracellular vesicles: exosomes,  
3257 microvesicles, and friends. **Journal of Cell Biology**, 8, 200, 373-83, 2013. doi:  
3258 10.1083/jcb.201211138.
- 3259 RASOLOSON, D., VANACOVA, S., TOMKOVA, E., RAZGA, J., HRDY, I.,  
3260 TACHEZY, J., KULDA, J. Mechanisms of in vitro development of resistance to  
3261 metronidazole in *Trichomonas vaginalis*. **Microbiology (Reading)**, 148, 2467-  
3262 2477, 2002. doi: 10.1099/00221287-148-8-2467.
- 3263 RASMUSSEN, S. E., NIELSEN, M. H., LIND, I., RHODES, J.M. Morphological  
3264 studies of the cytotoxicity of *Trichomonas vaginalis* to normal human vaginal

- 3265 epithelial cells *in vitro*. **Genitourinary Medicine**, 62, 240-246, 1986. doi:  
3266 10.1136/sti.62.4.240.
- 3267 REERS, M., SMITH, T.W., CHEN, L.B. J-aggregate formation of a carbocyanine  
3268 as a quantitative fluorescent indicator of membrane potential. **Biochemistry**,  
3269 4480–4486, 1991. <https://doi.org/10.1021/bi00232a015>.
- 3270 REIN, M.F. Trichomoniasis. **Hunter's tropical medicine, and emerging**  
3271 **infectious diseases**, 731–733, 2020. doi.org/10.1016/B978-0-323-55512-  
3272 8.00100-9.
- 3273 RIBEIRO, K.C., BENCHIMOL, M., FARINA, M. Contribution of cryofixation and  
3274 freeze-substitution to analytical microscopy: a study of *Tritrichomonas foetus*  
3275 hydrogenosomes. **Microscopy Research and Technique**, 53, 87-92, 2001.
- 3276 RIBEIRO, K.C., MARIANTE, R.M., COUTINHO, L.L., BENCHIMOL, M. Nucleus  
3277 behavior during the closed mitosis of *Tritrichomonas foetus*. **Biology of the**  
3278 **Cell**, 94, 289- 301, 2002a. doi: 10.1016/s0248-4900(02)01206-6.
- 3279 RIBEIRO, K.C., MONTEIRO-LEAL, L.H., BENCHIMOL, M. Contributions of the  
3280 axostyle and flagella to closed mitosis in the protists *Tritrichomonas foetus* and  
3281 *Trichomonas vaginalis*. **Journal of Eukaryotic Microbiology**, 47, 481-492,  
3282 2000. doi: 10.1111/j.1550-7408.2000.tb00077.x.
- 3283 RIBEIRO, K.C., PEREIRA-NEVES, A., BENCHIMOL, M. The mitotic spindle  
3284 and associated membranes in the closed mitosis of trichomonads, **Biology of**  
3285 **the Cell**, 94, 157-172, 2002b. doi: 10.1016/s0248-4900(02)01191-7.
- 3286 RIBEIRO, AS., SILVA, MV., GUERRA, PG., SAICK, KW., ULIANA, MP., Loss,  
3287 R. Risco potencial do uso de medicamentos durante a gravidez e a lactação.  
3288 **Infarma**, 25, 63–68, 2013. doi: 10.14450/2318-9312.v25. e1. a2013.pp62-67.
- 3289 ROBINSON, S. C. Trichomonal vaginitis resistant to metranidazole. **Canadian**  
3290 **Medical Association Journal**, 86, 665, 1962.
- 3291 ROSA, I., EINICKER-LAMAS, M., RONEY BERNARDO, R., PREVIATTO, L.  
3292 M., MOHANA-BORGES, R., MORGADO-DIAZ, J. A., BENCHIMOL, M.  
3293 Cardiolipin in hydrogenosomes: evidence of symbiotic origin. **Eukaryotic Cell**,  
3294 5, 784-787, 2006. doi: 10.1128/EC.5.4.784-787.2006. PMID: 16607026.
- 3295 ROCHA D. A., DE ANDRADE, R. I., DE SOUZA, W. BENCHIMOL, M.  
3296 Evaluation of the effect of miltefosine on *Trichomonas vaginalis*. **Parasitology**  
3297 **Research**, 113, 1041–1047, 2014a. doi: 10.1007/s00436-013-3738-z.
- 3298 ROCHA, D.A., DE ANDRADE, R. I., URBINA, J. A., DE SOUZA, W.,  
3299 BENCHIMOL, M. The effect of 3-(biphenyl-4-yl) -3-hydroxyquinuclidine (BPQ-  
3300 OH) and metronidazole on *Trichomonas vaginalis*: a comparative study.

- 3301     **Parasitology Research**, 113, 2185–2197, 2014b. doi: 10.1007/s00436-014-  
3302     3871-3.
- 3303     ROSA, I. A., ROCHA, D. A., DE SOUZA, W., URBINA, J. A., BENCHIMOL, M.  
3304     Ultrastructural alterations induced by Δ (24(25)) -sterol methyltransferase  
3305     inhibitors on *Trichomonas vaginalis*. **FEMS Microbiology Letters**, 315, 72–78,  
3306     2011. doi: 10.1111/j.1574-6968.2010.02178. x.
- 3307     RIBEIRO, K. C., MONTEIRO-LEAL, L. H., BENCHIMOL, M. Contributions of the  
3308     axostyle and flagella to the closed mitosis of *Tritrichomonas foetus* and  
3309     *Trichomonas vaginalis*. **Journal of Eukaryotic Microbiology**, 47, 481-492,  
3310     2000. doi: 10.1111/j.1550-7408.2000.tb00077.x.
- 3311     ROWLEY, J.; HOORN, S. V; KORENROMP, E.; LOW, N.; UNEMO, M.;  
3312     ABURADDAD, L. J.; CHICO, R. M.; SMOLAK, A.; NEWMAN, L.; GOTTLIEB,  
3313     S.; THWIN, S. S.; BROUTET, N.; TAYLOR, M. M. Chlamydia, gonorrhoea,  
3314     trichomoniasis and syphilis: global prevalence and incidence estimates, 2016.  
3315     **Bulletin of the World Health Organization**, 97, 548, 2019. doi:  
3316     10.2471/BLT.18.228486.
- 3317     RUSTOM, A. SAFFRICH, R.; MARKOVIC, I.; WALTHER, P.; GERDES, H.  
3318     Nanotubular highways for intercellular organelle transport. **Science**, 303, 1007-  
3319     1010, 2004. doi: 10.1126/science.1093133.
- 3320     RYU, J. S., CHOI, H. K., MIN, D. Y., HA, S. E., AHN, M. H. Effect of iron on the  
3321     virulence of *Trichomonas vaginalis*. **Journal of Parasitology**, 87, 457-460,  
3322     2001. doi: 10.1645/0022-3395(2001)087[0457:EOIOTV]2.0.CO;2.
- 3323     SABATKE, B., GAVINHO, B., COCERES, V., DE MIGUEL, N., RAMIREZ, MI.  
3324     Unveiling the role of EVs in anaerobic parasitic protozoa. **Molecular**  
3325     **Immunology**, 133:34-43, 2021. doi: 10.1016/j.molimm.2021.02.007.
- 3326     SAHIN, L., NALLANI, SC., TASSINARI, MS. Medication use in pregnancy and  
3327     the pregnancy and lactation labeling rule. **Clinical Pharmacology &**  
3328     **Therapeutics**, 100, 23–25, 2016. doi: 10.1002/cpt.380.
- 3329     SAITO-NAKANO, Y., UMEKI, Y., SHIMOKAWA, C., KOBAYASHI, K.,  
3330     HASHIMOTO, K., TAKADA, T., MAKII, C., HASEBE, R., YOSHIDA, Y.,  
3331     NAKAJIMA, R., KOBAYASHI, S., HISaeda, H. Prevalence and metronidazole  
3332     resistance of *Trichomonas vaginalis* among Japanese women in 2021. **IJID**  
3333     **Regions**, 7,130-135, 2023. doi: 10.1016/j.ijregi.2023.02.007.
- 3334     SALAS, N., BLASCO PEDREROS, M., DOS SANTOS, MELO, T., MAGUIRE,  
3335     VG., SHA, J., WOHLSCHELEGEL, JA., PEREIRA-NEVES, A., DE MIGUEL, N.  
3336     Role of cytoneme structures and extracellular vesicles in *Trichomonas vaginalis*  
3337     parasite-parasite communication. **eLife**, 2,12: e86067, 2023. doi:  
3338     10.7554/eLife.86067.

- 3339 SASS, G., MADIGAN, RT., JOUBERT, LM., BOZZI, A., SAYED, N., WU, JC.,  
3340 STEVENS, DA. A combination of itraconazole and amiodarone is highly efective  
3341 against *Trypanosoma cruzi* infection of human stem cell-derived  
3342 cardiomyocytes. **American Journal of Tropical Medicine and Hygiene**  
3343 101,383–391, 2019. <https://doi.org/10.4269/ajtmh.19-0023>.
- 3344 SCHNEIDER, A., CHATTERJEE, S., BOUSIGES, O., SELVI, B.R.,  
3345 SWAMINATHAN, A., CASSEL, R., BOUTILLIER, A.L. Acetyltransferases  
3346 (HATs) as targets for neurological therapeutics. **Neurotherapeutics**, 10, 568–  
3347 588, 2013. doi: 10.1007/s13311-013-0204-7.
- 3348 SCHWEBKE, J. R.; GAYDOS, C. A.; DAVIS, T.; MARRAZZO, J.;  
3349 FURGERSON, D.; TAYLOR, S. N.; SMITH, B.; BACHMANN, L. H.;  
3350 ACKERMAN, R.; SPURRELL, T.; FERRIS, D.; BURNHAM, C. A.; RENO, H.;  
3351 LEBED, J.; EISENBERG, D.; KERNDT, P.; PHILIP, S.; JORDAN, J.; QUIGLEY,  
3352 N. Clinical evaluation of the Cepheid Xpert TV assay for detection of  
3353 *Trichomonas vaginalis* with prospectively collected specimens from men and  
3354 women. **Journal of Clinical Microbiology**, 56, 2, e01091-17, 2018. DOI:  
3355 10.1128/JCM.01091-17.
- 3356 SECOR, WE. *Trichomonas vaginalis*: treatment questions and challenges.  
3357 **Expert Review of Ant-Infective Therapy** 10, 107–109, 2012. doi:  
3358 10.1586/eri.11.159.
- 3359 SERRANO-MARTÍN, X., GARCÍA-MARCHAN, Y., FERNANDEZ, A.,  
3360 RODRIGUEZ, N., ROJAS, H., VISBAL, G., BENAIME, G. Amiodarone  
3361 destabilizes intracellular ca 2+ homeostasis and biosynthesis of sterols in  
3362 *Leishmania mexicana*. **Antimicrobial Agents and Chemotherapy**, 53,1403–  
3363 1410, 2009a. <https://doi.org/10.1128/AAC.01215-08>
- 3364 SERRANO-MARTÍN, X., PAYARES, G., DE LUCCA, M., MARTINEZ, JC.,  
3365 MENDOZA LEÓN, A., BENAIME, G. Amiodarone and miltefosine act  
3366 synergistically against *Leishmania mexicana* and can induce parasitological  
3367 cure in a murine model of cutaneous leishmaniasis. **Antimicrobial Agents and**  
3368 **Chemotherapy**, 53,5108–5113, 2009b. <https://doi.org/10.1128/AAC.00505-09>
- 3369 SHEELE, J. M.; CRANDALL, C. J. ARKO, B. L.; VALLABHANENI, M.; DUNN,  
3370 C. T.; CHANG, B. F.; FANN, P.; BIGACH, M. The OSOM® *Trichomonas* Test is  
3371 unable to accurately diagnose *Trichomonas vaginalis* from urine in men. **The**  
3372 **American Journal of Emergency Medicine**, 37, 5, 1002-1003, 2019. doi:  
3373 10.1016/j.ajem.2018.10.022.
- 3374 SILVA FILHO, F.C., DE SOUZA, W. The interaction of *Trichomonas vaginalis*  
3375 and *Tritrichomonas foetus* with epithelial cells *in vitro*. **Cell**  
3376 **Structure and Function**,13, 301-310, 1988. doi: 10.1247/csf.13.301.

- 3377 SIMPSON, C.F. e WHITE, F.H. Structure of *Trichomonas foetus* as revealed by  
3378 electron microscopy. **American Journal of Veterinary Research**, 66, 815-825,  
3379 1964.
- 3380 SINGH, B.N., HAYES, G.R., LUCAS, J.J., BEACH, D.H., GILBERT, R.O.  
3381 *Tritrichomonas foetus* induces apoptotic cell death in bovine vaginal epithelial  
3382 cells. **Infection and Immunity**, 72, 4151-4158, 2004. doi:  
3383 10.1128/IAI.72.7.4151-4158.2004.
- 3384 SINGH, B.N., HAYES, G.R., LUCAS, J.J., BEACH, D.H., GILBERT, R.O. *In*  
3385 *vitro* cytopathic effects of a cysteine protease of *Tritrichomonas foetus* on  
3386 cultured bovine uterine epithelial cell. **American Journal of Veterinary**  
3387 **Research**, 66, 1185-1186, 2005. doi: 10.2460/ajvr.2005.66.1181.
- 3388 SINGH, B.N., LUCAS, J.J., BEACH, D.H., SHIN, S.T., GILBERT, R.O.  
3389 Adhesion of *Tritrichomonas foetus* to bovine epithelial cells. **Infection and**  
3390 **Immunity**, 67, 3847-3854, 1999. doi: 10.1128/IAI.67.8.3847-3854.1999.
- 3391 SHENNAN, A., CRAWSHAW, S., BRILEY, A., HAWKEN, J., SEED, P., JONES,  
3392 G., POSTON L. A randomised controlled Trial of metronidazole for the  
3393 prevention of preterm birth in women positive for cervicovaginal fetal fibronectin:  
3394 the PREMET Study. **International Journal of Obstetrics & Gynaecology**,  
3395 113,65–74, 2006. doi: 10.1111/j.1471-0528.2005.00788. x.
- 3396 SMITH, R. W., BRITTINGHAM, A., WILSON, W.A. Purification and identification  
3397 of amylases released by the human pathogen *Trichomonas vaginalis* that are  
3398 active towards glycogen. **Molecular and Biochemical Parasitology**, v. 210, n.  
3399 1-2, p. 22- 31, 2016. doi: 10.1016/j.molbiopara.2016.08.002.
- 3400 SUITCLIFFE, S., ALDERETE, J.F., TILL, C., GOODMAN, P.J., HSING, A.W.,  
3401 ZENILMAN, J.M., DE MARZO, A.M., PLATZ, E. A. Trichomonosis and  
3402 subsequent risk of prostate cancer in the prostate cancer prevention trial.  
3403 **International Journal of Cancer**, 124, 2082–2087, 2009. <https://doi.org/10.1002/ijc.24144>.
- 3405 SUTCLIFFE, S., GIOVANNUCCI, E., ALDERETE, JF., CHANG, TH., GAYDOS,  
3406 CA., ZENILMAN, JM., DE MARZO, AM., WILLETT, WC., PLATZ, E.A. Plasma  
3407 antibodies against *Trichomonas vaginalis* and subsequent risk of prostate  
3408 cancer. **Cancer Epidemiology, Biomarkers & Prevention**, 15, 939-45, 2006.  
3409 doi: 10.1158/1055-9965.
- 3410 SWYGARD, H., MILLER, W. C., KAYDOS-DANIELS, S. C., COHEN, M.S.,  
3411 LEONE, P.A., HOBBS, M. M., SENA, A.C. Targeted screening for *Trichomonas*  
3412 *vaginalis* with culture using a two-step method in women presenting for STD  
3413 evaluation. **Sexually Transmitted Diseases**, 31, 659–664, 2004. doi:  
3414 10.1097/01.olq.0000143091.95094.

- 3415 SZEMPRUCH, A. J.; SYKES, S. E.; KIEFT, R.; DENNISON, L.; BECKER, A. C.;  
3416 GARTRELL, A.; MARTIN, W. J.; NAKAYASU, E. S.; ALMEIDA, I. C.; HAJDUK,  
3417 S. L.; HARRINGTON, J. M. Extracellular vesicles from *Trypanosoma brucei*  
3418 mediate virulence factor transfer and cause host anemia. **Cell**, 164, 246-257,  
3419 2016. doi: 10.1016/j.cell.2015.11.051.
- 3420 TACHEZY, J., MAKKI, A., HRDÝ, I. The hydrogenosome of *Trichomonas*  
3421 *vaginalis*. **Journal of Eukaryotic Microbiology**, 69, e12922, 2022. doi:  
3422 10.1111/jeu.12922.
- 3423 THÉRY, C., REGNAULT, A., GARIN, J., WOLFERS, J., ZITVOGEL, L.,  
3424 RICCIARDI-CASTAGNOLI, P., RAPOSO, G., AMIGORENA, S. Molecular  
3425 characterization of dendritic cell-derived exosomes. Selective accumulation of  
3426 the heat shock protein hsc73. **Journal of Cell Biology**, 1, 147, 599-610, 1999.  
3427 doi: 10.1083/jcb.147.3.599.
- 3428 THÉRY, C., WITWER, KW., AIKAWA, E., ALCARAZ, MJ., ANDERSON, JD.,  
3429 ANDRIANTSITOHAINA, R., ANTONIOU, A., ARAB, T., ARCHER, F., ATKIN-  
3430 SMITH, GK., AYRE, DC., BACH, JM., BACHURSKI, D., BAHARVAND, H.,  
3431 BALAJ, L., BALDACCHINO, S., BAUER, NN., BAXTER, AA., BEBAWY, M.,  
3432 BECKHAM, C., BEDINA ZAVEC, A., BENMOUSSA, A., BERARDI, AC.,  
3433 BERGESE, P., BIELSKA, E., BLENKIRON, C., BOBIS-WOZOWICZ, S.,  
3434 BOILARD, E., BOIREAU, W., BONGIOVANNI, A., BORRÀS, F.E., BOSCH, S.,  
3435 BOULANGER, CM., BREAKFIELD, X., BREGLIO, AM., BRENNAN, MÁ.,  
3436 BRIGSTOCK, DR., BRISSON, A., BROEKMAN, ML., BROMBERG, JF., BRYL-  
3437 GÓRECKA, P., BUCH, S., BUCK, AH., BURGER, D., BUSATTO, S.,  
3438 BUSCHMANN, D., BUSSOLATI, B., BUZÁS, EI., BYRD, JB., CAMUSSI, G.,  
3439 CARTER, DR., CARUSO, S., CHAMLEY, LW., CHANG, YT., CHEN, C., CHEN,  
3440 S., CHENG, L., CHIN, AR., CLAYTON, A., CLERICI, SP., COCKS, A.,  
3441 COCUCCI, E., COFFEY, RJ., CORDEIRO-DA-SILVA, A., COUCH, Y.,  
3442 COUMANS, FA., COYLE, B., CRESCITELLI, R., CRIADO, MF., D'SOUZA-  
3443 SCHOREY, C., DAS, S., DATTA CHAUDHURI, A., DE CANDIA, P., DE  
3444 SANTANA, EF., DE WEVER, O., DEL PORTILLO, HA., DEMARET, T.,  
3445 DEVILLE, S., DEVITT, A., DHONDRT, B., DI VIZIO, D., DIETERICH, LC., DOLO,  
3446 V., DOMINGUEZ RUBIO, AP., DOMINICI, M., DOURADO, MR., DRIEDONKS,  
3447 TA., DUARTE, FV., DUNCAN, HM., EICHENBERGER, RM., EKSTRÖM, K., EL  
3448 ANDALOUSSI, S., ELIE-CAILLE, C., ERDBRÜGGER, U., FALCÓN-PÉREZ,  
3449 JM., FATIMA, F., FISH, JE., FLORES-BELLVER, M., FÖRSÖNITS, A.,  
3450 FRELET-BARRAND, A., FRICKE, F., FUHRMANN, G., GABRIELSSON, S.,  
3451 GÁMEZ-VALERO, A., GARDINER, C., GÄRTNER, K., GAUDIN, R., GHO, YS.,  
3452 GIEBEL, B., GILBERT, C., GIMONA, M., GIUSTI, I., GOBERDHAN, DC.,  
3453 GÖRGENS, A., GORSKI, SM., GREENING, DW., GROSS, JC., GUALERZI, A.,  
3454 GUPTA, GN., GUSTAFSON, D., HANDBERG, A., HARASZTI, RA.,  
3455 HARRISON, P., HEGYESI, H., HENDRIX, A., HILL, AF., HOCHBERG, FH.,  
3456 HOFFMANN, KF., HOLDER, B., HOLTHOFER, H., HOSSEINKHANI, B., HU,

3457 G., HUANG, Y., HUBER, V., HUNT, S., IBRAHIM, AG., IKEZU, T., INAL, JM.,  
3458 ISIN, M., IVANOVA, A., JACKSON, HK., JACOBSEN, S., JAY, SM.,  
3459 JAYACHANDRAN, M., JENSTER, G., JIANG, L., JOHNSON, SM., JONES,  
3460 JC., JONG, A., JOVANOVIC-TALISMAN, T., JUNG, S., KALLURI, R., KANO,  
3461 SI., KAUR, S., KAWAMURA, Y., KELLER, ET., KHAMARI, D., KHOMYAKOVA,  
3462 E., KHVOROVA, A., KIERULF, P., KIM, KP., KISLINGER, T., KLINGEBORN,  
3463 M., KLINKE, DJ., KORNEK, M., KOSANOVIĆ, MM., KOVÁCS, ÁF., KRÄMER-  
3464 ALBERS, EM., KRASEMANN, S., KRAUSE, M., KUROCHKIN, IV., KUSUMA,  
3465 GD., KUYPERS, S., LAITINEN, S., LANGEVIN, SM., LANGUINO, LR.,  
3466 LANNIGAN, J., LÄSSER, C., LAURENT, LC., LAVIEU, G., LÁZARO-IBÁÑEZ,  
3467 E., LE LAY, S., LEE, MS., LEE, YXF., LEMOS, DS., LENASSI, M.,  
3468 LESZCZYNSKA, A., LI, IT., LIAO, K., LIBREGTS, SF., LIGETI, E., LIM, R., LIM,  
3469 SK., LINĒ, A., LINNEMANNSTÖNS, K., LLORENTE, A., LOMBARD, CA.,  
3470 LORENOWICZ, MJ., LÖRINCZ, ÁM., LÖTVALL, J., LOVETT, J., LOWRY, MC.,  
3471 LOYER, X., LU, Q., LUKOMSKA, B., LUNAVAT, TR., MAAS, SL., MALHI, H.,  
3472 MARCILLA, A., MARIANI, J., MARISCAL, J., MARTENS-UZUNOVA, ES.,  
3473 MARTIN-JAULAR, L., MARTINEZ, MC., MARTINS, VR., MATHIEU, M.,  
3474 MATHIVANAN, S., MAUGERI, M., MCGINNIS, LK., MCVEY, MJ., MECKES,  
3475 DG., JR, MEEHAN, KL., MERTENS, I., MINCIACCHI, VR., MÖLLER, A.,  
3476 MØLLER, JØRGENSEN, M., MORALES-KASTRESANA, A., MORHAYIM, J.,  
3477 MULLIER, F., MURACA, M., MUSANTE, L., MUSSACK, V., MUTH, DC.,  
3478 MYBURGH, KH., NAJRANA, T., NAWAZ, M., NAZARENKO, I., NEJSUM, P.,  
3479 NERI, C., NERI, T., NIEUWLAND, R., NIMRICHTER, L., NOLAN, JP., NOLTE-  
3480 'T HOEN, EN., NOREN HOOTEN, N., O'DRISCOLL, L., O'GRADY, T.,  
3481 O'LOGHLEN, A., OCHIYA, T., OLIVIER, M., ORTIZ, A., ORTIZ, LA.,  
3482 OSTEIKOETXEA, X., ØSTERGAARD, O., OSTROWSKI, M., PARK, J.,  
3483 PEGTEL, DM., PEINADO, H., PERUT, F., PFAFFL, MW., PHINNEY, DG.,  
3484 PIETERS, BC., PINK, RC., PISETSKY, DS., POGGE, VON STRANDMANN, E.,  
3485 POLAKOVICOVA, I., POON, IK., POWELL, BH., PRADA, I., PULLIAM, L.,  
3486 QUESENBERRY, P., RADEGHIERI, A., RAFFAI, RL., RAIMONDO, S., RAK,  
3487 J., RAMIREZ, MI., RAPOSO, G., RAYYAN, MS., REGEV-RUDZKI, N.,  
3488 RICKLEFS, FL., ROBBINS, PD., ROBERTS, DD., RODRIGUES, SC., ROHDE,  
3489 E., ROME, S., ROUSCHOP, KM., RUGHETTI, A., RUSSELL, AE., SAÁ, P.,  
3490 SAHOO, S., SALAS-HUENULEO, E., SÁNCHEZ, C., SAUGSTAD, JA., SAUL,  
3491 MJ., SCHIFFELERS, RM., SCHNEIDER, R., SCHØYEN, TH., SCOTT, A.,  
3492 SHAHAJ, E., SHARMA, S., SHATNYEVA, O., SHEKARI, F., SHELKE, GV.,  
3493 SHETTY, AK., SHIBA, K., SILJANDER, PR., SILVA, AM., SKOWRONEK, A.,  
3494 SNYDER, OL., SOARES, RP., SÓDAR, BW., SOEKMADJI, C., SOTILLO, J.,  
3495 STAHL, PD., STOORVOGEL, W., STOTT, SL., STRASSER, EF., SWIFT, S.,  
3496 TAHARA, H., TEWARI, M., TIMMS, K., TIWARI, S., TIXEIRA, R., TKACH, M.,  
3497 TOH, WS., TOMASINI, R., TORRECILHAS, AC., TOSAR, JP., TOXAVIDIS, V.,  
3498 URBANELLI, L., VADER, P., VAN BALKOM, BW., VAN DER GREIN, SG., VAN  
3499 DEUN, J., VAN HERWIJNEN, MJ., VAN KEUREN-JENSEN, K., VAN NIEL, G.,  
3500 VAN ROYEN, ME., VAN WIJNEN, AJ., VASCONCELOS, MH., VECCHETTI, IJ.,

- 3501 JR., VEIT, TD., VELLA, LJ., VELOT, É., VERWEIJ, FJ., VESTAD, B., VIÑAS,  
3502 JL., VISNOVITZ, T., VUKMAN, KV., WAHLGREN, J., WATSON, DC.,  
3503 WAUBEN, MH., WEAVER, A., WEBBER, JP., WEBER, V., WEHMAN, AM.,  
3504 WEISS, DJ., WELSH, JA., WENDT, S., WHEELOCK, AM., WIENER, Z.,  
3505 WITTE, L., WOLFRAM, J., XAGORARI, A., XANDER, P., XU, J., YAN, X.,  
3506 YÁÑEZ-MÓ, M., YIN, H., YUANA, Y., ZAPPULLI, V., ZARUBOVA, J., ŽEKAS,  
3507 V., ZHANG, JY., ZHAO, Z., ZHENG, L., ZHEUTLIN, AR., ZICKLER, AM.,  
3508 ZIMMERMANN, P., ZIVKOVIC, AM., ZOCCHI, D., ZUBA-SURMA, EK. Minimal  
3509 information for studies of extracellular vesicles 2018 (misev2018): a position  
3510 statement of the international society for extracellular vesicles and update of the  
3511 misev2014 guidelines. **Journal of Extracellular Vesicles**. 23,7, 1535750,  
3512 2018. doi: 10.1080/20013078.2018.1535750.
- 3513 THIÉRY, J.P. Mise en évidence des polysaccharides sur coupes fines en  
3514 microscopie électronique. **Journal of Microscopic** 6, 987- 1018,1967.
- 3515 THOMPSON, K., NEWCOMB, DL., MOFFAT, GJ., ZALIKOWSKI, J.,  
3516 CHELLMAN, GJ., MCNERNEY, ME. Evaluation of early fetal exposure to  
3517 vaginally-administered- metronidazole in pregnant cynomolgus monkeys.  
3518 **Reproductive Toxicology**, 59,17–21,2016. doi:  
3519 10.1016/j.reprotox.2015.10.013.
- 3520 TORRECILHAS, AC., SOARES, RP., SCHENKMAN, S., FERNÁNDEZ-  
3521 PRADA, C., OLIVIER, M. Extracellular vesicles in Trypanosomatids: Host Cell  
3522 Communication. **Frontiers in Cellular and Infection Microbiology**, 10,  
3523 602502,2020. doi: 10.3389/fcimb.2020.602502.
- 3524 TWU, O., DE MIGUEL, N., LUSTIG, G., STEVENS, G. C., VASHISHT, A. A.,  
3525 WOHLSCHELEGEL, J.A., JOHNSON, PJ. *Trichomonas vaginalis* exosomes  
3526 deliver cargo to host cells and mediate host:parasite interactions. **PLOS**  
3527 **Pathogens**, 9, 1003482, 2013. doi: 10.1371/journal.ppat.1003482.
- 3528 UPCROFT, JA., DUNN, LA., WAL, T., TABRIZI, S., DELGADILLO-CORREA,  
3529 MG., JOHNSON, PJ., GARLAND, S., SIBA, P., UPCROFT, P. Metronidazole  
3530 resistance in *Trichomonas vaginalis* from highland women in Papua New  
3531 Guinea. **Sex Health**, 6, 334-8, 2009. doi: 10.1071/SH09011.
- 3532 UPCROFT, P., UPCROFT, JA. Drug targets and mechanisms of resistance in  
3533 the anaerobic protozoa. **Clinical Microbiology Reviews**, 14, 150-64, 2001. doi:  
3534 10.1128/CMR.14.1.150-164.2001.
- 3535 VAN GERWEN, OT., OPSTEEN, SA., GRAVES, KJ., MUZNY, CA. **Infectious**  
3536 **Disease Clinics of North America**, 37, 245-265, 2023. doi:  
3537 10.1016/j.idc.2023.02.001.

- 3538 VAN HOOGEVEST, P., WENDEL, A. The use of natural and synthetic  
3539 phospholipids as pharmaceutical excipients. **European Journal of Lipid**  
3540 **Science and Technology**, 116,1088-1107, 2014. doi: 10.1002/ejlt.201400219.
- 3541 VEIGA-SANTOS, P., BARRIAS, ES., SANTOS, JF., DE BARROS MOREIRA,  
3542 TL., DE CARVALHO, TM., URBINA, JÁ., DE SOUZA, W. Efects of amiodarone  
3543 and posaconazole on the growth and ultrastructure of *Trypanosoma cruzi*.  
3544 **International Journal of Antimicrobial Agents**, 40,61–71, 2012. <https://doi.org/10.1016/j.ijantimicag.2012.03.009>.
- 3545
- 3546 VEIGA-SANTOS, P., LI, K., LAMEIRA, L., DE CARVALHO, T.M.U., HUANG,  
3547 G., GALIZZI, M., SHANG, N., LI, Q., GONZALEZ-PACANOWSKA, D.,  
3548 HERNANDEZ-RODRIGUEZ, V., BENAIM, G., GUO, R.-T., URBINA, J.A., DO  
3549 CAMPO, R., DE SOUZA, W., OLDFIELD, E. 2015. SQ109, a new drug lead for  
3550 chagas disease. **Antimicrobial Agents and Chemotherapy**, 59, 1950–1961,  
3551 2015. <https://doi.org/10.1128/AAC.03972-14>.
- 3552 VICENTE, D., PÉREZ-TRALLERO, E. Tetraciclinas, sulfamidas y metronidazol.  
3553 **Enfermedades Infecciosas y Microbiología Clínica**, 28,122–130, 2010. doi:  
3554 10.1016/j.eimc.2009.10.002.
- 3555 VILELA, R., MENNA BARRETO, R.F., BENCHIMOL, M. Methyl jasmonate  
3556 induces cell death and loss of hydrogenosomal membrane potential in  
3557 *Trichomonas vaginalis*. **Parasitology International**, 3, 387–393, 2010.  
3558 <https://doi.org/10.1016/j.parint.2010.05.003>.
- 3559 VISCOGLIOSI, E., BRUGEROLLE, G. Cytoskeleton in trichomonads III: study  
3560 of the morphogenesis during division by using monoclonal antibodies against  
3561 cytoskeleton structures. **European Journal of Protistology**, 30,129-138,  
3562 1994a. doi: 10.1016/S0932-4739(11)80269-5.
- 3563 VISCOGLIOSI, E., BRUGEROLLE, G. Striated fibers in trichomonads: costa  
3564 proteins represent a new class of proteins forming striated roots. **Cell Motility**  
3565 and the Cytoskeleton., 29, 82-93, 1994b. doi: 10.1002/cm.970290108.
- 3566 WAGENLEHNER, FM., BROCKMEYER, NH., DISCHER, T., FRIESE, K.,  
3567 WICHELHAUS, TA. The Presentation, diagnosis, and treatment of sexually  
3568 transmitted infections. **Deutsches Ärzteblatt International**, 11,113,11-22,  
3569 2016. doi: 10.3238/ärztebl.2016.0011.
- 3570 WATT, L., JENNISON, RF. Clinical evaluation of metronidazole. A new  
3571 systemic trichomonicide. **British Journal of Sports Medicine**, 24,2,902-5,  
3572 1960. doi: 10.1136/bmj.2.5203.902.
- 3573 WORKOWSKI, K. A. Centers for Disease Control and Prevention sexually  
3574 transmitted diseases treatment guidelines. **Clinical Infectious Diseases**, 61,  
3575 suppl\_8, p. S759-S762, 2015.

- 3576   **WORLD HEALTH ORGANIZATION.** Global health sector strategy on sexually  
3577   transmitted infections (2016-2021). **PLoS One**, 4,17, e0263550, 2022. doi:  
3578   10.1371/journal.pone.0263550.
- 3579   WRIGHT, JM., WEBB, RI., O'DONOUGHUE, P., UPCROFT, P., UPCROFT, JA.  
3580   Hydrogenosomes of laboratory-induced metronidazole-resistant *Trichomonas*  
3581   *vaginalis* lines are downsized while those from clinically metronidazole-resistant  
3582   isolates are not. **Journal of Eukaryotic Microbiology**, 57,171-6, 2010. doi:  
3583   10.1111/j.1550-7408.2009.00455. x.
- 3584   YARLETT, N., YARLETT, N.C., E LIOYD, D. Metronidazole-resistant clinical  
3585   isolates of *Trichomonas vaginalis* have lowered oxygen affinities. **Molecular**  
3586   **and Biochemical Parasitology**, 19, 111–116, 1986. doi: 10.1016/0166-  
3587   6851(86)90115-5.
- 3588   YAMASHITA, Y. M.; INABA, M.; BUSZCZAK, M. Specialized intercellular  
3589   communications via cytonemes and nanotubes. **Annual Review of Cell and**  
3590   **Developmental Biology**, 34, 59-84, 2018. doi: 10.1146/annurev-cellbio100617-  
3591   062932.
- 3592   ZHANG, K., BEVERLEY, S.M. Phospholipid and sphingolipid metabolism  
3593   in *Leishmania*. **Molecular and Biochemical Parasitology**, 170, 55–64, 2010.  
3594   doi: 10.1016/j.molbiopara.2009.12.004.
- 3595   ZHANG, B., LI, J., YANG, X., WU, L., ZHANG, J., YANG, Y., ZHAO, Y.,  
3596   ZHANG, L., YANG, X., YANG, X., CHENG, X., LIU, Z., JIANG, B., JIANG, H.,  
3597   GUDDAT, LW., YANG, H., RAO, Z. Crystal structures of membrane transporter  
3598   MmpL3, an Anti-TB Drug Target. **Cell**, 24,176(3):636-648.e13, 2019. doi:  
3599   10.1016/j.cell.2019.01.003.
- 3600

3601 **Anexo 1**

3602 **Anexo 2**

3603



# Effects of amiodarone, amioder, and dronedarone on *Trichomonas vaginalis*

Tatiana Guinancio de Souza<sup>1,2</sup> · Gustavo Benaim<sup>3,4</sup> · Wanderley de Souza<sup>2,5</sup> · Marlene Benchimol<sup>1,2,5</sup>

Received: 15 November 2021 / Accepted: 26 March 2022 / Published online: 18 April 2022  
© The Author(s), under exclusive licence to Springer-Verlag GmbH Germany, part of Springer Nature 2022

## Abstract

*Trichomonas vaginalis* is a protozoan that causes human trichomoniasis, the most common non-viral sexually transmitted infection (STI) affecting approximately 278 million people worldwide. The current treatment for trichomoniasis is based on 1-(2-hydroxyethyl)-2-methyl-5-nitroimidazole, known as metronidazole (MTZ). Although effective in clearing the parasite infection, MTZ is related to provoking severe side effects, and it is not recommended during pregnancy. In addition, some strains present resistance to 5'-nitroimidazoles, making urgent the development of alternative drugs for trichomoniasis. Amiodarone, an antiarrhythmic drug, exerts a significant anti-parasite effect, mainly due to its interference with calcium homeostasis and the biosynthesis of sterols. Therefore, we decided to test the effect of amiodarone and two other related compounds (amioder and dronedarone) on *T. vaginalis*. Our observations show that amiodarone stimulated, rather than inhibited, parasite growth, induced cell aggregation, and glycogen accumulation. Furthermore, the other two compounds displayed anti-parasite activity with IC<sub>50</sub> of 3.15 and 11 μM, respectively, and the apoptosis-like process killed the cells. In addition, cells exhibited morphological changes, including an effect on hydrogenosomes structure.

**Keywords** Chemotherapy · Trichomoniasis · Amiodarone · Amioder · Dronedarone

## Introduction

*Trichomonas vaginalis* is a protozoan that causes human trichomoniasis, the most common non-viral sexually transmitted infection (STI) affecting approximately 278 million people worldwide (WHO 2012). Pregnant women with trichomoniasis may present miscarriage, premature birth,

premature rupture of the placenta, and disorders in pregnancy (Petrin et al. 1998). The disease can also cause infertility (Lewis 2010; Mielczarek and Blaszkowska 2016). In men, the disease is usually asymptomatic. However, it can lead to inflammation in the urethra and prostate in more severe cases (Rein 1990). Infection by *T. vaginalis* is also related to a greater predisposition to infections caused by the human papillomavirus (HPV) (Noël et al. 2010), also the human immunodeficiency virus (HIV) (van der Pol et al. 2008), and cervical and prostate cancer (Sutcliffe 2006).

The current treatment for human trichomoniasis is based on 1-(2-hydroxyethyl)-2-methyl-5-nitroimidazole, a drug known as metronidazole (MTZ). It is a compound widely used to treat several infections caused by bacteria (*Helicobacter*, *Bacteroides*, and *Clostridium*) and anaerobic parasites such as *Trichomonas*, *Entamoeba*, and *Giardia* (Edwards 1993). Although effective to clear most parasite infections, this medicine is related to severe side effects, such as nausea, vomiting, dizziness, and insomnia (Rosa et al. 2011). In the most severe cases, it may cause leukopenia and neuropathies. Furthermore, this treatment cannot be used during pregnancy (Lossick 1990). Besides its toxicity, some strains are resistant to 5'-nitroimidazoles

---

Section Editor: Bradford S. McGwire

✉ Marlene Benchimol  
marlenebenchimol@gmail.com

<sup>1</sup> Universidade Do Grande Rio, Duque de Caxias, Brazil

<sup>2</sup> Laboratório de Ultraestrutura Celular Hertha Meyer, Instituto de Biofísica Carlos Chagas Filho, Universidade Federal Do Rio de Janeiro, Centro de Ciências da Saúde, Bloco G, Rio de Janeiro, Brazil

<sup>3</sup> Instituto de Estudios Avanzados, Caracas, Venezuela

<sup>4</sup> Instituto de Biología Experimental, Facultad de Ciencias, Universidad Central de Venezuela, Caracas, Venezuela

<sup>5</sup> Centro Nacional de Biología Estructural E Bioimágenes, Universidade Federal Do Rio de Janeiro, Rio de Janeiro, Brazil

(Paulish-Miller et al. 2014). Thus, the development of new alternative drugs for trichomoniasis is necessary.

Amiodarone is an antiarrhythmic drug approved in the USA in 1985 and used in atrial fibrillation (Oates et al. 1987). Dronedarone, a benzofuran analog of amiodarone, lacks the iodine component found in amiodarone, considered to be largely responsible for the multiple organ toxicities of this compound. The FDA has also approved dronedarone. Both are cationic lipophilic benzofurans. In addition, this antiarrhythmic agent and its derivatives present antiparasitic effects, disturbing  $\text{Ca}^{2+}$  homeostasis in *Trypanosoma cruzi* (Adesse et al. 2011; Benaim et al. 2006; Veiga-Santos et al. 2012) and *Leishmania* (Serrano-Martín et al. 2009a), resulting in an intracellular  $\text{Ca}^{2+}$  increase (Benaim et al. 2020). Amiodarone also interferes with the biosynthesis of ergosterol in these parasites (Benaim et al. 2006; Serrano-Martín et al. 2009b). It was also shown that dronedarone is active against these two trypanosomatid species. Amioder is a recently synthesized benzofuran derivative based on the structure of amiodarone (Hejchman et al. 2012), which has recently been shown to display a significant effect on *T. cruzi* (Pinto-Martinez et al. 2018). Recent studies have reported an effect of amioder also on *Leishmania donovani*, showing that it inhibits the growth of promastigotes and amastigotes within macrophages. This compound was also shown to disturb intracellular  $\text{Ca}^{2+}$  homeostasis in *L. donovani*, fully collapsing the mitochondrial membrane potential and, simultaneously, inducing alkalinization of the acidocalcisomes of *L. donovani*, leading to the death of the parasite (Martinez-Sotillo et al. 2019). The present work investigated the in vitro effect of amiodarone, dronedarone, and amioder on *T. vaginalis*.

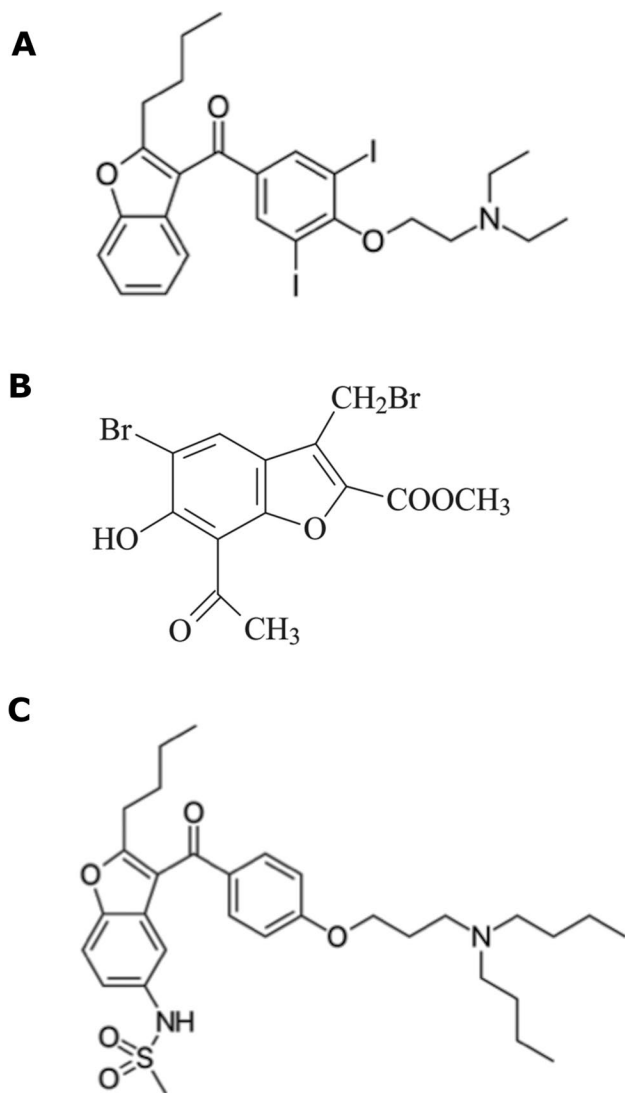
## Materials and methods

### Parasite and cell culture

To analyze drug activity against *T. vaginalis*, we used the JT strain isolated in Brazil's Hospital of Federal University of Rio de Janeiro. Trophozoites were maintained anaerobically in trypticase yeast-extract maltose (TYM) medium supplemented with 10% fetal bovine serum (FBS) (Diamond 1957). The cells were grown for 24 h at 37 °C, corresponding to the logarithmic growth phase.

### Compounds

Figure 1a–c show the structure of amiodarone, dronedarone, and amioder, respectively. Amiodarone was purchased from Sigma, St. Louis, MO, USA. Dronedarone was extracted and crystallized from commercial tablets



**Fig. 1** Molecular chemical structure of amiodarone (a), amioder (b), and dronedarone (c)

(Multaq) (Benaim et al. 2012). The compound amioder (methyl 7-acetyl-5-Bromo-6-hydroxy-3-bromomethyl-2-benzofurancarboxylate) was kindly provided by Dr. Elżbieta Hejchman, from the Department of Organic Chemistry (Faculty of Pharmacy, The Medical University of Warsaw).

### Determination of IC<sub>50</sub>

To determine the drug concentration that inhibited parasite growth by 50% (IC<sub>50</sub>), the percentage of growth inhibition was plotted as a function of the drug concentration, and the values were fitted in a nonlinear curve. Regression analyses were performed using the Sigma Plot 8.0

software. Data were plotted using the Graphpad Prism 6.0® software.

$$I = I_{max} \frac{C}{IC_{50} + C},$$

where  $I$  is the percent (%) of inhibition,  $I_{max}$  100% inhibition,  $C$  is the concentration of the inhibitor, and  $IC_{50}$  is the concentration required for 50% growth inhibition.

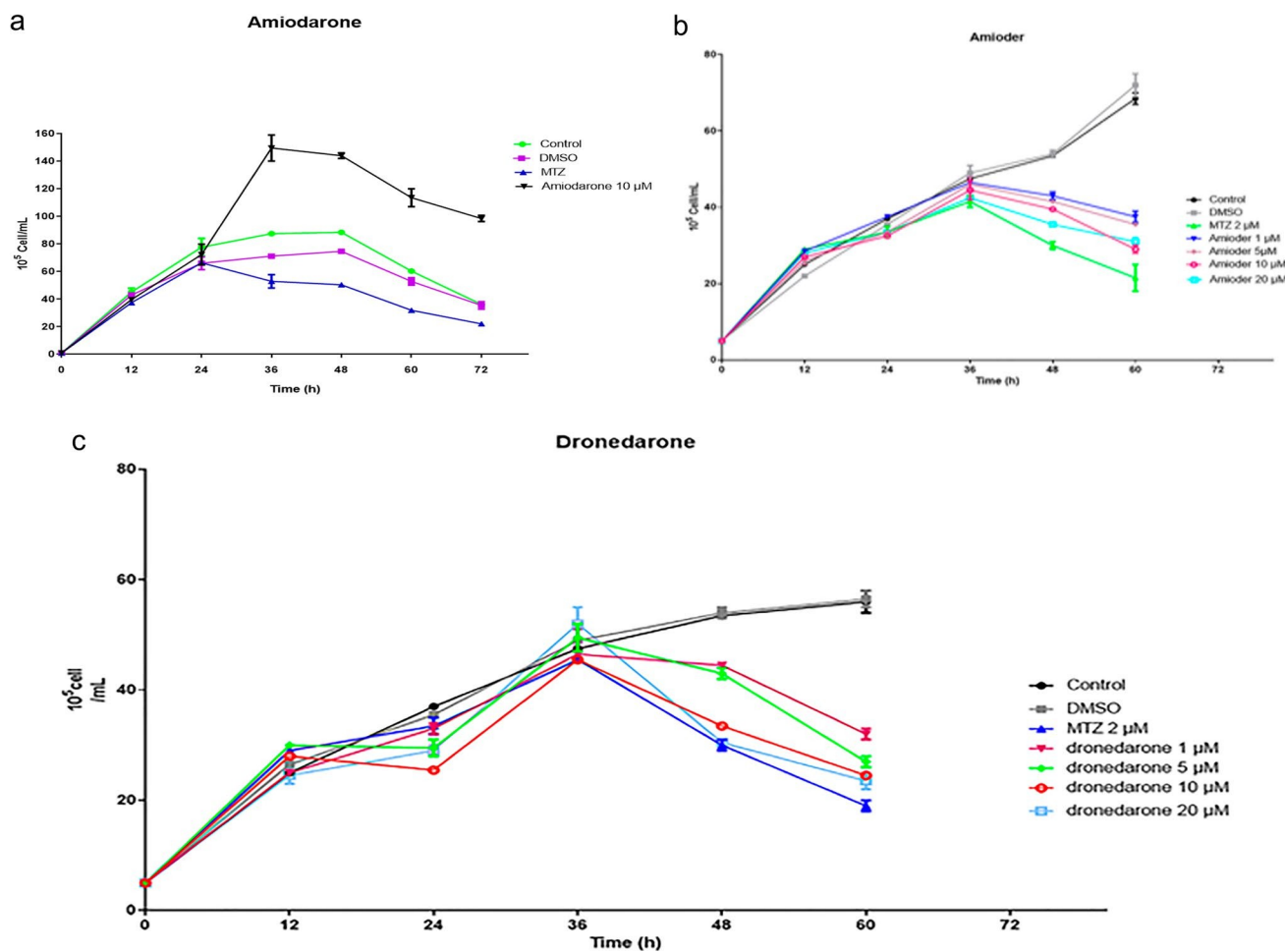
### Effect of the compounds on parasite growth

Parasites were grown to a density of  $1 \times 10^5$  cells/ml. After 24 h of parasite growth, the compounds were added at different concentrations (1, 5, 10, and 20  $\mu$ M) from stock

solutions previously diluted in dimethylsulfoxide (DMSO). The final concentration of DMSO in the growth medium never exceeded 1% (v/v). Cell densities were determined using flow cytometry.

### Fluorescence light microscopy

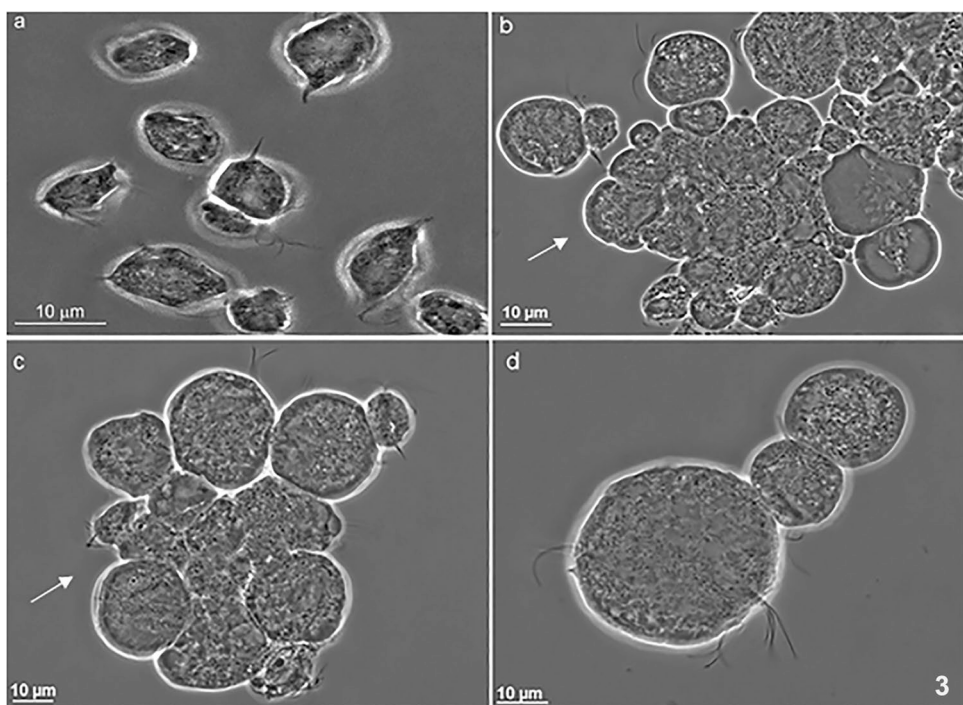
Cells were washed in PBS and fixed in 4% formaldehyde in phosphate buffer for 5 min and then placed on cover-slips previously coated with poly-L-lysine for 10 min, incubated for 5 min in 4',6-diamidino-2-phenylindole (DAPI, Molecular Probes, USA), and diluted at 1:500. The slides were washed, mounted with Prolong Gold Antifade Mountant (Thermo Fisher Scientific, USA), and observed



**Fig. 2** **a** *T. vaginalis* control, and treated with DMSO, 10  $\mu$ M of amiodarone, and metronidazol (MTZ). Arrows indicate the time of addition of the drugs (24 h). The number of trophozoites was determined using flow cytometry. **b** *T. vaginalis* control and treated with DMSO, 1, 5, 10, and 20  $\mu$ M amioder, and 2  $\mu$ M of metronidazole (MTZ). Arrows indicate the time of addition of the drugs (12 h). The number

of trophozoites was determined using flow cytometry. **c** *T. vaginalis* control, and treated with DMSO 1, 5, 10, and 20  $\mu$ M dronedarone, and 2  $\mu$ M of metronidazol (MTZ). Arrows indicate the time of addition of the drugs (12 h). The number of trophozoites was determined using flow cytometry

**Fig. 3** Phase contrast of *T. vaginalis* treated with 10 Mm amiodarone for 24 h. **a** Control with normal morphology; **b–d** cells treated with 10  $\mu$ M amiodarone for 24 h. Rounded and clustered cells (arrows) are observed

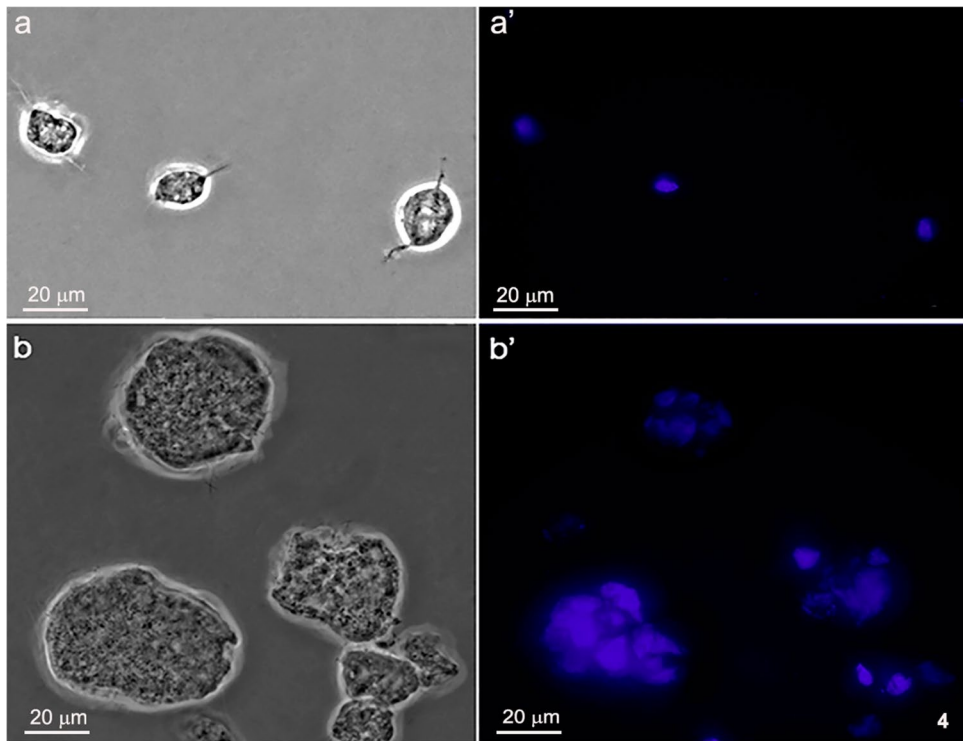


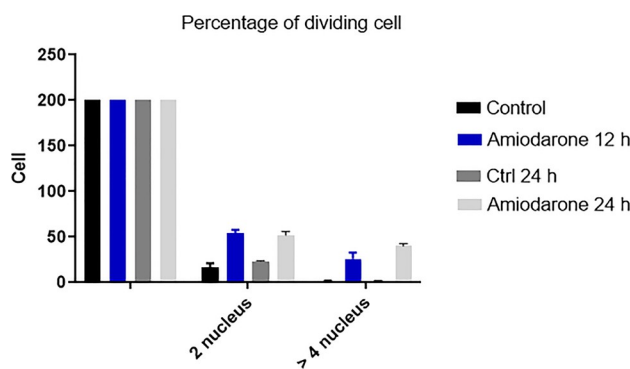
on fluorescence microscopes (Axiphot II, and Elyra PS.1 Zeiss, Germany). The images were acquired using a C5985-10 real-time CCD camera (Hamamatsu, Japan) and Elyra PS.1 (100  $\times$  objective and 405 nm laser). At least 200 cells were analyzed.

#### Immunofluorescence microscopy

Control and treated parasites were washed in warm PBS (pH 7.2) and adhered to glass coverslips with poly-L-lysine for 10 min at 37 °C. Cells were fixed for 1 h with

**Fig. 4** Fluorescence microscopy of *T. vaginalis* control (**a**) and after 24-h treatment with 10  $\mu$ M amiodarone (**b**). **a** Control (C) with pear-shaped morphology. **b** Large and multinucleated cells





**Fig. 5** Determination of the percentage of polynucleated parasites treated with 10  $\mu$ M amiodarone for 12 h (a) and 24 h (b). A high number of multinucleated cells are observed. Values were considered statistically significant when  $p \leq 0.05$

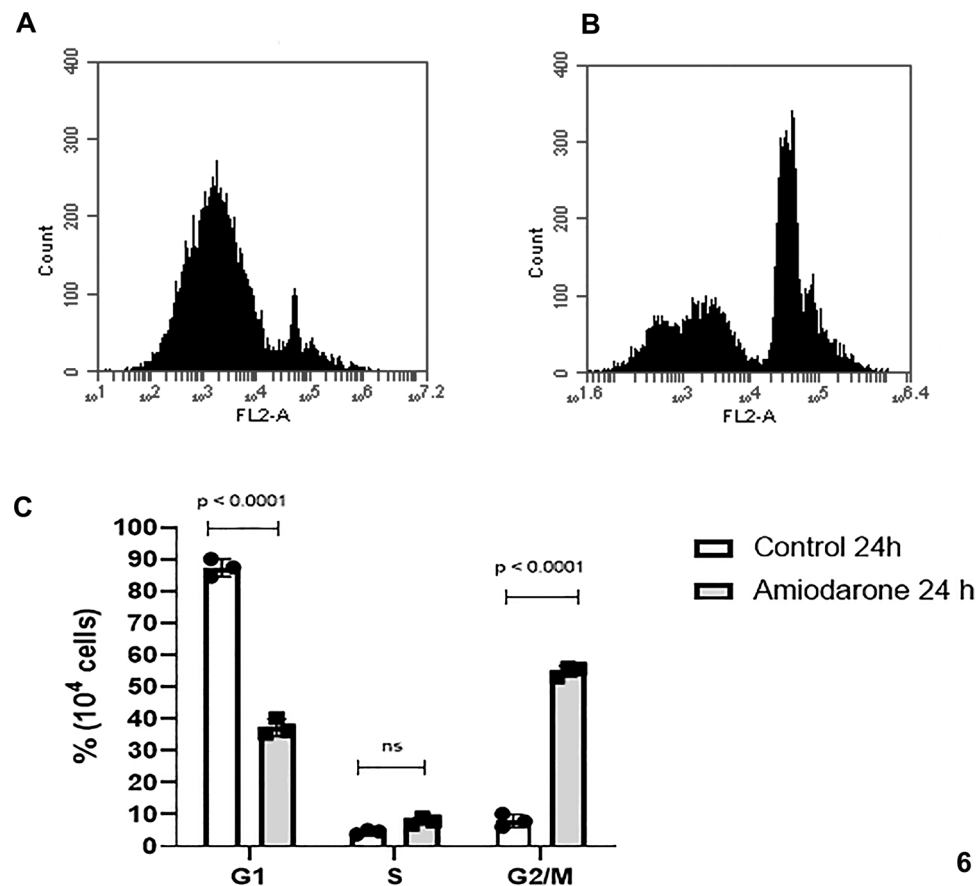
4% formaldehyde, permeabilized with 3% Nonidet (NP-40), and incubated with 50 mM NH<sub>4</sub>Cl and 3% of bovine serum albumin in PBS (PBS/ BSA) as blocking solutions; after each step mentioned above, the samples were washed with PBS (pH 8.0). Next, cells were labeled with polyclonal anti-acetyl-alpha tubulin antibody, washed with PBS (pH 8.0), and incubated for 1 h with an Alexa Fluor

647-conjugated anti-mouse IgG antibody (LifeTechnologies) diluted 1:100 in PBS/BSA and incubated for 30 min with Hoechst (Molecular Probes, USA). Finally, the slides were washed, mounted with Prolong Gold Antifade Mountant (Thermo Fisher Scientific, USA), and observed on a fluorescence microscope (Axiphot II, and Elyra PS.1 Zeiss, Germany).

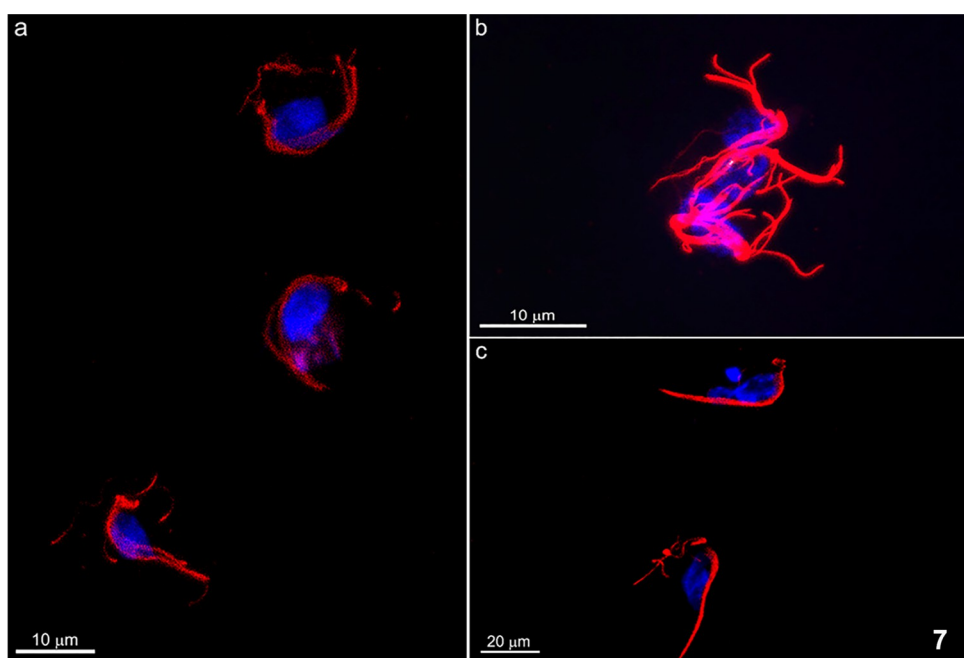
### TUNEL assay

The TUNEL (Terminal deoxynucleotidyltransferase mediated dUTP Nick-end labeling) method was performed using the “In Situ Cell Death Detection Kit” test (Roche Diagnostics, Meylan, France). The parasites were incubated with compounds for 12 h and 24 h, fixed at room temperature in 2% formaldehyde (v/v) in 0.1 M phosphate buffer (pH 7.2) and subsequently washed in PBS. Afterward, the cells were permeabilized with 3% Nonidet-40 (Sigma, St. Louis, MO, USA) for 40 min. Next, samples were soaked in 50 mM ammonium chloride and 3% bovine albumin (BSA) in PBS for 30 min. The labeling was performed according to the manufacturer’s instructions. Positive controls were treated with DNase I (Sigma, St. Louis, MO, USA) for 10 min at room temperature. Negative controls were labeled with the

**Fig. 6** Cell cycle of *T. vaginalis* treated with 10  $\mu$ M amiodarone for 24 h. Treated cells (b) present a reduction G1 phase compared to control cells (a)



**Fig. 7** *T. vaginalis* control (a) and treated with 10  $\mu$ M amiodarone for 24 h were observed by confocal fluorescence microscopy. The treated parasites are in mitosis, presenting duplicated cell structures (b) and multiple nuclei (c)



7

fluorochrome (kit container 2), which lacks the terminal transferase enzyme. The samples were observed on a fluorescence microscope (Axiphot II — Zeiss, Germany). Images were acquired using a C5985-10 real-time CCD camera (Hamamatsu, Japan).

#### Cell cycle analysis by flow cytometry

Parasites were fixed in 0.25% formaldehyde in PBS for 5 min, washed and resuspended in 70% cold ethanol for 30 min. Afterward, the cells were washed and resuspended in 600  $\mu$ l of PBS with 25  $\mu$ g/ml of PI (propidium iodate) and 100  $\mu$ g/ml of RNase A and incubated for 30 min at room temperature. The analysis was performed in a BD Accuri C6 flow cytometer (Becton Dickinson Bioscience BDB, San Jose, CA, USA) filter FL2 585/40 nm, and the data were analyzed using the BD Accuri C6 software.

#### Scanning electron microscopy (SEM)

Cells adhered to poly-L-lysine-coated (mol wt 300,000) glass coverslips were fixed in 2.5% glutaraldehyde in 0.1 M cacodylate buffer, pH 7.2 for 1 h. Next, the cells were washed in phosphate-buffered saline (PBS) and postfixed for 1 h in 1% OsO<sub>4</sub>, dehydrated in ethanol and critical point dried with liquid CO<sub>2</sub>. Finally, cells were coated with a 10-nm-thick layer of sputtered gold-palladium and observed using a Quanta X50 scanning electron microscope (FEI Company, The Netherlands).

#### Transmission electron microscopy (TEM)

Cells were fixed for 24 h with 2.5% glutaraldehyde in 0.1 M cacodylate buffer, pH 7.2. After fixation, the cells were washed in phosphate-buffered saline (PBS) and postfixed for 1 h in 1% OsO<sub>4</sub> containing 0.8% potassium ferrocyanide in 0.1 M cacodylate buffer (pH 7.2), washed in PBS, dehydrated in acetone, and embedded in Epon. Ultrathin sections were stained with uranyl acetate and lead citrate and observed using Hitachi HT 7800 transmission electron microscope.

#### Cytochemical localization of glycogen

The parasites were fixed and processed as described above for TEM. Subsequently, 90-nm sections were collected on gold grids and incubated for 20 min in a solution containing 1% periodic acid, washed, and incubated with 1% thiocarbamide in 10% acetic acid for 24 h. Successive washes were carried out in 10%, 5%, and 2% acetic acid for 10 min each. Afterward, they were incubated with 1% silver proteinate for 30 min, protected from light. Subsequently, successive washes in distilled water were performed for 10 min each, and the unstained sections were observed on a Hitachi HT 7800 transmission electron microscope.

#### Statistical analyses

Statistical analyses were performed using the GraphPad Prism 9 software using Student's *t*-test to determine the

percentage of polynucleated parasites and determine cell cycle phases of treated cells. Values were considered statistically significant when  $p \leq 0.05$ .

## Results

### Effect of the compounds on the parasite growth

Figure 2a–c shows the effect of amiodarone, dronedarone, and amioder on parasite growth. We did not observe cell growth inhibition when amiodarone was used (Fig. 2a), even with a concentration of 10  $\mu\text{M}$ . In contrast, there was an increase in the number of cells. MTZ, 2.5  $\mu\text{M}$  for 48 h, was used as a positive control and showed an inhibitory effect with an IC<sub>50</sub>. In the case of amioder (Fig. 2b), we observed a dose-dependent inhibitory effect with an IC<sub>50</sub> of 3.5  $\mu\text{M}$ . At 10  $\mu\text{M}$ , the inhibition was almost the same observed for 2  $\mu\text{M}$  MTZ. When dronedarone was used (Fig. 2c), a high inhibitory effect was also observed with an IC<sub>50</sub> of 11  $\mu\text{M}$ . It is important to point out that DMSO did not affect parasite growth at the concentration used to dilute the compounds.

### Light microscopy observation

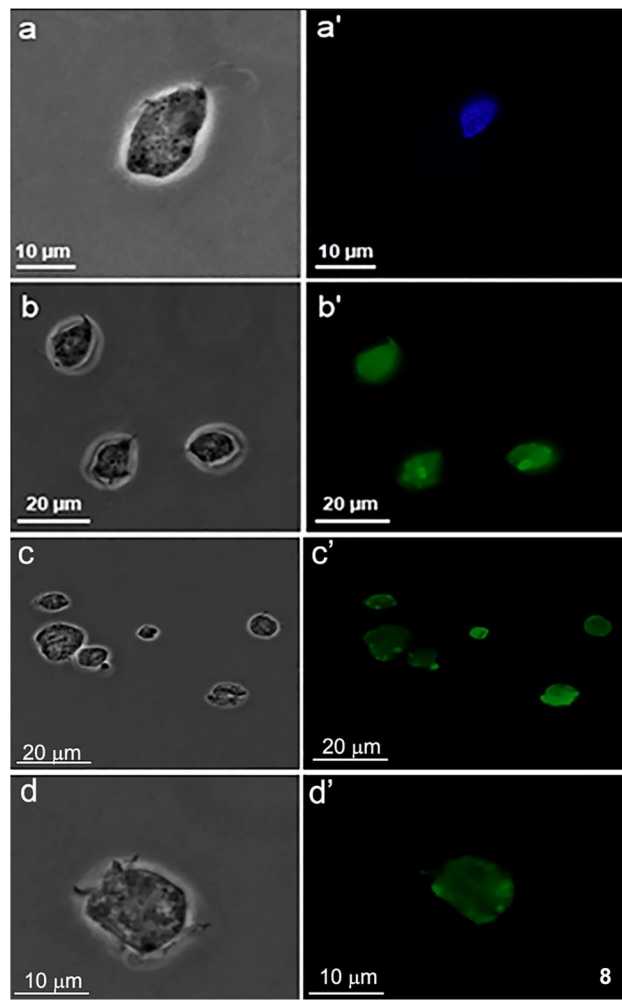
We noted that incubation of *T. vaginalis* with amiodarone increased the number of cells, as shown in Fig. 3. Untreated cultures showed free cells (Fig. 3a), whereas amiodarone-treated cultures (Fig. 3b–d) exhibited cell aggregates of various sizes after 24 h. Fluorescence microscopy analysis of the cells labeled with DAPI to identify the nuclei showed a significant increase in the number of free cells displaying two or more than four nuclei in free cells (Fig. 4a and b). Figure 5 shows the percentage of cells containing two or four nuclei. The percentage is significantly higher in cells incubated for 12 or 24 h in the presence of amiodarone. Figure 6 shows an analysis of the parasite's cell cycle in control and amiodarone-treated cells using flow cytometry. While most control cells are in the G1 phase, a marked increase of cells at the G2 phase is observed in treated cells. (Fig. 6a–c). Immunolocalization of acetylated tubulin of cells treated with amiodarone showed duplicated cytoskeletal structures (Fig. 7a and b) and cells with two nuclei (Fig. 7c).

The TUNEL assay (terminal deoxynucleotidyltransferase-mediated dUTP Nick-end labeling) was used, with adequate controls, to verify if amioder and dronedarone, which inhibited cell growth, killed the cells by an apoptosis-like mechanism. Positive controls were treated with labeled DNase I for 10 min at room temperature, while negative controls were labeled with the kit fluorochrome, which lacks the enzyme transferase terminus. Figure 8a shows control cells, where no staining was observed. Figure 8b shows a positive control using DNase-treated cells where staining was observed. In

addition, *T. vaginalis* treated with 10  $\mu\text{M}$  amioder (Fig. 8c) or dronedarone (Fig. 8d) for 24 h was also labeled, thus indicating induction of death by an apoptosis-like mechanism.

### Scanning electron microscopy observation

Figure 9a shows the general shape of untreated free cells as seen by scanning electron microscopy. *T. vaginalis* exhibited a normal pear-shaped morphology, with four anterior flagella and a recurrent flagellum attached to the cell body. Parasites incubated in the presence of amiodarone are in aggregates of various sizes, which may reach up to 80  $\mu\text{m}$  (Fig. 9b–d). Parasites incubated in the presence of amioder or dronedarone showed rounded and deformed cells (Fig. 10a–d). Small cell aggregates were observed in dronedarone treated cells (Fig. 10e and f).



**Fig. 8** TUNEL test — tagging for fragmented DNA. **a–a'** control cells. **b–b'** positive control treated with DNase I. Fluorescence microscopy of *T. vaginalis* after treatment with 10  $\mu\text{M}$  amioder (**c–c'**) and 10  $\mu\text{M}$  dronedarone (**d–d'**) for 24 h. DNA fragmentation was noted with the TUNEL technique

### Transmission electron microscopy (TEM) analysis

Figure 11a shows a TEM image of a control cell where the structures of *T. vaginalis* are observed as the nucleus, Golgi complex, hydrogenosomes, vacuoles, and glycogen particles distributed throughout the cell. Amiodarone-treated cells showed hydrogenosomes located mainly at the cell periphery (Fig. 11b and c), a greater number of glycogen aggregates, and nuclear chromatin distributed as dense structures (Fig. 11) rather than the more diffuse distribution observed in untreated cells (Fig. 11a). After treatment with amiodarone for 24 h, multinucleated (Fig. 12a) and aggregated cells (Fig. 12b) formed a tissue-like organization without cell fusion. The hydrogenosomes showed an elongated shape (Fig. 12c). In addition, cells exhibited large masses of glycogen particles (Fig. 12d), identified by Thiéry's cytochemical method, based on periodic acid oxidation followed by incubation with thiosemicarbazide and silver proteinate (Fig. 13a and b). TEM of dronedarone-treated cells showed hydrogenosomes exhibiting a light matrix compared to untreated cells (Fig. 14).

### Discussion

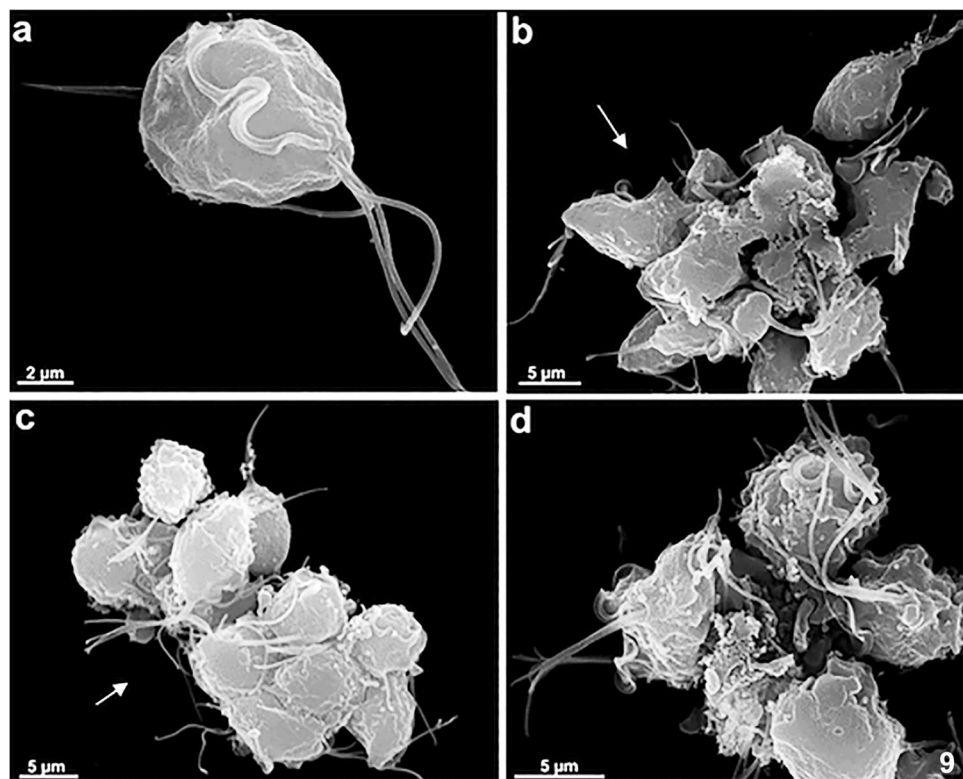
Metronidazole is the main compound of choice in the treatment of trichomoniasis and other parasitic infections caused by anaerobic microorganisms (Löfmark et al. 2010). Although

effective, it presents several problems, as pointed out in the “Introduction.” Therefore, several groups have undertaken studies to identify new active and less toxic compounds and new parasite drug targets. Examples include (a) azasterols that inhibit sterol methyltransferase involved in the sterol biosynthesis pathway (Rosa et al. 2011), (b) hydroxyquinuclidine, which inhibits squalene synthase (Rocha et al. 2014), (c) amiodarone and its derivatives (Amioder and Dronedarone) that in addition all induce a large increase in the intracellular  $\text{Ca}^{2+}$  concentration (Benaim et al. 2021).

Studies in other parasitic protozoa, especially in *T. cruzi* and *Leishmania*, indicate that compounds disrupting intracellular  $\text{Ca}^{2+}$  homeostasis can kill the parasites with low interference with the host cells. Indeed,  $\text{Ca}^{2+}$  plays a fundamental role in important signaling processes in eukaryotic cells, and the regulation of  $\text{Ca}^{2+}$  in parasites differs from what happens in mammalian cells (Benaim et al. 2020). In this context, amiodarone, commonly used as an antiarrhythmic drug presently used in humans, induced trypanocidal effects on *T. cruzi* (Adesse et al. 2011; Benaim et al. 2006, 2021; Sass et al. 2019; Veiga-Santos et al. 2012) and *Leishmania* (Benaim et al. 2014; Martinez-Sotillo et al. 2019; Serrano-Martín et al. 2009a, b), mainly due to disruption of calcium homeostasis. Furthermore, other amiodarone-related compounds, such as dronedarone and amiader, were effective (Benaim et al. 2021).

Our present observations show that amiodarone at the concentrations of 10  $\mu\text{M}$ , which significantly inhibited the

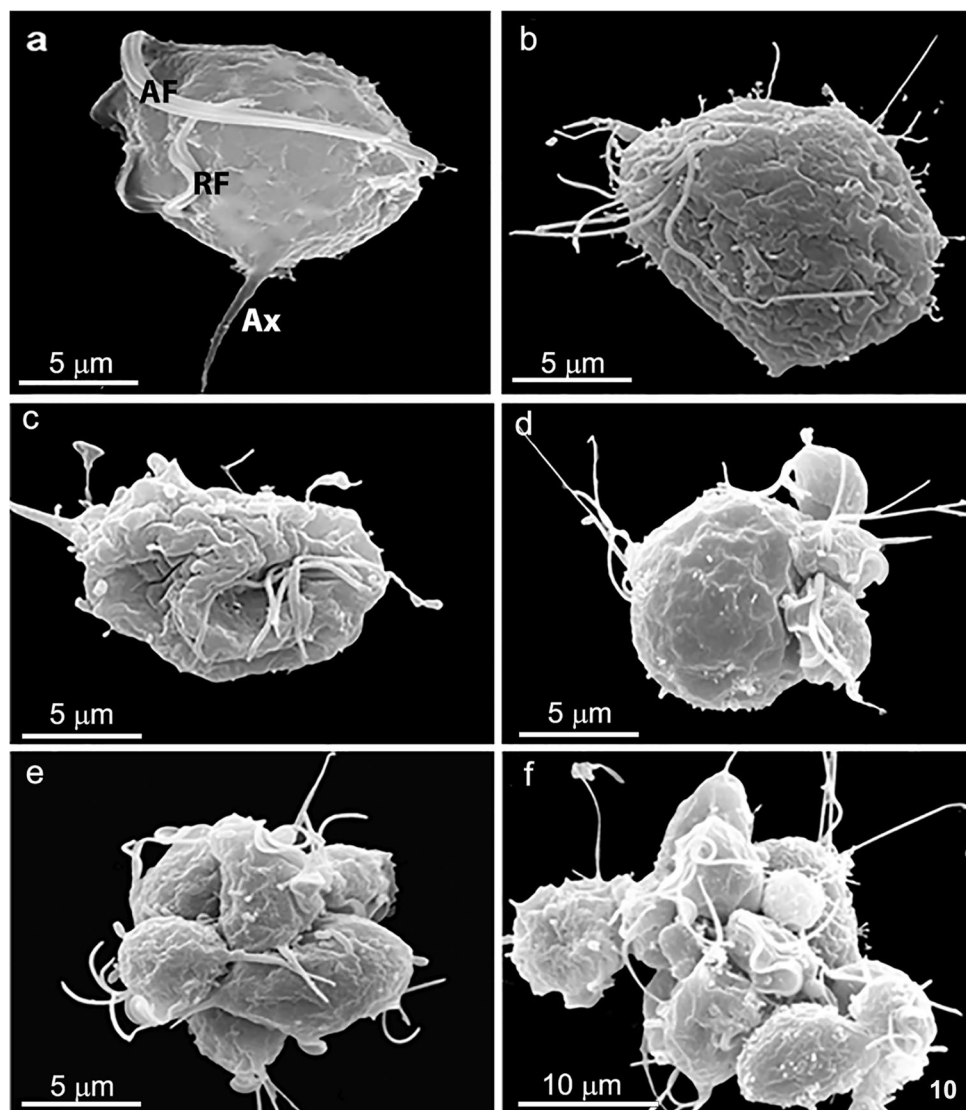
**Fig. 9** SEM of *T. vaginalis* control (a) and treated with 10  $\mu\text{M}$  amiodarone for 24 h (b–d). Wrinkled and clustered cells are observed (arrows) (b–d)



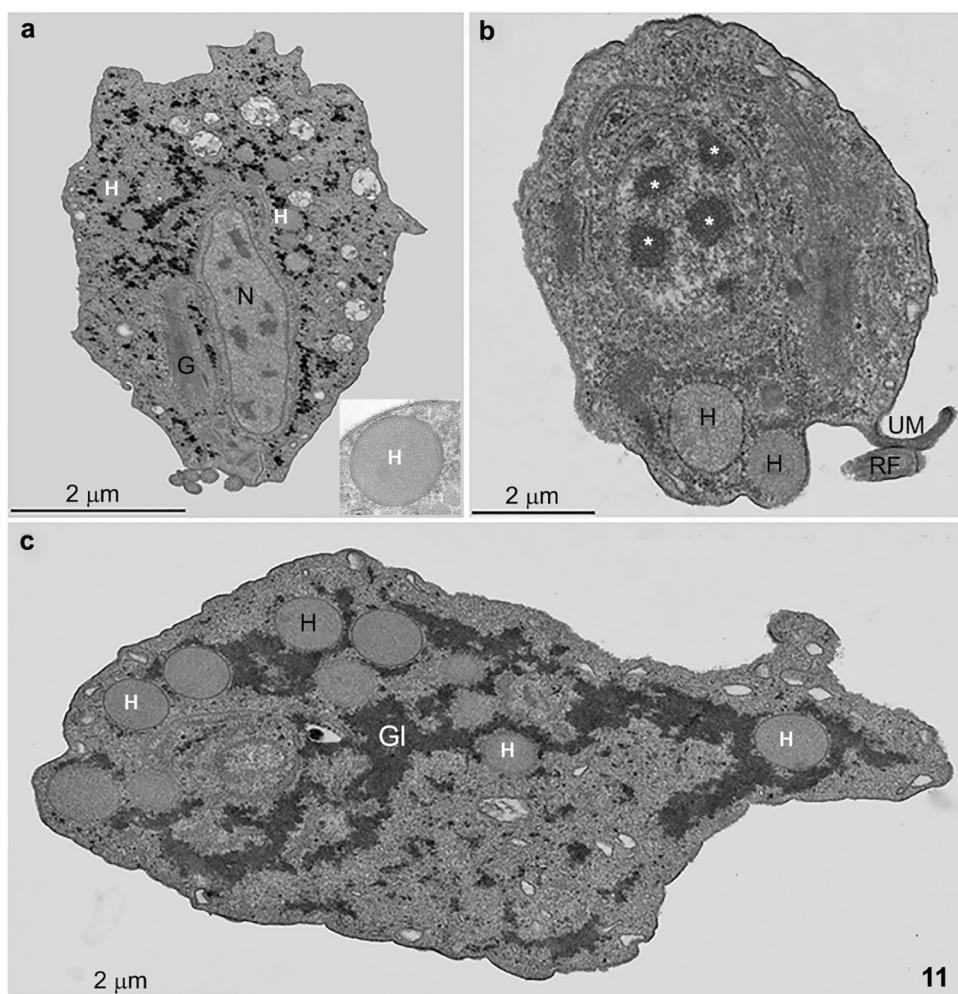
growth of *T. cruzi* (Adesse et al. 2011; Benaim et al. 2006, 2012; Sass et al. 2019; Veiga-Santos et al. 2012), and *Leishmania* (Benaim et al. 2014; Martinez-Sotillo et al. 2019; Serrano-Martín et al. 2009a, b), did not interfere with the growth of *T. vaginalis*. In contrast, it stimulated parasite growth and adhesion, forming large cell aggregates. Indeed, immunofluorescence microscopy of DAPI-labelled cells showed large multinucleated cells in amiodarone-treated trichomonads. Labeling for tubulin-containing structures also revealed the presence of multiple cytoskeletal structures within the same cell. Flow cell cytometry analysis also revealed many cells at the G2/M phase of the cell cycle. Thus, these observations indicate that amiodarone stimulated cell division but with blockage of cytokinesis, leading to the appearance of multinucleated cells. In addition, the drug also induced intense cell aggregation with the appearance of large masses containing cells close to each other, even resembling a tissue-like structure. Another significant

effect of amiodarone was the increase in dense cytoplasmic structures identified as glycogen particles using the periodic acid-thiosemicarbazide-silver proteinate technique classically used to identify such particles (Thiery 1967), thus indicating interference of the drug in the carbohydrate metabolism. Electron microscopy analysis also indicates changes in the structure of the hydrogenosome. These include their peripheral localization and display of an elongated shape compared to the round shape found in untreated cells. It is important to point out that trichomonads do not present mitochondria. Previous studies have shown that amiodarone and its derivatives target the mitochondria, leading to the collapse of the parasite's membrane electrochemical potential, not affecting the host cell, and inducing a rapid release of  $\text{Ca}^{2+}$  to the cytoplasm (Benaim et al. 2006). In other parasites, amiodarone also affects the acidocalcisomes, causing their alkalinization, simultaneously with the release of  $\text{Ca}^{2+}$  (Benaim et al. 2020). *T. vaginalis* is an amitochondrial

**Fig. 10** SEM of *T. vaginalis* control (a) and after treatment with 10  $\mu\text{M}$  amiodarone (b–c) and 10  $\mu\text{M}$  dronedarone (d–f) for 24 h. The parasites exhibit morphological changes with many deformed and rounded cells (b–c). Notice large cell aggregation (d–f)



**Fig. 11** TEM of *T. vaginalis* control (a) and after treatment with 10  $\mu$ M Amiodarone (b–d) 12 h (b–d). Control cells display normal morphology, rounded hydrogenosomes with a full dense matrix (inset), whereas, in treated cells, large masses of condensed chromatin are seen in the nucleus (b) (asterisks); and c cells with a large vacuole (V). d Glycogen granules (Gl, arrowheads) are concentrated around the hydrogenosomes (H). G, Golgi; UM, undulating membrane; RF, recurrent flagellum



11

cell where the hydrogenosomes are responsible for energy metabolism and accumulate  $\text{Ca}^{2+}$ , especially at its peripheral vacuole (Benchimol 2008). We did not find any information concerning intracellular  $\text{Ca}^{2+}$  regulation in *T. vaginalis*. However, neither mitochondria nor acidocalcisomes, characteristic of trypanosomatids and involved in  $\text{Ca}^{2+}$  homeostasis and the bioenergetics in kinetoplastidae, are present in trichomonads (Docampo and Moreno 2003).

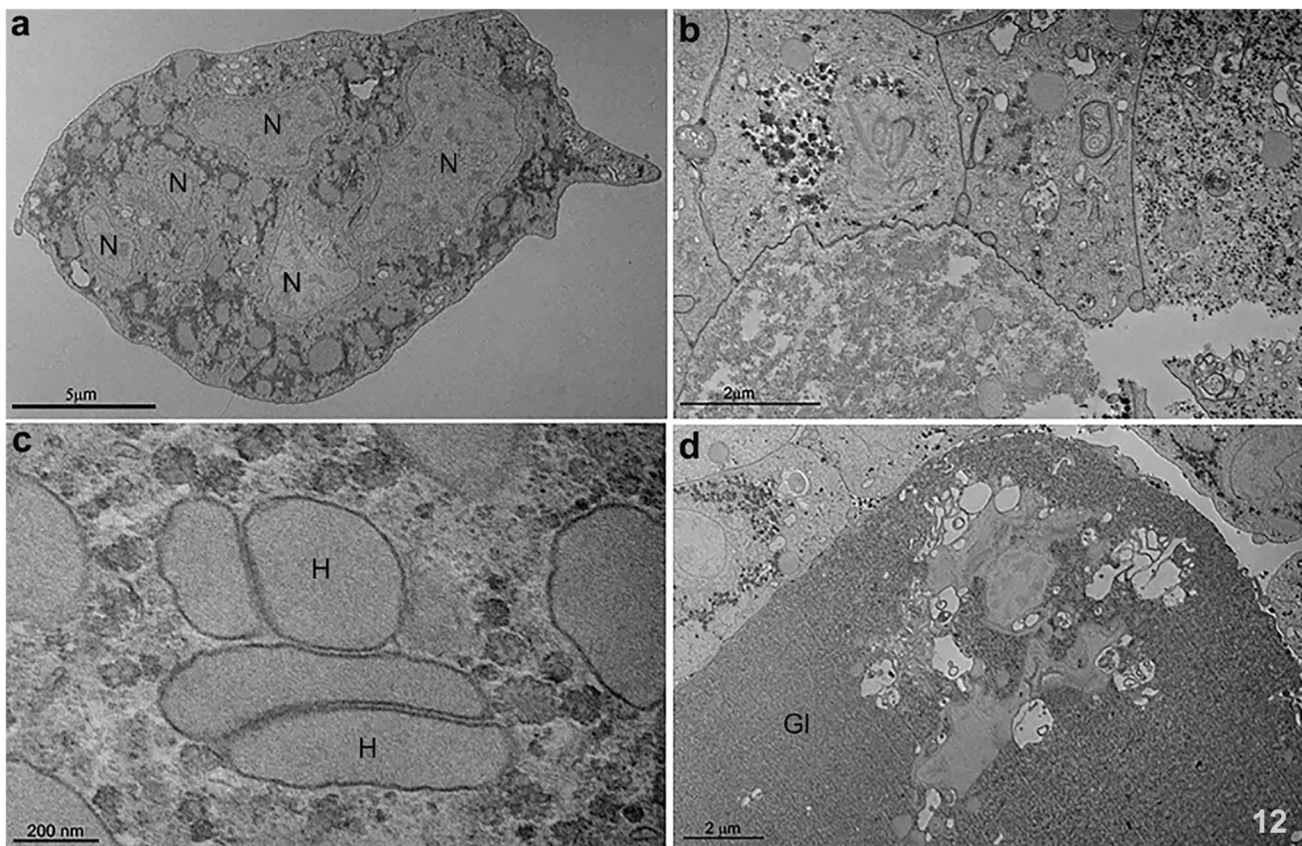
The hydrogenosome has been considered an important target for drugs (Land et al. 2001; Wright et al. 2010; Rosa et al. 2011). Our present observation suggests that in *T. vaginalis*, amiodarone may have multiple effects. Our results show that amioder and dronedarone inhibited parasite growth in dose-dependent with  $\text{IC}_{50}$  of 3.15 and 11  $\mu\text{M}$ , respectively (Fig. 2b and c). These values, especially for amioder, are relatively low and point to this chemical group as potential interest in the chemotherapy against trichomoniasis. It is important to point out that the  $\text{IC}_{50}$  for metronidazole, the drug presently used, is in the range of 2  $\mu\text{M}$ .

Amioder is a benzofuran derivative based on the structure of amiodarone. Recent studies have shown that this

compound can present an effective effect against epimastigotes and amastigotes multiplying within host cells (Pinto-Martinez et al. 2018). In these cells tested, amioder presents a mechanism of action similar to that of amiodarone, causing, in addition to the increase in  $[\text{Ca}^{2+}]$  and the collapse of the electrochemical potential of the mitochondrial membrane, the alkalization of the parasite's acidocalcisomes. A similar effect was found for amioder in *L. donovani* (Martinez-Sotillo et al. 2019).

Dronedarone was synthesized to attenuate the side effects of amiodarone. In vitro experiments against *T. cruzi* showed that dronedarone appears to be more effective than amiodarone (Benaim et al. 2012; Benaim and Paniz-Mondolfi 2012). In *T. cruzi*, dronedarone provoked an effect on mitochondria and acidocalcisomes; however, this effect was faster than with amiodarone, and as advantage having a lower  $\text{IC}_{50}$  (0.75  $\mu\text{M}$ ) when compared to amiodarone ( $\text{IC}_{50}$  2.7  $\mu\text{M}$ ) in amastigotes within mammalian host cells (Benaim et al. 2012; Benaim and Paniz-Mondolfi 2012).

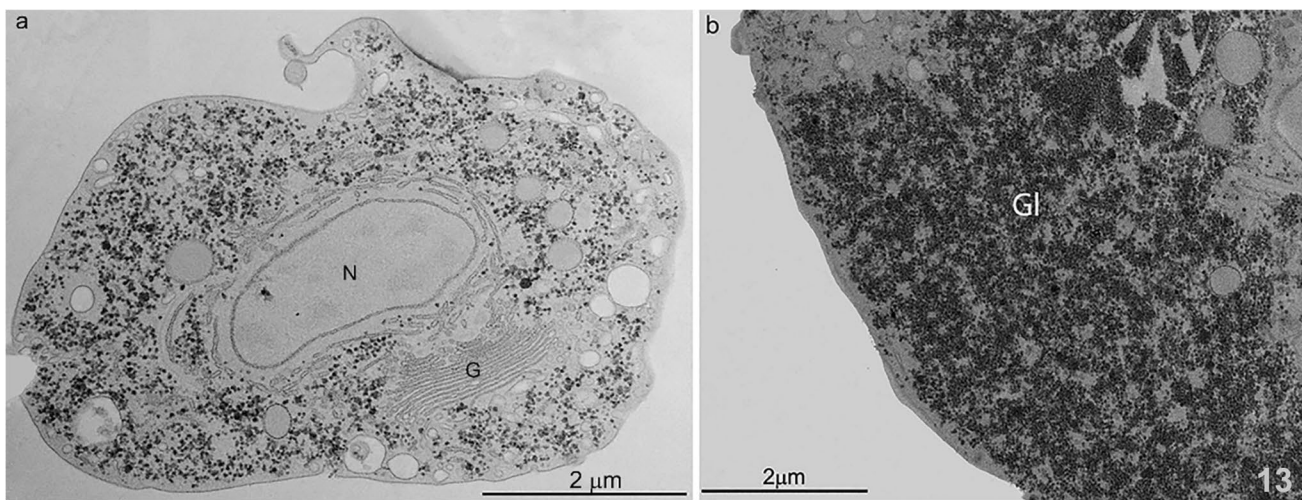
Both amiodarone and dronedarone were effective against *L. mexicana*, and the causative agent of cutaneous



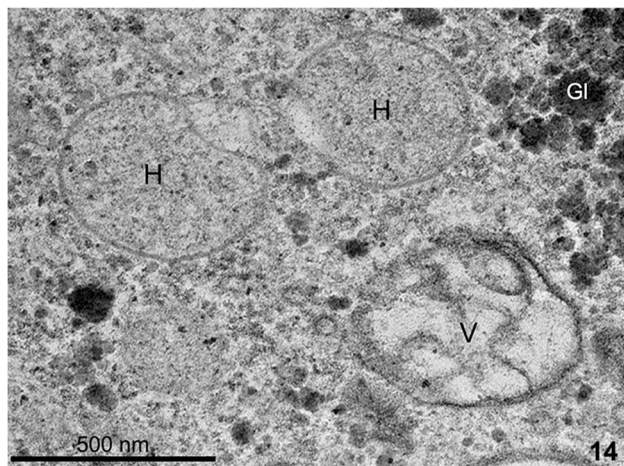
**Fig. 12** TEM of *T. vaginalis* treated with 10  $\mu$ M amiodarone for 24 h. **a** Multinucleated *T. vaginalis*; **b** clustered cells; **c** elongated hydrogenosomes (H); **d** glycogen (Gl). N, nucleus

leishmaniasis, demonstrating a very low IC<sub>50</sub> in amastigotes within macrophages Serrano-Martín et al. 2009a, b),

especially in the case of dronedarone where an IC<sub>50</sub> of 0.65 nM was reported (Benaim et al. 2014).



**Fig. 13** TEM after Thiéry technique for carbohydrate detection in *T. vaginalis* treated with 10  $\mu$ M amiodarone for 24 h. A positive reaction is observed in glycogen (Gl), Golgi (G), and cell membranes



**Fig. 14** *T. vaginalis* MET after treatment with the 10  $\mu\text{M}$  dronedarone compound for 24 h. Hydrogenosomes (H) present an altered morphology with their matrix emptied

In the present study, besides the antiproliferative effects of amioder and dronedarone, these compounds also caused morphological changes in *T. vaginalis*, such as deformed and aggregated cells and alterations in the hydrogenosomes. Furthermore, analyses performed by fluorescence microscopy showed positive staining for the TUNEL assay, indicating cell death by apoptosis when cells were treated with amioder and dronedarone.

Together, these observations indicate that the compounds used in this work should be considered promising for developing new drugs, aiming at alternative chemotherapy strategies for diseases caused by anaerobic protozoa, such as *T. vaginalis*.

**Acknowledgements** We would like to thank Dr. Elżbieta Hejchman, from the Department of Organic Chemistry, Faculty of Pharmacy, Medical University of Warsaw, Warsaw, for kindly providing Amioder. This work was supported by Conselho Nacional de Desenvolvimento Científico e Tecnológico (CNPq), Coordenação de Aperfeiçoamento de Pessoal de Nível Superior (CAPES), and Fundação Carlos Chagas Filho de Amparo à Pesquisa do Estado do Rio de Janeiro (FAPERJ).

## Declarations

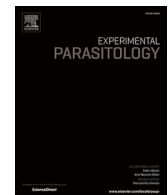
**Conflict of interest** The authors declare no competing interests.

## References

- Adesse D, Azzam EM, MeirellesMde N, Urbina JA, Garzoni LR (2011) Amiodarone inhibits *Trypanosoma cruzi* infection and promotes cardiac cell recovery with gap junction and cytoskeleton reassembly in vitro. *Antimicrob Agents Chemother* 55:203–210. <https://doi.org/10.1128/AAC.01129-10>
- Benaim G, Casanova P, Hernandez-Rodriguez V et al (2014) Dronedarone, an amiodarone analog with improved anti-*Leishmania mexicana* efficacy. *Antimicrob Agents Chemother* 58:2295–2303. <https://doi.org/10.1128/AAC.01240-13>
- Benaim G, Hernandez-Rodriguez V, Mujica-Gonzalez S, Plaza-Rojas L, Silva ML, Parra-Gimenez N, Garcia-Marchan Y, Paniz-Mondolfi A, Uzcanga G (2012) In vitro anti-*Trypanosoma cruzi* activity of dronedarone, a novel amiodarone derivative with an improved safety profile. *Antimicrob Agents Chemother* 56:3720–3725. <https://doi.org/10.1128/AAC.00207-12>
- Benaim G, Paniz-Mondolfi AE (2012) The emerging role of amiodarone and dronedarone in Chagas disease. *Nat Rev Cardiol* 9:605–609. <https://doi.org/10.1038/nrcardio.2012.108>
- Benaim G, Paniz-Mondolfi AE, Sordillo EM, Martinez-Sotillo N (2020) Disruption of intracellular calcium homeostasis as a therapeutic target against *Trypanosoma cruzi*. *Front Cell Infect Microbiol* 10:46. <https://doi.org/10.3389/fcimb.2020.00046>
- Benaim G, Paniz-Mondolfi AES, EM. (2021) Rationale for use of amiodarone and its derivatives for treatment of Chagas' disease and leishmaniasis. *Curr Pharmac Design* 27:1825–1833
- Benaim G, Sanders JM, Garcia-Marchán Y et al (2006) Amiodarone has intrinsic anti-*Trypanosoma cruzi* activity and acts synergistically with Posaconazole. *J Med Chem* 49:892–899. <https://doi.org/10.1021/jm050691f>
- Benchimol M (2008) The hydrogenosome peripheral vesicle: similarities with the endoplasmic reticulum. *Tissue Cell* 40:61–74. <https://doi.org/10.1016/j.tice.2007.09.006>
- Diamond LS (1957) The establishment of various trichomonads of animals and man in axenic cultures. *J Parasitol* 43:488–490
- Docampo R, Moreno SN (2003) Calcium regulation in protozoan parasites. *Curr Opin Microbiol* 6:359–364. [https://doi.org/10.1016/s1369-5274\(03\)0009](https://doi.org/10.1016/s1369-5274(03)0009)
- Edwards DI (1993) Nitroimidazole drugs-action and resistance mechanisms I. Mechanisms of Action. *J Antimicrob Chemother* 31:9–20. <https://doi.org/10.1093/jac/31.1.9>
- Hejchman E, Ostrowska K, Maciejewska D, Kossakowski J, Courchesne JE (2012) Synthesis and antifungal activity of derivatives of 2- and 3-benzofuran carboxylic acids. *J Pharmacol Exp Ther* 343:380–388. <https://doi.org/10.1124/jpet.112.196980>
- Land KM, Clemens DL, Johnson PJ (2001) Loss of multiple hydrogenosomal proteins associated with organelle metabolism and high-level drug resistance in *Trichomonads*. *Exp Parasitol* 97:102–110. <https://doi.org/10.1006/expt.2001.4587>
- Lewis DA (2010) Trichomoniasis. *Medicine* 38:291–293. <https://doi.org/10.1016/j.mpmed.2010.03.007>
- Löfmark S, Edlund C, Nord CE (2010) Metronidazole is still the drug of choice for treatment of anaerobic infections. *Clin Infect Dis* 50:S16–S23. <https://doi.org/10.1086/647939>
- Lossick JG (1990) Treatment of sexually transmitted vaginosis/vaginitis. *Clin Infect Dis* 6:S665–81. [https://doi.org/10.1093/clinids/12.Supplement\\_6.S665](https://doi.org/10.1093/clinids/12.Supplement_6.S665)
- Martinez-Sotillo N, Pinto-Martínez A, Hejchman E, Benaim G (2019) Antiproliferative effect of a benzofuran derivate based on the structure of amiodarone on *Leishmania donovani* affecting mitochondria, acidocalcisomes and intracellular  $\text{Ca}^{2+}$  homeostasis. *Parasitol Int* 70:112–117. <https://doi.org/10.1016/j.parint.2019.02.006>
- Mielczarek E, Blaszkowska J (2016) *Trichomonas vaginalis*: pathogenicity and potential role in human reproductive failure. *Infection* 44:447–458. <https://doi.org/10.1007/s15010-015-0860-0>
- Noël JC, Fayt I, Romero Munoz MR, Simon P, Engohan-Aloghe C (2010) High prevalence of high-risk human papillomavirus infection among women with *Trichomonas vaginalis* infection on monolayer cytology. *Arch Gynecol Obstet* 282:503–505. <https://doi.org/10.1007/s00404-009-1291-x>
- Oates JA, Wood AJ, Mason JW (1987) Amiodarone. *N Engl J Med* 316:455–466. <https://doi.org/10.1056/NEJM198702193160807>

- Paulish-Miller TE, Augostini P, Schuyler JA, Smith WL, Mordechai E, Adelson ME, Gygax SE, Secor WE, Hilbert DW (2014) *Trichomonas vaginalis* metronidazole resistance is associated with single nucleotide polymorphisms in the nitroreductase genes ntr4Tv and ntr6Tv. *Antimicrob Agents Chemother* 58:2938–2943. <https://doi.org/10.1128/AAC.02370-13>
- Petrin D, Delgaty K, Bhatt R, Garber G (1998) Clinical and microbiological aspects of *Trichomonas vaginalis*. *Clin Microbiol Rev* 11:300–317. <https://doi.org/10.1128/CMR.11.2.300>
- Pinto-Martinez A, Hernández-Rodríguez V, Rodríguez-Durán J, Hejchman E, Benaim G (2018) Anti-*Trypanosoma cruzi* action of a new benzofuran derivative based on amiodarone structure. *Exp Parasitol* 189:8–15. <https://doi.org/10.1016/j.exppara.2018.04.010>
- Rein MF (1990) Clinical manifestations of urogenital trichomoniasis in women. Springer, New York, pp 225–234. [https://doi.org/10.1007/978-1-4612-3224-7\\_11](https://doi.org/10.1007/978-1-4612-3224-7_11)
- Rocha DA, de Andrade RI, Urbina JA, de Souza W, Benchimol M (2014) The effect of 3-(biphenyl-4-yl)-3-hydroxyquinuclidine (BPQ-OH) and metronidazole on *Trichomonas vaginalis*: a comparative study. *Parasitol Res* 113:2185–2197. <https://doi.org/10.1007/s00436-014-3871-3>
- Rosa Ide A, Rocha DA, de Souza W, Urbina JA, Benchimol M (2011) Ultrastructural alterations induced by Δ(24(25))-sterol methyltransferase inhibitors on *Trichomonas vaginalis*. *FEMS Microbiol Lett* 315:72–78. <https://doi.org/10.1111/j.1574-6968.2010.02178.x>
- Sass G, Madigan RT, Joubert LM, Bozzi A, Sayed N, Wu JC, Stevens DA (2019) A combination of itraconazole and amiodarone is highly effective against *Trypanosoma cruzi* infection of human stem cell-derived cardiomyocytes. *Am J Trop Med Hyg* 101:383–391. <https://doi.org/10.4269/ajtmh.19-0023>
- Serrano-Martín X, García-Marchan Y, Fernandez A, Rodriguez N, Rojas H, Visbal G, Benaim G (2009a) Amiodarone destabilizes intracellular  $Ca^{2+}$  homeostasis and biosynthesis of sterols in *Leishmania mexicana*. *Antimicrob Agents Chemother* 53:1403–1410. <https://doi.org/10.1128/AAC.01215-08>
- Serrano-Martín X, Payares G, De Luca M, Martinez JC, Mendoza-León A, Benaim G (2009b) Amiodarone and miltefosine act synergistically against *Leishmania mexicana* and can induce parasitological cure in a murine model of cutaneous leishmaniasis. *Antimicrob Agents Chemother* 53:5108–5113. <https://doi.org/10.1128/AAC.00505-09>
- Sutcliffe S (2006) Plasma antibodies against *Trichomonas vaginalis* and subsequent risk of prostate cancer. *Cancer Epidemiol Biomark Prev* 15:939–945. <https://doi.org/10.1158/1055-9965.EPI-05-0781>
- Thiery JP (1967) Mise en évidence des polysaccharides sur coupes fines en microscopie électronique. *J Microsc* 6:987–1018
- Van Der Pol B, Kwok C, Pierre-Louis B, Rinaldi A, Salata RA, Chen PL, van de Wijgert J, Mmire F, Mugerwa R, Chipato T, Morrison CS (2008) *Trichomonas vaginalis* infection and human immunodeficiency virus acquisition in african women. *J Infect Dis* 197:548–554. <https://doi.org/10.1086/526496>
- Veiga-Santos P, Barrias ES, Santos JF, de Barros Moreira TL, de Carvalho TM, Urbina JA, de Souza W (2012) Effects of amiodarone and posaconazole on the growth and ultrastructure of *Trypanosoma cruzi*. *Int J Antimicrob Agents* 40:61–71. <https://doi.org/10.1016/j.ijantimicag.2012.03.009>
- World Health Organization (2012) Global incidence and prevalence of selected curable sexually transmitted infections – 2008. WHO Press, Geneva
- Wright JM, Webb RI, O'Donoghue P, Upcroft P, Upcroft JA (2010) Hydrogenosomes of laboratory-induced metronidazole-resistant *Trichomonas vaginalis* lines are downsized while those from clinically metronidazole-resistant isolates are not. *J Eukaryot Microbiol* 57:171–176. <https://doi.org/10.1111/j.1550-7408.2009.00455.x>

**Publisher's Note** Springer Nature remains neutral with regard to jurisdictional claims in published maps and institutional affiliations.



## Effects of SQ109 on *Trichomonas vaginalis*



Tatiana Guinancio de Souza <sup>a,b,c</sup>, Renato Granado <sup>b,c</sup>, Gustavo Benaim <sup>d,e</sup>,  
Wanderley de Souza <sup>b,c,f</sup>, Marlene Benchimol <sup>a,b,c,f,\*</sup>

<sup>a</sup> Universidade do Grande Rio, Duque de Caxias, Brazil

<sup>b</sup> Laboratório de Ultraestrutura Celular Hertha Meyer, Instituto de Biofísica Carlos Chagas Filho, Universidade Federal do Rio de Janeiro, Centro de Ciências da Saúde, Bloco G, Rio de Janeiro, Brazil

<sup>c</sup> Instituto Nacional de Ciência e Tecnologia and Centro Nacional de Biologia Estrutural e Bioimagem, Universidade Federal do Rio de Janeiro, Rio de Janeiro, Brazil

<sup>d</sup> Instituto de Estudios Avanzados, Caracas, Venezuela

<sup>e</sup> Instituto de Biología Experimental, Facultad de Ciencias, Universidad Central de Venezuela, Caracas, Venezuela

<sup>f</sup> CMABio da Escola Superior de Saúde, Universidade do Estado do Amazonas, Manaus, Amazonas, Brazil

### ARTICLE INFO

#### Keywords:

SQ109  
Chemotherapy  
Trichomoniasis  
Hydrogenosome

### ABSTRACT

*Trichomonas vaginalis* is a protozoan that causes human trichomoniasis, a sexually transmitted infection (STI) that affects approximately 278 million people worldwide. The current treatment for human trichomoniasis is based on 1-(2-hydroxyethyl)-2-methyl-5-nitroimidazole, known as Metronidazole (MTZ). Although effective in eliminating parasitic infection, MTZ is related to serious adverse effects and is not recommended during pregnancy. In addition, some strains are resistant to 5'-nitroimidazoles, prompting the development of alternative drugs for trichomoniasis. Here we show that SQ109 [N-adamantan-2-yl-N'-(E)-3,7-dimethyl-octa-2,6-dienyl]-ethane-1,2-diamine], a drug under development (antitubercular drug candidate that completed Phase IIb/III) for the treatment of tuberculosis, and previously tested in *Trypanosoma cruzi* and *Leishmania*. SQ109 inhibited *T. vaginalis* growth with an IC<sub>50</sub> of 3.15 μM. We used scanning and transmission electron microscopy to visualize the ultrastructural alterations induced by SQ109. The microscopy analysis showed morphological changes on the protozoan surface, where the cells became rounded with increasing surface projections. In addition, the hydrogenosomes increased their size and area occupied in the cell. Furthermore, the volume and a significant association of glycogen particles with the organelle were seen to be altered. A bioinformatics search was done about the compound to find its possible targets and mechanisms of action. Our observations identify SQ109 as a promising compound against *T. vaginalis* in vitro, suggesting its potential utility as an alternative chemotherapy for trichomoniasis.

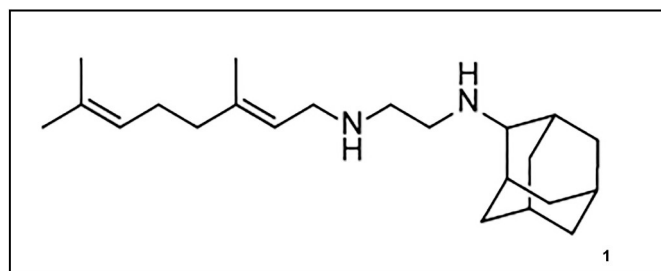
### 1. Introduction

*Trichomonas vaginalis* is a parasite that causes human trichomoniasis, the most prevalent non-viral sexually transmitted infection (STI) on the planet, affecting approximately 278 million people worldwide (Kreisel et al., 2021). Pregnant women with trichomoniasis may experience miscarriage, premature delivery, premature rupture of the placenta, and pregnancy disorders (Petrin et al., 1998). The disease can also cause infertility (Lewis, 2010; Mielczarek and Blaszkowska, 2016). In men, the disease is usually asymptomatic. However, in more severe cases, inflammation of the urethra and prostate may be present (Rein, 1990). *T. vaginalis* infection is also related to a predisposition to infections caused by the human immunodeficiency virus (HIV) (Van Der Pol et al.,

2008), human papillomavirus (HPV) (Noël et al., 2010), and cervical cancer of the uterus and prostate (Sutcliffe et al., 2006).

The current treatment for human trichomoniasis consists of 1-(2-hydroxyethyl)-2-methyl-5-nitroimidazole, the Metronidazole (MTZ). It is a compound widely used to treat infections caused by bacteria (*Helicobacter*, *Bacteroides*, and *Clostridium*) and anaerobic parasites such as *Trichomonas*, *Entamoeba*, and *Giardia* (Edwards, 1993). Although effective in eradicating most parasitic infections, this drug is related to serious adverse effects such as nausea, vomiting, dizziness, metallic taste, and insomnia (De Andrade Rosa et al., 2011). Furthermore, it can cause pancreatitis, leukopenia, and neuropathies in the most severe cases. Furthermore, this therapy cannot be used during pregnancy (Lossick, 1990). In addition to treatment toxicity, some strains have

\* Corresponding author. Ilha do Fundo CCS-Laboratório de Ultraestrutura Celular, Instituto de Biofísica Carlos Chagas Filho-Bloco G, CEP: 21941-902, Brazil.  
E-mail address: [marlenebenchimol@gmail.com](mailto:marlenebenchimol@gmail.com) (M. Benchimol).



**Fig. 1.** Molecular chemical structure of SQ109.

become resistant to 5'-nitroimidazoles (Paulish-Miller et al., 2014).

Several compounds have been tested against protozoa parasites; among them, Miltefosine, Methyl jasmonate,  $\Delta$ (24(25))-sterol methyltransferase inhibitors, 3-(biphenyl-4-yl)-3-hydroxyquinuclidine (BPQ-OH), Lactacystin, Zinc-clotrimazole complexes, Amiodarone, Amioder, Dronedarone, Thiosemicarbazones 49, 51, and 63, selenoisosters 74 and 75,  $\beta$ -Lapachone, BPQ-OH, drugs such as Ixazomib and carmaphycin-17, exhibited effects on the growth curve and affected cell organelles of the parasites (reviewed by Benchimol et al., 2022). In addition to nitroimidazoles, articles describe promising plant-based compounds with anti-trichomonial activity in vitro and in vivo (Hashemi et al., 2021). However, in-depth in vivo evaluation of the compounds and their clinical evaluation has not been performed. Other studies provided an overview of clinically evaluated systemic and topical treatment options for human trichomoniasis. Furthermore, they summarized the current knowledge on herbal, semisynthetic, and synthetic compounds evaluated for efficacy as anti-Trichomonas (Küng et al., 2019). Therefore, developing new alternative drugs for trichomoniasis is necessary and urgent. SQ109[N-adamantan-2-yl-N'-( $(E)$ -3,7-dimethyl-octa-2,6-dienyl)-ethane-1,2 diamine] is an antitubercular drug candidate that completed Phase IIb/III clinical (Baek et al., 2022). It has been reported that SQ109 has in vitro activity against the parasite *Trypanosoma cruzi*, the causative agent of Chagas disease (Veiga-Santos et al., 2015), where this compound inhibited the proliferation of intracellular amastigotes as well as epimastigotes forms. Furthermore, SQ109 provoked major ultrastructural changes in the three life cycle forms of this parasite (Veiga-Santos et al., 2015). SQ109 also inhibited the growth of the amastigote form of *Leishmania mexicana* with a good selectivity index. In addition, it was also active against promastigotes, disturbing  $\text{Ca}^{2+}$  homeostasis (García-García et al., 2016). SQ109 also effectively inhibited the proliferation of *Leishmania donovani*, the parasite responsible for visceral leishmaniasis, exhibiting a toxic effect on amastigotes. It was demonstrated that SQ109 induced rapid damage in acidocalcisomes (Gil et al., 2020), organelles involved in many important functions, including  $\text{Ca}^{2+}$  homeostasis. The compound significantly increased intracellular  $\text{Ca}^{2+}$  concentration, causing the parasite's death (Gil et al., 2020). The present work describes results obtained using SQ109 in *T. vaginalis*.

## 2. Materials and methods

### 2.1. Parasite and cell culture

The JT strain of *T. vaginalis* was isolated at the Hospital Universitário da Universidade Federal do Rio de Janeiro in Brazil. *T. vaginalis* organisms were grown in batch culture in the complex Trypticase-yeast extract-maltose (TYM) medium supplemented with 10% heat-inactivated horse serum (Diamond, 1957). The cells were grown for 24 h at 37 °C, corresponding to the logarithmic growth phase.

### 2.2. Compound

**Fig. 1a** shows the chemical structure of SQ109 [N-adamantan-2-yl-N'-( $(E)$ -3,7-dimethyl-octa-2,6-dienyl)-ethane-1,2 diamine]. This

compound was gently provided by Prof. Antonios Kolocouris from the Department of Pharmacy, University of Athens, Greece, and Prof. Eric Oldfield from the Department of Chemistry, the University of Illinois at Urbana-Champaign, USA).

### 2.3. Effect of the compound on parasite growth

Parasites were grown to a density of  $1 \times 10^5$  cells/ml. After 24 h of parasite growth, the compound SQ109 was added at different concentrations (1, 5, 10, and 20  $\mu\text{M}$ ) from stock solutions previously diluted in dimethylsulfoxide (DMSO). The final concentration of DMSO in the growth medium never exceeded 0.1% (v/v). Cell densities were determined using flow cytometry.

### 2.4. Viability assays

The viability of the cells was assessed using fluorescein diacetate (FDA) (Sigma, USA) and 7-Aminoactinomycin (7-AAD) (Sigma, USA). At different time and drug concentration points, the cells were stained with 10  $\mu\text{g}/\text{ml}$  of FDA and 0.25  $\mu\text{g}/\text{ml}$  of 7-AAD at 37 °C for 5 min for fluorescence analysis. Viable cells were seen in green color with FDA, whereas dead cells fluoresced with an orange color with 7-AAD. The images were acquired using a fluorescence microscope (Axiphot II – Zeiss, Germany).

### 2.5. Immunofluorescence microscopy

Control and treated parasites were washed in warm PBS (pH 7.2) and adhered to glass coverslips with Poly-L-lysine for 10 min at 37 °C. Cells were fixed for 1 h with 4% formaldehyde, permeabilized with 3% Nonidet (NP-40), and incubated with 50 mM NH<sub>4</sub>Cl and 3% of bovine serum albumin in PBS (PBS/BSA) as blocking solutions; after each step mentioned above, the samples were washed with PBS (pH 8.0). *Trichomonas* was incubated for 30 min with Hoescht (Molecular Probes, USA) diluted at 1:200 (Middlej et al., 2019). Finally, the slides were washed, mounted with Prolong Gold Antifade Mountant (Thermo Fisher Scientific, USA), and observed in a fluorescence microscope (Axiphot II and Elyra PS.1 Zeiss, Germany).

### 2.6. Hydrogenosomal membrane potential

Control and treated *T. vaginalis* were incubated in 5  $\mu\text{g}/\text{ml}$  JC-1 dye at 37 °C for 15 min. JC-1 can selectively enter into hydrogenosomes and, according to the magnitude of the membrane potential, change its oligomeric state, thereby allowing it to fluoresce. The red: green fluorescence intensity ratio for JC-1 depends on the hydrogenosomal membrane potential (Vilela et al., 2010), where a higher ratio indicates a higher hydrogenosomal membrane potential. CCCP (carbonyl cyanide 3-chlorophenylhydrazone), a mitochondrial membrane potential disrupter, was used as a positive control to confirm the JC-1 response. A 1  $\mu\text{L}$  aliquot of a 50 mM CCCP solution was added to the cells at 37 °C for 5 min in a final volume of 1 mL. The images were acquired using a fluorescence microscope (Axiphot II – Zeiss, Germany).

### 2.7. Scanning electron microscopy (SEM)

Cells adhered to Poly-L-lysine-coated (mol wt 300,000) glass coverslips were fixed in 2.5% glutaraldehyde in 0.1 M cacodylate buffer, pH 7.2 for 1 h. Next, the cells were washed in phosphate-buffered saline (PBS) and postfixed for 1 h in 1% OsO<sub>4</sub>, dehydrated in ethanol, and critical point dried with liquid CO<sub>2</sub>. Finally, cells were coated with a 10 nm-thick layer of sputtered gold-palladium and observed using a Quanta X50 scanning electron microscope (FEI Company, The Netherlands).

## 2.8. Transmission electron microscopy (TEM)

Cells were fixed for 24 h with 2.5% glutaraldehyde in 0.1 M cacodylate buffer, pH 7.2. After fixation, the cells were washed in phosphate-buffered saline (PBS) and postfixed for 1 h in 1% OsO<sub>4</sub> containing 0.8% potassium ferrocyanide in 0.1 M cacodylate buffer (pH 7.2), washed in PBS, dehydrated in acetone, and embedded in Epon. Ultrathin sections were stained with uranyl acetate and lead citrate and observed using the Hitachi HT 7800 transmission electron microscope.

## 2.9. Morphometry

For morphometrical analyses, at least 20 randomly selected cell images were obtained with the same magnification, where it was better to distinguish the hydrogenosomes from control and drug-treated cells. The ImageJ software (<https://imagej.nih.gov/ij/>) was used to delineate and measure the surface area and volume of the whole cell and each hydrogenosome observed.

## 2.10. Cytochemical localization of glycogen

The parasites were fixed and processed as described above for TEM. Subsequently, 90 nm sections were collected on gold grids, incubated for 20 min in a solution containing 1% periodic acid, washed, and incubated with 1% thiourea in 10% acetic acid for 24 h. Successive washes were carried out in 10%, 5%, and 2% acetic acid for 10 min each. Afterward, they were incubated with 1% silver proteinate for 30 min, protected from light. Subsequently, successive washes in distilled water were performed for 10 min each, and the unstained sections were observed in a Hitachi HT 7800 transmission electron microscope.

## 2.11. Statistical analyses

Statistical analyses were performed using the GraphPad Prism 9 software using Student's t-test to determine the morphometry and stereology of hydrogenosomes. Values were considered statistically significant when  $p \leq 0.01$ .

## 2.12. Prediction of molecular interactions

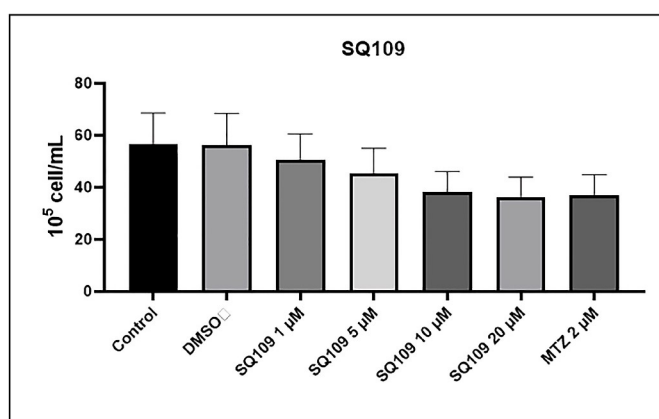
For the molecular interaction investigation and prediction phase, molecular docking studies involving the *T. vaginalis* ferredoxin protein (TvFd), PDB code: 1L5P 2.20 Å ([Crossnoe et al., 2002](#)), and compounds MTZ and SQ109 were performed.

## 2.13. Molecular docking simulation

For the molecular docking step, the PYRX v.0.8 program was used, which brings together a large set of other programs for performing the docking processes (AutoDock 4 and AutoDock Vina), input file generation (AutoDock Tools), programming/scripting language (Python), graphical interface (wxPython) and others such as Open Babel and matplotlib ([Dallakyan and Olson, 2015](#)).

Initially, a redocking process was performed, a coupling between the TvFd protein used as a template and its natural ligand, the [2Fe–2S] complex, to identify the energies of the interactions and the grid box coordinates and size based on information from its interactions with [2Fe–2S] complex deposited on PDB Bank ([Crossnoe et al., 2002](#)). Next, the docking step was performed between the TvFd crystal and the compounds SQ109 and MTZ (drug of choice for the treatment of trichomoniasis), as well as the [2Fe–2S] complex (natural ligand), being the SMILES format of the compounds converted into.pdb format (required for molecular docking analyses) with the aid of the SMILES online translator and NCI/CADD Group structure file generator (<https://cactus.nci.nih.gov/translate/>).

The protein and compounds (ligands) were optimized by the free



**Fig. 2. (a)** *Trichomonas vaginalis* control and treated with DMSO, 1, 5, 10, 20  $\mu\text{M}$  SQ109, and 2  $\mu\text{M}$  of metronidazole (MTZ). Arrow indicates the time of addition of the drug (12 h). The number of trophozoites was determined using flow cytometry.

APBS &PDB2PQR server (<https://server.poissonboltzmann.org/>) for correct protonation, simulating a pH 6.5 environment ([Crossnoe et al., 2002](#)).

In the PYRX interface, the grid box was built to cover the region of the active site residues that acts with the natural ligand [2Fe–2S] at coordinates x = 12, y = 50, and z = 2; size 20 × 20 × 20. On the other hand, the docking simulation was performed at an exhaustivity equal to 100, generating 10 poses for each compound, including the natural ligand.

The residues of the target active site interacting with the ligands were identified by the BIOVIA Discovery Studio 2021 program ([Jurrus et al., 2018](#)). UCSF Chimera (developed by the Resource for Bio-computing, Visualization, and Informatics at the University of California, San Francisco, with NIH support P41-GM103311) and PyMOL (Molecular Graphics System, version 2.0 Schrödinger, LLC) was used to generate the images and files in.pdb extension.

## 3. Results and discussion

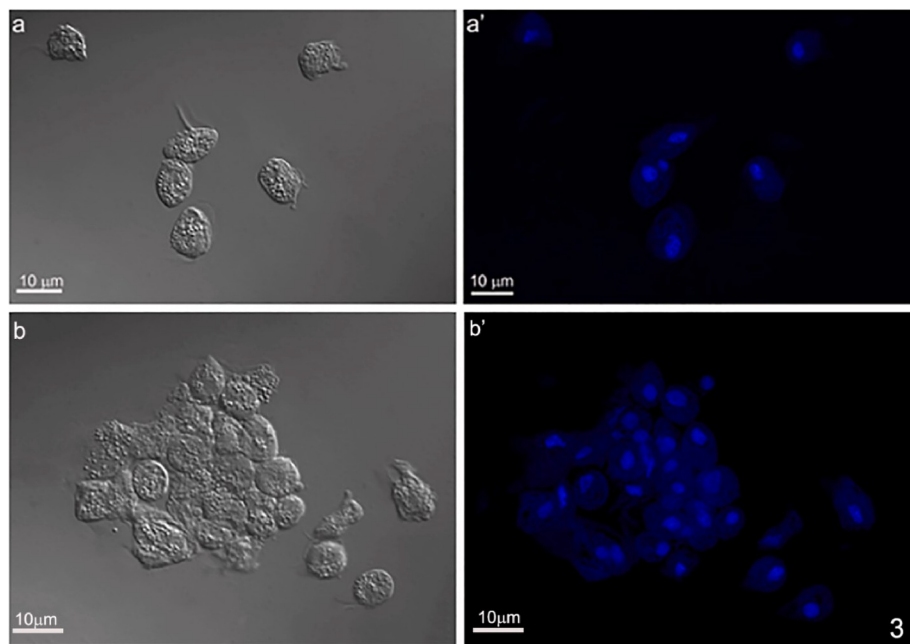
### 3.1. Effect of the compounds on the parasite growth

**Fig. 2** shows the effect of various SQ109 concentrations on the growth of *T. vaginalis*. MTZ, which was used as a positive control, showed a significant inhibitory effect with an IC<sub>50</sub> of 2.5  $\mu\text{M}$  after 48 hs. We observed a dose-dependent inhibitory effect of SQ109 with an IC<sub>50</sub> of 3.15  $\mu\text{M}$ . At 10  $\mu\text{M}$ , the inhibition was almost the same as at 2  $\mu\text{M}$  MTZ. It is important to note that DMSO did not affect parasite growth at the concentration used to dilute the compounds.

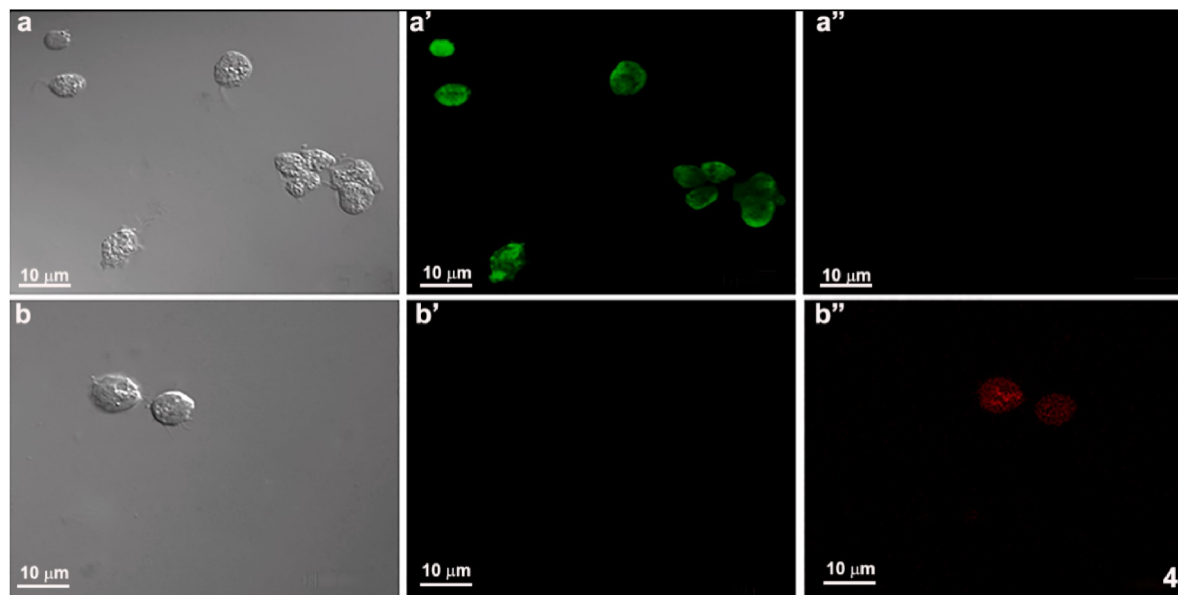
Previous studies showed higher activity against *T. cruzi*, with an IC<sub>50</sub> of 0.5 and 4.6  $\mu\text{M}$  observed for amastigotes and epimastigotes, respectively ([Veiga-Santos et al., 2015](#)). In the case of intracellular amastigotes of *Leishmania donovani*, an IC<sub>50</sub> of 11 nM was found ([Gil et al., 2020](#)). Studies on *Mycobacterium tuberculosis* showed inhibitory activity with IC<sub>50</sub> with 26  $\mu\text{M}$  ([Protopopova et al., 2005](#)). In addition, the cytotoxic tests looking for red cell hemolysis point to EC<sub>50</sub> higher than 80  $\mu\text{M}$  ([Veiga-Santos et al., 2015](#)) and CC<sub>50</sub> of 2,5  $\mu\text{M}$  using LLCMK<sub>2</sub> cells ([Veiga-Santos et al., 2015](#)). These values point to significant potential for using SQ109 as a chemotherapeutic agent. In addition, it is important to point out that SQ109 is an antitubercular drug candidate that has completed Clinical Phase IIb/III ([Baek et al., 2022](#)).

### 3.2. Microscopy observations

Light microscopy observations indicate that SQ109 induces *T. vaginalis* aggregation. We used DAPI-labeled fluorescence microscopy



**Fig. 3.** *Trichomonas vaginalis* was observed in confocal fluorescence microscopy. Control (a-a') was treated with 10  $\mu$ M SQ109 for 24 h and labeled with DAPI. Notice clustered cells after drug treatment (b-b').



**Fig. 4.** Comparison between control *T. vaginalis* trophozoites and SQ109-treated cells labeled with 7-AAD and FDA. DIC (a-b). Fluorescence microscopy using 7-AAD  $\times$  FDA labeling shows that the control parasites (a) are labeled with FDA (a') but not with PI (a''). In contrast, SQ109-treated parasites (b) are FDA negative (b') and 7-AAD-positive (b'').

analysis to identify the nucleus to show that the aggregated cells display individual nuclei (Fig. 3).

### 3.3. Cell viability using 7-AAD–FDA labeling

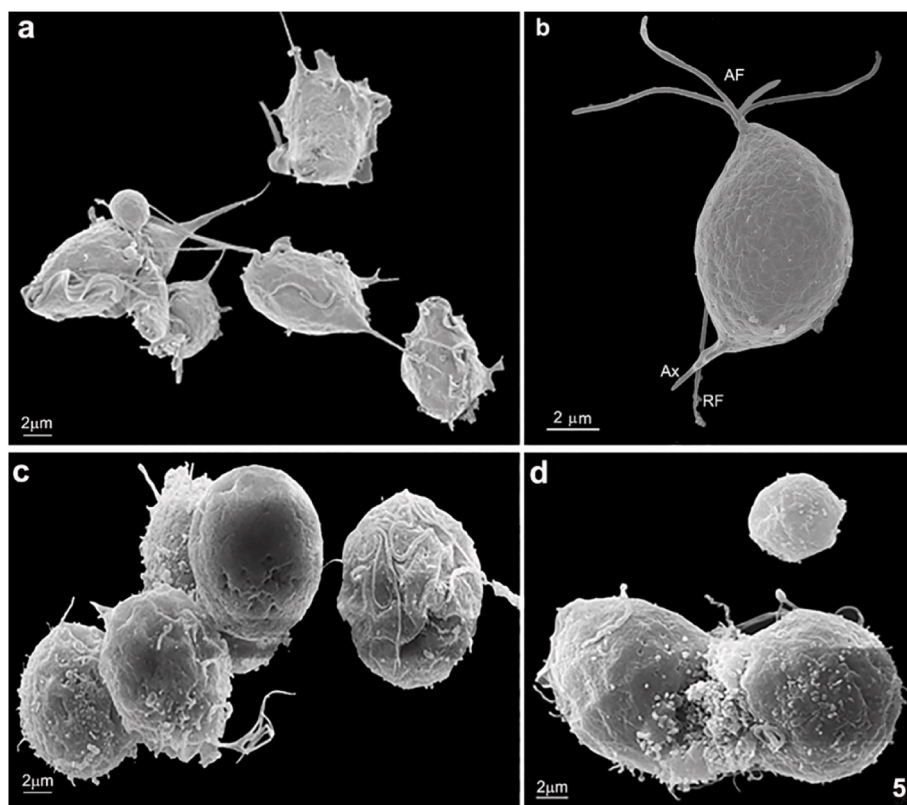
To verify whether SQ109 treatment reduces cell viability, 7-AAD and FDA were simultaneously used. Cells with intact cell membranes, which are assumed viable, retain the FDA dye and fluoresce in green. On the other hand, cells with a nonfunctional or compromised membrane incorporate the 7-AAD dye and are assumed as nonviable. As seen in Fig. 4, the control cells presented only green fluorescence, excluding 7-AAD labeling. In contrast, SQ109-treated *T. vaginalis* displayed 7-AAD

staining.

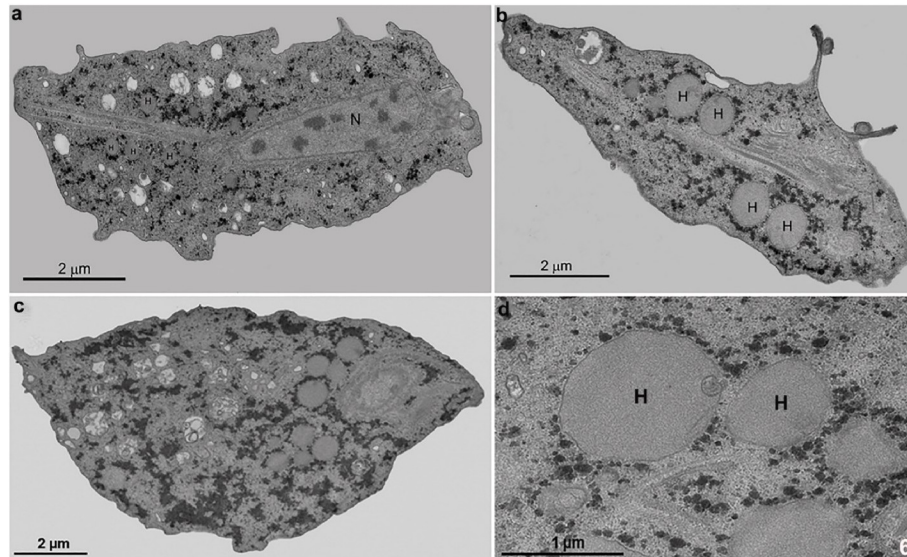
Scanning electron microscopy showed that SQ109-treated *T. vaginalis* displayed a rounded shape, in contrast to the characteristic pear-shaped control parasites (*T. vaginalis*) (Fig. 5). In addition, drug-treated parasites showed changes on the cell surface with much more protrusions.

Transmission electron microscopy (TEM) analysis revealed a significant increase in the number and size of the hydrogenosomes in SQ109-treated cells (Figs. 6 and 9).

To check this observation, we conducted a morphometrical analysis using a statistically significant sample where at least twenty cells were examined in control and drug-treated cells. As a result, the mean



**Fig. 5.** Scanning electron microscopy of *Trichomonas vaginalis* control (a–b) and treated with 10  $\mu\text{M}$  SQ109 for 24 h (c–d). Note the rounded cells and morphological changes. AF, anterior flagella; RF, recurrent flagellum; Ax, axostyle.

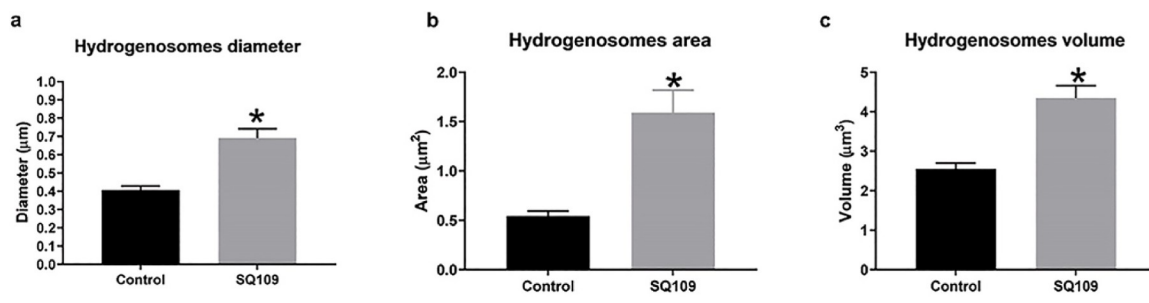


**Fig. 6.** Transmission electron microscopy of *Trichomonas vaginalis* treated with 10  $\mu\text{M}$  SQ109 for 24 h. Control (a) and (b–c–d) were treated with 10  $\mu\text{M}$  SQ109. Note the increase in hydrogenosome numbers, morphological changes, and accumulation of glycogen granules (GL). H, hydrogenosome.

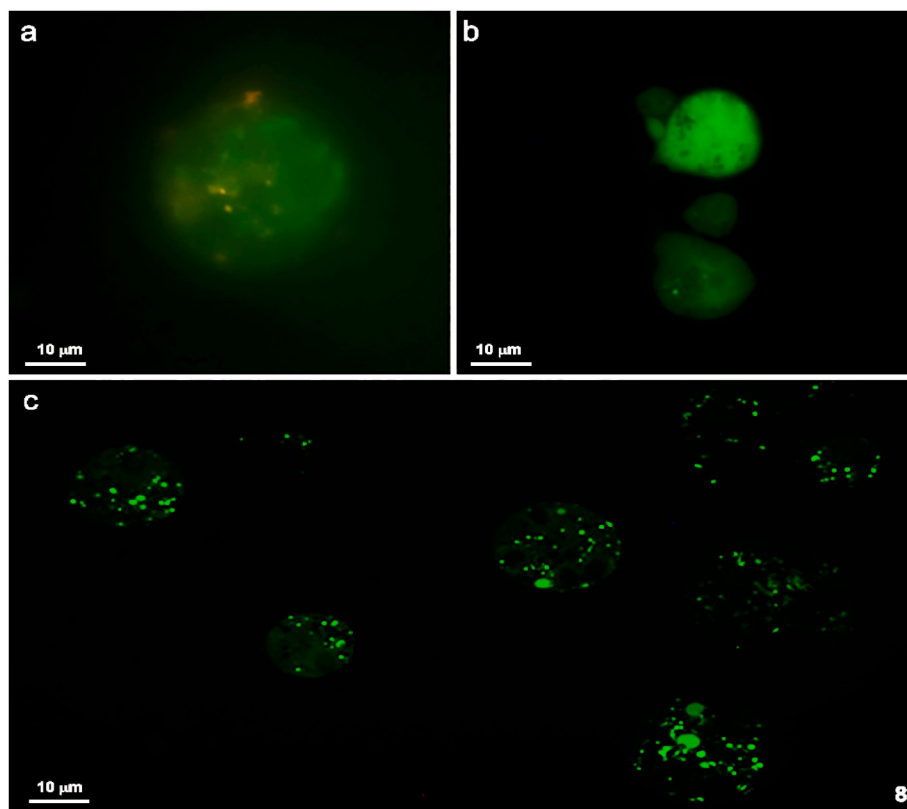
diameter of control and treated cells was 400 nm and 700 nm, respectively, indicating a significant increase in the organelle's size. Furthermore, concerning the area occupied in the cell by the hydrogenosomes, we observed mean values of 0.5 and 1.5  $\mu\text{m}^2$  for control and treated cells, respectively. In addition, concerning the volume occupied by the hydrogenosomes, we obtained mean values of 2.6  $\mu\text{m}^3$  (control cells) and 4.4  $\mu\text{m}^3$  (treated cells) (Fig. 7). Together, these observations point towards a significant organelle response to SQ109.

### 3.4. Hydrogenosome viability using JC-1

A viability test using the fluorescent stain JC-1 was performed on both untreated and SQ109-treated *T. vaginalis* (Fig. 8) to search for possible SQ109-induced changes in the hydrogenosomal membrane potential. JC-1 is a fluorescent lipophilic and cationic probe to determine the mitochondrial membrane potential (Reers et al., 1991). Previous works reported that healthy mitochondria appear in red, while a



**Fig. 7.** Morphometric analysis of hydrogenosomes (a–c). There is a significant increase in the mean diameter of the hydrogenosomes, the mean surface area, and the mean volume they occupy in drug-treated cells.



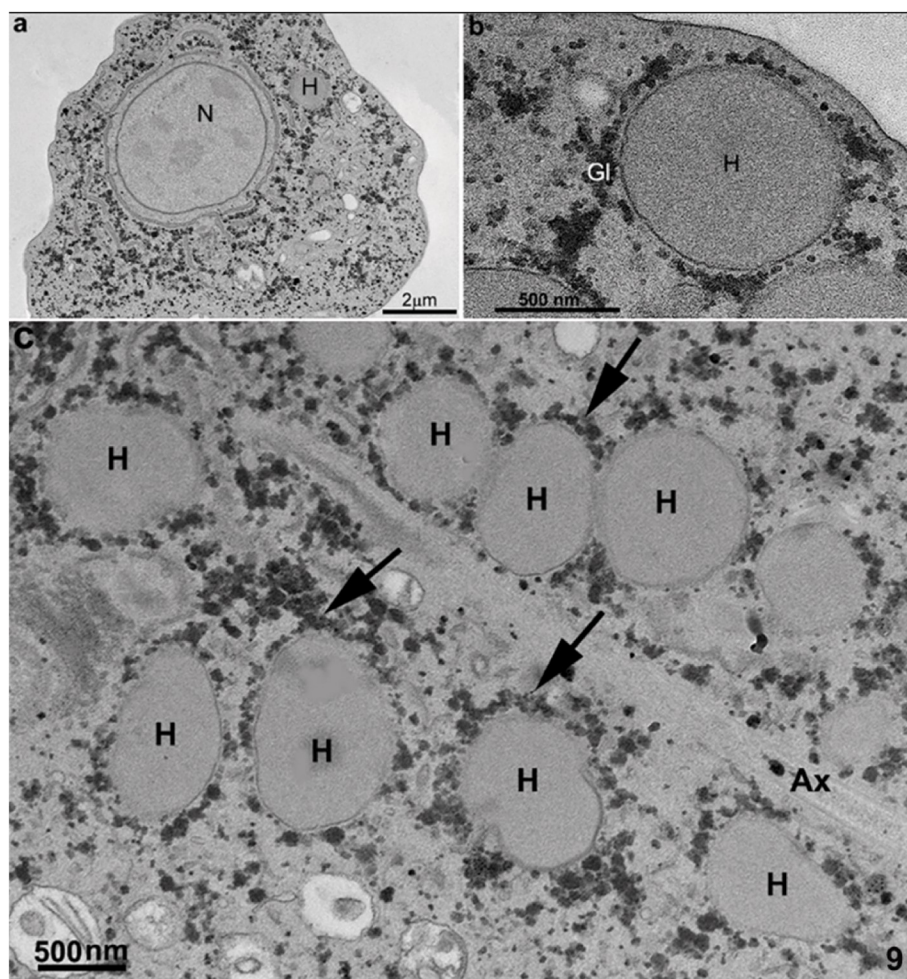
**Fig. 8.** Parasites treated with JC-1 were observed with fluoresce microscopy. (a) Control. Cells without drug treatment. The hydrogenosomes are lightly stained in red fluorescence. (b) Positive control Treatment with the uncoupler agent CCCP (c)Treatment with SQ109. The hydrogenosomes show green fluorescence indicating a loss of hydrogenosomal membrane potential.

green fluorescence is seen in the mitochondria of dead cells (Reers et al., 1991). As the hydrogenosomes share several similarities with mitochondria, JC-1 showed a similar labeling pattern with hydrogenosomes (Vilela et al., 2010). In the present study, functional hydrogenosomes are labeled in red. In contrast, increased green-labeled hydrogenosomes were observed after treatment with SQ109 (Fig. 8c), indicating a loss of hydrogenosomal membrane potential. CCCP (carbonyl cyanide 3-chlorophenylhydrazone), a mitochondrial membrane potential disrupter, was used as a positive control to confirm the JC-1 response (Fig. 8b).

Further biochemical studies are necessary to get some insight into this effect. Transmission electron microscopy showed that the hydrogenosome surface was covered with small dense particles (Fig. 9). These particles were identified as  $\beta$ -glycogen particles since their density increased when the sections were sequentially incubated in the presence of periodic acid, thiosemicarbazide, and silver proteinate (Benchimol

and Bernardino, 2002).

Although the morphological changes induced by SQ-109 are very clear, they do not indicate its mechanism of action. Studies carried out with *Mycobacteria tuberculosis* provide evidence that it targets membrane protein Large 3 (MmpL3) and dissipates the transmembrane electrochemical proton gradient necessary for cell-wall biosynthesis and bacterial activity (Zhang et al., 2019). Also interferes with lipid transporters and drug extrusion from the bacteria (Zhang et al., 2019). In trypanosomatids, SQ109 interferes with  $\text{Ca}^{2+}$  uptake by acidocalcisomes (Veiga-Santos et al., 2015) and also collapses the mitochondrial electrochemical potential ( $\Delta\Psi_m$ ) in these parasites (García-García et al., 2016; Gil et al., 2020; Veiga-Santos et al., 2015). These two effects on these organelles, which are both involved in the bioenergetics and  $\text{Ca}^{2+}$  homeostasis in trypanosomatids, are accompanied by a large increase in the intracellular  $\text{Ca}^{2+}$  concentration, postulated to be one of the main



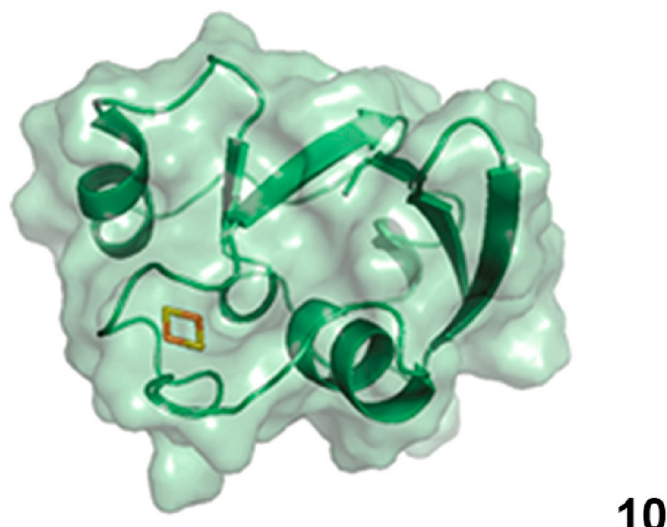
**Fig. 9.** Transmission electron microscopy after Thie'ry technique for carbohydrate detection in *Trichomonas vaginalis* treated with 10  $\mu$ M SQ109 for 24 h. A positive reaction is observed in glycogen particles (GI) and cell membranes.

causes of parasitic death (Benaim et al., 2020).

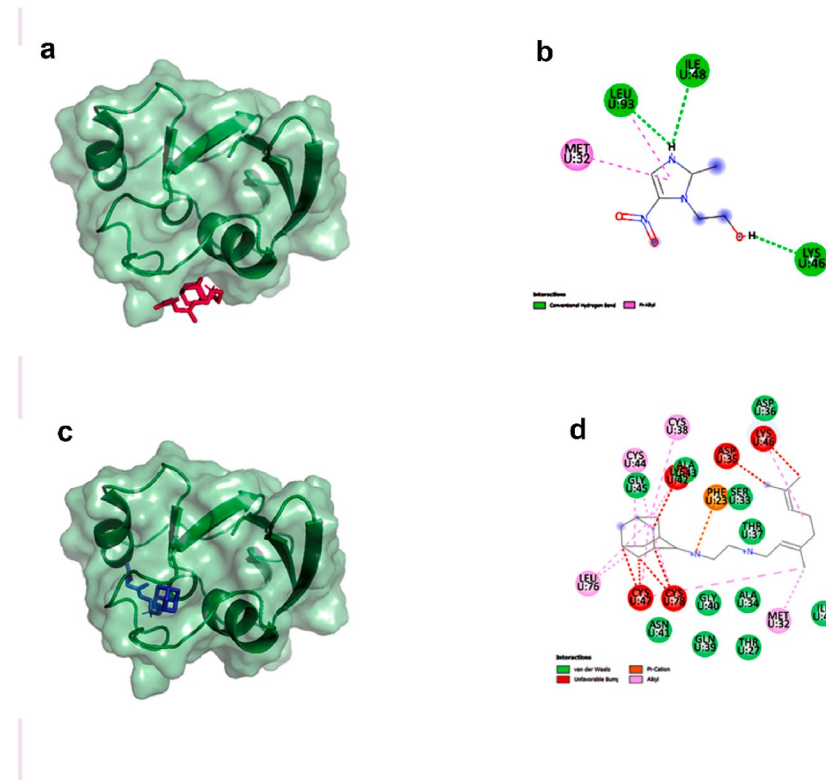
### 3.5. Molecular docking

Given the preliminary bioinformatic analyses predicting the ferredoxin protein of *T. vaginalis* (TvFd) as a potential target for SQ 109 and Metronidazole, we decided to conduct further analysis using molecular docking simulation. A redocking process was performed between the crystal of the protein and its natural ligand, the [2Fe–2S] complex, to determine the interaction residues and thus identify the position and size of the grid box as well as verify the affinity energy between the molecules and finally compare these results with those of the docking simulation between TvFd and the compounds SQ109 and MTZ. Fig. 10 shows the structure of TvFd and its natural coupled ligand.

The redocking results showed that the lowest interaction energy of TvFd and [2Fe–2S] was  $-2.0$  kcal/mol, and it is known it interacts with Phe23, Asp36, Thr37, Cys38, Gln39, Asn41, Lys42, Cys44, Lys46, Cys47, Phe66, Cys78, Leu76 (Crossnoe et al., 2002). Then, the coupling simulation between the TvFd crystal and the compounds MTZ and SQ109 was performed with the same parameters used for redocking. The interaction energy of MTZ with TvFd was  $-3.8$  kcal/mol (in its best pose). The residues that participated in the interaction were Met32, Lys46, Ile48, and Leu93 (Fig. 11B). Whereas the interaction energy of compound SQ109 with TvFd was  $-4.6$  kcal/mol (in its best pose) and the amino acids were Phe23, Thr27, Met32, Ser33, Ala34, Asp35, Asp36, Thr37, Cys38, Gln39, Gly40, Asn41, Lys42, Ala43, Cys44, Gly45, Lys46, Cys47, Ile48, Leu76, Cys78. The types of interactions between the ligands and



**Fig. 10.** TvFd (green) with its natural ligand [2Fe–2S] (yellow and orange) positioned in the active site of the A-chain of the protein, PDB code 1L5P, 2.20 Å (Image generated and colored by PYMOL).



**Fig. 11.** Interaction residues between TvfD and the compounds MTZ (11 A) – interactions with Met32, Lys46, Ile48 e Leu93 (11 B); and SQ109 (11C) – interactions with Phe23, Thr27, Met32, Ser33, Ala34, Asp35, Asp36, Thr37, Cys38, Gln39, Gly39, Gly40, Asn41, Lys42, Ala43, Cys44, Gly45, Lys46, Cys47, Ile48, Leu76, Cys78 (11D). Images generated by PYMOL and DISCOVERY STUDIO 2021.

**Table 1**

Values of the interaction energies between the residues (in their best pose) and the residues of the TvfD protein with which the ligands interact.

	[2Fe2S]	Metronidazol	SQ109
Energy (kcal/mol)	-2,0	-3,8	-4,6
Phe23	X		X
Thr27			X
Met32		X	X
Ser33			X
Ala34			X
Asp35			X
Asp36	X		X
Thr37	X		X
Cys38	X		X
Gln39	X		X
Gly40			X
Asn41	X		X
Lys42	X		X
Ala43			X
Cys44	X		X
Gly45			X
Lys46	X	X	X
Cys47	X		X
Ile48		X	X
Phe66	X		
Leu76	X		X
Cys78	X		X
Leu93		X	

the protein are identified in Fig. 11

These results showed that the compounds MTZ and SQ109 show the highest affinity for the residues in the active site of TvfD, where the [2Fe2S] complex naturally binds. MTZ, even with grid box determination, does not remain in the same site as the [2Fe2S] complex, not competing for the same residues, having only one amino acid in common

(Lys46). On the other hand, compound SQ109 shows a higher affinity for TvfD than the other two ligands, interacting with the protein with a greater number of amino acids, competing for 11 of the 13 amino acids with which the [2Fe2S] complex interacts. Since the two compounds do not compete for the same residues, it is possible that the association of both may have additive effects, thus requiring further studies.

For better visualization and interpretation of the results, Table 1 was generated. In this table, we can observe the value of the interaction energies between the residues (in their best pose) and the residues of the TvfD protein with which the ligands interact.

#### 4. Conclusions

Our results indicate that SQ109 inhibits *T. vaginalis* growth at low concentrations and induces morphological changes that lead to parasite death. These changes include an increased volume of hydrogenosomes, as shown by morphometrical analysis, and inhibit hydrogenosome membrane potential, as evaluated by the JC1 labeling dye. These data suggest the hydrogenosome is a potential target for SQ109 in *T. vaginalis*. In addition, molecular docking analysis point to ferredoxin, which mediated electron transport resulting in the production of molecular hydrogen (review in Kulda, 1999), as a potential target for SQ109 and with higher affinity to ferredoxin than metronidazole.

#### Funding

This work has been supported by Conselho Nacional de Desenvolvimento Científico e Tecnológico-CNPq, Fundação Carlos Chagas Filho de Amparo à Pesquisa do Estado do Rio de Janeiro (GRANT number E—26/200.956/2021), and Fundação de Amparo à Pesquisa do Estado do Amazonas.

## Ethics statements

No ethics statements.

## Declaration of competing interest

On behalf of all authors, the corresponding author states that there is no conflict of interest.

## Data availability

Data will be made available on request.

## Acknowledgments

We thank CENABIO and Prof. Antonios Kocolouris from the Department of Pharmacy, University of Athens, Greece, and Prof. Eric Oldfield from the Department of Chemistry, the University of Illinois at Urbana-Champaign, USA) who gently provided the compound.

## References

- Baek, K.H., Phan, T.N., Malwal, S.R., Lee, H., Li, Z.-H., Moreno, S.N.J., Oldfield, E., No, J. H., 2022. In vivo efficacy of SQ109 against *Leishmania donovani*, *Trypanosoma* spp. and *Toxoplasma gondii* and in vitro activity of SQ109 metabolites. *Biomedicines* 10, 670. <https://doi.org/10.3390/biomedicines10030670>.
- Benaim, G., Paniz-Mondolfi, A.E., Sordillo, E.M., Martinez-Sotillo, N., 2020. Disruption of intracellular calcium homeostasis as a therapeutic target against *Trypanosoma cruzi*. *Front. Cell. Infect. Microbiol.* 10. <https://doi.org/10.3389/fcimb.2020.00046>.
- Benchimol, M., Bernardino, M., 2002. Ultrastructural localization of glycoconjugates in *Tritrichomonas foetus*. *Parasitol. Res.* 88, 134–143. <https://doi.org/10.1007/s004360100466>.
- Benchimol, M., Gadelha, A.P., de Souza, W., 2022. Unusual cell structures and organelles in *Giardia intestinalis* and *Trichomonas vaginalis* are potential. *Drug Targets. Microorganisms*. 10 (11), 2176. <https://doi.org/10.3390/microorganisms10112176>. PMID:36363768. PMCID: PMC9698047.
- Crossnoe, C.R., Germanas, J.P., LeMagueres, P., Mustata, G., Krause, K.L., 2002. The crystal structure of *Trichomonas vaginalis* ferredoxin provides insight into metronidazole activation. *J. Mol. Biol.* 318 (2), 503–518. [https://doi.org/10.1016/S0022-2836\(02\)00051-7](https://doi.org/10.1016/S0022-2836(02)00051-7).
- Dallakyan, S., Olson, A.J., 2015. Small-molecule library screening by docking with PyRx. *Methods Mol. Biol.* 1263, 243–250. [https://doi.org/10.1007/978-1-4939-2269-7\\_19](https://doi.org/10.1007/978-1-4939-2269-7_19).
- De Andrade Rosa, I., Rocha, D.A.S., de Souza, W., Urbina, J.A., Benchimol, M., 2011. Ultrastructural alterations induced by Δ24(25)-sterol methyltransferase inhibitors on *Trichomonas vaginalis*. *FEMS Microbiol. Lett.* 315, 72–78. <https://doi.org/10.1111/j.1574-6968.2010.02178.x>.
- Diamond, L.S., 1957. The establishment of various trichomonads of animals and man in axenic cultures. *J. Parasitol.* 43, 488–490.
- Edwards, D.J., 1993. Nitroimidazole drugs-action and resistance mechanisms I. Mechanism of action. *J. Antimicrob. Chemother.* 31, 9–20. <https://doi.org/10.1093/jac/31.1.9>.
- García-García, V., Oldfield, E., Benaim, G., 2016. Inhibition of *Leishmania mexicana* growth by the tuberculosis drug SQ109. *Antimicrob. Agents Chemother.* 60, 6386–6389. <https://doi.org/10.1128/AAC.00945-16>.
- Gil, Z., Martinez-Sotillo, N., Pinto-Martinez, A., Mejias, F., Martinez, J.C., Galindo, I., Oldfield, E., Benaim, G., 2020. SQ109 inhibits proliferation of *Leishmania donovani* by disruption of intracellular  $\text{Ca}^{2+}$  homeostasis, collapsing the mitochondrial electrochemical potential ( $\Delta\Psi_m$ ) and affecting acidocalcisomes. *Parasitol. Res.* 119, 649–657. <https://doi.org/10.1007/s00436-019-06560-y>.
- Hashemi, N., Ommi, D., Kheyri, P., Khamesipour, F., Setzer, W.N., Benchimol, M., 2021. A review study on the anti-trichomonas activities of medicinal plants. *Int J Parasitol Drugs Drug Resist* 15, 92–104. <https://doi.org/10.1016/j.ijpddr.2021.01.002>.
- Jurrus, E., Engel, D., Star, K., Monson, K., Brandi, J., Felberg, L.E., Brookes, D.H., Wilson, L., Chen, J., Liles, K., Chun, M., Li, P., Gohara, D.W., Dolinsky, T., Konecny, R., Koes, D.R., Nielsen, J.E., Head-Gordon, T., Geng, W., Krasny, R., Wei, G.W., Holst, M.J., McCammon, J.A., Baker, N.A., 2018. Improvements to the APBS biomolecular solvation software suite. *Protein Sci.* 27, 112–128. <https://doi.org/10.1002/pro.3280>.
- Küng, E., Fürnkranz, U., Walochnik, J., 2019. Chemotherapeutic options for the treatment of human trichomoniasis. *Int. J. Antimicrob. Agents* 53, 116–127. <https://doi.org/10.1016/j.ijantimicag.2018.10.016>.
- Kulda, J., 1999. Trichomonads hydrogenosomes and drug resistance. *Int. J. Parasitol.* 29 (2), 199–212. [https://doi.org/10.1016/s0020-7519\(98\)00155-6](https://doi.org/10.1016/s0020-7519(98)00155-6). PMID:10221623.
- Kreisel, K.M., Spicknall, I.H., Gargano, J.W., Lewis, F.M.T., Lewis, R.M., Markowitz, L.E., Roberts, H., Johnson, A.S., Song, R., St Cyr, S.B., Weston, E.J., Torrone, E.A., Weinstock, H.S., 2021. Sexually transmitted infections among US women and men: prevalence and incidence estimates, 2018. *Sex. Transm. Dis.* 48, 208–214. <https://doi.org/10.1097/OLQ.0000000000001355>.
- Lewis, D.A., 2010. Trichomoniasis. *Medicine (Baltimore)* 38, 291–293. <https://doi.org/10.1016/j.mpmed.2010.03.007>.
- Lossick, J.G., 1990. Treatment of sexually transmitted vaginosis/vaginitis. *Clin. Infect. Dis.* 12, S665–S681. [https://doi.org/10.1093/clinids/12.Supplement\\_6.S665](https://doi.org/10.1093/clinids/12.Supplement_6.S665).
- Midley, V., Rubim, F., Villarreal, W., Martins-Duarte, E., Navarro, M., de Souza, W., Benchimol, M., 2019. Zinc-clotrimazole complexes are effective against *Trichomonas vaginalis*. *Parasitology* 146, 1206–1216. <https://doi.org/10.1017/S003118201900043X>.
- Mielczarek, E., Blaszkowska, J., 2016. *Trichomonas vaginalis*: pathogenicity and potential role in human reproductive failure. *Infection* 44, 447–458. <https://doi.org/10.1007/s15010-015-0860-0>.
- Noe'l, C.J., Diaz, N., Sicheritz-Ponten, T., Safarikova, L., Tachezy, J., Tang, P., Fiori, P.-L., Hirt, R.P., 2010. *Trichomonas vaginalis* vast BspA-like gene family: evidence for functional diversity from structural organisation and transcriptomics. *BMC Genom.* 11, 99. <https://doi.org/10.1186/1471-2164-11-99>.
- Paulish-Miller, T.E., Augostini, P., Schuyler, J.A., Smith, W.L., Mordechai, E., Adelson, M.E., Gygax, S.E., Secor, W.E., Hilbert, D.W., 2014. *Trichomonas vaginalis* metronidazole resistance is associated with single nucleotide polymorphisms in the nitroreductase genes ntr4 Tv and ntr6 Tv. *Antimicrob. Agents Chemother.* 58, 2938–2943. <https://doi.org/10.1128/AAC.02370-13>.
- Petrin, D., Delgaty, K., Bhatt, R., Garber, G., 1998. Clinical and microbiological aspects of *Trichomonas vaginalis*. *Clin. Microbiol. Rev.* 11, 300–317. <https://doi.org/10.1128/CMR.11.2.300>.
- Protopopova, M., Hanrahan, C., Nikonenko, B., Samala, R., Chen, P., Gearhart, J., Einck, L., Nacy, C.A., 2005. Identification of a new antitubercular drug candidate, SQ109, from a combinatorial library of 1,2-ethylenediamines. *J. Antimicrob. Chemother.* 56, 968–974. <https://doi.org/10.1093/jac/dki319>.
- Reers, M., Smith, T.W., Chen, L.B., 1991. J-aggregate formation of a carbocyanine as a quantitative fluorescent indicator of membrane potential. *Biochemistry* 4480–4486. <https://doi.org/10.1021/bi00232a015>.
- Rein, M.F., 1990. Clinical manifestations of urogenital trichomoniasis in women. In: *Trichomonads Parasites in Humans*. Springer New York, New York, NY, pp. 225–234. [https://doi.org/10.1007/978-1-4612-3224-7\\_11](https://doi.org/10.1007/978-1-4612-3224-7_11).
- Sutcliffe, S., Giovannucci, E., Alderete, J.F., Chang, T.H., Gaydos, C.A., Zenilman, J.M., De Marzo, A.M., Willett, W.C., Platz, E.A., 2006. Plasma antibodies against *Trichomonas vaginalis* and subsequent risk of prostate cancer. *Cancer Epidemiol. Biomarkers Prev.* 15, 939–945. <https://doi.org/10.1158/1055-9965.EPI-05-0781>.
- Van Der Pol, B., Kwok, C., Pierre-Louis, B., Rinaldi, A., Salata, R.A., Chen, P., van de Wijgert, J., Mmiro, F., Mugerwa, R., Chipato, T., Morrison, C.S., 2008. *Trichomonas vaginalis* infection and human immunodeficiency virus acquisition in African women. *J. Infect. Dis.* 197, 548–554. <https://doi.org/10.1086/526496>.
- Veiga-Santos, P., Li, K., Lameira, L., de Carvalho, T.M.U., Huang, G., Galizzi, M., Shang, N., Li, Q., Gonzalez-Pacanowska, D., Hernandez-Rodriguez, V., Benaim, G., Guo, R.-T., Urbina, J.A., Do campo, R., de Souza, W., Oldfield, E., 2015. SQ109, a new drug lead for chagas disease. *Antimicrob. Agents Chemother.* 59, 1950–1961. <https://doi.org/10.1128/AAC.03972-14>.
- Vilela, R., Menna, Barreto, R.F., Benchimol, M., 2010. Methyl jasmonate induces cell death and loss of hydrogenosomal membrane potential in *Trichomonas vaginalis*. *Parasitol. Int.* 3, 387–393. <https://doi.org/10.1016/j.parint.2010.05.003>.
- Zhang, B., Li, J., Yang, Xiaolin, Wu, L., Zhang, J., Yang, Y., Zhao, Y., Zhang, L., Yang, X., Xiuna, Yang, Xiaobao, Cheng, X., Liu, Z., Jiang, B., Jiang, H., Guddat, L.W., Yang, H., Rao, Z., 2019. Crystal structures of membrane transporter MmpL3, an anti-tb drug target. *Cell* 176, 636–648. <https://doi.org/10.1016/j.cell.2019.01.003>.